(成果報告)

內政部建築研究所委託研究報告

中華民國 111 年 12 月

(本報告內容及建議,純屬研究小組意見,不代表本機關意見)

計畫編號:PG11103-0101

包覆填充型鋼骨鋼筋混凝土柱與梁主筋以續接器接合之接頭耐震試驗

(成果報告)

受委託者 :中華民國地震工程學會

計畫主持人 : 周中哲

共同主持人 :劉郁芳

研究員:周德光

參與人員:趙品鈞

內政部建築研究所委託研究報告 中華民國111年12月

(本報告內容及建議,純屬研究小組意見,不代表本機關意見)

目次

目次	I
圖次	III
表次	VII
摘要	IX
第一章 緒論	1
第一節 研究緣起與背景	1
第二節 研究方法及進度説明	2
第二章 文獻回顧	
第三章 試體設計與實驗規劃	13
第一節 整體說明	15
第二節 試體一	16
第三節 試體二與試體三	24
第四節 試體製作	
第五節 工作時程與預期進度	35
第六節 實驗測試系統	
第七節 量測規劃	37
第九節 實驗控制與載重歷時	41
第十節 材料性質試驗	42
第十一節 施工過程	46
第十二節 續接器實驗	50
第四章 實驗結果分析與討論	55
第一節 試驗過程與紀錄	55
第二節 數據分析與討論	82
1. 載重位移反應	82
2. 梁主筋與續接器應變	87
3. 梁箍筋應變	117
4. 裂縫發展與試體破壞情形	
5. 續接器實驗	144
第五章 結論與建議	
第一節 結論	
第二節 建議	156
参考文獻	

附錄一	第一次專家學者會議與紀錄	.161
附錄二	試體佈置圖	.165
附錄三	夾具設計圖	.167
附錄四	鋼構試體發包圖	.171
附錄五	鋼構製造施工圖	.177
附錄六	鋼構混凝土試體施工圖	.185
附錄七	銲接之超音波檢測(UT)報告	.187
附錄八	包覆填充型鋼骨鋼筋混凝土柱與梁主筋以續接器接合之接頭耐震	試
驗 期中	審查 Q&A	.195
附錄九	WPS 續接器銲接程序	.205
附錄十	鋼骨鋼筋混凝土構造規範修正研擬及耐震技術講習會議程及講員	207

圖次

啚	2.	1 梁柱接頭遲滯迴圈(a)主筋直通(b) 續接器銲接於柱翼板延伸	5
昌	2.	2 SRC 柱接 RC 梁的梁環狀接頭 (Pan et al.,2013)	6
啚	2.	3 新型鋼混凝土複合抗彎框架 NPS®梁柱接頭 (Albright et al., 2022)	6
啚	2.	4 試體鋼筋和鋼截面梁柱接頭詳圖 (Gautham and Sahoo ,2022)	7
昌	2.	5 HSRC 梁與 CFST 柱的接頭(Feng et al.,2022)	7
置	2.	6 梁柱接頭 T 型加勁器 (Shin et al., 2008)	8
啚	3.	1實驗試體佈置圖	14
啚	3.	2 試體一之梁柱斷面圖	16
昌	3.	3 試體一之梁柱接合平面圖	16
昌	3.	4 填充型複合斷面柱之塑性彎矩算式圖	17
昌	3.	5 鋼筋混凝土標稱彎矩算式示意圖	18
昌	3.	6 SRC 梁柱接頭區有效受剪面積 A_j 示意圖	21
昌	3.	7 試體一構架垂直制動器推力示意圖	23
昌	3.	8 試體二、三梁柱斷面圖	24
昌	3.	9 試體二、三梁柱接合平面圖	24
啚	3.	10 試體二、三構架垂直制動器推力示意圖	28
		11 剪力榫及剪力釘示意圖	
啚	3.	12 偏心彎矩引致拉應力示意圖	30
啚	3.	13 柱內剪力釘配置示意圖(a)側視圖(b)剖面圖	30
啚	3.	14 試體三鋼拱頭設計示意圖(a)側視圖(b)剖面圖	32
啚	3.	15 試體製作照片(a)~(h)	34
		16 試體一應變計分布	
啚	3.	17 試體二三應變計分布	39
昌	3.	18 試體一位移計與 NDI marker 配置圖	40
昌	3.	19 試體一位移計與 NDI marker 配置圖	40
昌	3.	20 反覆載重位移歷時示意圖	41
啚	3.	21 梁柱接頭銲接工程(a)(b)	47
啚	3.	22 鋼筋組立工程(a)~(d)	48
昌	3.	23 試體應變計黏貼施工圖(a)~(d)	48
昌	3.	24 試體組模與灌漿	49
昌	3.	25 鋼筋機械式續接器試驗裝置圖	51
昌	3.	26 T 型斷面 圖 3. 27 施力後位移檢討	52

啚	3.	. 28 續接器搭接 2 組試體	.53
昌	3.	29 立式續接器 2 組試體	.54
昌	3.	30 臥式續接器 2 組試體	.54
昌	4.	1 試體一層間變位角 0.005rad 試體實驗觀察	.56
昌	4.	2 試體一層間變位角 0.01 rad 試體實驗觀察	.56
置	4.	3 試體一層間變位角 0.02rad 試體實驗觀察	.57
置	4.	.4 試體一層間變位角 0.03 rad 試體實驗觀察	.57
昌	4.	.5 試體一層間變位角 0.04 rad 試體實驗觀察	.58
置	4.	.6 試體一層間變位角 0.05 rad 試體實驗觀察	.59
置	4.	7 試體一梁頂部破壞照片	.61
置	4.	8 試體一梁底部破壞照片	.62
置	4.	9 試體一梁上翼板應變與位移角之關係曲線	.62
置	4.	. 10 試體二層間變位角 0.00375 rad 試體實驗觀察	.63
啚	4.	.11 試體二層間變位角 0.005 rad 試體實驗觀察	.63
置	4.	.12 試體二層間變位角 0.0075 rad 試體實驗觀察	.64
昌	4.	. 13 試體二層間變位角 0.01 rad 試體實驗觀察	.65
置	4.	.14 試體二層間變位角 0.015 rad 試體實驗觀察	.65
置	4.	.15 試體二層間變位角 0.02rad 試體實驗觀察	.66
置	4.	. 16 試體二層間變位角 0.03 rad 試體實驗觀察	.67
啚	4.	.17 試體二梁頂部破壞照片	.69
啚	4.	.18 試體二梁底部破壞照片	.70
啚	4.	. 19 試體三層間變位角 0.005 rad 試體實驗觀察	.71
啚	4.	. 20 試體三層間變位角 0.005 rad 試體實驗觀察	.71
啚	4.	. 21 試體三層間變位角 0.0075 rad 試體實驗觀察	.72
啚	4.	. 22 試體三層間變位角 0.01 rad 試體實驗觀察	.72
昌	4.	. 23 試體三層間變位角 0.015 rad 試體實驗觀察	.73
昌	4.	. 24 試體三層間變位角 0.02rad 試體實驗觀察	.73
昌	4.	. 25 試體三層間變位角 0.03 rad 試體實驗	.74
置	4.	. 26 試體三層間變位角 0.04 rad 試體實驗觀察	.76
昌	4.	27 試體三梁頂部破壞照片	.78
邑	4.	28 試體三梁底部破壞照片	.79
		29 試體一實驗配置照片	
		30 試體二、三實驗配置照片	
		31 真實反復載重加載位移歷時	

置	4.	32	試	體-	- 梁	致	動	器	之	遲	滯	迴	圈		置	4.	. 33	討	體	_	梁	致	動	器之	之包	卫絲	各線	.84
啚	4.	34	試	體二	- 梁	致	動	器	之	遲	滯	迴	卷			置	4.	35	試	體	=	梁	致:	動旨	器之	こも	2絡	線
			••••								· • • •		•••															85
啚	4.	36	試	體三	: 梁	致	動	器	之	遲	滯	迴	卷			圖	4.	37	試	體	三	梁	致:	動旨	器に	こも	2.絡	線
			• • • • •								• • • •																	86
置	4.	38	試	體-	- 梁	主	筋	應	變	數	值	關	係	曲絲	泉										. 			89
昌	4.	39	試	體-	- 梁	主	筋	應	變	與	位	移	角	之》	阁1	係日	曲線	崑										90
昌	4.	40	試	體-	- 梁	主	筋	應	變	與	梁:	端	彎	矩る	اح	絹イ	系由	由線										91
昌	4.	41	試	體-	- 續	接	器	應	變	與	梁:	端	彎	矩る	اح	絹イ	系由	由線										95
昌	4.	42	試	體二	- 梁	主	筋	應	變	數	值	關	係	曲絲	泉						••••				. 			99
昌	4.	43	試	體二	- 梁	主	筋	應	變	與	位	移	角	之》	阁1	係日	曲線	崑										100
昌	4.	44	試	體二	- 梁	主	筋	應	變	與	梁:	端	彎	矩る	اح	絹イ	系由	由線										101
昌	4.	45	試	體二	_續	接	器	應	變	與	梁:	端	彎	矩る	اح	絹イ	系由	由線										105
昌	4.	46	試	體三	: 梁	主	筋	應	變	數	值	關	係	曲絲	泉	• • • • •												109
昌	4.	47	試	體三	梁	主	筋	應	變	與	位	移	角	之》	阁1	係日	曲線	溴		••••						••••		110
昌	4.	48	試	體三	梁	主	筋	應	變	與	梁.	端	彎	矩さ	と	絹イ	系由	白線		••••						••••		111
昌	4.	49	試	體三	. 續	接	器	應	變	與	梁.	端	彎	矩さ	と	絹イ	系由	白線		••••						••••		115
昌	4.	50	試	體-	- 梁	箍	筋	應	變	計	位	置	啚							••••						••••		119
昌	4.	51	試	體-	- 梁	箍	筋	應	變	計	S1	至	5 6	S 20	婁	负值	Ĺ				••••					••••		119
置	4.	52	試	體二		Ξ	梁	箍	筋	應	變	計	位	置圖	副													120
置	4.	53	試	體二	- 梁	箍	筋	應	變	計	S1	至	5 5	S20	婁	负值	Ĺ											120
置	4.	54	試	體三	: 梁	箍	筋	應	變	計	S2	21	至	S4:	2 :	數1	值.											121
啚	4.	56	試	體-	-+	斤	頂	與	梁	箍	筋	應	變	計屬	阁1	係圖	昌	(S1	1-5	S20	0).							126
昌	4.	57	試	體二	-千	斤	頂	與	梁	箍	筋	應	變	計員	阁1	係圖	昌	(S1	-S	9).								127
置	4.	60	試	體三	二千	斤	頂	與	梁	箍	筋	應	變	計員	阁1	係區	圖	(S3	5-9	S42	2).							130
																											圖	
昌	4.	62	試	體-	- 鋼	梁	腹	板	•	試	體	二·	剪	力术	隼	·]	及訂	弋體	! 三	鋼	拱	頭	傳:	遞	剪え	りょ	ե	131
昌	4.	64	試	體一	- 各	層	間	位	移	比	之	試	體	裂紅	逢~	發肩	丧.											134
					`		-									-	_	-	-									

啚	4.	68	試體二詳細破壞情況圖	138
昌	4.	69	試體二梁柱接頭打除情況圖	139
置	4.	70	試體三(右側)各層間位移比之試體裂縫發展	141
昌	4.	71	試體三詳細破壞情況圖	142
啚	4.	72	試體三梁柱接頭打除情況圖	143
昌	4.	73	立式續接器最大應變圖 圖 4.74 臥式續接器最大應變圖	145
置	4.	75	立式續接器試體	148
置	4.	76	臥式續接器試體	148
置	4.	77	續接器高塑性反復負載試驗加載程序示意圖	149
啚	4.	78	當次滑動量計算示意圖	149
置	4.	79	立式續接器試驗前圖	150
置	4.	80	立式續接器試驗後圖	150
啚	4.	81	立式續接器軸力位移、應力應變關係圖	151
啚	4.	82	臥式續接器試驗前圖	152
置	4.	83	臥式續接器試驗後圖	152
置	4.	84	臥式續接器軸力位移、應力應變關係圖	153
圖	4.	85	立、臥式續接器試驗後破壞圖	153

表次

表 3.1 試體尺寸、材料性質及寬厚比	15
表 3.2 試體一梁尺寸參數表	18
表 3.3 試體一梁柱接頭區設計剪力強度參數表	21
表 3.4 試體一梁柱接頭區需求剪力強度參數表	22
表 3.5 試體二、三梁尺寸參數表	25
表 3.6 試體二、三梁柱接頭區設計剪力強度參數表	26
表 3.7 試體二、三梁柱接頭區需求剪力強度參數表	27
表 3.8 工作時程與預期進度表	35
表 3.9 SD420W 之鋼筋拉伸試驗結果	43
表 3.10 混凝土抗壓試驗強度對照表	44
表 3.11 續接器模擬型式表	50
表 3.12 續接器不同臨界荷載時夾具至夾具間 L 值	51
表 3.13 不同力量所造成的偏心彎矩值	52
表 3.14 不同加勁板厚造成兩端彎矩值	52
表 3.15 不同加勁板厚所造成不同點位之位移值	53
表 4.1 試體一控制加載圈數及梁、柱最大裂縫寬度表	60
表 4.2 試體二控制加載圈數及梁、柱最大裂縫寬度表	68
表 4.3 試體三控制加載圈數及梁、柱最大裂縫寬度表	77
表 4.4 不同層間變位角梁最大裂縫寬度表	80
表 4.5 試體破壞行為整理表	81
表 4.6 反復載重位移歷時	83
表 4.7 試體一每一層間位移角對應之最大力量 (kN)	84
表 4.8 試體二每一層間位移角對應之最大力量 (kN)	85
表 4.9 試體三每一層間位移角對應之最大力量 (kN)	86
表 4.10 試體一梁主筋與續接器應變計編號位置	87
表 4.11 試體一梁主筋降伏對應之層間變位角	87
表 4.12 試體一梁上層主筋不同層間變位角最大應變值	93
表 4.13 試體一梁下層主筋不同層間變位角最大應變值	94
表 4.14 試體一續接器 P1 與其主筋應變之比值	96
表 4.15 試體二梁主筋與續接器應變計編號位置	97
表 4.16 試體二梁主筋降伏對應之層間變位角	98
表 4.17 試體二梁上層主筋不同層間變位角最大應變值	103

表	4.18 試體二梁下層主筋不同層間變位角最大應變值	.104
表	4. 19 試體二續接器 P5 與其主筋應變之比值	.106
表	4.20 試體三梁主筋與續接器應變計編號位置	.107
表	4.21 試體三梁主筋降伏對應之層間變位角	.108
表	4.22 試體三梁上層主筋不同層間變位角最大應變值	.113
表	4.23 試體三梁下層主筋不同層間變位角最大應變值	.114
表	4.24 試體三續接器 P13 與其主筋應變之比值	.116
表	4. 25 試體一層間變位角 0.02、0.03、0.04 及 0.05 rad 箍筋應力	.122
表	4. 26 試體二層間變位角 0.01、0.015 及 0.02 rad 箍筋應力	.123
表	4. 27 試體三層間變位角 0.01、0.015、0.02、0.03 及 0.04 rad 箍筋應力	i 124
表	4.28 試體一、試體二及試體三設計剪力強度	.131
表	4. 29 梁主筋試驗結果	.145
表	4.30 未挫屈之梁主筋上之應變計取值	.145
表	4.31 高塑性反覆載重試驗性能合格標準	.147
表	4.32 續接器接合試體高塑性反復負載試驗數值檢核表	.151

摘要

本報告將梁柱接合設計之美日規範及文獻相關內容彙整,並針對包覆填充型鋼管混凝土柱與梁主筋以續接器連接接頭進行實尺寸實驗,目的為研究接頭力學傳遞行為及破壞機制。藉由召開專家學者會議,邀請學術界及業界蒐集目前國內業界習用的 SRC 梁柱接頭設計,透過實驗探討我國鋼骨鋼筋混凝土規範梁柱接合相關條文修訂的可行性。

關鍵詞:鋼骨鋼筋混凝土、包覆填充型鋼骨鋼筋混凝土柱、續接器、梁柱接頭、鋼骨鋼筋混凝土設計規範

一、研究緣起

國內現行「鋼骨鋼筋混凝土構造設計規範與解說」規定,鋼骨鋼筋混凝土梁柱接頭處之梁主筋,應以直接通過接頭為原則,並盡量避免以鋼筋續接器銲於鋼柱翼板上續接主筋。國內常使用之鋼骨鋼筋混凝土柱型式,包含包覆十字型鋼 SRC 柱及包覆填充型鋼管混凝土柱,使用包覆十字型鋼 SRC 柱時,主筋通常採用穿過腹板的方式通過接頭,以符合上述規定;而目前實務界大多使用包覆填充型鋼管混凝土柱,若欲滿足規範之規定,梁主筋需繞過鋼柱,使得梁柱接頭區傳力路徑的完整性有疑慮。因此國內業界在使用包覆填充型鋼骨混凝土柱時,國內多以續接器連接於箱型鋼柱上,以解決前述疑慮。

然而此種連接方式無論國內外皆無相關實驗研究佐證,規範也指出此連接方式受往復力作用下之力學行為仍不明確,且拉力是否會造成鋼板拉裂也是一項值得研究的課題,此外也要考慮這種接合方式的施工性。規範解說中也建議最好輔以實驗證明其強度、韌性及可靠度,但在實務設計上,此種接合方式是非常常見於複合斷面中,卻少有進行解說所要求的實驗驗證,因此不論是業界或學界都建議應儘速展開相關研究及實驗,以驗證其耐震強度及安全性,以供實務界遵循。

二、研究方法及過程

本研究將梁柱接合設計之美日規範及文獻相關內容彙整,將針對國內包 覆填充型鋼管混凝土柱與梁主筋以續接器連接接頭進行實尺寸試驗,觀察分 析其接頭力學傳遞行為及破壞行為,並編寫成果報告書。本計畫將召開專家 學者會議,邀請學術界及業界人士針對目前 SRC 柱與梁柱接頭設計及施工層 面進行討論,且將針對相關課題進一步蒐集國內外相關文獻延伸研究,並以 實驗研究結果探討修訂規範的可行性,如為可行則將可擬定台灣鋼骨鋼筋混 凝土規範中梁柱接合相關條文修訂草案。

- 1. 蒐集調查美國、日本規範和國內外相關論文研究報告作為參考資料。
- 2. 針對國內包覆填充型鋼管混凝土柱與 SRC 梁主筋以續接器連接接 頭進行試驗,觀察分析其接頭力學傳遞行為及破壞行為。
- 3. 召開專家學者會議研討相關課題及台灣與國外規範差異修正之方 向檢討,更深入國內外規範差異性相關研究及實驗成果蒐集分析檢 討。
- 4. 根據試驗結果,若為可行則進一步研擬鋼骨鋼筋混凝土設計規範條 文修訂草案,並彙整研究成果並完成成果報告書。

三、重要發現

本研究進行 3 組 SRC 梁柱接頭實驗瞭解包覆填充型鋼骨鋼筋混凝土柱 與梁主筋以續接器連接接頭之力學行為,3 組試體試驗後重要發現如下:

- 1. 試體一 SRC 梁及試體三 RC 梁(鋼拱頭),實驗至層間變位角 0.04 rad, 主筋與續接器接合完整,續接器不論銲接至鋼柱或鋼拱頭翼板上,未有 銲道破壞發生。
- 2. 試體二 RC 梁(剪力榫),實驗至層間變位角 0.02 rad,主筋與續接器接合 完整,但 8 支續接器共有 5 處因銲道破壞而脫離鋼柱,剪力榫最多只傳 遞 20%RC 梁剪力,因無法有效傳遞梁剪力至柱。
- 3. 試體三 RC 梁(鋼拱頭),雖續接器仍保持完整,當反覆載重施力達到 0.04 rad 第一圈時,剪力裂縫出現在鋼拱頭末端處,造成強度下降,未能達到 0.04 rad 梁柱接頭不產生破壞的要求。層間變位角 0.04 rad 時試驗中仍能 完成兩圈加載,但混凝土大幅剝落、梁底主筋明顯挫屈、箍筋及繫筋未 有較大變形脫落等現象,未能達到 0.04 rad 梁柱接頭不產生破壞的耐震要求。
- 4. 本實驗試體箍筋為開口式箍筋搭配上蓋繫筋,多數箍筋的頂蓋繫筋在 0.04 rad 拱起彎曲,同時也對主筋失去圍東效果,因此未來應進一步研究 如何降低頂蓋繫筋在 0.04 rad 梁層間側位移角前的破壞。
- 5. 試體一 SRC 鋼梁由於未採用韌性削切或加勁的方式,因此上翼板於層間變位角 0.04 rad 斷裂,未滿足耐震規範要求,故建議未來需在規範中加入 SRC 鋼梁需採韌性切削或加勁規定,並於後續實驗研究驗證其耐震性能,降低 SRC 梁柱界面的銲道及鋼梁腹板扇形銲接開口的應力需求。
- 關於續接器銲接施工及檢驗查核,是確保梁主筋以續接器銲於鋼柱翼板

上以續接主筋之必要條件。參考美國銲接學會(AWS)或鋼構造建築物鋼結構施工規範之規定。續接器接頭型式(立式或臥式)均為普及的銲接工法,本研究提供本案廠商銲接程序供參考(附錄 9)。檢驗上除續接器的相關檢測、試驗外,鋼構廠施工後的銲道檢驗,可參照 CNS 相關非破壞檢測規定,如 CNS13341 鋼結構銲道磁粒檢測法。

四、主要建議事項

本研究以國內業界習用的包覆填充型鋼骨混凝土柱與鋼筋混凝土梁 2 種接合方式(剪力榫及鋼拱頭)及與鋼骨鋼筋混凝土梁之接合形式(翼板現場銲接及腹板現場螺栓接合)製作 3 支試體進行實驗,經實驗發現,尚未能滿足耐震規範要求,建議後續繼續進行相關研究及實驗,以釐清並改善實務應用之耐震安全性能。

建議一

包覆填充型鋼骨混凝土柱與鋼筋混凝土梁接頭耐震性能之精進研究:立即 可行建議

主辦機關:內政部建築研究所

協辦機關:中華民國地震工程學會

- 梁柱接頭剪力傳遞機制研究:本研究發現剪力榫及鋼拱頭配置的剪力 釘提供之剪力強度遠大於試驗剪力之需求,但剪力釘並未如預期發揮 傳遞剪力的功能,建議未來可針對梁柱接頭剪力傳遞機制進行研究, 包括:本研究所進行剪力榫及鋼拱頭長度、寬度及位置等參數之改良、 鋼骨鋼筋混凝土構造設計規範與解說第8.7節建議接合方式或創新梁 柱接合方式等進行實驗研究,以提升梁柱接頭耐震性能。
- 剪力釘銲於鋼柱之接合方式耐震性能實驗研究:剪力釘直接銲於鋼柱 之接合方式,亦為國內業界常用的包覆填充型鋼骨混凝土柱與鋼筋混 凝土梁接合方式,惟尚未經過實驗研究驗證其耐震性能,建議納入未 來後續研究課題。

建議二

包覆填充型鋼骨混凝土柱與鋼骨鋼筋混凝土梁之接合形式(翼板現場 銲接及腹板現場螺栓接合)之精進研究:立即可行建議

主辦機關:內政部建築研究所

協辦機關:中華民國地震工程學會

- SRC柱保護層厚度與鋼梁翼板切削研究:本研究顯示,SRC鋼梁上翼板產生斷裂,建議SRC鋼梁翼板應做切削。另SRC梁鋼骨的扇形銲接開孔需要埋入SRC柱混凝土之保護層厚度,建議列為後續研究。
- 鋼筋續接器銲接柱內連續板厚度比例關係:建議後續可進行鋼筋續接 器與箱型柱或鋼管柱,柱內連續板厚度比例關係的研究,另目前國內 業界很需要續接器與連續板存在偏心時之試驗成果,以作為實務上設 計施工依據準則,建議納入未來後續研究。
- 不同間距之鋼筋續接器試驗研究:建議模擬探討不同間距下鋼筋續接器的施工性,並進行配置不同間距之鋼筋續接器試驗,提供量化結果 做為國內業界設計參考。

ABSTRACT

This report summarizes the relevant content of American and Japanese codes and literature on beam-column joint design. A full-scale experiment was carried out on the joints between the concrete-filled steel tube column and the longitude reinforcement of the beam with coupler. The purpose is to study the mechanical transmission behavior and failure mechanism of beam-column joint.

By holding a meeting of experts and scholars, academia and industry are invited to discuss the current SRC beam-column joint for design and experimental results and summarize the deficiencies of the code. We propose for revising relevant articles of beam-column joints for Steel and Reinforced Concrete Code.

Keywords: Steel Reinforced Concrete (SRC), Encased Concrete-Filled Box Columns, coupler, beam-column connection, Design Specifications and Commentary of Steel Reinforced Concrete Structures

第一章 緒論

國內現行「鋼骨鋼筋混凝土構造設計規範與解說」規定,鋼骨鋼筋混凝土梁柱接頭處之梁主筋應以直接通過接頭為原則,避免以鋼筋續接器銲於鋼柱翼板上以續接梁主筋。國內常使用之鋼骨鋼筋混凝土(SRC)柱型式,包含包覆十字型鋼 SRC 柱及包覆填充型鋼管混凝土柱,使用包覆十字型鋼 SRC 柱時,主筋通常採用穿過腹板的方式通過接頭以符合上述規定;而目前實務界大多使用包覆填充型鋼管混凝土柱,若欲滿足規範之規定,梁主筋需繞過鋼柱,使得梁柱接頭區傳力路徑的完整性有疑慮。因此國內業界在使用包覆填充型鋼管混凝土柱時,多以續接器連接於箱型鋼柱上,以解決前述疑慮。本計畫從 SRC 梁柱接頭設計規定著手,檢討及釐清現行規範中關於梁柱接頭設計梁主筋與柱接合疑義,根據梁主筋以續接器銲於鋼柱的不同方式進行實驗研究。實驗結果將召開專家學者會議,將專家學者建議納入考量,使未來條文修訂草案能更全面符合實務設計及施工需求。

我國 SRC 梁柱接頭研究、施工方法、施工技術與檢驗與國外相比均有相當程度的差距。且目前不論國內外皆無相關研究或實驗能佐證此種接頭區的配置,日本及美國實務上包覆填充型鋼骨混凝土柱多搭配鋼梁或 SC 梁,無我國梁主筋以續接器與柱連接情形,故有必要進行大尺寸鋼骨鋼筋混凝土梁與包覆填充型鋼骨鋼筋混凝土柱之實驗研究,驗證其耐震強度及安全性,供實務界遵循,以提升國內 SRC 建築整體耐震能力。

第一節 研究緣起與背景

自九二一大地震後,國內開始大量採用鋼骨鋼筋混凝土為建築物之構造型式,但在建築土木工程領域中,鋼骨鋼筋混凝土構造設計及施工複雜度高,工地常無法按設計圖施工,但設計與施工關係建築結構物之安全甚鉅,故鋼骨鋼筋混凝土構造設計規範與解說為建築工程中不可輕忽之課題。

目前我國「鋼骨鋼筋混凝土構造設計規範與解說」至今近 10 年未有更新版本,但該版規範是以美國混凝土學會 ACI 318-05(2005)規範及美國鋼結構學會 AISC 341-05(2005)為依據,其後 ACI 及 AISC 也多次進行修訂,故國內現行規範已有十多年的時間未進行檢討修訂,期間我國在鋼骨鋼筋混凝土設計上有更多新的研究,國內的施工技術與檢驗方式也有大幅度的改變,故規範內容需要再次更新,以反映最新的研究理論及配合工程界實務上之需求。

現行臺灣「鋼骨鋼筋混凝土構造設計規範與解說」(2011)中 8.4.1 節規定: (2)鋼筋混凝土部分:

鋼骨鋼筋混凝土梁柱接合處之主筋應連續通過梁柱接頭,或依規定於柱中適當錨定。未連續通過梁柱接頭或未依規定錨定之主筋,不得視為具有傳遞梁 與柱間彎矩之功能。第8.5.1節規定:

 鋼骨鋼筋混凝土梁柱接頭處之梁主筋應以直接通過接頭為原則,宜儘量 避免以鋼筋續接器銲於鋼柱翼板上以續接主筋。

第 8.5.1 節解說中說明為了確保梁柱接頭處的彎曲應力(Bending Stress) 能夠有效傳遞, SRC 梁柱接頭處之主筋應以直接通過接頭為原則。

有關採用鋼筋續接器(Coupler)銲接於鋼柱翼板來接續主筋之方式,目前 尚未有充分的研究證明這種接合方式的可靠度,尤其是受到往復力作用下之 力學行為並不明確。由於在翼板加銲續接器,將使柱鋼板受到垂直於板平面 的拉力作用,該拉力是否會造成鋼板拉裂是一個十分值得研究的課題。此外, 這種接合方式的施工品質亦是值得關心的問題。基於上述之考量,本規範建 議在這些問題尚未釐清之前宜儘量避免採用此種接合方式。若非不得已必須 採用此種接合方式時,至少應符合本節規範條文中有關鋼筋續接器種類、材 料與施工之規定,且務必於鋼柱內與主筋同一水平面處加銲連續板。最好能 再輔以適當的實驗以證明其強度、韌性及可靠度。

美國及日本常見的 SRC 構造,無臺灣包覆填充型鋼骨混凝土柱與梁主筋以續接器連接之情況。本研究將針對國內包覆填充型鋼管混凝土柱與 SRC 梁主筋以續接器連接接頭進行實驗,觀察分析其接頭力學傳遞行為及破壞行為。根據實驗結果,重新編修檢討鋼骨鋼筋混凝土構造設計規範與解說內相關接頭條文。實驗將完成 3 組試體瞭解包覆填充型鋼管混凝土柱與梁主筋以續接器連接接頭之力學行為。此外本研究將與國家地震工程研究中心共同合作,根據實驗結果,建議修訂「鋼骨鋼筋混凝土構造設計規範」鋼骨鋼筋混凝土 梁柱接頭處相關規定及解說之內容。

第二節 研究方法及進度說明

本研究前期已將梁柱接合設計之美日規範及文獻相關內容彙整(周中哲等

人 2021, 劉郁芳等人 2021、2022), 此計畫針對國內包覆填充型鋼管混凝土 柱與梁主筋以續接器連接接頭進行實尺寸實驗,觀察分析其接頭力學傳遞行 為及破壞行為。本研究進行 3 組 SRC 梁柱接頭實驗瞭解包覆填充型鋼骨鋼筋 混凝土柱與梁主筋以續接器連接接頭之力學行為,3 組試體規劃如下:

- 1. 試體一為鋼骨鋼筋混凝土(SRC)梁與包覆填充型鋼管混凝土柱接頭,其中 SRC 梁主筋以續接器直接銲接於柱上,相對應的柱內使用加勁板傳遞梁 鋼筋力量,鋼梁則直接接合於鋼柱上。
- 2. 試體二為鋼筋混凝土(RC)梁與包覆填充型鋼管混凝土柱接頭(剪力榫連接),試體二與試體一的差異為取消試體一鋼骨鋼筋混凝土梁中的鋼梁,並梁腹以剪力榫與包覆填充型鋼管混凝土柱接合,梁主筋仍以續接器直接銲接於柱上。
- 3. 試體三為鋼筋混凝土(RC)梁與包覆填充型鋼管混凝土柱接頭(鋼拱頭連接),柱使用鋼拱頭與鋼骨鋼筋混凝土梁接合,梁主筋一半數量以續接器針於鋼拱頭翼板上,另一半數量以續接器直接銲於鋼柱上。

三組試體以垂直致動器施加推力於梁上,水平致動器則為支撐及承受反力用途,未來實驗進行後,若梁主筋使用續接器連接至柱上實驗結果無法符合耐震行為,則應於規範中明確修訂更嚴格的標準及因應策略;若實驗結果證明梁主筋使用續接器連接至柱上符合耐震行為,則將實驗結果整理成標準圖說放入鋼骨鋼筋混凝土規範中,供工程界遵循。實驗完成後將召開專家學者會議,共同討論成果修訂規範並廣納專家實務意見,相信對於未來工程界有相當大的助益,使鋼骨鋼筋混凝土設計規範更能夠符合新型的施工方式。

此外本計畫將與國家地震工程研究中心合作,預期會使用國家地震工程研究中心之重要儀器,如反力牆、強力地板系統及其他設施儀器,實驗設施如伺服千斤頂、油壓機、伺服控制器、資料收集系統,量測設施如位移計、Dial gage、Strain gage、Loadcell、П Gage 等。

本計畫自 111 年 1 月 28 日完成簽約,同年 2 月份開始蒐集國內外 SRC 梁柱接頭設計相關規範及研究文獻,以及進行包覆填充型鋼管混凝土柱與梁主筋以續接器連接接頭試體規劃。5 月 6 日召開第一次專家學者會議,規劃 3 組試體型式,之後依據專家學者會議意見,修改實驗試體完成,繪製試體施作圖,5 月~6 月辦理試體估價及發包作業,6 月 30 日完成期中報告及工作事項查核表,於7 月 12 日進行期中審查會議。9 月份中旬完成製造。在施工階段拍照查驗、試樣測試、測試系統佈置、量測規劃佈置(應變計、位移計、影像量測系統)、實驗控制與載重歷時等,在9 月 29 日開始進行第一組試體實驗,於 10 月中旬進行第二及三組試體實驗, 10 月 14 日完成期末報告及工

作事項查核表,10月28日進行期末審查會議。11月14日召開第二次專家學者會議討論實驗結果,11月21日在建研所的15樓國際會議廳召開「鋼骨鋼筋混凝土構造規範修正研擬及耐震技術講習會」,最後依合約規定12月2日提交成果報告及電子檔光碟結案。

第二章 文獻回顧

Chou and Uang (2002) 測試 SRC 柱與鋼梁的梁柱接頭,研究結果顯示即使梁柱接頭箍筋量減至 ACI 318 (1996)的一半,接頭韌性行為仍滿足規範耐震行為的要求。

Ju et al.(2005) 針對 SRC 柱及 RC 梁的接合進行耐震實驗,接合方式有主筋直通、續接器銲於柱翼板延伸段、I 型梁作為鋼拱頭續接 RC 梁及續接器銲於柱板等形式。實驗結果主筋直通及續接器銲於柱翼板延伸段之接合形式能達到 4%的層間位移,由遲滯迴圈顯示有良好的韌性消能行為,如圖 2.1。

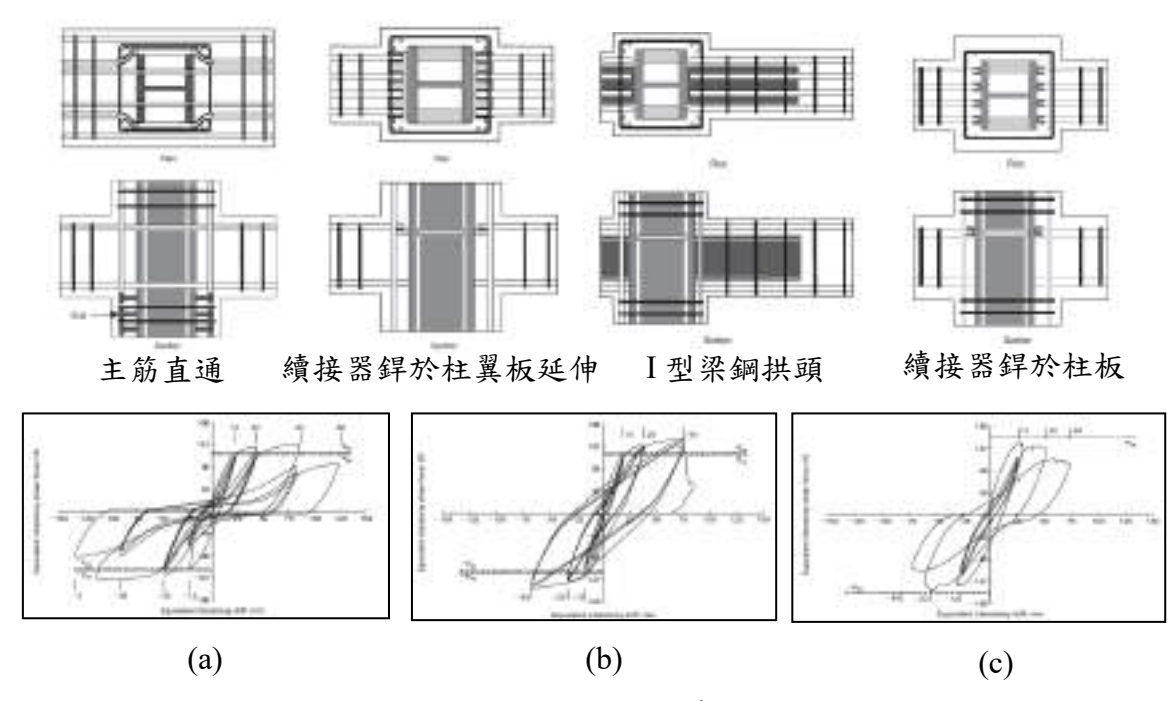
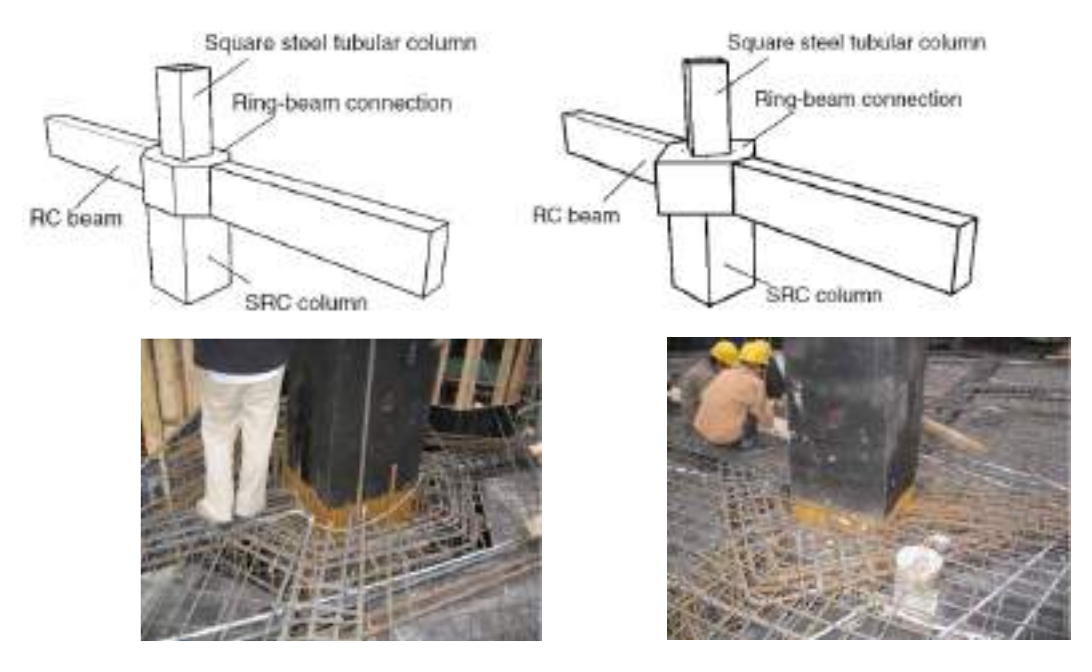


圖 2.1 梁柱接頭遲滯迴圈(a)主筋直通(b) 續接器銲接於柱翼板延伸 (c) I 型梁鋼拱頭 (Ju et al., 2005)

Pan et al. (2013) 針對 SRC 柱接 RC 梁的梁環狀接頭進行單向彎曲以及剪力實驗,此類接頭分成正交梁環狀接頭與非正交梁環狀接頭兩種,如圖(2.2)所示。實驗結果顯示此類型接頭可以達到強接頭弱梁需求,而接頭的耐震行為與其黏結性能、鋼筋伸展長度、混凝土與鋼桿件的剪力傳遞機制等因素相關。



(a)正交梁環狀接頭 (b)非正交梁環狀接頭 圖 2. 2 SRC 柱接 RC 梁的梁環狀接頭 (Pan et al.,2013)

Albright et al. (2022) 針對複合鋼造混凝土(NPS®: New Performance System)梁柱接頭進行研究。NPS® 是一種新型鋼-混凝土複合抗彎框架,採用鋼包鋼筋混凝土柱和鋼-混凝土複合梁,並採用鋼桁架元件加固,可兼作部分模板。實驗結果顯示接頭符合其設計強度,其中內柱接頭的破壞發生於梁降伏在梁柱交界處,側力位移遲滯迴圈飽滿。NPS®可以達到足夠的強度、剛度、延展性和能量耗散,滿足現代抗震性能目標。實驗結果的分析表明, NPS®可以達到或超過傳統的歐洲 RC 規範性能。

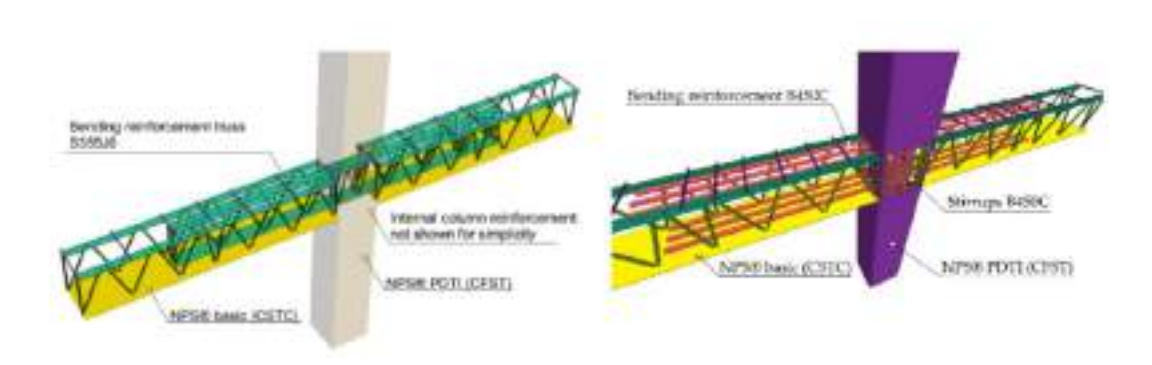


圖 2.3 新型鋼混凝土複合抗彎框架 NPS®梁柱接頭 (Albright et al., 2022)

Adibi et al. (2016) 進行外部 RC 梁柱接頭抗震補強的研究,因為鋼和混凝土結合力較弱,使用角鋼放置在梁柱接頭的表面,並通過以施加預應力進行外部固定,實驗證明經過補強過後的試體明顯改善接頭的變形,並提高接頭遲滯行為及強度。

Gautham and Sahoo (2022) 以 SRC 柱與 RC 梁的接頭梁縱向鋼筋的錨定長度和柱鋼骨截面中橫向加強鋼板的設置為關鍵參數,進行多軸及反覆側推實驗,結果顯示連接 SRC 柱與 RC 梁的接頭比 RC 的梁柱接頭有更好的抗震行為。此類接頭在兩個加載方向上有近乎對稱遲滯行為,且破壞集中發生在遠離接頭的梁上。並探討增加腹板加勁的試體具有對稱的遲滯特性與剪力變形,其加勁可以影響整體橫向強度。

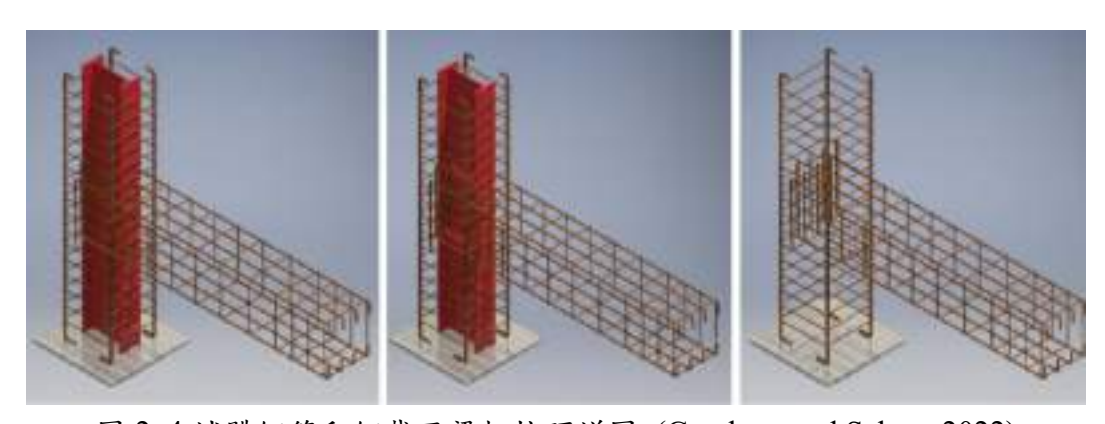


圖 2.4 試體鋼筋和鋼截面梁柱接頭詳圖 (Gautham and Sahoo, 2022)

Feng et al. (2022) 研究連接 HSRC 梁(Hybrid H-Steel reinforced concrete beam) 與 CFST 柱(concrete-filled steel tube)的接頭,如圖(2.4)所示。實驗結果顯示所有試體均符合強柱弱梁的要求,此種接頭的抗震行為直接被傳遞 RC 梁與 H型鋼梁間彎矩的縱向鋼筋配筋所影響,因此,此研究提出一個簡化計算公式,並透過實驗結果進行驗證。

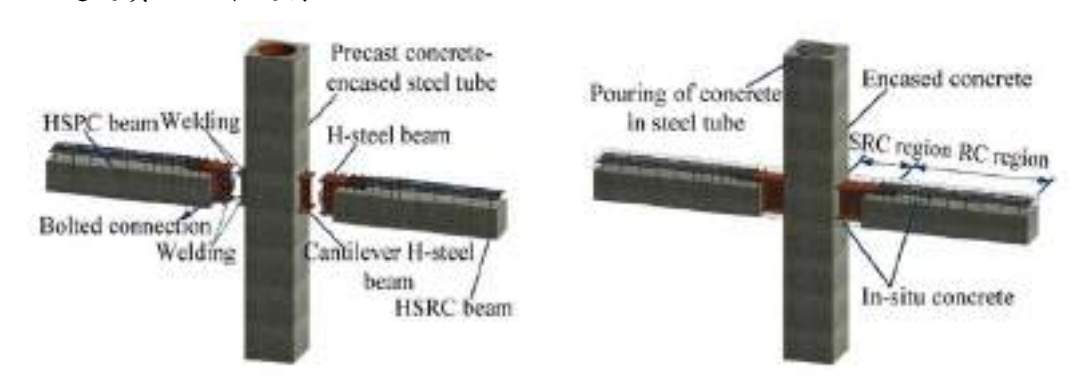


圖 2.5 HSRC 梁與 CFST 柱的接頭(Feng et al.,2022)

Shin et al. (2008) 研究複合型混凝土填充管的梁柱彎矩接頭,所有試體的連接處都有用 T 型加勁器連接到梁的翼板進行加固,如圖(2.5)所示。實驗結果顯示 T 型加勁器試體會因底部翼板斷裂而被破壞,翼板斷裂是由於應力集中,而當橫向桿件的長度增加,集中在梁翼板邊緣的應力會減少。另外,實驗結果顯示 T 型加勁器加上 RBS 是可以有效減少水平桿件的開裂傾向。

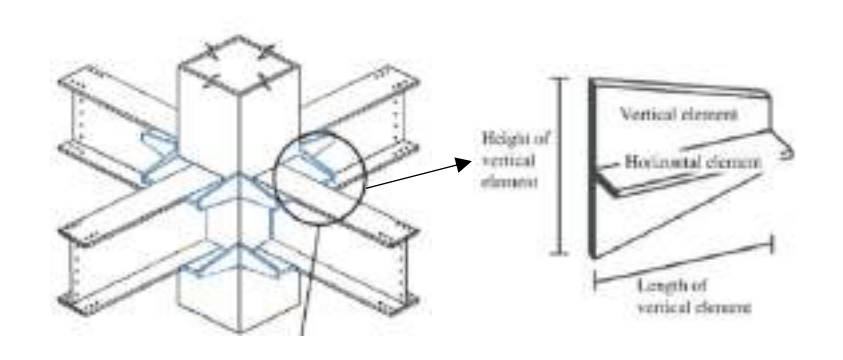


圖 2.6 梁柱接頭 T 型加勁器 (Shin et al., 2008)

我國建築技術規則(2020) 建築構造編第7章第3節第509條規定:「矩形 斷面鋼骨鋼筋混凝土構材之主筋,以配置在斷面四個角落為原則;在梁柱接 頭處,主筋應以直接通過梁柱接頭為原則,並不得貫穿鋼骨之翼板。」故以 建築技術規則條文來看,SRC 梁柱接頭區之梁與柱主筋應該直通並不貫穿鋼 骨之翼板。

再者由鋼骨鋼筋混凝土構造設計規範(2011)於8.5節梁柱接合細則,說明「鋼骨鋼筋混凝土梁柱接合處之主筋、箍筋配置及柱內連續板之開孔應符合本節之規定」。並於第8.5.1.1節規定:「鋼骨鋼筋混凝土梁柱接頭處之主筋應以直接通過接頭為原則,宜儘量避免以鋼筋續接器銲於鋼柱翼板上以續接主筋。」,若不得已必須採用時,應符合以下之規定:

- (1) 鋼筋續接器之種類、材料、品質與施工均應符合內政部頒佈之「混凝土 結構設計規範」之相關規定。
- (2) 以鋼筋續接器銲於鋼柱翼板上續接主筋,若主筋與鋼梁翼板不在同一水平面時,則須在鋼柱內與主筋同一水平面處加銲適當之水平加勁板 (連續板)以傳遞主筋之水平力。

此外並於第 4.2.3.節鋼骨之鋼筋貫穿孔中規定第 2 條「鋼骨鋼筋混凝土梁或柱之鋼骨斷面之翼板,原則上不得設置鋼筋貫穿孔。」, 第 3 條「鋼骨鋼筋混凝土柱之鋼骨斷面之腹板,於必要時得設置鋼筋貫穿孔。」。

但經調查目前國內工程實務上,梁柱接頭區的梁鋼筋與柱鋼骨於施工上必

然會有交錯,目前鋼骨鋼筋混凝土梁柱接頭設計,當梁鋼筋觸及柱鋼骨時, 常採用鋼筋續接器(Coupler)作為連接之材料。普遍認為可以將鋼筋之應力 妥適傳遞並完成對應的錨錠。在現行業界這種接法十分普遍,應力之傳遞仍 是未能釐清,而美、日之相關文獻與實務上與國內不同,故缺乏參考佐證。

當使用鋼筋續接器時,鋼骨鋼筋混凝土構造設計規範(2011)第 8.5.1.1 節條款解說:「為了確保梁柱接頭處的彎曲應力(Bending Stress)能夠有效傳遞,SRC 梁柱接頭處之主筋應以直接通過接頭為原則。有關採用鋼筋續接器(Coupler)銲接於鋼柱翼板來接續主筋之方式,目前尚未有充分的研究證明這種接合方式的可靠度,尤其是受到往復力作用下之力學行為並不明確。由於在翼板加銲續接器,將使柱鋼板受到垂直於板平面的拉力作用,該拉力是否會造成鋼板拉裂是一個十分值得研究的課題。此外,這種接合方式的施工品質亦是值得關心的問題。基於上述之考量,本規範建議在這些問題尚未釐清之前宜儘量避免採用此種接合方式。若非不得已必須採用此種接合方式時,至少應符合本節規範條文中有關鋼筋續接器種類、材料與施工之規定,且務必於鋼柱內與主筋同一水平面處加銲連續板。最好能再輔以適當的實驗以證明其強度、韌性及可靠度。」

故由第 8.5.1.1 節條款解說可說明於規範強調鋼筋應以直通為原則,儘量少用續接器,如果不得已必須採用時,除需符合對鋼筋續接器種類、材料與施工位置之規定外,再輔以適當的實驗作為證明。但目前於工程實務上,除遵照鋼筋續接器種類、材料與施工位置之規定,卻鮮少有實驗作為證明,以致對於真正鋼筋與鋼骨的傳力機致仍不明確。此外 SRC 構造建築大都用於中高樓層建物,對於底層梁柱接頭處,不論是承受自重或地震力極大,當使用鋼筋續接器時如何釐清梁柱接頭傳力機制實為重要。

此外鋼骨鋼筋混凝土構造設計規範(2011)於 8.7.2 節規定:「當設計鋼骨鋼筋混凝土柱與鋼筋混凝土梁相接時,為使應力傳遞平順,應使鋼筋混凝土梁之應力先傳遞至鋼骨鋼筋混凝土梁上,再由鋼骨鋼筋混凝土梁與鋼骨鋼筋混凝土柱相接合。」。其解說則為:「為使應力傳遞平順,若設計上需要 SRC 柱與 RC 梁相接時,應採用漸進方式來進行構材斷面之轉換續接,即先以 SRC 柱接一般 SRC 梁,再將 SRC 梁轉換為 RC 梁。」,可見規範仍以保守謹慎,RC 梁是不建議與 SRC 柱直接連接。

現行業界鋼筋續接器施工常用的做法如下(陳正平 2017 技師報第 1064 期):

- 梁鋼筋經由鋼筋續接器與梁端擴頭鋼骨翼板續接
- RC 梁主筋經由續接器與鋼柱上之拱頭梁疊接
- 梁主筋以續接器銲於鋼骨柱面參考現行國內相關文獻,將其觀點敘述如下:

- 1. 在 RC 與鋼骨彼此間之互制效應無法獲得確認時,可考慮儘量讓接頭區之應力能夠順利傳遞,避免 RC 應力與鋼骨構材作力量的轉換,因為兩者畢竟是不同的構造。以及認為規範仍然強調鋼筋應以直通為原則,儘量少用續接器,足見使用續接器的不當性。(陳純森 2011 技師報第 782 期)
- 2. 對規範第 8.5.1.1 節及第 4.2.3.3 節規定,似未了解到「梁-柱接頭力系平衡及耐震系統傳力路徑完整性」之內涵,而且不符合合成結構力系平衡及耐震系統傳力路徑完整性的安全基本要求。(陳正平 2017 技師報第 1064 期)
- 3. 對規範第8.7.2節,除不符合相關規範對耐震需求之規定外,實務上施工亦甚困難,因而實務上甚少採用,有採用之案例設計考量亦欠問全。鋼筋混凝土梁係屬低強度構材接高強度構材,無需作多此一舉增加施工困難度及增加工程費之作法。顯見鋼骨鋼筋混凝土設計規範第8.7.2節規定欠缺力學及施工性之考量。工程師若採用鋼筋混凝土梁與鋼箱柱相接時,應避免設置鋼骨托梁,直接與鋼箱柱連接即可。(陳正平2017技師報第1082期)
- 4. 「採用續接器銲於鋼柱上作為鋼筋與鋼柱間之續接法」,並無「不符合建築技術規則與鋼骨鋼筋混凝土設計規範之規定」之情事,採用續接器銲於鋼柱上,作為鋼筋與鋼柱間之續接法,是目前執業技師所採用的正確作法,也是目前已知唯一可符合結構安全需求的方法。(陳正平 2018 技師報第 1117 期)
- 5. 對於目前鋼筋混凝土梁與鋼骨鋼筋混凝土柱續接型式,包含鋼骨鋼筋混凝土構造設計規範(2011)第8.7節建議之托梁型式,並改良為鋼筋混凝土梁主筋經由續接器與鋼柱上之鋼骨托梁續接,以及鋼筋混凝土梁主筋藉由鋼筋續接器與鋼骨鋼筋混凝土柱續接的型式,業界對於這2種型式設計之正確性尚有疑慮,莫衷一是,影響 SRC 建築梁柱接頭之耐震安全性,因此有必要進行大尺寸鋼筋混凝土梁與鋼骨鋼筋混凝土柱續接試體之實驗研究,以提升國內 SRC 建築整體耐震能力。(李台光 2020)

於工程實務上經常使用這 3 種型式,但面臨審查時與 SRC 規範 (2011) 第 8.5.1.1 節規定不符,又未經過相關實驗驗證,進一步影響 SRC 梁柱接頭 之耐震安全性。

基於上述原委,本計畫規劃 3 組梁柱接頭試體,用來驗證鋼骨鋼筋混凝 土構造設計規範 (2011) 於第 8.5.1.1 節及 8.7.2 節規定,試體一為包覆填充 型鋼骨鋼筋混凝土柱與鋼骨鋼筋混凝土(SRC)梁,試體二、三則為包覆填充型 鋼骨鋼筋混凝土柱與鋼筋混凝土(RC)梁。其中試體一梁主筋以續接器銲接至 鋼柱上;試體二梁主筋以續接器銲接至鋼柱上,RC梁以剪力榫連接鋼柱;試體三柱使用鋼拱頭與RC梁接合,梁主筋一半數量以續接器銲於鋼拱頭翼板上,一半數量以續接器直接銲於鋼柱上,用以驗證梁柱接頭傳力機制。

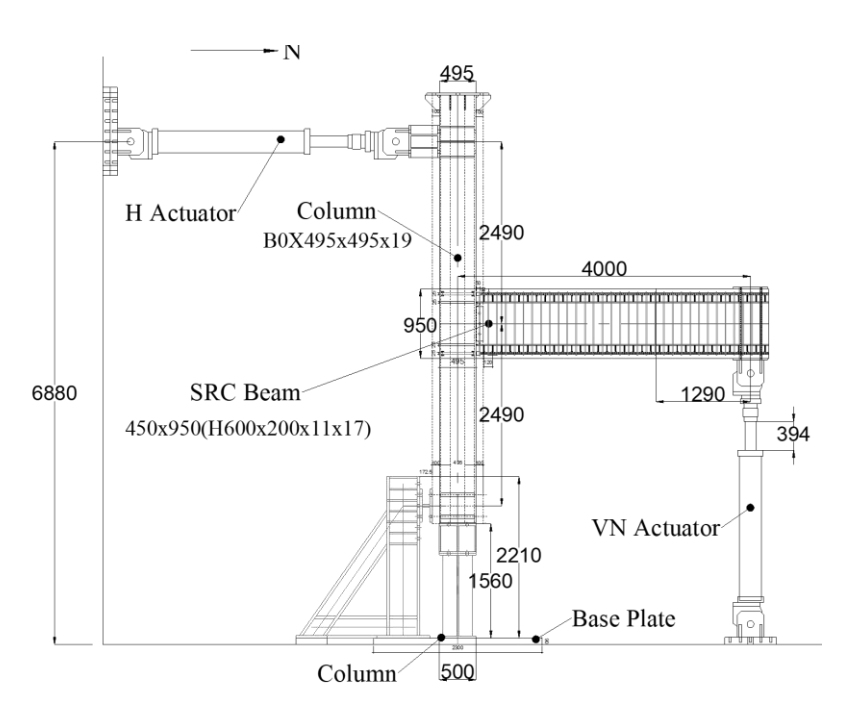
隨著製作方法及品質不斷的提升,續接器應用越來越廣泛,需要分別進行銲道和續接器續接性能之檢驗,以確保施工品質。試體一及試體二皆以梁主筋以續接器連銲接至鋼柱鋼骨上,採用立式續接器,銲接方式為單 J 槽部份渗透銲,使用 E70 系列銲條,續接器本身為可銲鋼材,銲條長度採工程慣例 56mm,此為目前業界常用方式;試體三則梁主筋則以續接器銲接至鋼梁延伸段上,採用臥式續接器,銲接方式為曲 K 槽銲,使用 E70 系列銲條,續接器本身為可銲鋼材,銲條長度為 145mm,其相關說明參見第三章第三節,所有續接器續接等級規定皆為 SA 等級(陳正誠 2004),以此三種試體不同的續接器方式用以驗證目前實務上之狀況。

第三章 試體設計與實驗規劃

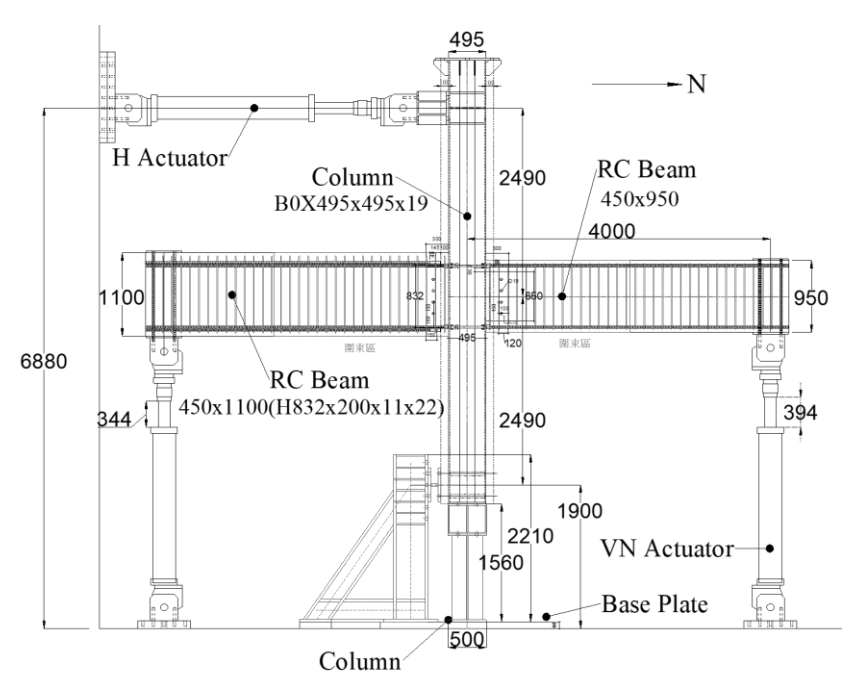
本研究規劃 3 組梁柱接頭試體,試體一為包覆填充型鋼骨鋼筋混凝土柱與鋼骨鋼筋混凝土梁,試體二、三則為包覆填充型鋼骨鋼筋混凝土柱與鋼筋混凝土梁。本計畫分別於 111 年 5 月 6 日、11 月 14 日召開專家學者會議,參考專家學者建議請見(附錄 1)及期中、期末審查 Q&A(附錄 8),考慮國內目前實際現況,三支試體分別敘述如下:

- 1. 試體一柱為包覆填充型鋼骨鋼筋混凝土柱,尺寸為 695×695 mm 高度為 6005 mm,柱鋼骨採用 BOX 495×495×19 mm,外層包覆 10cm 厚度之混凝土及點銲鋼絲網;梁為鋼骨鋼筋混凝土梁,尺寸為 450× 950 mm 長度為 4m,內部梁鋼骨採 H600×200×11×17 mm,梁上下層各為 4 支#10 主筋,每支主筋則以#10 續接器銲接至鋼柱上。
- 2. 試體二柱為包覆填充型鋼骨鋼筋混凝土柱,尺寸為695×695 mm 高度為6005 mm,柱鋼骨採用BOX495×495×19 mm,外層包覆10cm厚度之混凝土及點銲鋼絲網;梁為鋼筋混凝土梁,尺寸為450×950 mm 長度為4m,梁上下層各為4支#10主筋,每支主筋則以#10續接器銲接至鋼柱上,並梁腹以剪力榫連接至鋼柱上。
- 3. 試體三柱為包覆填充型鋼骨鋼筋混凝土柱,尺寸為 695×695 mm 高度為 6005 mm,柱鋼骨採用 BOX 495×495×19 mm,外層包覆 10cm 厚度之混凝土及點銲鋼絲網;梁為鋼筋混凝土梁,尺寸為 450×1100 mm 長度為 4m。梁上下層各為 4 支#10 主筋,柱使用鋼拱頭與鋼骨鋼筋混凝土梁接合,梁主筋一半數量以續接器銲於鋼拱頭翼板上,一半數量以續接器直接銲於鋼柱上。

三支試體其變化參數包括梁柱斷面尺寸、材質、寬厚比、現行規範 λ_{pd} 列於表 3.1,鋼骨之寬厚比皆符合現行 SRC 構造規範(2011)表 3.4-2 及表 3.4-3 中耐震設計肢材寬厚比 λ_{pd} 之規定。三組試體佈置圖詳圖 3.1 及附錄 2 ,夾具設計圖詳見附錄 3 。



(a) 試體一(包覆填充型鋼骨鋼筋混凝土柱+鋼骨鋼筋混凝土梁)



(b) 右側,試體二(包覆填充型鋼骨鋼筋混凝土柱+鋼筋混凝土梁) 左側,試體三(包覆填充型鋼骨鋼筋混凝土柱+鋼筋混凝土梁) 圖 3.1 實驗試體佈置圖

	結構	尺寸 (mm)	材質	b/tf	λ_{pd}	CHECK	h/tw	λ_{pd}	CHECK
			SN490B						
	柱	Box495x495x19	$(Fy=3.3tf/cm^2)$	24.1	43.1	OK	-	-	-
			fc'=350kgf/cm ²						
試體一		450,050	SN490B		11.6	OK	51.5	76	
	CDC 34	450x950	$(Fy=3.3tf/cm^2)$	5.0					OK
	SRC 梁	H600x200x11x17 4#10+4#10	fc'=350kgf/cm ²	5.9					OK
			fy'=4200kgf/cm ²						
	ls.	D. 405 405 10	SN490B(Fy=3.3tf/cm ²)	24.1	12.1	OK	-	-	
	柱	Box495x495x19	fc'=350kgf/cm ²	24.1	43.1				-
	RC右側梁	450x950	fc'=350kgf/cm ²						
試體	(試體二)	4#10+4#10	fy'=4200kgf/cm ²	-	-	-	-	-	-
ニヽ゠		450 1100	SN490B						
	RC 左側梁	450x1100	(Fy=3.3tf/cm ²)	4.5	11.6	OW	71.6	76	OW
	(試體三)	4#10+4#10	fc'=350kgf/cm ²	4.5		OK	71.6	76	OK
		(H832x200x11x22)	fy'=4200kgf/cm ²						

表 3.1 試體尺寸、材料性質及寬厚比

第一節 整體說明

本實驗旨在探討 SRC 梁以續接器接合鋼柱之耐震實驗,試體尺寸、材質如前述試體設計與實驗規劃說明,試體一部分包含包覆填充型鋼骨鋼筋混凝土柱(以 SRC 柱簡稱)及單側鋼骨鋼筋混凝土梁(以 SRC 梁簡稱)並將續接器銲於柱上。試體二梁為與試體一梁完全相同之配置惟將鋼骨部分去除之鋼筋混凝土梁;試體三為鋼柱以鋼拱頭延伸接合鋼筋混凝土梁,梁主筋部分續接器銲接於鋼拱頭翼板上。試體二及試體三共用一支包覆填充型鋼骨鋼筋混凝土柱(與試體一材質、尺寸相同)。故實驗配置共有兩組(一支 SRC 柱單側連接一支 SRC 梁)及(一支 SRC 柱於兩側連接兩支 RC 梁)。設計細節包含試體的強柱弱梁比、梁柱接頭剪力檢核、鋼筋混凝土部分之剪力鋼筋設計以及試體二三的 RC 梁接合設計,將於後續小節一一敘述。

第二節 試體一

試體一之柱為銲接箱型鋼柱內灌混凝土外包 10 公分混凝土及點銲鋼絲網,梁為鋼骨鋼筋混凝土梁,鋼骨為 H 型鋼,鋼筋則為上下排各 4 支 D32 主筋。詳細尺寸、材質、寬厚比詳見表 3.1,試體斷面示意圖見圖 3.2 及圖 3.3,本實驗符合鋼結構極限設計法耐震斷面規定。

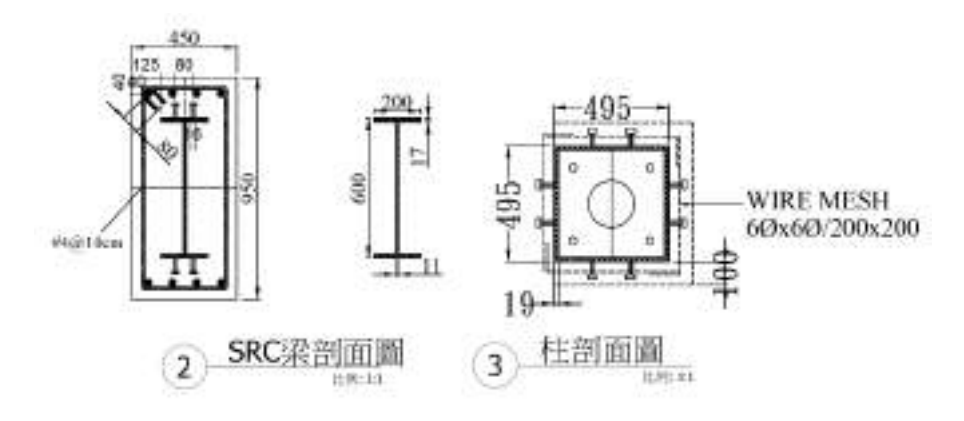


圖 3.2 試體一之梁柱斷面圖

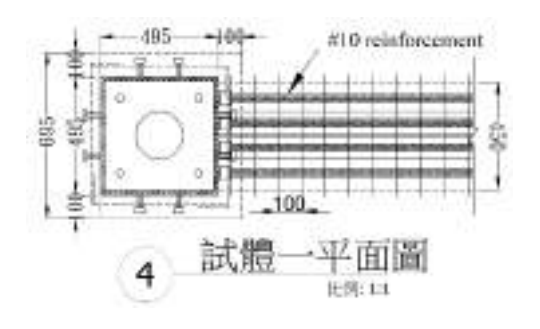


圖 3.3 試體一之梁柱接合平面圖

3.2.1 強柱弱梁檢核

本節根據國內鋼骨鋼筋混凝土構造設計規範與解說(2011)規定,在梁柱接頭區應滿足強柱弱梁之檢核要求

$$\frac{\sum M_C}{\sum M_B} \ge 1.2 \tag{3.2-1}$$

其中:

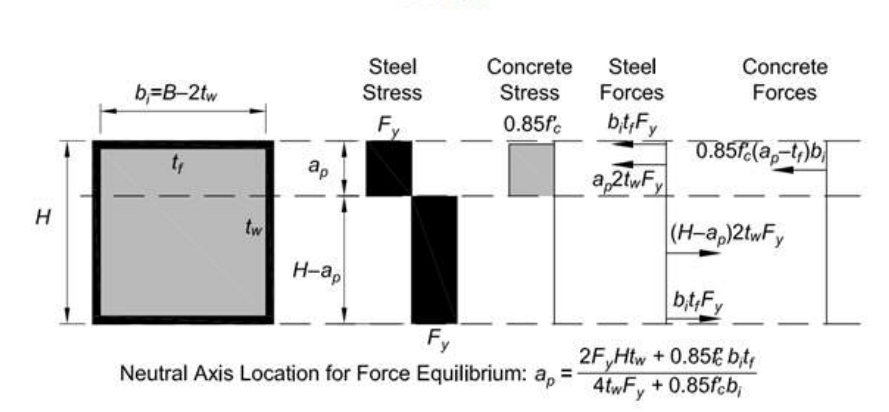
ΣM_c=鋼骨鋼筋混凝土構架中,連接於梁柱接頭處各柱在接頭交接面之標稱彎矩強度之總和。柱之彎矩強度應為在所考慮方向之側力作用下,由各種載重組合之軸力作用下計算所得之最小彎矩強度。

 \sum_{M_s} =鋼骨鋼筋混凝土構架中,連接於梁柱接頭處各梁在接頭交接面之標稱彎 矩強度之總和。梁彎矩強度和之方向應與柱彎矩強度和之方向相反,且作用 於所考慮構架立面內梁之兩方向彎矩(順、逆鐘方向)均應考慮於(3.2-1)式之中。

(1) 柱標稱彎矩強度

柱之標稱彎矩以柱發展至塑性彎矩強度做計算,參考 AISC-360-10 包覆填充型斷面之複合斷面算法,算例流程如圖 3.4。

FLEXURE



(a) Compact section-stress blocks for calculating Mp

圖 3.4 填充型複合斷面柱之塑性彎矩算式圖

柱標稱彎矩強度:

$$\begin{split} b/t &= 24.05 < \lambda_{hd} = 35.09 \\ b &= 45.7 \, \text{cm}, \quad \text{H} = 49.5 \, \text{cm}, \quad \text{t}_f = 1.9 \, \text{cm}, \quad t_w = 1.9 \, \text{cm}, \quad \text{F}_y = 3.3 \, \text{tf} / \text{cm}^2 \\ M_{pc} &= \left[(b t_f F_y) \times (a_p - \frac{t_f}{2}) + (a_p 2 t_w F_y) \times \frac{a_p}{2} + (0.85 \, f_c^{'}(a_p - t_f) b) \times (\frac{a_p - t_f}{2}) \right] \\ &+ \left[(H - a_p) \times 2 t_w F_y \times (\frac{H - a_p - t_f}{2}) + (b t_f F_y) \times (H - a_p - \frac{t_f}{2}) \right] \\ &= 23232 \, \text{tf} - c m = 232.32 \, \text{tf} - m \end{split}$$

(2)梁標稱彎矩強度

根據國內鋼骨鋼筋混凝土構造設計規範與解說(2011)規定,包覆型鋼骨鋼筋 混凝土梁之標稱彎矩強度得採用「強度疊加法」計算如下:

$$M_{n} = M_{ns} + M_{nrc} ag{3.2-2}$$

其中:

 M_{ns} = 鋼骨部分之標稱彎矩強度,其值為 ZF_{ys} ,Z 為鋼骨之塑性斷面模數, F_{ys} 為鋼骨之規定降伏應力

 M_{nrc} = 鋼筋混凝土部分之標稱彎矩強度,依內政部所定之「混凝土結構設計規範」之相關規定計算

(2.1)鋼骨部分計算:

表 3.2 試體一梁尺寸參數表

	結構	尺寸 (mm)	材質
		450x950	SN490B (Fy=3.3tf/cm ²)
試體一	SRC 梁	H600x200x11x17	fc'=350kgf/cm ²
		4#10+4#10	fy'=4200kgf/cm ²

寬厚比檢核
$$b/t_f = \frac{100}{17} = 5.88 < \lambda_{pd} = 11.56$$
, $h_c = \frac{600 - 34}{11} = 51.45 < \lambda_{pd} = 75.97$

 \Rightarrow Z = 2863.2cm³, $M_{ns} = F_y$ Z=3.3×2863.2=9448tf-cm=94.48 tf - m

(2.2)鋼筋混凝土部分計算:

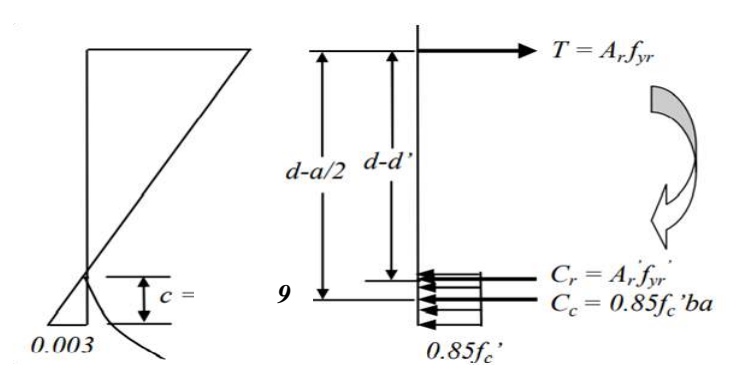


圖 3.5 鋼筋混凝土標稱彎矩算式示意圖

$$d' = 7cm$$
, $d = 88cm$

$$\varepsilon_r' = \frac{0.003}{c}(c - d') = \frac{0.003}{c}(c - 7)$$

$$C_c = 0.85 \times f_c' \times B \times a = 0.85 \times 0.35 \times 45 \times (0.85c)$$

$$C_r = A_r' f_{yr}' = (4*8.14) \times \frac{6120}{c}(c - 7) \times 10^{-3}$$

$$T = A_r F_{yr} = (4*8.14) \times 4.2 = 136.752tf$$

$$\rightarrow C_c + C_r = T, \qquad 10.115c + 199.267(\frac{c - 7}{c}) = 136.752, \quad \therefore c = 9.05cm$$

$$\rightarrow C_c = 98.54tf, \quad C_r = 38.2tf, \quad T = 136.75tf$$

$$\varepsilon_r' = \frac{0.003}{9.05}(9.05 - 7) = 0.0007 < \varepsilon_y = 0.00206($$
壓不降)
$$\rightarrow M_{nrc} = C_c(d - \frac{a}{2}) + C_r(d - d') = 11403tf - cm = 114tf - m$$

(2.3)強度疊加:

將鋼骨部分以及鋼筋混凝土部分強度疊加得

$$\Rightarrow M_n = M_{ns} + M_{nrc} = 94.48 + 114 = 208.48 \text{ tf} - m$$

(3)強柱弱梁比

由前述計算可得知試體一之強柱弱梁比為

$$\frac{\sum M_C}{\sum M_B} = \frac{2 \times 232.32}{208.48} = 2.23 \ (>1.2)$$

3.2.2 梁柱接頭區剪力檢核

本節根據國內鋼骨鋼筋混凝土構造設計規範與解說9.7章節(2011)規定,鋼骨鋼筋混凝土梁柱接頭區之設計剪力強度 $_{qV_{u}}$ 應不小於本節所規定之需要剪力強度 $_{V_{u}}$ 。

鋼骨鋼筋混凝土梁柱接頭區之需要剪力強度 V. 應依以下規定計算:

$$V_{u} = \left[1.25F_{yr}(A_{rt} + A_{rb}) + \sum_{b}(M_{ns}/(d_{b} - t_{f}))\right] - V_{T}$$
(3.2-3)

其中:

Fyr= 鋼骨鋼筋混凝土梁主筋之規定降伏應力

Art = 鋼骨鋼筋混凝土梁中受拉主筋之斷面積

An= 鋼骨鋼筋混凝土梁中受壓主筋之斷面積

Mns = 鋼骨鋼筋混凝土梁中鋼骨部分之標稱彎矩強度

包覆填充型鋼骨鋼筋混凝土柱與梁主筋以續接器接合之接頭耐震試驗

db= 鋼梁斷面之深度

tf= 鋼梁斷面翼板之厚度

 V_T = 作用於鋼骨鋼筋混凝土柱上下兩端交接面之水平剪力

鋼骨鋼筋混凝土梁柱接頭區之設計剪力強度 $\phi_{i}V_{n}$ 應為鋼骨部分與鋼筋混凝土部分剪力強度之和。即

$$\phi_{v}V_{n} = \phi_{vs}V_{ns} + \phi_{vrc}V_{nrc} \tag{3.2-4}$$

其中 $\phi_{vs}V_{ns}$ 與 $\phi_{vrc}V_{nrc}$ 分別為鋼骨與鋼筋混凝土部分在梁柱接頭區之設計剪力強度,其值應依以下規定計算:

(1) 鋼骨部分:

鋼骨鋼筋混凝土柱中鋼骨部分之梁柱接頭區設計剪力強度 $\phi_{ss}V_{ss}$ 應依內政部所定之「鋼結構極限設計法規範及解說」相關規定決定之。

(2) 鋼筋混凝土部分:

常重混凝土接頭區之設計剪力強度為 $\phi_{vr}V_{vr}$, $\phi_{vr}=0.75$, 且標稱

剪力強度 V_{nrc} 不得大於下列所示之值:

(a) 圍束接頭:

$$V_{nrc} = 5.3\sqrt{f_c}A_j[1 - \frac{A_s F_{ys}}{2(P_n)_u}]$$
(3.2-5)

(b) 接頭三面或兩對面受圍東:

$$V_{nrc} = 4.0\sqrt{f_c'}A_j[1 - \frac{A_s F_{ys}}{2(P_n)_u}]$$
 (3.2-6)

(c) 其他:

$$V_{nrc} = 3.2\sqrt{f_c} A_j \left[1 - \frac{A_s F_{ys}}{2(P_r)_r}\right]$$
 (3.2-7)

其中 Ai 為接頭區 RC 部分之有效受剪面積,其值如下:

(i) 接頭處之梁為鋼骨鋼筋混凝土梁時:

有效受剪面積 A_j之深度為沿剪力方向接頭之深度; A_j之寬度為梁之寬度加上接頭深度或加上兩倍之梁邊至柱邊距離之較小值,上述二者取小值。

(ii) 接頭處之梁為鋼梁時:

有效受剪面積 A_i 之深度為沿剪力方向接頭之深度; A_i 之寬度依上述第(1)款計算,惟不得大於接頭處垂直於剪力方向柱寬之一半。上述之梁被視為對梁柱接頭具有圍束作用者,該梁之寬度至少為柱寬之 3/4,而圍束接頭係指接頭之四面均受梁圍束。

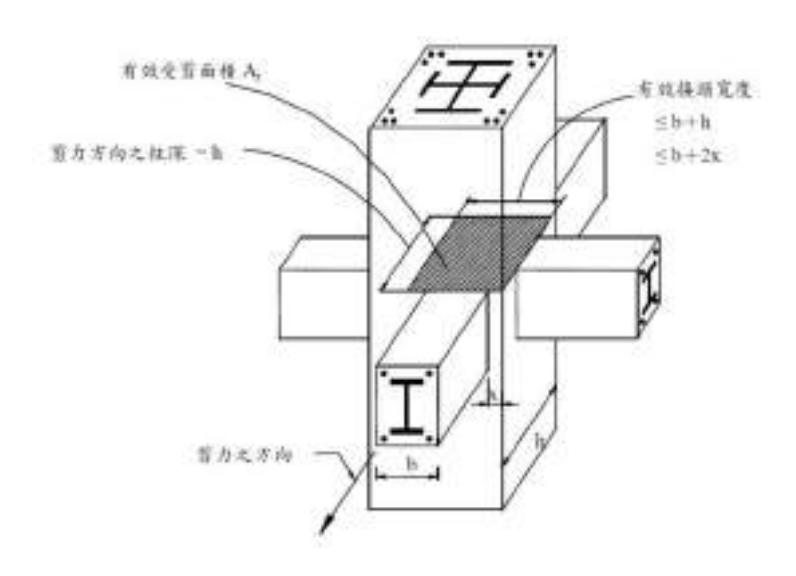


圖 3.6 SRC 梁柱接頭區有效受剪面積 Ai 示意圖

(1) 設計剪力強度

依據內政部所定之「鋼結構極限設計法規範及解說」相關規定,計算所需參數如下:

 $F_y(\text{tf/cm}^2) d_c(\text{cm}) t_p(\text{cm}) f_c'(\text{kgf/cm}^2) A_j(\text{cm}^2) (P_n)_u(\text{tf}) A_s(\text{cm}^2) F_{ys}(\text{tf/cm}^2)$ 3.3 49.5 1.9x2 350 2088 1815.13 361.76 3.3

表 3. 3 試體一梁柱接頭區設計剪力強度參數表

$$\begin{aligned} V_{ns} &= 0.6 F_{y} d_{c} t_{p} = 372.44 tf \\ V_{nrc} &= 3.2 \sqrt{f' c} A_{j} [1 - \frac{A_{s} F_{ys}}{2(P_{n})_{u}}] = 83.89 tf \\ \Rightarrow \phi_{y} V_{n} &= 0.9 \times V_{ns} + 0.75 \times V_{nrc} = 398.11 tf \end{aligned}$$

(2) 需求剪力強度

依據鋼骨鋼筋混凝土構造設計規範與解說(2011)規定,計算所需參數如下:

 $F_{yr}(tf/cm^2) |A_{rt}(cm^2)| A_{rb}(cm^2) |M_{ns}(tf-m)| M_{nrc'}(tf-m) | l_n(m) |d_b(cm)| t_f(cm) |V_T(tf)|$ 4.2 | 32.57 | 0 | 94.48 | 141.17 | 4.98 | 0.6 | 0.017 | 47.32

表 3. 4 試體一梁柱接頭區需求剪力強度參數表

$$V_u = 1.25 \times F_{vr} \times (A_{rt} + A_{rb}) + \sum (M_{ns} / (d_b - t_f)) - V_T$$

$$V_T = \frac{M_{pr}}{l_n} = \frac{M_{ns} + M_{nrc}}{l_n} = 47.32tf$$

 $\Rightarrow V_u = 285.75 tf$

(3) 檢核

$$\phi_{v}V_{n} = 409.03tf$$
 $V_{u} = 285.75tf$ $\Rightarrow \phi_{v}V_{n}/V_{u} = 1.43 > 1$ (檢核通過)

3.2.3 剪力鋼筋設計

因本實驗有水平及垂直制動器,實驗規劃由垂直制動器給一向上推力,期望最大推力使梁柱接頭區發生塑鉸,並將此推力視為最大所需剪力以設計剪力鋼筋。根據「內政部混凝土結構設計規範」第十五章-耐震設計之特別規定(2021),當計算梁之塑性彎矩時,鋼筋應以 $1.25f_y$ 做計算,計算流程與本章計算梁彎矩強度同,得 RC 部分之塑性彎矩 $M_{prl}=142tf$ -m;鋼骨部分則考慮應變硬化因子 $\Omega_n=1.3$,得鋼骨部分之塑性彎矩 $M_{prl}=123tf$ -m。依據強度疊加法,當 SRC 梁發生塑鉸時之彎矩為 $M_{pr}=M_{prl}+M_{pr2}=265tf$ -m.根據此彎矩強度回推垂直制動器所需之最大推力為 $P=V_u=265/3.75$ m(梁柱接頭表面至垂直制動器之水平距離)=70.6tf。詳示意圖 3.7。

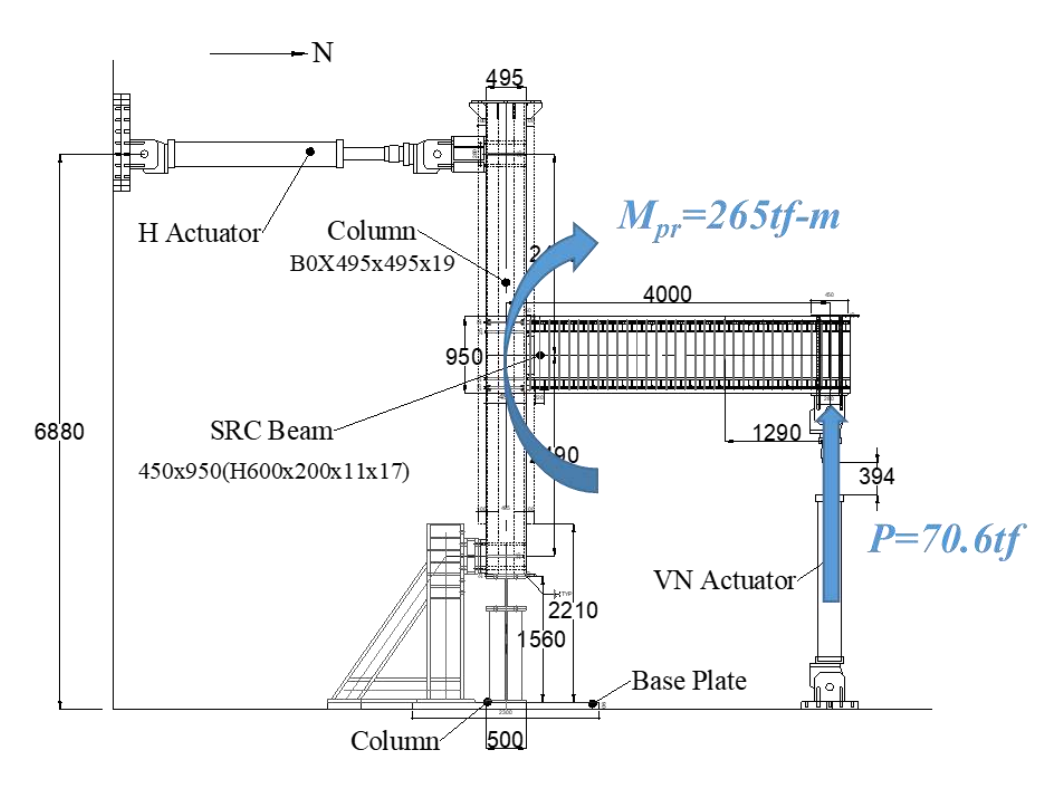


圖 3.7 試體一構架垂直制動器推力示意圖

於鋼骨鋼筋混凝土構造設計規範與解說第九章(2011)耐震規定,在梁柱接頭交接面兩倍梁深內為圍東區需配置剪力鋼筋,剪力鋼筋間距不得超過(i)1/4 梁斷面有效深度 (ii) 8 倍最小主筋直徑 (iii)24 倍剪力鋼筋直徑 (iv)300mm。於「內政部混凝土結構設計規範」第十五章-耐震設計之特別規定 (2021)地震引致之剪力其設計剪力鋼筋時,混凝土貢獻之剪力 Vc應假設為零。另在設計剪力時亦須考量鋼梁腹板之剪力貢獻。而鋼梁腹板及剪力鋼筋之剪力計算強度如下:

$$V_n = 0.6F_{vw}A_w = 130.68tf$$
, $\phi V_n = 117.612tf$

$$V_s = \frac{A_v f_{yt} d}{s} = \frac{(1.27 \times 2) \times 4200 \times 88 \times 10^{-3}}{10} = 94tf, \quad \phi V_s = 70.5 tf \ (\text{ \mathbb{P} $£})$$

最終設計以「單箍」剪力鋼筋#4 間距 10 cm 作為設計,使得剪力強度 $\psi_{\text{N}} + \psi_{\text{N}} = 188.1 \text{ ff}$ 大於所需剪力 $P = V_{\text{N}} = 70.6 \text{ ff}$ 。

第三節 試體二與試體三

試體二在規劃上為比較與試體一之差異,取消梁鋼骨,其餘設計、尺寸、材質、主筋、續接器位置皆與試體一相同,所以試體二梁為外尺寸 450×950mm,梁長 4000 mm 之 RC 梁,剪力部分則設計剪力釘、剪力榫作為傳力機制。試體三在設計上為與試體二比較,所以將續接器的位置做調整,其中二顆一樣銲於柱面上,而另二顆則銲於鋼拱頭翼板上。為與試體二使用相同連續板,經檢討後,試體三為一外尺寸 450×1100 mm 梁長 4000 mm 之 RC 梁,剪力則由剪力釘、鋼梁拱頭共同傳力。試體二與試體三共用同一支柱,此為 SRC 柱雙側接梁之構架,柱與試體一之柱相同,為銲接箱型鋼柱內灌混凝土外部則外包 10 公分之混凝土及點銲鋼絲網;詳細尺寸、材質、寬厚比詳見表 3.1,試體斷面示意圖見 3.8 及圖 3.9。

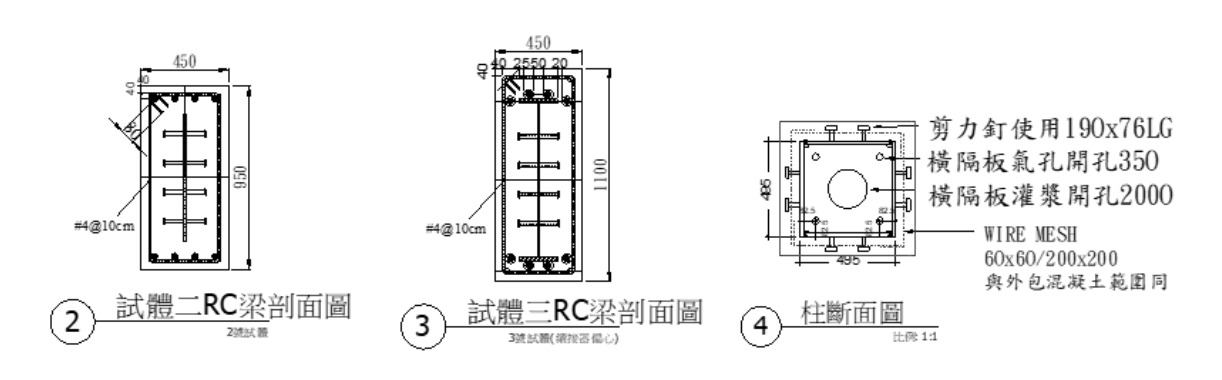


圖 3.8 試體二、三梁柱斷面圖

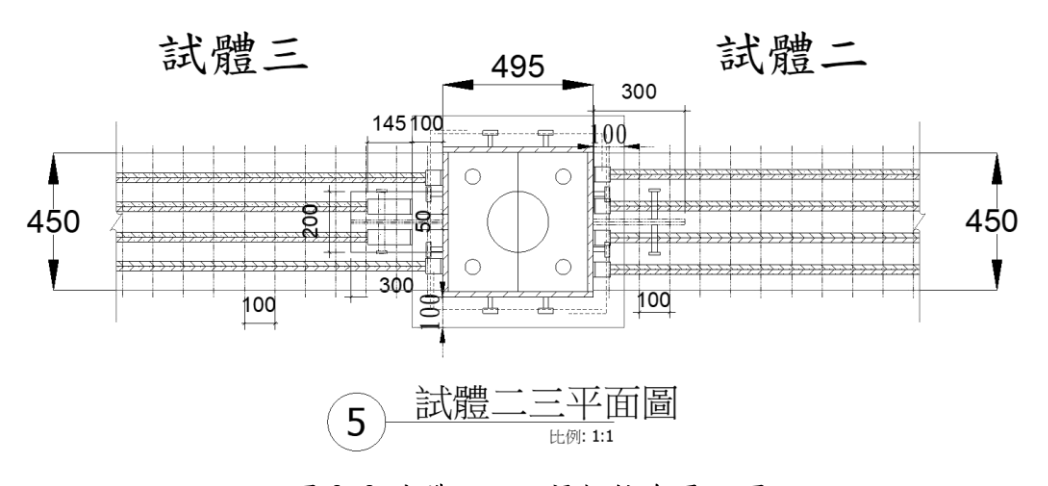


圖 3.9 試體二、三梁柱接合平面圖

3.3.1 強柱弱梁檢核

(1) 柱標稱彎矩強度

試體二與試體三共用之柱與試體一相同,計算流程與結果如試體一。柱之標稱彎矩以柱發展至塑性彎矩強度做計算,參考 AISC-360-10 包覆填充型斷面之複合斷面算法,算例流程可參照圖 3.4。

柱標稱彎矩強度:

$$\begin{split} b/t &= 24.05 < \lambda_{hd} = 35.09 \\ b &= 45.7 \, \text{cm}, \quad \text{H} = 49.5 \, \text{cm}, \quad \text{t}_f = 1.9 cm, \quad t_w = 1.9 cm, \quad F_y = 3.3 tf / cm^2 \\ M_{pc} &= [(bt_f F_y) \times (a_p - \frac{t_f}{2}) + (a_p 2t_w F_y) \times \frac{a_p}{2} + (0.85 f_c^{'}(a_p - t_f)b) \times (\frac{a_p - t_f}{2})] \\ &+ [(H - a_p) \times 2t_w F_y \times (\frac{H - a_p - t_f}{2}) + (bt_f F_y) \times (H - a_p - \frac{t_f}{2})] \\ &= 23232 tf - cm = 232.32 tf - m \end{split}$$

(2)梁標稱彎矩強度

試體二、三為 RC 梁,故在檢核強柱弱梁時梁標稱彎矩強度應採用依內政部 所定之「混凝土結構設計規範」之相關規定計算

$$M_n = M_{nrc} =$$
鋼筋混凝土部分之標稱彎矩強度 (3.3-1)
計算梁之標稱彎矩強度尺寸參數如表 3.5

表 3.5 試體二、三梁尺寸參數表

	結構	尺寸 (mm)	材質	標稱彎矩強度(tf-m)
試體二	RC 右側梁	450x950 4#10+4#10	fc'=350kgf/cm ² fy'=4200kgf/cm ²	114.08tf-m
試體三	RC 左側梁	450x1100 4#10+4#10 (H832x200x11x22)	SN490B (Fy=3.3tf/cm ²) fc'=350kgf/cm ² fy'=4200kgf/cm ²	123.75tf-m

合併試體二與試體三之標稱彎矩強度得:

$$\Rightarrow M_n = M_{nrc} = 114.08 + 123.75 = 237.83 \text{ tf} - m$$

包覆填充型鋼骨鋼筋混凝土柱與梁主筋以續接器接合之接頭耐震試驗

(3)強柱弱梁比

由前述計算可得知試體二、三之強柱弱梁比為

$$\frac{\sum M_C}{\sum M_B} = \frac{2 \times 232.32}{237.83} = 1.95 \ (>1.2)$$

3.3.2 梁柱接頭剪力檢核

本節延續試體一梁柱接頭剪力檢核之流程,惟在梁柱接頭區需求剪力強度V。上扣除鋼梁所提供之強度貢獻,應依以下規定計算:

$$V_{u} = \left[1.25F_{vr}(A_{rt} + A_{rb})\right] - V_{T} \tag{3.3-2}$$

其中:

F_{vr}= 鋼骨鋼筋混凝土梁主筋之規定降伏應力

Ant = 鋼骨鋼筋混凝土梁中受拉主筋之斷面積

An= 鋼骨鋼筋混凝土梁中受壓主筋之斷面積

 V_T = 作用於鋼骨鋼筋混凝土柱上下兩端交接面之水平剪力

鋼骨鋼筋混凝土梁柱接頭區之設計剪力強度 ϕ_{N} ,之計算方法與流程也與試體一相同,應為鋼骨部分與鋼筋混凝土部分剪力強度之和。即

$$\phi_{v}V_{n} = \phi_{vs}V_{ns} + \phi_{vrc}V_{nrc}$$
(3.3-3)

(1)設計剪力強度

依據內政部所定之「鋼結構極限設計法規範及解說」相關規定,計算所需參數如下:

表 3.6 試體二、三梁柱接頭區設計剪力強度參數表

$F_y(tf/cm^2)$	$d_c(cm)$	$t_p(cm)$	$f_c'(\text{kgf/cm}^2)$	$A_j(\text{cm}^2)$	$(P_n)_u(tf)$	$A_s(\text{cm}^2)$	$F_{ys}(tf/cm^2)$
3.3	49.5	1.9x2	350	2088	1815.13	361.76	4.2

$$V_{ns} = 0.6F_{y}d_{c}t_{p} = 372.44 \text{ tf}$$

$$V_{nrc} = 3.2\sqrt{f'c}A_{j}\left[1 - \frac{A_{s}F_{ys}}{2(P_{n})_{u}}\right] = 83.89tf$$

$$\Rightarrow \phi_{v}V_{n} = 0.9 \times V_{ns} + 0.75 \times V_{nrc} = 398.1 \text{ lf}$$

(2)需求剪力強度

依據鋼骨鋼筋混凝土構造設計規範與解說(2011)規定,計算所需參數如下:

 $F_{yr}(tf/cm^2)$ $A_{rt}(cm^2)$ $A_{rb}(cm^2)$ $M_{pr1}(tf-m)$ $M_{pr2}(tf-m)$ $l_n(m)$ $V_T(tf)$ 4.2 32.57 0 142 152 4.98 60.59

表 3.7 試體二、三梁柱接頭區需求剪力強度參數表

$$\begin{split} V_{uL} &= 1.25 \times F_{yr} \times (A_{rt} + A_{rb}) = 171tf \\ V_{uR} &= 1.25 \times F_{yr} \times (A_{rt} + A_{rb}) = 171tf \\ V_{T} &= \frac{M_{pr1} + M_{pr2}}{l_{n}} = 60.59tf \\ \Rightarrow V_{u} &= V_{uL} + V_{uR} - V_{T} = 281.41 tf \end{split}$$

(3)檢核

$$\phi_{v}V_{n} = 409.03tf$$
 $V_{u} = 281.41tf$ $\Rightarrow \phi_{v}V_{n}/V_{u} = 1.45 > 1$ (檢核通過)

3.3.3 剪力鋼筋設計

試體二、試體三之剪力鋼筋設計也參照試體一之設計程序。惟試體二、三為 RC 梁,故產生塑鉸時之梁塑性彎矩強度扣除鋼骨貢獻後其值小於試體一之計算結果。實驗規劃一樣由垂直制動器給一向上推力,期望最大推力使梁柱接頭區發生塑鉸,並將此推力視為最大所需剪力以設計剪力鋼筋。得試體二 RC 梁在考慮鋼筋以 $1.25f_y$ 計之塑性彎矩 $M_{prl}=142tf_m$; 得試體三 RC 梁之塑性彎矩 $M_{pr2}=152tf_m$ 。依據強度疊加法,當 RC 梁發生塑鉸時垂直制動器所提供之最大推力為 $P_1=V_{u1}=142tf_m/3.75m$ (梁柱接頭表面至垂直制動器之水平距離)= $37.84tf_0$ $P_2=V_{u2}=152tf_m/3.75m$ (梁柱接頭表面至垂直制動器之水平距離)= $40.5tf_0$ 詳示意圖 3.10_0

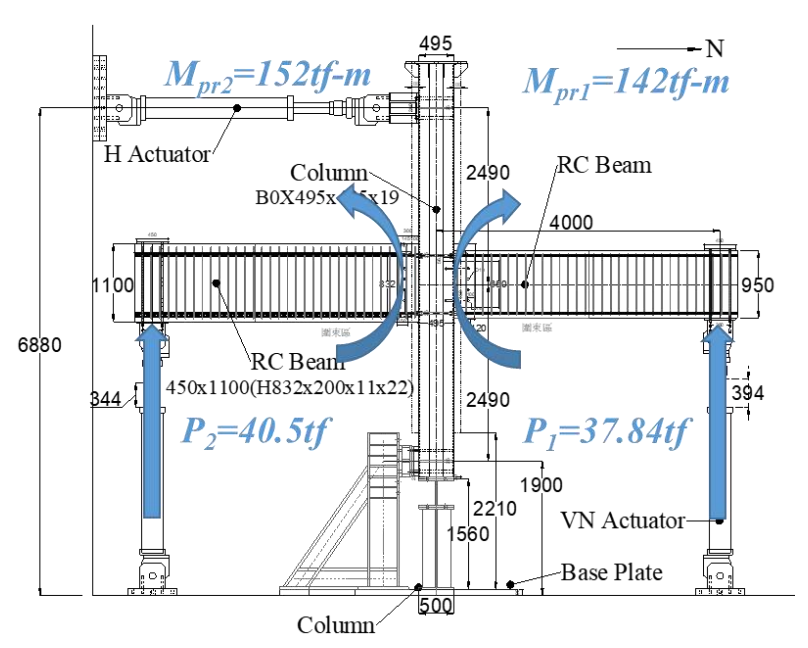


圖 3.10 試體二、三構架垂直制動器推力示意圖

由上述計算可得知所需之剪力鋼筋強度皆小於試體一,為不影響其餘參數變異設計,故同試體一以「單箍」剪力鋼筋#4 間距 10cm 配置,使得剪力強度可以達到 $\phi V_s = 70.5tf$ 大於試體二及試體三最大所需剪力, $P_1 = V_{ul} = 37.84tf$, $P_2 = V_{ul} = 40.5tf$ 。

3.3.4 梁接合細部設計

在試體二部分,因為使用 RC 梁,則剪力的傳遞就必須由剪力釘和剪力 榫作為傳力機制。梁產生塑鉸引致之剪力由剪力釘傳給剪力榫,再由剪力榫 傳至鋼柱。故在設計上必須決定剪力釘之數量以及剪力榫之尺寸。再者,因 剪力由剪力釘傳給剪力榫造成一偏心彎矩 $_{M=V_n} \times S$ (剪力釘至柱面距離),此彎 矩將造成柱面有拉應力 $\sigma = \frac{M_y}{I}$ 故於柱內設計剪力釘以抗此偏心彎矩所引致之 拉應力。

(1)試體二

(a)剪力榫之剪力釘數量設計

當梁產生塑鉸時並考慮自重情況下引致之剪力為

$$V_u = \frac{M_{pr}}{l_u} + \frac{w_u l_n}{2} = \frac{142}{3.7525} + \frac{1.69 \times 3.7525}{2} = 41tf$$

剪力釘使用19¢,參照「鋼結構極限設計法規範及解說」(2010)規定,單一剪力釘之標稱強度為:

$$Q_n = 0.5A_{sc}\sqrt{f_c E_c} \le A_{sc}F_u \tag{3.3-4}$$

其中:

 A_{sc} =剪力釘之斷面積, cm^2 f=混凝土之抗壓強度, tf/cm^2

 F_{μ} =剪力釘之標稱抗拉強度, tf/cm^2

 E_c =混凝土之彈性模數, tf/cm^2

LRFD 規範並無規定剪力釘之強度折減係數,這是因為合成梁之撓曲強度折減係數已包含所有之變異性,剪力釘之變異性也已經考慮在內。經計算後19¢之單一剪力釘標稱強度 Q₂=12.76tf,設計上用雙排兩側共 8 顆:

 $V_n = 2 \times 4 \times 12.76 = 102.08 \text{tf} > V_n = 41 \text{tf}$

(b)剪力榫之尺寸設計

- (i)剪力榫高度 d: 剪力釘間距 150mm x 3+100mm(最上面剪力釘至板邊緣所留距離)+100mm(最下面剪力釘至板邊緣所留距離)=650mm
- (ii)剪力榫長度: 剪力釘間距 100mm x 3=300mm
- (iii)剪力榫板厚 tw:

$$\phi = 0.75$$
, $V_n = 0.6F_v dt_w = 0.6 \times 3.3 \times 65 \times t_w$

$$V_u = \frac{M_{pr}}{l_n} + \frac{w_u l_n}{2} = \frac{142}{3.7525} + \frac{1.69 \times 3.7525}{2} = 41tf$$

$$\Rightarrow \phi V_n \ge V_u$$
, $t_w \ge \frac{41/0.75}{0.6 \times 3.3 \times 65} = 0.425 \text{ cm} = 4.25 \text{ mm}$

.:. 使用 t_{...} = 11mm (OK)!

最終剪力榫之尺寸設計為長度 300mm,高度 650mm,板厚 11mm 並在板的兩側有雙排共 8 顆剪力釘。見圖 3.11

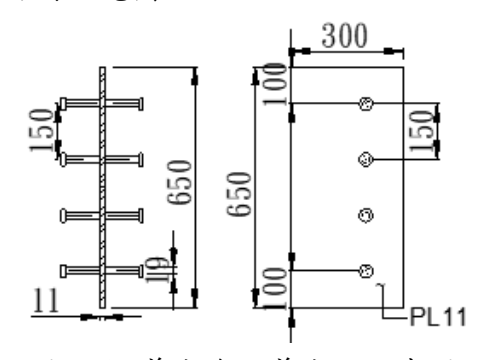


圖 3.11 剪力榫及剪力釘示意圖

(c)柱內剪力釘數量設計

剪力由剪力釘傳給剪力榫造成一偏心彎矩 $_{M=V_{n}\times S}$ (剪力釘至柱面距離)= $_{41/0.75\times 20cm=1093tf-cm}$,此彎矩將造成柱面有拉應力 $_{\sigma}=\frac{My}{I}$,其中,

M=1093tf-cm ,y=65/2=32.5cm , $I=25173cm^4$ 得 $\sigma=1.411tf/cm^2$ 。 可由此求得作用於柱面之拉力:

(i)
$$T = 1.411 \times 1.1 \times 32.5 / 2 = 25.22 tf(t_w = 11 mm)$$
,見圖 3.12

(ii)19 ϕ 之單一剪力釘標稱強度 F_u =12.96f

故在中性軸上半部配置 4 顆剪力釘 F_u =12.96×4=51.84f>T=25.22f,下半部亦配置 4 顆剪力釘;配置於柱內雙排並與剪力榫上之剪力釘同高程共 8 顆。長度為 120mm,符合規範須大於 4 倍直徑(76mm)之規定。詳見圖 3.13。

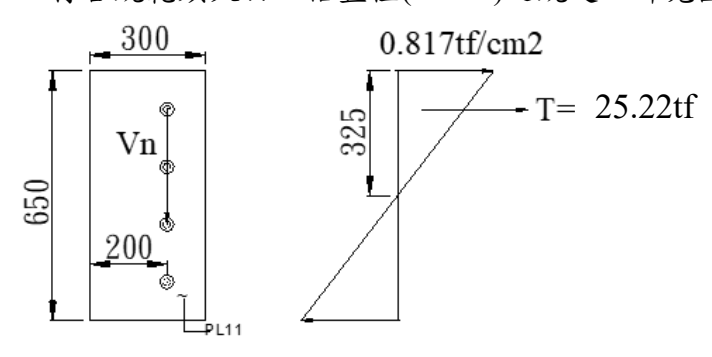


圖 3.12 偏心彎矩引致拉應力示意圖

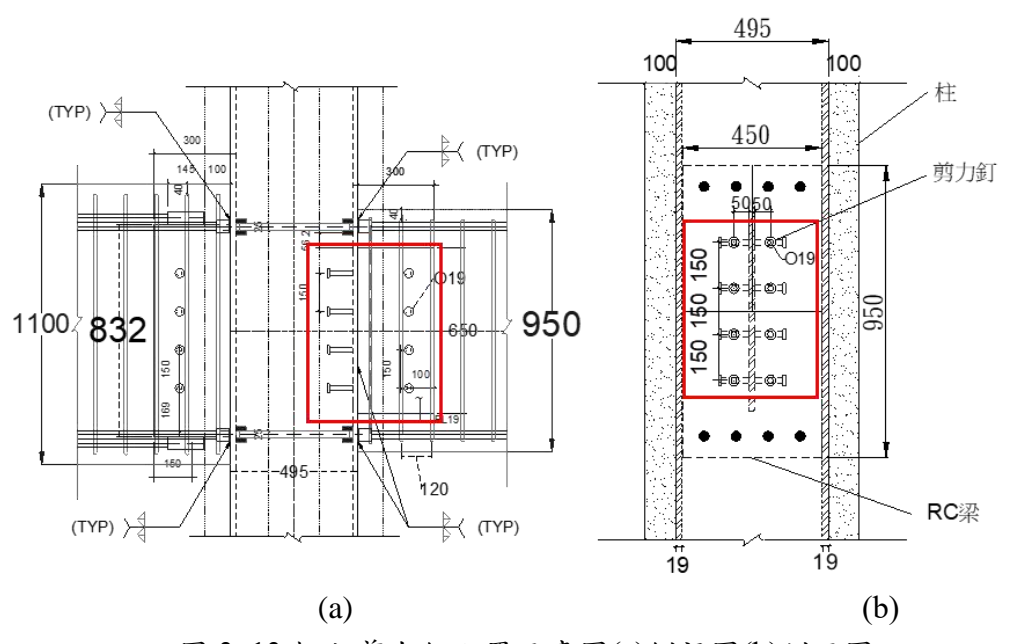


圖 3.13 柱內剪力釘配置示意圖(a)側視圖(b)剖面圖

試體三之梁接合設計,則為柱面上銲一鋼拱頭並將4支續接器分別銲鋼 拱頭上下翼板,另外4支則仍銲於柱面,此鋼拱頭(I型鋼梁)之寬厚比也符合 耐震斷面之規定。

(2)試體三

I型鋼拱頭設計

試體三之梁外尺寸為 450x1100mm, 這裡選用 H832x200x11x22mm 作為 I 型 鋼梁之斷面。並依據後續之拉力、彎矩、剪力檢核以符合耐震斷面規定。

寬厚比之檢查: $b/t = 4.5 < \lambda_{nd} = 11.6(OK)$ $h/t_w = 71.6 < \lambda_{nd} = 76(OK)$

(a) 拉力檢核

在上下鋼翼板上各銲2支臥式續接器,造成之拉力為:

$$P_u = 1.25 \times 2 \times 4.2 \times 8.14 = 85.47 \text{ tf}$$

 $\phi P_n = 0.9 \times F_y \times A_s = 0.9 \times 3.3 \times (20 \times t_f)$
 $\Rightarrow \phi P_n \ge P_u$, $t_f \ge 1.44 cm = 14.4 mm$

得知設計梁翼板須大於 14.4mm, 使用 22mm > 14.4mm (OK)!

- (b) 彎矩檢核
- (i)鋼骨斷面:H832x200x11x22mm,塑性彎矩

$$M_p = ZF_v = 5271.6 \times 3.3 = 17396tf - cm = 173.96tf - m$$

(ii)鋼筋以 1.25fy 計之 RC 梁之標稱彎矩強度 Mnrc,

$$d' = 15cm$$
, $d = 95cm$

$$C_c = 0.85 \times 0.35 \times 45 \times 0.85c = 11.38c$$

$$C_r = 4 \times 8.14 \times \frac{6120}{c} (c - 15) \times 10^{-3} = 199.267 (\frac{c - 15}{c})$$

$$T' = 1.25 \times 4 * 4.2 \times 8.14 = 170.94 \text{ tf}$$

$$\rightarrow C_c + C_r = T'$$

$$c = 15.01 \text{ cm}, \quad M_{nrc'} = 152tf - m$$

$$\Rightarrow M_n = 173.96tf - m > M_{nrc} = 152tf - m (OK)$$

... 使用
$$t_f = 22mm(OK)!$$

(c)剪力檢核

由梁產生塑鉸所引致之剪力 V_u 並期望透過剪力釘傳力至鋼腹板作為傳力機制,而鋼腹板標稱剪力強度 V_n 為:

$$\phi = 0.75$$
, $\phi V_n = 0.75 \times 0.6 F_v dt_w = 0.75 \times 0.6 \times 3.3 \times 83.2 \times t_w$

$$V_{u} = \frac{M_{pr}}{l_{n}} + \frac{w_{u}l_{n}}{2} = \frac{152}{3.7525} + \frac{1.69 \times 3.7525}{2} = 43.7tf$$

$$\Rightarrow \phi V_{n} \ge V_{u} \quad , \quad t_{w} \ge \frac{43.7}{0.75 \times 0.6 \times 3.3 \times 83.2} = 0.35cm = 3.5mm$$

:. 使用 $t_w = 11mm(OK)$!

故設計鋼拱頭(I型鋼梁)之斷面尺寸為 H832x200x11x22mm, 詳見圖 3.14。

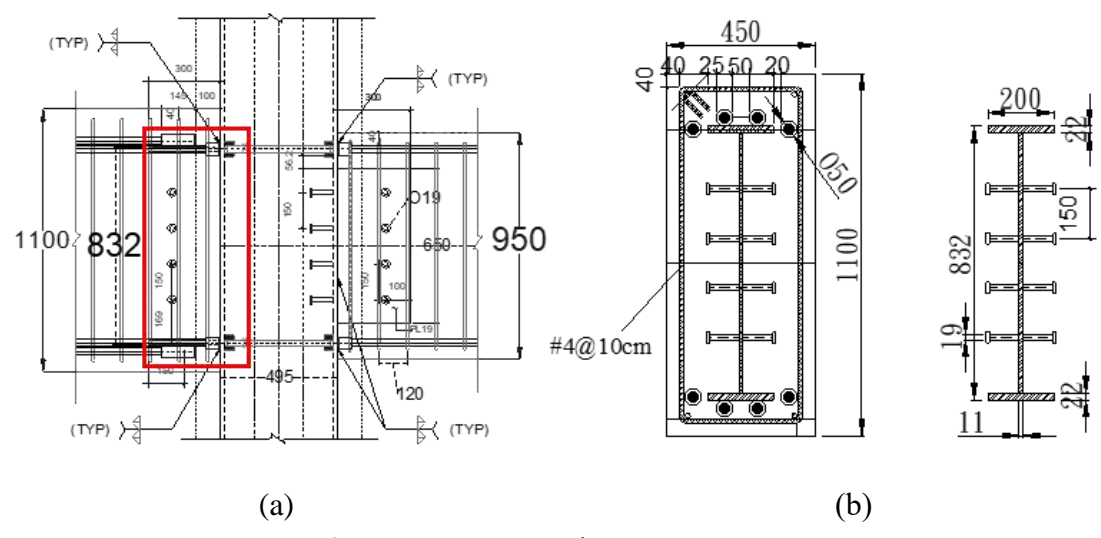


圖 3.14 試體三鋼拱頭設計示意圖(a)側視圖(b)剖面圖

第四節 試體製作

本研究試體為 SRC 柱、SRC 梁及 RC 梁,可分為鋼構、夾具與鋼筋混凝土三部分,鋼構委託東和鋼鐵企業股份有限公司製造,鋼構製造施工圖見附錄 5,鋼構施作流程如下:

試體一:

- (1) 鋼板整平、裁切。
- (2) 空心箱型柱三面組裝。
- (3) 空心箱型柱蓋板銲接。
- (4) 銲道修整補強、鋼板因銲接受熱變形部分整平。
- (5) 底板及加勁板裁切。
- (6) 底板及加勁板點銲於柱身上進行假固定。
- (7) 底板及加勁板、剪力釘、續接器銲接於柱身上。

- (8) 梁身 H 型鋼裁切,加勁板、梁面剪力釘銲接於梁身上,
- (9) 梁身、柱身噴砂後移至堆置場,等待出貨。
- (10) 梁身、柱身運至國震中心實驗場,於現場進行組裝銲接。 試體二、三:
 - (1) 鋼板整平、裁切。
 - (2) 空心箱型柱三面組裝。
 - (3) 空心箱型柱蓋板銲接。
 - (4) 銲道修整補強、鋼板因銲接受熱變形部分整平。
 - (5) 底板及加勁板裁切。
 - (6) 底板及加勁板點銲於柱身上進行假固定。
 - (7) 底板及加勁板、剪力釘、續接器銲接於柱身上。
 - (8) 剪力榫、鋼拱頭銲接於柱身上,
 - (9) 柱身與梁連接段噴砂。

三組試體鋼筋混凝土部分製造圖詳附錄 6,鋼筋混凝土部份施作流程如下:

- (1) 柱外層點銲鋼絲網。
- (2) 梁內主筋、箍筋綁扎。
- (3) 柱、梁模板組立。
- (4) 柱、梁混凝土澆置。
- (5) 柱、梁拆模、養護。

3.4.1 鋼構試體

本實驗鋼材質皆使用 CNS SN490B 鋼材,柱板厚 19mm,柱頂板、連續板、底板因設計需求皆使用 25mm 厚之鋼板。試體一與試體二、三之柱相同,惟內部連續板之數量不同及因梁設計需求在試體二北側柱內銲接 8 顆剪力釘。試體一之 SRC 梁鋼骨部分,為 H600x200x11x17mm 之鋼梁,並於外側梁端距離 257.5mm 處設有兩塊 12mm 厚之加勁板,為了避免因垂直制動器加載力量過大而產生局部挫屈。因配合實驗場以及實驗配置需求,亦於制動器與梁、柱試體連接處放置鋼板。試體之製造圖詳見附錄五。試體製作照片如下:



(a)試體一柱試體組立



(c)試體一梁試體組立



(e)試體二、三柱試體東面



(g)柱內連續板尺寸量測



(b)試體一柱內連續板組立



(d)梁端加勁板



(f)試體二、三柱內連續板尺寸量測



(h)梁端加勁板尺寸量測

圖 3.15 試體製作照片(a)~(h)

第五節 工作時程與預期進度

本案由 111 年 1 月初,內政部建築研究所辦理招標公告,經歷公告、資格審標、決標後簽約,依據合約本案執行期間由 111 年 1 月至 111 年 12 月,將相對應本案執行進度與日期時間,列出如表 3.8 所示。

表 3.8 工作時程與預期進度表

	衣 3. 0 工作时程與頂别進及衣
時程 (111 年)	進度事項
1月18日	廠商資格審查完成
1月28日	議價決標完成簽約
2 月~5 月	1.國內外 SRC 梁柱接頭設計相關規範及研究文獻蒐集與國內實務調查分析及彙整 2.針對國內包覆填充型鋼管混凝土柱與梁主筋以續接器連接接頭進行試體規劃
5月6日	召開專家學者會議,討論3具試體型式
5月7日~5月底	依據專家學者會議意見,修改試體,繪製試體施工圖面
5月底~6月上旬	試體估價,行政發包
6月30日	期中報告
7月12日	期中審查會議
6 月~8 月	1.鋼材、混凝土、鋼筋等試樣測試 2.施工階段拍照
8月12日	1.試體鋼構部份,製作完成運抵國震中心
9月8日	2.試體鋼筋混凝土部份,於國震中心製作施工灌漿
9月15日	混凝土強度7天抗壓測試
9月22日	混凝土強度 14 天抗壓測試、鋼筋及鋼材拉力實驗
9月29日	第1具試體實驗完成
10 月中旬	第2、3 具試體安裝架設及實驗完成 ,6 組續接器實驗完成
10月14日	期末報告
10月28日	期末審查會議
11 月中旬	召開專家學者會議
12月2日	成果報告

第六節 實驗測試系統

本研究於國家地震工程研究中心結構實驗室的反力牆進行實驗,實驗配置如圖 3.1 所示。所使用之設備與資料擷取系統敘述如下。

● 反力牆與強力地板系統

本研究梁柱接合構架試體於反力牆及強力地板系統進行實驗。試體與外圍夾具鎖上後,以36 顆 M36 高強度螺栓將柱試體底板鎖於基礎鋼板上,基礎鋼板再使用4 支 M49 預力鋼棒與反力地板固定,每根鋼棒可施加80 噸預拉力以防止實驗過程中強力地板與基礎鋼板滑動。

試體一進行實驗時共使用三支 MTS 100 噸靜態油壓伺服制動器,其中兩支提供水平向面內穩定力,另外一支提供垂直側向力。試體二、三進行實驗時共使用四支 MTS 100 噸靜態油壓伺服制動器,其中兩支提供水平向面內穩定力,另外兩支提供垂直側向力。油壓制動器以推為正方向,拉為負方向,衝程限制為±500 mm,進行實驗時以垂直向制動器進行位移控制,水平向制動器使用外部位移控制來保持試體面內穩定,並將油壓制動器資料輸出至資料擷取系統,由資料擷取系統紀錄油壓制動器之力量與位移。

● 側撐系統

為使測試試體能穩定進行實驗輔以側撐系統,使用於國家地震工程研究中心實驗室內現有之三角側撐支架,並於北面方向柱側面放置側撐,可確保試體柱與底部夾具連結至強力地板上,並於側面方向提供側向支撐,以避免當垂直向油壓制動器進行位移控制時發生側向扭轉挫屈,確保實驗破壞機制發生在梁柱接頭區域內。

● 資料擷取系統

本研究所有實驗量測數據皆由資料擷取系統收集,使用之擷取系統為 InstruNet100 資料擷取盒,系統擁有 100 個頻道可供資料收集,並配合 InstruNet World 軟體操作,適用於不同形式之量測儀器,有關量測儀器上之 設定方式,皆依據 InstruNet World 軟體操作手冊。

第七節 量測規劃

此實驗採用應變計、位移計、NDI 高精度動作擷取系統進行未來實驗之 量測,將此三項量測規劃所使用器材進行說明如下。

● 應變計配置

實驗使用單軸應變計與菊型(三軸)應變計,單軸應變計布設於柱試體南 北側之翼板、梁之翼板以及鋼筋上,菊型應變計則布設於梁柱交會區中心。 詳見圖 3.16。單軸應變計使用 Tokyo Measuring Instruments Laboratory Co., Ltd. 之產品,應變計長度為 5~mm,可量測應變範圍 $15\%\sim20\%$;菊型應變計使用 Tokyo Measuring Instruments Laboratory Co., Ltd.之產品,應變計長度為 5~mm,可量測應變範圍 $10\%\sim15\%$,其貼設位置如圖 3.16~及圖 3.17。

● 位移計配置

Dial Gauge 為針盤量規,可以量測特定點之單向位移,其精度可以達到 0.01mm,用來量側位移較小之變形,本實驗使用兩支±0.5 cm 的 Dial Gauge,量測轉接短柱與夾具之相對滑移量,以及基礎鋼板與強力地板間相對滑移量,以確保螺栓預拉力所提供之摩擦力足以抵抗水平剪力,經過量測各試體滑移量皆在 1 mm 以內,配置位置參考詳圖 3.18。

LVDT 用來測量物體的身長度、物體厚薄程度等精確數據。堅固的結構提供高可靠性,而其性能適合範圍小於±100mm 的多數套用,配置位置圖參考詳圖 3.18 及圖 3.19。

PI Gauge 為位移計的一種,目的為觀察梁柱交會區對角線之伸長縮短量,進一步計算交會區之剪力變形,此位移計之配置詳圖 3.18 及圖 3.19。

● 光學追蹤器(NDI)配置

NDI為高精度動作擷取系統,此影像量測儀器為NDI公司生產之運動追捕系統。可以追蹤探測點(Marker)的動作進行捕捉,利用光學量測儀器每隔固定時間接收 Marker 之訊號,藉此來量測試體之三軸座標,並將數據回傳至電腦接受數據。

本實驗探測點於試體中之分布,主要梁柱接頭區位置布設觀測點,目的在觀察梁柱交會區剪力變形及鋼筋連接續接器拉出破壞;另布設於一倍梁深內之梁塑鉸區,觀測其變位並推知其破壞模式。觀測點位配置圖詳圖 3.18 及 圖 3.19。

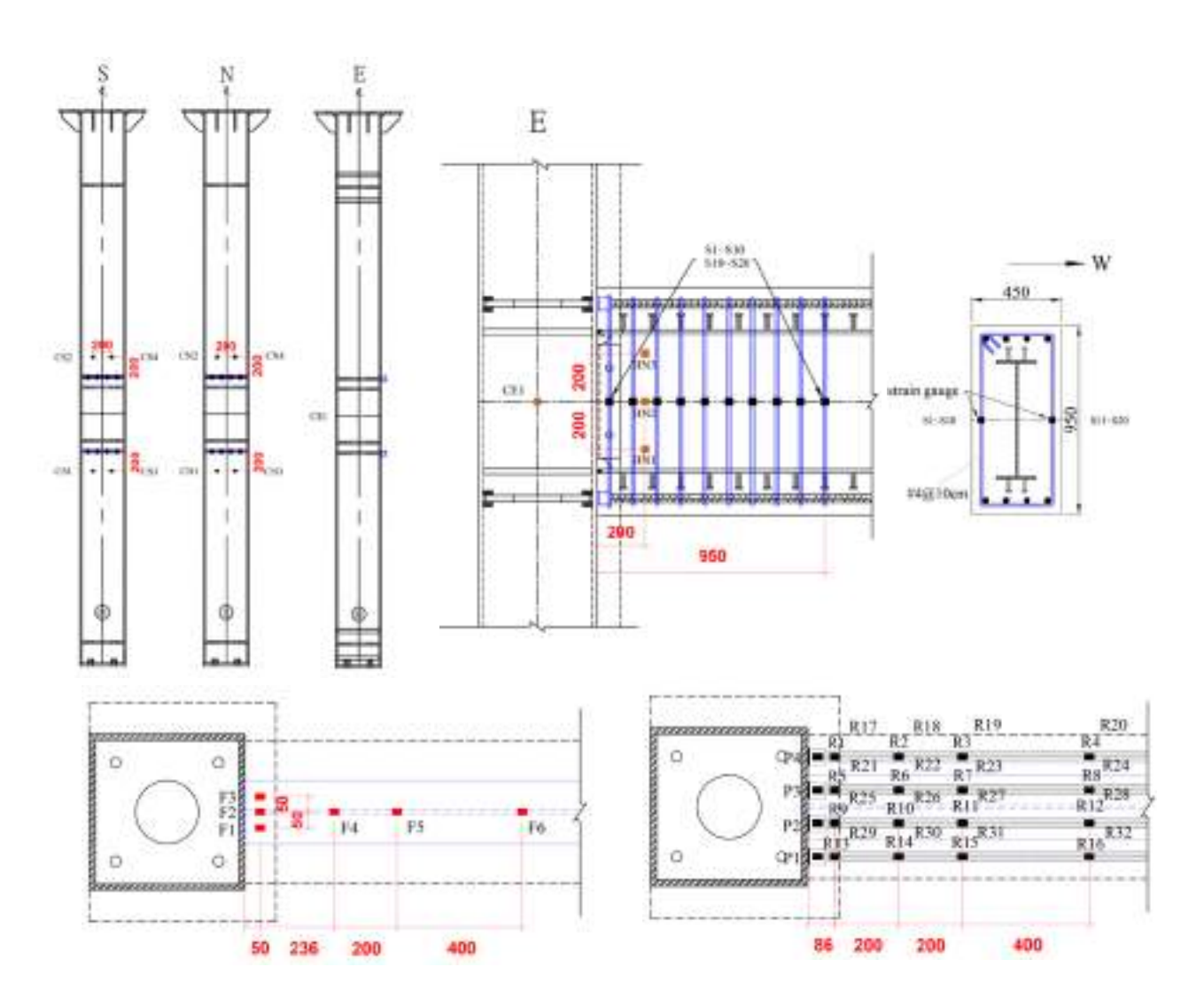


圖 3.16 試體一應變計分布

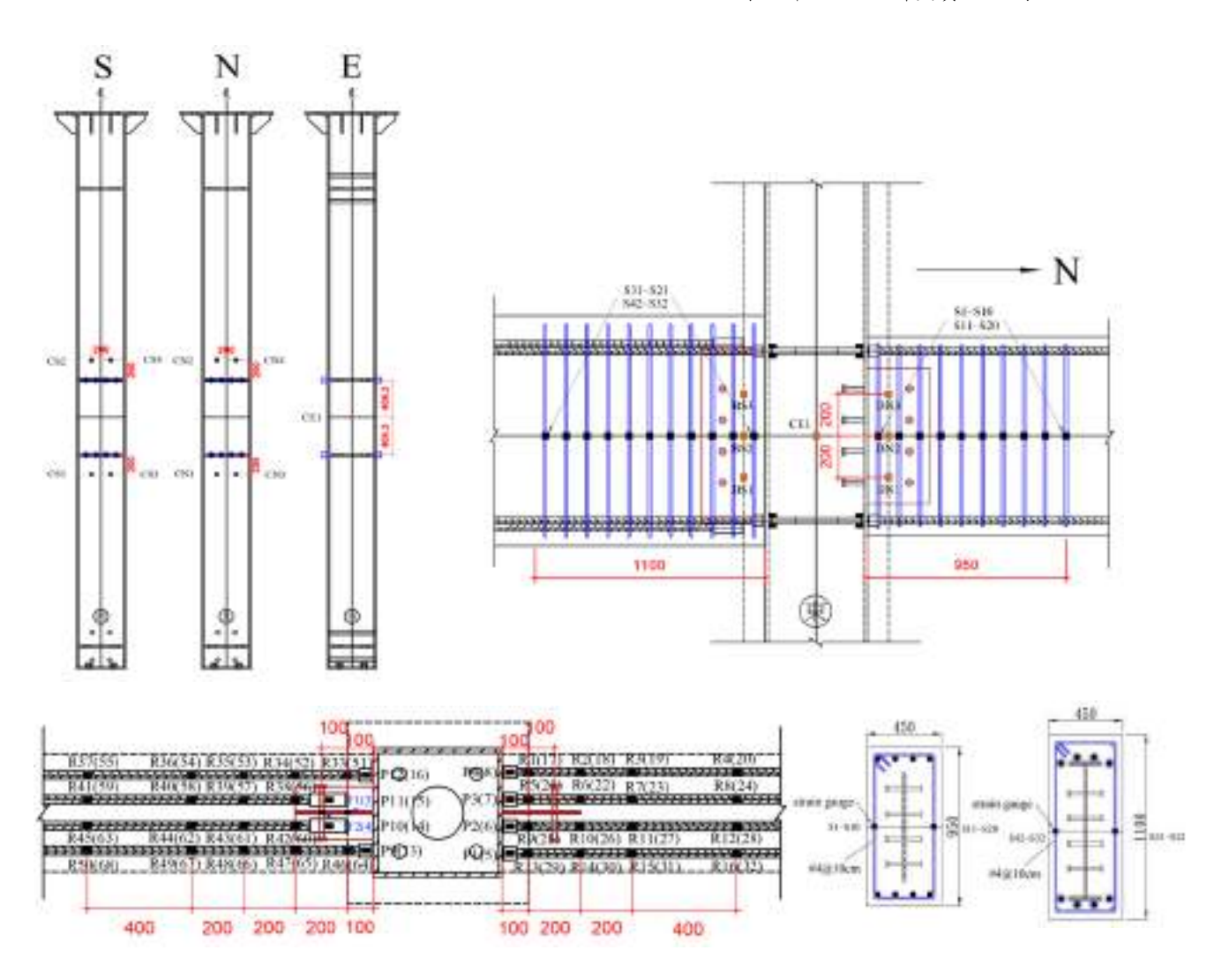


圖 3.17 試體二三應變計分布

包覆填充型鋼骨鋼筋混凝土柱與梁主筋以續接器接合之接頭耐震試驗

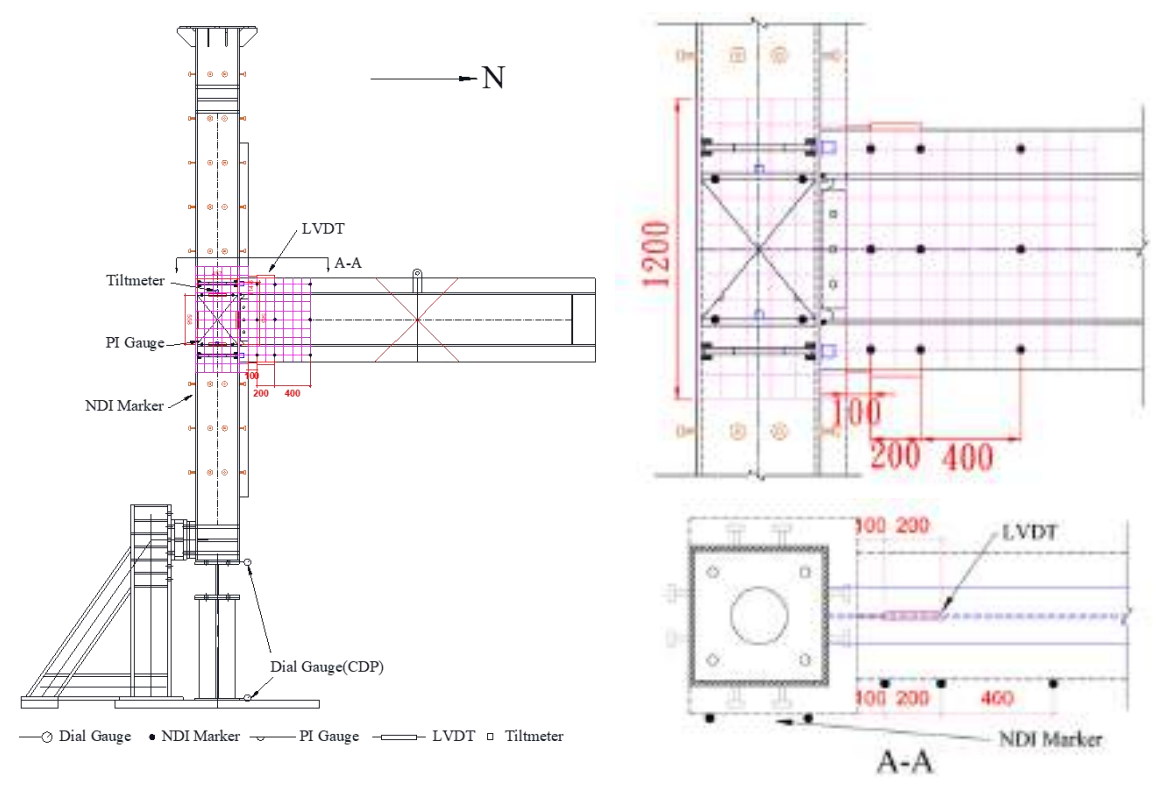


圖 3.18 試體一位移計與 NDI marker 配置圖

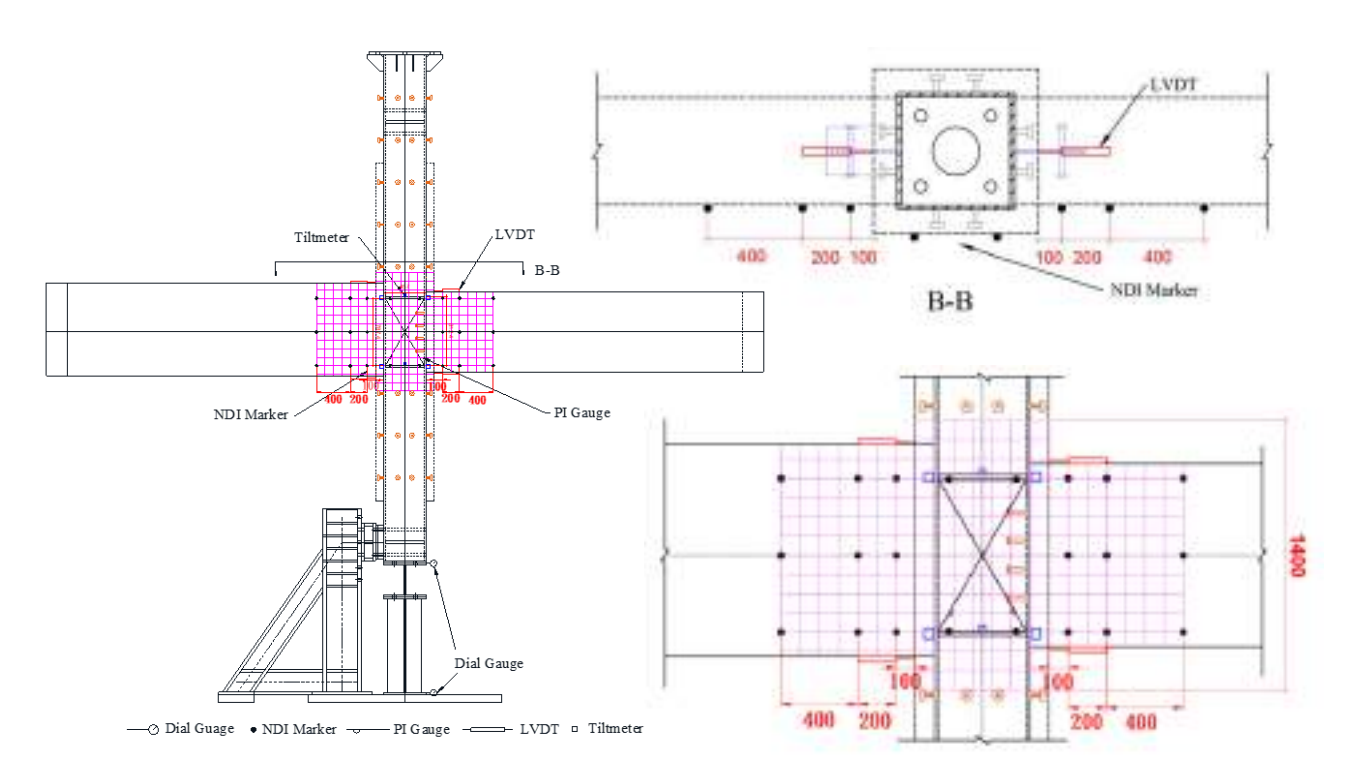


圖 3.19 試體一位移計與 NDI marker 配置圖

第九節 實驗控制與載重歷時

梁柱試體使用之反覆載重位移歷時係採用 AISC 341-16(2016)之規範所建議之位移歷時,取對於梁柱接頭處之反覆載重,於 AISC 341-16 (2016)之 K2章節所載明,控制層間變位角如下所示:

- (a) 6 cycles at $\theta = 0.00375$ rad
- (b) 6 cycles at $\theta = 0.005$ rad
- (c) 6 cycles at $\theta = 0.0075$ rad
- (d) 4 cycles at $\theta = 0.01$ rad
- (e) 2 cycles at $\theta = 0.015$ rad
- (f) 2 cycles at $\theta = 0.02$ rad
- (g) 2 cycles at $\theta = 0.03$ rad
- (h) 2 cycles at $\theta = 0.04$ rad
- 以 $\theta = 0.01 \, \mathrm{rad}$ 的增量繼續加載,每次加載兩個循環,如圖 $3.20 \, \mathrm{所示}$ 。

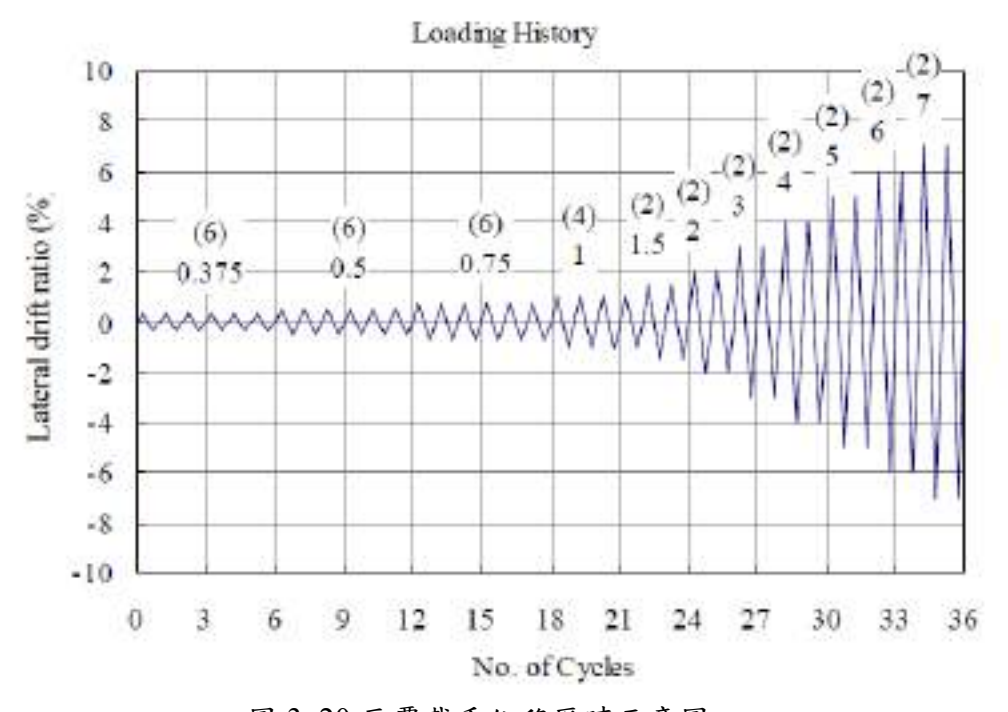


圖 3.20 反覆載重位移歷時示意圖

試體一為包覆填充型鋼骨鋼筋混凝土柱與鋼骨鋼筋混凝土梁,進行實驗時以垂直向制動器進行位移控制,MTS 100 噸靜態油壓伺服致動器靜止高度為3450 mm,衝程為1000 mm,經考量設置高度計算後,致動器可再往上、下分別移動645、355 mm,除以試體一長度梁4m,往上、下分別移動之層間

變位均超過 8%;試體二則為包覆填充型鋼骨鋼筋混凝土柱與鋼筋混凝土梁,同理致動器可再往上、下分別移動 645、355 mm,除以試體一長度梁 4 m,往上、下分別移動之層間變位均超過 8%;試體三與試體二相同,但其梁深度較大詳見附錄 6 鋼筋混凝土施工圖,致動器可再往上、下分別移動 720、280 mm,除以試體一長度梁 4 m,往上、下分別移動之層間變位均達 7%;如此可確保具有充份的位移控制,可提供了解試體進入較大變形時,梁柱接頭受力傳力破壞機制。

如此經由規劃後,試體一、二上下均可超過層間變位均超過 8%,試體三上下可超過層間變位均超過 7%,預期能符合 AISC 341-16 規範所建議之位移歷時,不但超過鋼結構極限設計法規範及解說(2010)所規定梁柱接頭所需塑性轉角 θp=3%,而且具備足夠餘量進入塑性階段。

第十節 材料性質試驗

本研究梁、柱鋼板使用 SN 490B 系列(標稱降伏強度 325~445 MPa)的 16 mm、22 mm、25 mm、28 mm 鋼板,根據 CNS 國家標準中金屬材料拉伸試驗之規定進行抗拉實驗,鋼筋與箍筋材質為 SD420W,混凝土 28 天標稱抗壓強度為 350kgf/cm²。

1.鋼筋拉伸試驗

本試驗使用 SD420W 之#10(D32)主筋與#4(D13)箍筋。拉伸試驗於國家地 震工程研究中心之 100 噸材料試驗機上進行,如圖 3.21。共試驗 1 支#10(D32) 及 2 支#4(D13)箍筋。

表 3-9 為兩支不同號數之鋼筋拉伸試驗結果,其中包含降伏強度、抗拉強度、伸長率、拉降比...等,確認其符合台灣混凝土學會 TCI 鋼筋混凝土用鋼筋之規定。量測過程中於鋼筋兩端黏貼高精度動作擷取系統 NDI 之 marker 用以量測其位移量,進而求取其應變值。在試驗時因 NDI 擷取系統之電腦設備老舊緣故,使得在收資料時有故障問題,故於報告中無法呈現其真實位移。





圖 3.21 鋼筋拉伸試驗現場

	2011/1/4 4- 11 . (1/1/12)								
	鋼筋規格		降伏強度	抗拉強度	伸長率	拉降比			
種類	種類 稱號 編號		(kgf/cm ²)	(kgf/cm ²)	%				
	#4(D13)	1	4648	7031	16.67	1.51			
SD420W		2	4706	7036	15	1.50			
SD420W		平均	4677	7033.5	15.83	1.50			
	#10(D32)	1	4814	6755.3	20	1.40			

表 3.9 SD420W 之鋼筋拉伸試驗結果

2.混凝土圓柱抗壓試驗

本試驗使用之混凝土標稱抗壓強度為 350kgf/cm²,於本試驗試體混凝土 澆置階段時,同步製作直徑 15cm、高度為 30cm 之混凝土圓柱試體 15 顆。 並與試體依相同條件及環境下養護,於 SRC 梁柱接頭耐震試驗前(14 天齡期) 及標準養護之 28 天齡期進行抗壓試驗。每次試驗各壓 3 顆,並將抗壓試驗所 得之 3 筆強度資料取平均值,作為接頭耐震試驗之混凝土真實抗壓強度。

在進行試驗前會將頂部及底部表面以端面研磨機磨平以減少夾具及圓柱試體間因不平整所造成之誤差,並於圓柱身寫上試驗日期及齡期,再用保鮮膜包覆住圓柱試體以防止在抗壓過程中混凝土塊破裂造成碎塊損害到實驗設備。本次混凝土圓柱抗壓試驗於國家地震工程研究中心之 100 噸材料試驗機上進行,試驗相關照片詳圖 3.22,試驗結果統整於表 3.10。

包覆填充型鋼骨鋼筋混凝土柱與梁主筋以續接器接合之接頭耐震試驗













圖 3.22 混凝土圓柱抗壓試驗現場

表 3.10 混凝土抗壓試驗強度對照表

圓柱試體		標準養護28天	標準養護28天	實驗前抗壓強度	實驗前平均抗壓	
		之抗壓強度	之平均強度	(14 天)	強度(14天)	
		kgf/cm ²	kgf/cm ²	kgf/cm ²	kgf/cm ²	
	1	475		468.2		
編號	2	497	479.3	460.8	468.1	
	3	466		475.3		

3.鋼材拉伸試驗

本試驗柱與梁使用 SN 490B 之鋼材,標稱強度為 3300kgf/cm²。拉伸試驗於國家地震工程研究中心之 100 噸材料試驗機上進行,如圖 3.23。依 CNS 國家標準共試驗柱板厚度 19mm、梁翼板 17mm、梁腹板 11mm 各一片。

表 3.11 為三片鋼材拉伸試驗之結果,其中包含降伏強度、抗拉強度、拉降比。量測過程中於鋼筋兩端黏貼高精度動作擷取系統 NDI 之 marker 用以量測其位移量,進而求取其降伏應變並繪製應力應變圖,詳圖 3.25。













圖 3.23 鋼材拉伸試驗現場

厚度(mm)	降伏強度	抗拉強度	拉降比
	(kgf/cm ²)	(kgf/cm ²)	
11	4330	5226	1.21
17	4020	5245	1.30
19	3700	5438	1.47
_	11 17	(kgf/cm ²) 11 4330 17 4020	(kgf/cm²) (kgf/cm²) 11 4330 5226 17 4020 5245

表 3.11 鋼材拉力試片結果

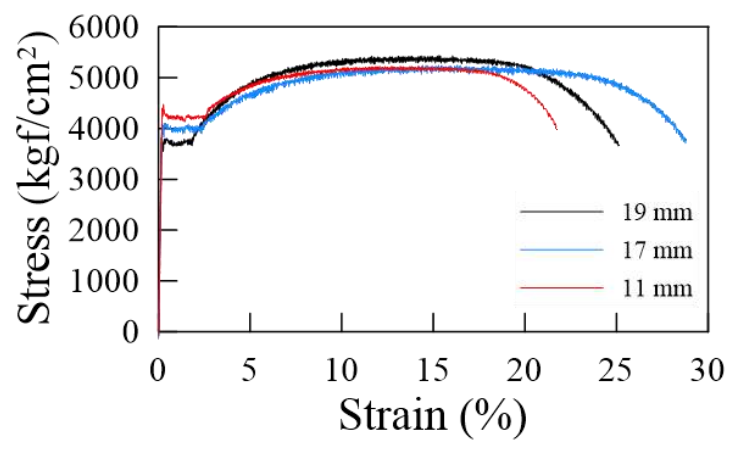


圖 3. 鋼材應力應變曲線圖

第十一節 施工過程

● 梁柱接頭銲接

本實驗之試體一與試體二、三之鋼構部分於 8 月中旬運送至國家地震工程研究中心實驗場,並於實驗場進行試體一之梁柱接頭銲接。確認其銲接工程皆依照施工圖施作,並於銲接完成後進行超音波檢測(UT),檢測結果良好並將報告附於附錄七,照片詳圖 3.21。

● 鋼筋組立

銲接完成後,由 RC 承包業者著手進行梁主筋及箍筋組立,並於箱型鋼柱外進行點銲鋼絲網包覆工程。於施工過程中確認鋼筋號數、長度、間距皆符合發包圖。鋼筋與續接器續接時同時要求施工人員進行扭力值測試,各號數之扭力值由續接器廠商提供。測試方法為取一扭力板手,板手上有相對應鋼筋號數之值,將扭力板手端部夾取鋼筋並扭轉,若有聽到兩聲喀擦聲即確認扭力值達標;若扭轉過程中未聽見聲音則持續扭至聽見兩聲喀擦聲為止,其施工照片詳圖 3.22。

● 試體應變計黏貼

鋼筋組立完成後於兩座試體進行應變計黏貼,黏貼範圍包含梁柱接頭區、

梁腹板及翼板、續接器、主筋、箍筋,應變計規劃及位置示意圖詳本章第八節。因試體需灌漿,故為防水及保護應變計於其上方塗抹一層防水凝膠,以 3M 防水膠布完全覆蓋應變計及其銅線。最後纏繞電火布於應變計最外層,並 以防水標籤標記各個應變計後順線至出線孔位置,相關照片詳圖 3.23。

● 試體組模與灌漿

兩座試體於 8 月底進行組模工程,確認其模板尺寸、孔位、高程,其工期約一周並於 9 月初進行灌漿工程。於灌漿進行前確認其混凝土強度符合本實驗設計值 fc'=350kgf/cm² 並進行坍度試驗,經量測後坍度為 20cm,符合 CNS 1176 之坍度範圍規範。同時間製作 15 座混凝土圓柱試體,於之後依不同齡期進行混凝土抗壓試驗,抗壓試驗之結果參照本章第十節。兩座試體依序先由梁柱接頭處灌漿,柱體內部灌漿則將特密管深入預先開好之孔洞,由底部一層一層澆置至柱頂,最後再進行箱型鋼柱之外包混凝土灌漿。灌漿過程以震動棒搗實以防止有泌水介面產生。待試體皆灌漿完成後進行標準養護程序,在養護過程中定期灑水以避免表面出現乾縮裂縫,相關施工照片詳圖 3.24。



(a)梁柱接頭銲接



(b)UT 檢測

圖 3.21 梁柱接頭銲接工程(a)(b)



(a)點銲鋼絲網



(b)箍筋間距

包覆填充型鋼骨鋼筋混凝土柱與梁主筋以續接器接合之接頭耐震試驗



(c)扭力板手



(d)扭力值測試

圖 3.22 鋼筋組立工程(a)~(d)





(b)梁柱接頭與梁腹板應變計黏貼



(c)試體一應變計收線



(d)試體二與試體三應變計收線

圖 3.23 試體應變計黏貼施工圖(a)~(d)



(a)模板水平確認



(b)兩座試體模板組立完成



(c)坍度試驗



(d)特密管灌漿工程



(e)梁試體灌漿



(f)灌漿完成圖

圖 3.24 試體組模與灌漿

第十二節 續接器實驗

現行 SRC 規範 8.5.1 節,鋼筋續接器之種類、材料、品質與施工均應符合內政部頒佈之「混凝土結構設計規範」之相關規定,混凝土結構設計規範 (401-110) 26.6.5.2 節中規定,鋼筋續接器實驗及裝置應依 CNS15560 辦理。本實驗將續接器模擬實際梁柱接頭情況,試體一、二續接器銲接至柱板再與連續板銲接,試體三梁主筋以臥式續接器銲於鋼拱頭翼板上,型式如表 3.9 所示。

V = V V III N V = 1 V V									
#10 鋼筋續接器 (SA 等級)									
種類	數量	模擬型式	尺寸	(mm)					
續接器搭接	2 組	續接器兩側鎖入#10 鋼筋	外徑 50	長度 80					
立式續接器	2 組	模擬試體一、二梁主筋以續接器銲接至鋼 柱 BOX 495x495x19 上	外徑 50	長度 60					
臥式續接器	2 組	模擬試體三梁主筋以續接器銲於鋼拱頭翼 板 H832x200x11x22 上	外徑 50	長度 145					

表 3.11 續接器模擬型式表

在決定續接器型式後,就要考慮其鋼筋長度與模擬型式,首先由混凝土結構設計規範 (401-110) 表 26.6.5.2 中規定對於鋼筋機械式續接實驗,拉力最大值為 0.95Py 而壓力最大值為 0.5Py,本案中所有鋼筋皆為 SD420W#10,fy=4200kgf/cm²、fu=5600kgf/cm²,故其 Py=34.2tf、Pu=45.6tf、拉力最大值 0.95Py=32.49 tf、壓力最大值 0.5Py=17.1tf。考慮於臨界荷載鋼筋強度檢核時,分別對壓力最大值 0.5Py 及壓力最極端狀況 Pu 進行,依據臨界荷載計算所得其鋼筋臨界長度 L_2 ,至於由夾具至夾具間 $L=L_2$ +續接器+ L_2 相關圖示參考圖 3.25 (混凝土結構設計規範 (401-110)圖 R26.6.5.2(a)),表 3.25 (混凝土結構設計規範 (401-110)圖 3.25 (混凝土結構設計規範 (401-110) 圖 3.25 (混凝土結構設計規範 (401-110) 圖 3.25 (混凝土結構設計規範 (401-110) 圖 3.25 (混凝土結構設計規範 (401-110) 圖 3.25 (混凝土結構設計規範 (401-110) 表 26.6.5.2 中規定。

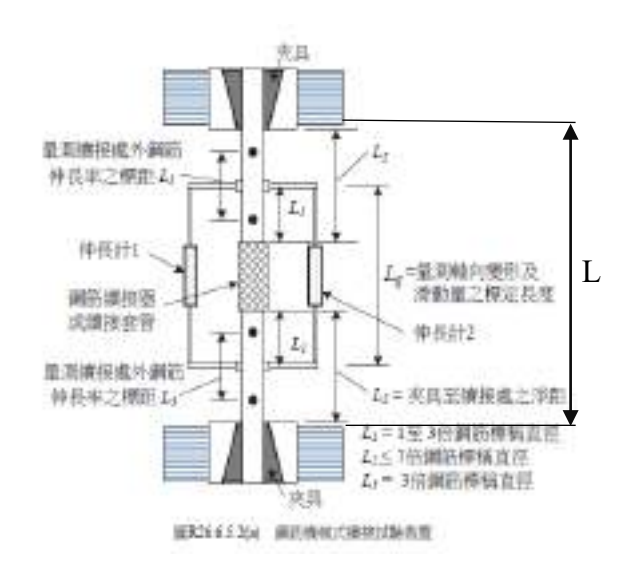


圖 3.25 鋼筋機械式續接器試驗裝置圖

农的工 及及出土17年7月27八二人7月二世									
續接器		Pcr=0.5Py	Pcr=Pu						
種類	Pcr (tf)	L(cm)=L ₂ +續接器+L ₂	Pcr (tf)	L (cm) =L ₂ +續接器+L ₂					
搭接續 接器	17.5	14.5+8(續接器)+14.5=37	45.28	7.5+8(續接器)+7.5=23					
立式續 接器	26.79	7.5+1.9(板厚)+6(續接 器)+14.5=29.9	45.68	7.5+1.9(板厚)+6(續接 器)+7.5=22.9					
臥式續 接器	425.84	7.5	425.84	7.5					

表 3.12 續接器不同臨界荷載時夾具至夾具間 L 值

fy (kgf/cm²) $A(cm^2)$ Py (tf) d (cm) My (tf-m) 1.23 4200 34.20 #10 鋼筋 fu (kgf/cm²) Mu (tf-m) 8.143 Pu (tf) 3.6 5600 45.60 1.64

表 3.13 不同力量所造成的偏心彎矩值

表 3.14 不同加勁板厚造成兩端彎矩值

<i>B</i> (cm)	b (cm)	t (cm)	h (cm)	H(cm)	$y_{top}(cm)$	ybottom(cm)	$I(\text{cm}^4)$	σ_y (kgf/cm ²)		$M_{bottom} = \sigma_y I/y$ (tf-m)
6.5	1.1	2.2	7.8	10	2.975	7.025	183.33	3300	2.03	0.86
6.5	2.5	2.2	7.8	10	3.985	6.015	310.88	3300	2.57	1.71

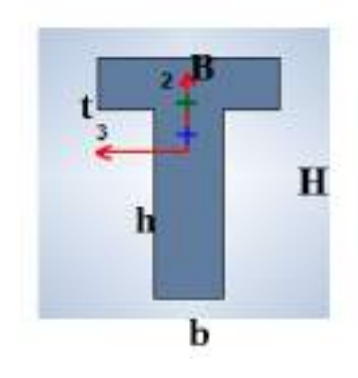


圖 3.26 T 型斷面

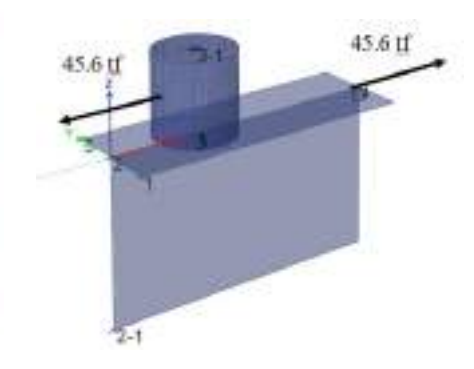


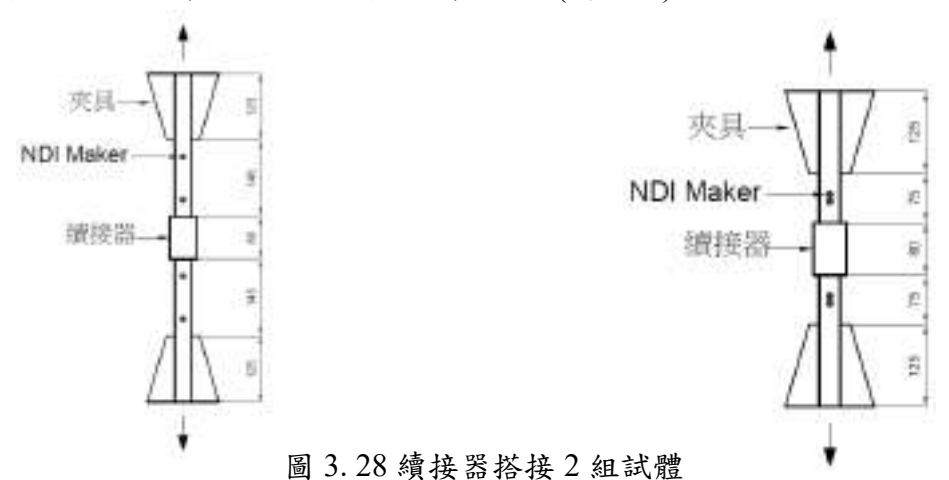
圖 3.27 施力後位移檢討

此外再經由施力後位移檢討,以壓力最極端狀況 Pu=45.6tf 進行,如圖 3.27 所示其標示不同點位,而 T 型斷面長度為 17.5cm,於經由設定不同加勁板厚所造成不同點位之位移值如表 3-12 所示。取 T 型斷面長度之 1/240 作為變形限制,故加勁板厚=25mm 對於位移檢討仍能滿足需求。

	Point	Deflection	Deflection	Ratio	
加勁板厚	Label	UZ	Limit=17.5/240	UZ/ Limit	Status
		cm	cm	OZ/ LIIIII	
	1	0		0	OK
	2	-0.1052		1.4427	NOT OK
11mm	2-1	0		0	OK
11111111	3	-0.0549		0.7529	OK
	4	0		0	OK
	5	0	0.07202	0	OK
	1	0	0.07292	0	OK
	2	-0.0621		0.8516	OK
25	2-1	0		0	OK
25mm	3	-0.0324		0.4443	OK
	4	0		0	OK
	5	0		0	OK

表 3.15 不同加勁板厚所造成不同點位之位移值

故 6 組續接器試體規劃為續接器搭接 2 組,由表 3-10 取 2 種不同鋼筋長度 L_2 (圖 3.28); 立式續接器 2 組模擬試體一、二梁主筋以續接器銲接至鋼柱上,一端接鋼筋另一端接鋼柱內連續板,由表 3-10 取 2 種不同鋼筋長度 L_2 (圖 3.29); 臥式續接器 2 組模擬試體三梁主筋以續接器銲於鋼拱頭翼板上一端接鋼筋,由表 3-10 取相同鋼筋長度 L_2 (圖 3.30)。



包覆填充型鋼骨鋼筋混凝土柱與梁主筋以續接器接合之接頭耐震試驗

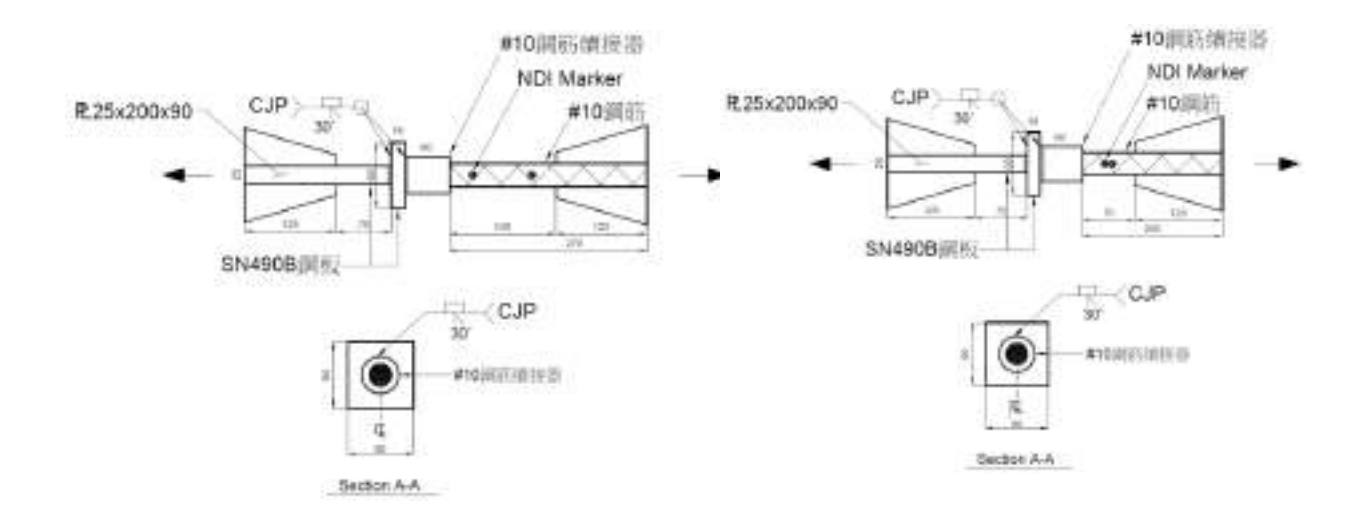


圖 3.29 立式續接器 2 組試體

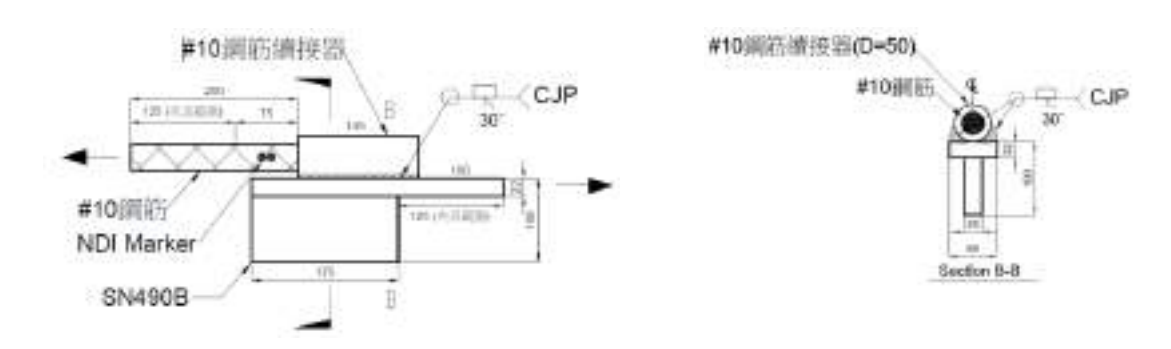


圖 3.30 臥式續接器 2 組試體

第四章 實驗結果分析與討論

第一節 試驗過程與紀錄

試體使用最大出力為 100 噸之垂直油壓致動器進行反覆加載,兩隻水平油壓致動器於柱頂固定為維持柱穩定。沿梁方向定義為東西方向,與梁垂直方向定義為南北方向,垂直油壓致動器往上為正向,往下為負向。試驗採位移控制,使用之反覆載重位移歷時係採用 AISC 341-16(2016)之規範所建議之位移歷時(圖 3.20)。

試體一於單側設置垂直油壓致動器(圖 3.1),試體一垂直油壓致動器往上為正向,往下為負向,層間變位角 0.001~0.00375 rad 時試體為彈性階段,加載至層間變位角達 0.05 rad 時停止試驗。

試體二、三於兩側均有設置垂直油壓致動器(圖 3.1),當一端為致動器往上則另一端致動器往下,對於試體二定義為試體三致動器往上,試體二致動器往下時為正向,反之則為負向。試體二、三層間變位角 0.001~0.002 rad 時試體為彈性階段,加載至層間變位角達 0.03 rad 時試體二則停止試驗,試體三則加載至層間變位角達 0.04 rad 時停止試驗,以下分別就就試體一、二、三描述如下。

試體一實驗觀察

觀察對於柱、梁試體產生裂縫時,油壓致動器往上(正向)造成之裂縫以紅色繪製,負向以藍色繪製,並於裂縫旁標示其層間變位角(%)。

- 1. 控制層間變位角 0.001、0.002、0.00375rad 此階段柱、梁皆保持在彈性階段,無明顯裂縫產生。
 - 2. 控制層間變位角 0.005rad

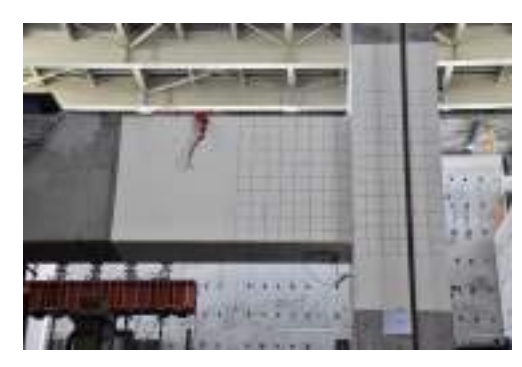
此階段於第6個 Cycle 時進行觀察:

正向加載

柱於東、南、北方向產生微小裂縫,最大寬度為 0.1mm,而梁於南、北方向及底部均產生數條裂縫,其最大裂縫寬度為 0.2mm,如圖 4.1(a)所示,

負向加載

柱於東、南、北方向產生微小裂縫,最大寬度為 0.25mm。而梁於南、北方向及頂部均產生數條裂縫,裂縫分布到距柱表面約 80mm 內,最大裂縫寬度分別為 0.3(南)、0.25(北)、0.25mm(頂部),如圖 4.1(b)所示。





(a) 正向加載(北面)

(b) 負向加載(南面)

圖 4.1 試體一層間變位角 0.005rad 試體實驗觀察

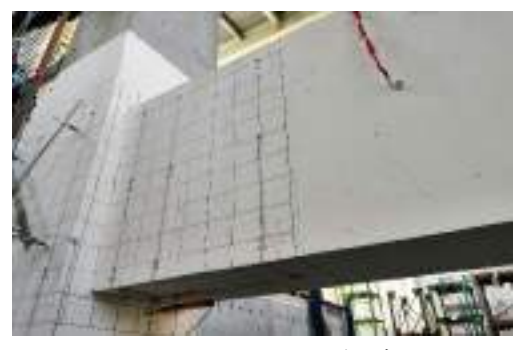
控制層間變位角 0.01 rad

此階段於第4個 Cycle 時觀察,柱、梁試體裂縫繼續延伸變寬擴張。 正向加載

柱於東、南、北方向產生裂縫最大寬度為 0.25mm。於梁最大裂縫寬度分別為 0.25(南)、0.3(北)、0.25mm(頂部),如圖 4.2(a)所示。

負向加載

柱於東、南、北方向產生裂縫最大寬度為 0.4mm, 梁由先前所產生裂縫繼續 延伸擴張,最大裂縫寬度分別為 0.6(南)、0.4(北)、0.35mm(頂部),如圖 4.2(b) 所示。



(a) 正向加載(南面) (b) 負向加載(南面)

圖 4.2 試體一層間變位角 0.01 rad 試體實驗觀察

控制層間變位角 0.02rad

此階段於第2個 Cycle 時,觀察對於柱、梁試體裂縫繼續延伸變寬,裂縫數 量明顯增加。

正向加載

柱於東、南、北方向產生裂縫最大寬度為 1mm。而梁由先前所產生裂縫延伸

擴張,最大裂縫寬度分別為 4(南)、2(北)、3mm(底部),如圖 4.3 (a)所示。 負向加載

柱於東、南、北方向產生裂縫最大寬度為 0.8mm, 梁最大裂縫寬度分別為 3(南)、 3(北)、2.5mm(底部),如圖 4.3 (b)。



(a) 正向加載(北面)

(b) 負向加載(北面)

圖 4.3 試體一層間變位角 0.02rad 試體實驗觀察

控制層間變位角 0.03 rad 5.

此階段於第2個 Cycle 時,觀察對於柱、梁試體裂縫繼續延伸,裂縫數量明 顯增加及成長,並開始有梁柱接頭梁端小範圍混凝土產生剝落。裂縫數量有 明顯增加且裂縫有成長之趨勢。

正向加載

柱於東、南、北方向產生裂縫最大寬度為 1mm,而梁由先前所產生裂縫向外 延伸擴張,最大裂縫寬度分別為 5(南)、5(北)、6mm(底部),梁柱接頭區梁頂 部混凝土開始產生剝落如圖 4.4 (a)。

負向加載

柱於東、南、北方向產生裂縫最大寬度為 0.8mm, 梁最大裂縫寬度分別為 8(南)、 7(北)、5mm(底部),梁柱接頭區梁底部混凝土開始產生剝落如圖 4.4 (b)。



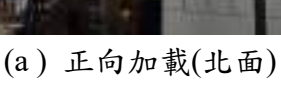




圖 4.4 試體一層間變位角 0.03 rad 試體實驗觀察

6. 控制層間變位角 0.04 rad

此階段於第2個迴圈時,觀察對於柱、梁試體裂縫繼續延伸擴張,裂縫數量明顯增加及成長,並梁柱接頭區梁端混凝土剝落面積加大,梁端靠近梁柱交界面之混凝土明顯開裂。裂縫數量明顯地增加且成長加劇,此外於於第1個迴圈時,有清脆聲音應為箍筋變形、主筋大幅挫屈,同時觀察其力量位移曲線,明顯發現強度由862 kN 開始下降至480 kN。

正向加載

柱於東、南、北方向產生裂縫最大寬度為 2.2mm, 梁最大裂縫寬度分別為 60(南)、55(北)、10mm(底部),梁柱接頭區梁頂部混凝土剝落面積加大,保護層嚴重剝落鋼筋裸露,主筋往混凝土面拱起,梁上層中間 2 支主筋產生挫屈,梁箍筋向上變形,如圖 4.5 (a)。

負向加載

柱於東、南、北方向產生裂縫最大寬度為 2.5mm,梁最大裂縫寬度分別為 65(南)、60(北)、14mm(底部),梁柱接頭區梁底部混凝土剝落面積加大,保護層剝落鋼筋裸露,主筋往混凝土面拱起,梁端箍筋拉開,此時強度下降如圖 4.5(b)。





(a) 正向加載 (北面、頂部)





(b) 負向加載(北面、底部)

圖 4.5 試體一層間變位角 0.04 rad 試體實驗觀察

7. 控制層間變位角 0.05 rad

此階段於第2個迴圈時,觀察對於柱、梁試體裂縫數量明顯增加及成長加劇,

並開始有梁柱接頭區梁端混凝土剝落面積加大,有大塊混凝土剝落,梁端靠近梁柱交界面之混凝土明顯開裂。明顯發現強度下降至391 kN,主筋受壓側挫屈但未斷裂,梁端箍筋產生斷裂及彎曲,由於混凝土剝落嚴重故不需再對裂縫進行量測。

正向加載

柱於東、南、北方向仍保持原有裂縫,其外觀整體仍維持彈性狀態,除原有 裂縫外無其他損傷。而梁於南、北方向及底部均由先前所產生裂縫向外延伸 產生,繼續延伸擴張變寬,梁柱接頭區梁頂部混凝土剝落面積加大,保護層 嚴重剝落鋼筋裸露產生,主筋往混凝土面拱起,梁上層4支主筋受壓側產生 挫屈,箍筋斷裂脫離主筋,但仍未見鋼梁上翼板,如圖4.6(a)。

負向加載

柱外觀整體仍維持彈性狀態,除原有裂縫外無其他損傷。梁柱接頭區梁底部 混凝土剝落面積加大,保護層嚴重剝落鋼筋裸露產生,主筋往混凝土面拱起, 梁下層 4 支主筋產生挫屈, 籍筋脫離主筋, 如圖 4.6 (b)。





(a) 正向加載(北面)





(b) 負向加載(北面、底部)

圖 4.6 試體一層間變位角 0.05 rad 試體實驗觀察

試體一載重歷時變位及加載圈數,以及上述不同層間變位角對應的梁、柱最大裂縫寬度整理如表 4-1,明顯可見隨層間變位角增加,梁最大裂縫寬度隨之增加;而柱最大裂縫寬度仍維持混凝土表面微小裂縫,符合原設計強柱弱梁。

Drift	Disula soment		致動器	柱最	大裂	縫寬度	梁	最大	裂縫寬	度
	Displacement	Cycle	対 動品 方向		(mr	n)		(n	nm)	
(rad)	(mm)		力问	東	南	北	南	北	底部	頂部
0.001	4	2								
0.002	8	2		無明	顯裂	縫產生	無	明顯	裂縫產	生
0.00375	15	6								
0.005	20	6	正向		0.	1	0.2	0.2	0.2	
0.003	20	U	負向		0.2	.5	0.3	0.25		0.25
0.0075	30	6	正向							
0.0073	30	U	負向		-		<u>-</u>			
0.01	40	4	正向		0.2	.5	0.25	0.3	0.25	
0.01	40	4	負向		0.4	4	0.6	0.4		0.35
0.015	60	2	正向				-			
0.013	00	4	負向		_					
0.02	80	2	正向		1		4	2	3	
0.02	80	4	負向		0.3	3	3	3		2.5
0.03	120	2	正向		1.4	4	5	5	6	
0.03	120	4	負向	1.7		7	8		5	
0.04	160	2	正向		2.2	2	60	55	10	
0.04	100		負向		2.:	5	65	60		14
0.05	200	2	正向	汨汨	. 1 1	昌钊兹	1			
0.05	200		負向	混凝土大量剝落 混凝土大量剝落					冷	

表 4.1 試體一控制加載圈數及梁、柱最大裂縫寬度表

試體一為包覆填充型鋼骨鋼筋混凝土柱與鋼骨鋼筋混凝土梁,梁上下層各4支#10主筋,每支主筋以續接器銲接至鋼柱上。為了解實際破壞狀態,試驗結束後打除梁端上下層混凝土塊,觀察梁主筋、箍筋、續接器、銲道及鋼梁,結果如下,梁頂部照片如圖4.7,梁底部照如圖4.8。

● 梁頂部

- 1. 梁上層中間 2 支主筋明顯挫屈,梁頂蓋繫筋變形脫落。
- 2. 梁主筋與續接器結合完整,未見有鬆脫現象。
- 3. 續接器銲接至鋼柱面,其銲接表面仍為完整,未見有銲道有缺陷產生。
- 4. 鋼梁上翼板,於接近梁柱接頭銲道處,上翼板發生斷裂。當實驗至層間

變位角 0.04rad 負向加載時,聽到清脆斷裂聲音,實驗後敲除鋼筋混凝土部份可確認為梁上翼板及銲接扇形開口發生斷裂所致。圖 4.9 中梁上翼板上應變均超過鋼板降伏應變,而且拉應變明顯大於壓應變,在梁端不斷的反覆載重作用力之下,迅速地累積其殘餘拉應變,此外由圖 4.9 中可看出近柱面 50 mm 處之應變計 F3 及近柱面 286 mm 處之應變計 F4 (圖 3.16) 相較於其它應變計,具有明顯拉應變與壓應變不對稱之關係,因此容易造成殘餘拉應變的累積,故推測此為梁柱接頭圍東區鋼梁上翼板發生斷裂的可能原因。



(a)梁頂續接器細部圖

(b)梁頂續接器整體圖



(c)梁上翼板斷裂細部圖



(d)梁上翼板斷裂整體圖

圖 4.7 試體一梁頂部破壞照片

● 梁底部

- 1. 梁下層 4 支主筋挫屈,梁箍筋、繋筋向上變形
- 2. 梁主筋與續接器結合完整,未見有鬆脫現象
- 3. 續接器銲接至鋼柱面,其銲接表面仍為完整,未見有銲道有缺陷產 生。
- 4. 鋼梁下翼板,其梁柱接頭銲道仍保持完整,且梁翼板無斷裂產生。





(a)梁底續接器正視圖

(b)梁底續接器細部圖





(c)梁下翼板與續接器側視圖

(d)梁下翼板細部圖

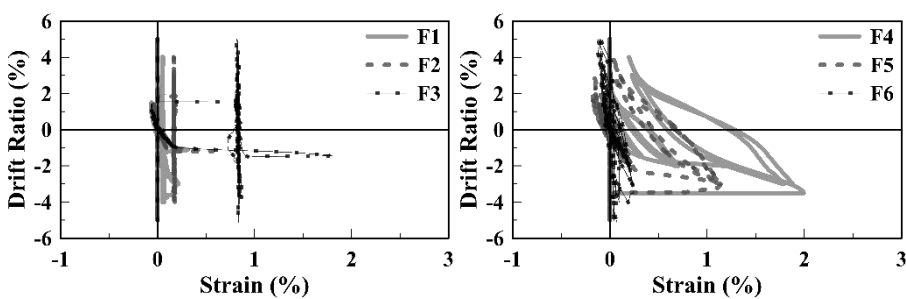


圖 4.8 試體一梁底部破壞照片

圖 4.9 試體一梁上翼板應變與位移角之關係曲線

(b) F4~F6

試體二實驗觀察

觀察對於柱、梁試體產生裂縫時,油壓致動器往下(正向)造成之裂縫以紅色繪製,油壓致動器往上(負向)以藍色繪製,並於裂縫旁標示其層間變位角(%)。

1.控制層間變位角 0.001、0.002rad

此階段柱、梁皆保持在彈性階段,無明顯裂縫產生。

2.控制層間變位角 0.00375rad

(a) F1~F3

此階段於第6個 Cycle 時進行觀察:

正向加載

柱於東、南、北方向產生微小裂縫,最大寬度為 0.1mm,而梁於南、北方向及頂部均產生數條裂縫,其最大裂縫寬度均為 0.2mm,如圖 4.10(a)所示,負向加載

柱於東、南、北方向產生微小裂縫,最大寬度為 0.1mm。而梁於南、北方向及底部均產生數條裂縫,裂縫分布到距柱表面約 40mm 內,最大裂縫寬度分別為 0.5 mm (南)、0.2 mm (北)、0.5mm(底部),如圖 4.10(b)所示。





(a) 正向加載(北面)

(b) 負向加載(北面)

圖 4.10 試體二層間變位角 0.00375 rad 試體實驗觀察

3.控制層間變位角 0.005rad

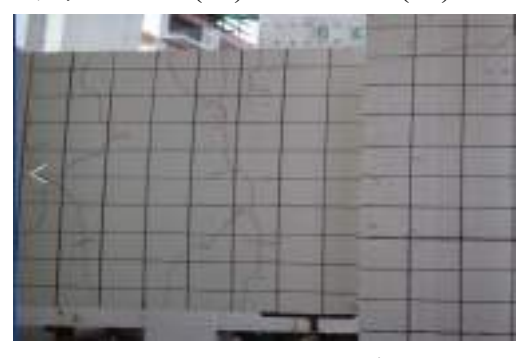
此階段於第6個 Cycle 時進行觀察:

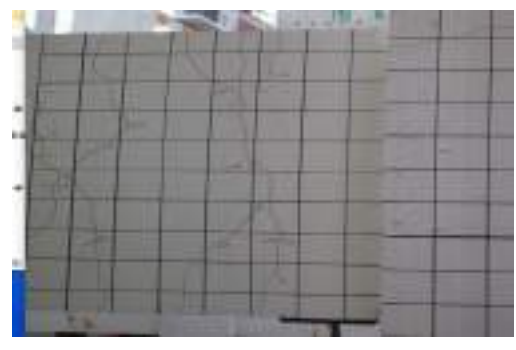
正向加載

柱於東、南、北方向產生微小裂縫,最大寬度為 0.1mm,而梁於南、北方向及頂部均產生數條裂縫,最大裂縫寬度分別為 0.5(南)、0.3(北)、0.5mm(頂部),如圖 4.11(a)所示,

負向加載

柱於東、南、北方向產生微小裂縫,最大寬度為 0.1mm。而梁於南、北方向及底部均產生數條裂縫,裂縫分布到距柱表面約 40mm 內,最大裂縫寬度分別為 0.5 mm (南)、0.35 mm (北)、0.5mm(底部),如圖 4.11(b)所示。





(a) 正向加載(北面)

(b) 負向加載(北面)

圖 4.11 試體二層間變位角 0.005 rad 試體實驗觀察

4.控制層間變位角 0.0075 rad

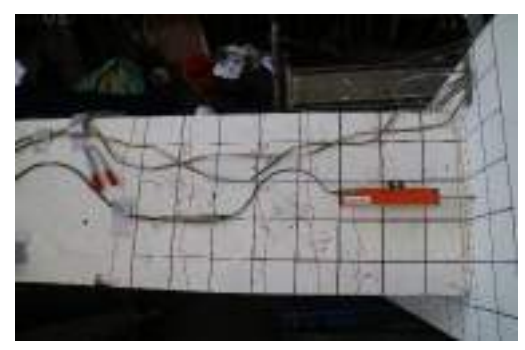
此階段於第6個 Cycle 時進行觀察:

正向加載

柱於東、南、北方向產生微小裂縫,最大寬度為 0.1 mm,而梁於南、北方向及頂部均產生數條裂縫,最大裂縫寬度分別為 0.55(南)、0.45(北)、0.5mm(頂部),如圖 4.12(a)所示,

負向加載

柱於東、南、北方向產生微小裂縫,最大寬度為 0.1 mm。而梁於南、北方向及底部均產生數條裂縫,最大裂縫寬度分別為 0.5 mm (南)、0.35 mm (北)、0.55 mm(底部),如圖 4.12(b)所示。



(a) 正向加載(梁頂)

(b) 負向加載(梁底)

圖 4.12 試體二層間變位角 0.0075 rad 試體實驗觀察

5.控制層間變位角 0.01 rad

此階段於第2個 Cycle 時觀察,柱、梁試體裂縫繼續延伸變寬擴張。 正向加載

柱於東、南、北方向產生裂縫最大寬度為 0.25 mm。於梁最大裂縫寬度分別 為 0.6 mm (南)、0.8 mm (北)、0.55 mm (頂部),如圖 4.13(a)所示。

負向加載

柱於東、南、北方向產生裂縫最大寬度為 0.25 mm,梁由先前所產生裂縫繼續延伸擴張,最大裂縫寬度分別為 0.55 mm(南)、0.4 mm(北)、0.5 mm(頂部),如圖 4.13(b)所示。





(a) 正向加載(北面)

(b) 負向加載(北面)

圖 4.13 試體二層間變位角 0.01 rad 試體實驗觀察

6.控制層間變位角 0.015 rad

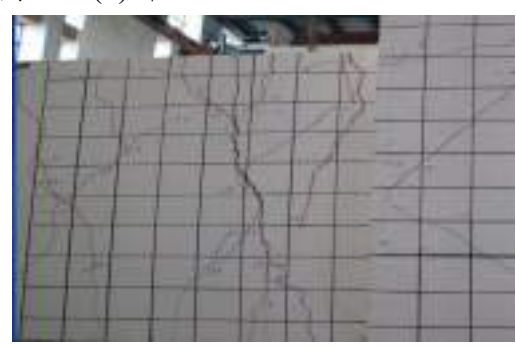
此階段於第2個 Cycle 時觀察,察對於柱、梁試體裂縫繼續延伸變寬加大, 裂縫數量明顯增加。此時力量開始往下掉落,明顯發現由最大強度 368 kN 開始下降至約 316 kN,梁頂開始產生撓曲裂縫,梁北面產生約 4.5mm 剪力裂縫。此外當進行至負向加載第2個 Cycle 時,聽見試體二有聲音出現,疑似有斷裂現象。

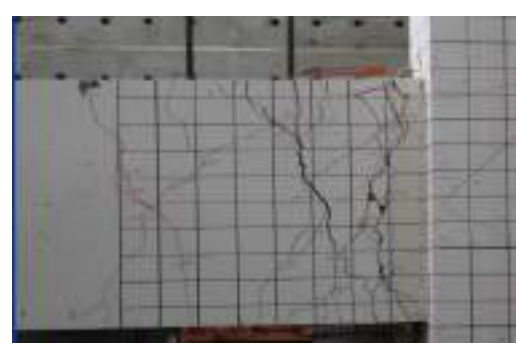
正向加載

柱於東、南、北方向產生裂縫最大寬度為 0.55 mm。於梁最大裂縫寬度分別 為 1.2 mm(南)、4 mm(北)、1.5 mm(頂部),如圖 4.14(a)所示。

負向加載

柱於東、南、北方向產生裂縫最大寬度為 0.55 mm,梁由先前所產生裂縫繼續延伸擴張,最大裂縫寬度分別為 5 mm(南)、5 mm(北)、1.6 mm(底部),如圖 4.14(b)所示。





(a) 正向加載(北面)

(b) 負向加載(北面)

圖 4.14 試體二層間變位角 0.015 rad 試體實驗觀察

7.控制層間變位角 0.02rad

此階段於第2個 Cycle 時,觀察對於柱、梁試體裂縫繼續延伸,裂縫數量明顯增加及成長,並開始有梁柱接頭梁端小範圍混凝土產生剝落。裂縫數量有明顯增加且裂縫有成長之趨勢,當加載由正向至負向時,梁頂原裂縫加寬及

大,梁東面及南面與底部混凝土因擠壓產生剝落。

正向加載

柱於東、南、北方向產生裂縫最大寬度為 4mm。而梁由先前所產生裂縫延伸擴張,最大裂縫寬度分別為 5 mm (南)、8 mm (北)、3mm (頂部),如圖 4.15 (a)所示。

負向加載

柱於東、南、北方向產生裂縫最大寬度為 4 mm, 梁最大裂縫寬度分別為 10 mm(南)、8 mm(北)、5mm(底部), 如圖 4.15(b)。





(a) 正向加載(北面)

(b) 負向加載(東面)

圖 4.15 試體二層間變位角 0.02rad 試體實驗觀察

8. 控制層間變位角 0.03 rad

此階段於第 1 個 Cycle 時,觀察對於柱、梁試體裂縫繼續延伸擴張,裂縫數量明顯增加及成長,並梁柱接頭區梁端混凝土剝落面積加大,梁端靠近梁柱交界面之混凝土明顯開裂。裂縫數量明顯地增加且成長加劇,此外於於第 1 個迴圈時,有清脆聲音出現。於第 2 個迴圈時,觀察對於柱、梁試體裂縫數量明顯增加及成長加劇,並開始有梁柱接頭區梁端混凝土剝落面積加大,梁端靠近梁柱交界面之混凝土明開裂加劇。發現強度由 0.02 rad 時之 316 kN下降至約 161 kN,主筋受壓側彎曲但未斷裂,梁端箍筋未變形脫落,由於混凝土剝落嚴重故不需再對裂縫進行量測。

正向加載

柱於東、南、北方向產生裂縫最大寬度為6mm,而梁由先前所產生裂縫向外延伸擴張,最大裂縫寬度分別為8mm(南)、12mm(北)、12mm(頂部),梁柱接頭區梁頂部混凝土剝落面積加大,主筋往混凝土面拱起,梁箍筋未變形脫落,梁柱接頭區梁頂部混凝土剝落如圖4.16(a)。

負向加載

柱外觀整體仍維持彈性狀態,除原有裂縫外無其他損傷。梁柱接頭區梁底部 混凝土剝落面積加大,保護層嚴重剝落鋼筋裸露產生,混凝土面拱起,梁下 層 4 支主筋略有彎曲,箍筋未變形脫落,梁柱接頭區梁底部混凝土剝落如圖

4.16 (b) °

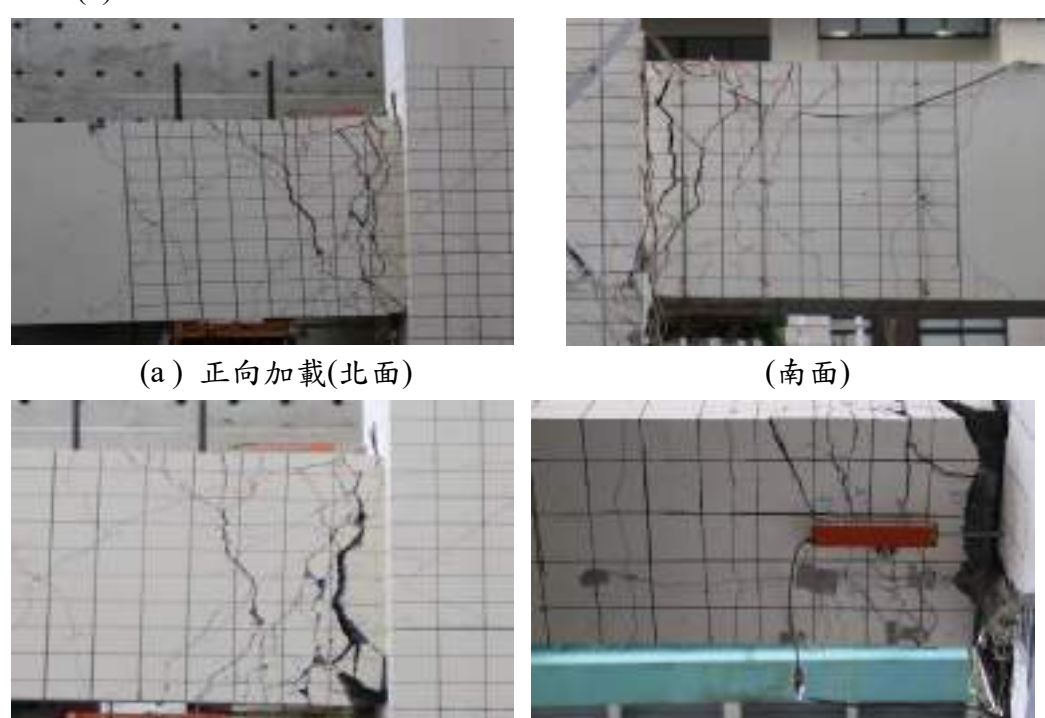


圖 4.16 試體二層間變位角 0.03 rad 試體實驗觀察

(梁底)

(b) 負向加載(北面)

上述不同層間變位角對應的梁、柱最大裂縫寬度整理如表 4-2,明顯可見隨層間變位角增加,梁最大裂縫寬度隨之增加;而柱最大裂縫寬度仍維持混凝土表面微小裂縫,符合原設計強柱弱梁。

柱最大裂縫寬度 梁最大裂縫寬度 Drift Displace 致動器 Cycle (mm)(mm) ment(mm) 方向 (rad) 東 北 底部 頂部 南 北 南 0.001 4 2 無明顯裂縫產生 無明顯裂縫產生 2 0.002 8 正向 0.2 0.20.2 0.00375 15 6 0.1 負向 0.5 0.2 0.5 正向 0.1 0.5 0.3 0.5 0.005 20 6 負向 0.1 0.5 0.35 0.5 正向 0.1 0.55 0.45 0.5 0.0075 30 6 負向 0.1 0.5 0.35 0.55 正向 0.25 0.55 0.6 0.8 0.01 40 2 負向 0.25 0.55 0.4 0.5 正向 0.55 1.2 4 1.5 0.015 60 2 5 負向 0.55 5 1.6

4

4

6

6

6

6

8

8

12

混凝土大量剝落

混凝土剝落加大,保護

層嚴重剝落鋼筋裸露產

生

3

12

5

10

8

正向

負向

正向

負向

正向

負向

2

1

2

0.02

0.03

0.03

80

120

120

表 4.2 試體二控制加載圈數及梁、柱最大裂縫寬度表

試體二柱為包覆填充型鋼骨鋼筋混凝土柱,梁為鋼筋混凝土(RC)梁,梁上下層各為4支#10主筋,每支主筋則以#10續接器銲接至鋼柱上,並梁腹以剪力榫連接至鋼柱上。為了解實際破壞狀態,試驗結束後打除梁端上下層混凝土塊,觀察梁主筋、箍筋、續接器、銲道及剪力榫,結果如下,梁頂部照片如圖4.17,梁底部照如圖4.18。

● 梁頂部

- 1. 梁上層 4 支主筋略有彎曲,梁頂蓋繫筋未變形脫落。
- 2. 梁主筋與續接器結合完整,未見有鬆脫現象
- 3. 梁 4 支主筋續接器銲接至鋼柱面,有 1 處續接器鬆脫現象,續接器完 全脫離鋼柱面,其餘則銲接表面仍為完整,未見有銲道有缺陷產生。
- 4. 剪力榫部份, 狀似完整未變型



(a)梁頂續接器細部圖



(b)梁頂續接器整體圖



(c) 梁頂續接器鬆脫細部圖



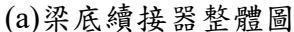
(d) 梁頂續接器側視圖

圖 4.17 試體二梁頂部破壞照片

● 梁底部

- 1. 梁下層 4 支主筋略有彎曲,梁頂蓋繫筋未變形脫落。
- 2. 梁主筋與續接器結合完整,未見有鬆脫現象
- 3. 梁 4 支主筋續接器銲接至鋼柱面, 4 處續接器皆有鬆脫現象, 續接器 完全脫離鋼柱面, 其餘則銲接表面仍為完整, 未見有銲道有缺陷產 生。
- 4. 剪力榫部份, 狀似完整未變型







(b)梁底續接器細部圖



(c) 梁底續接器鬆脫細部圖



(d) 梁底續接器側視圖

圖 4.18 試體二梁底部破壞照片

試體三實驗觀察

觀察對於柱、梁試體產生裂縫時,油壓致動器往上(正向)造成之裂縫以紅色繪製,負向以藍色繪製,並於裂縫旁標示其層間變位角(%)。

- 1. 控制層間變位角 0.001、0.002 rad
- 此階段柱、梁皆保持在彈性階段,無明顯裂縫產生。
- 2. 控制層間變位角 0.00375 rad

此階段柱、梁皆保持在彈性階段,無明顯裂縫產生。

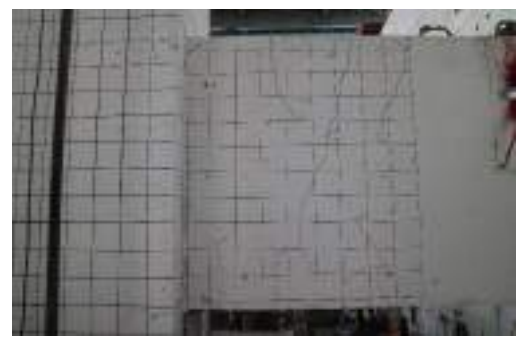
此階段於第6個 Cycle 時進行觀察:

正向加載

柱於東、南、北方向產生微小裂縫,最大寬度為 0.1 mm,而梁於南、北方向及底部均產生數條裂縫,其最大裂縫寬度為 0.15 mm,如圖 4.19(a)所示, 負向加載

柱於東、南、北方向產生微小裂縫,最大寬度為 0.1 mm。而梁於南、北方向及頂部均產生數條裂縫,裂縫分布到距柱表面約 20 mm 內,最大裂縫寬度分別為 0.5 mm (南)、0.2 mm (北)、0.5 mm (頂部),如圖 4.19(b)所示。





(a) 正向加載(北面)

(b) 負向加載(北面)

圖 4.19 試體三層間變位角 0.005 rad 試體實驗觀察

3. 控制層間變位角 0.005 rad

此階段於第6個 Cycle 時進行觀察:

正向加載

柱於東、南、北方向產生微小裂縫,最大寬度為 0.1 mm,而梁於南、北方向及底部均產生數條裂縫,最大裂縫寬度分別為 0.5 mm(南)、0.5 mm(北)、0.5 mm(底部),如圖 4.20 (a)所示,

負向加載

柱於東、南、北方向產生微小裂縫,最大寬度為 0.1mm。而梁於南、北方向及頂部均產生數條裂縫,裂縫分布到距柱表面約 20 mm 內,最大裂縫寬度分別為 0.5 mm (南)、0.5 mm (北)、0.5 mm (頂部),如圖 4.20(b)所示。



(a) 正向加載(北面)

(b) 負向加載(北面)

圖 4.20 試體三層間變位角 0.005 rad 試體實驗觀察

4. 控制層間變位角 0.0075 rad

此階段於第6個 Cycle 時進行觀察:

正向加載

柱於東、南、北方向產生微小裂縫,最大寬度為 0.1 mm,而梁於南、北方向及底部均產生數條裂縫,最大裂縫寬度分別為 0.5 mm(南)、0.5 mm(北)、0.5 mm(底部),如圖 4.21 (a)所示,

負向加載

柱於東、南、北方向產生微小裂縫,最大寬度為 0.1 mm。而梁於南、北方向及頂部均產生數條裂縫,裂縫分布到距柱表面約 0.1 mm 內,最大裂縫寬度分別為 0.5 mm (南)、0.5 mm (北)、0.6 mm (頂部),如圖 4.21(b)所示。





(a) 正向加載(北面)

(b) 負向加載(北面)

圖 4.21 試體三層間變位角 0.0075 rad 試體實驗觀察

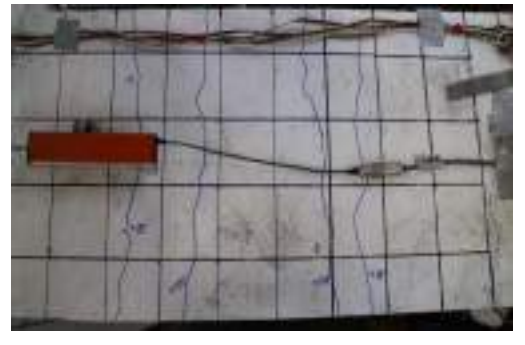
5. 控制層間變位角 0.01 rad

此階段於第2個 Cycle 時觀察,柱、梁試體裂縫繼續延伸變寬擴張。 正向加載

柱於東、南、北方向產生裂縫最大寬度為 0.25~mm。於梁最大裂縫寬度分別 為 0.55~mm (南)、0.5~mm (北)、0.55~mm (底部),如圖 4.22(a)所示。 負向加載

柱於東、南、北方向產生裂縫最大寬度為 0.25mm,梁由先前所產生裂縫繼續延伸擴張,最大裂縫寬度分別為 0.5(南)、0.6(北)、0.6mm(頂部),如圖 4.22(b) 所示。





(a) 正向加載(北面)

(b) 負向加載(梁底)

圖 4.22 試體三層間變位角 0.01 rad 試體實驗觀察

6. 控制層間變位角 0.015 rad

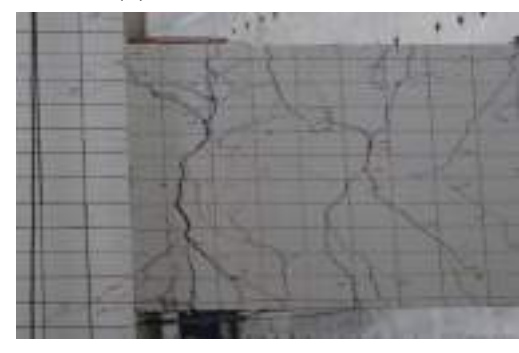
此階段於第2個 Cycle 時觀察,柱、梁試體裂縫繼續延伸變寬擴張加大,此外於梁北面產生約4.5 mm 剪力裂縫。

正向加載

柱於東、南、北方向產生裂縫最大寬度為 0.55~mm。於梁最大裂縫寬度分別 為 2.5~mm (南)、4.5~mm (北)、2.5~mm(底部),如圖 4.23(a)所示。

負向加載

柱於東、南、北方向產生裂縫最大寬度為 0.55mm, 梁由先前所產生裂縫繼續延伸擴張加大,最大裂縫寬度分別為 7 mm (南)、4 mm (北)、2.5 mm (頂部), 如圖 4.23(b)所示。





(a) 正向加載(北面)

(b) 負向加載(梁頂)

圖 4.23 試體三層間變位角 0.015 rad 試體實驗觀察

7. 控制層間變位角 0.02 rad

此階段於第2個 Cycle 時,觀察對於柱、梁試體裂縫繼續延伸變寬,裂縫數量明顯增加。

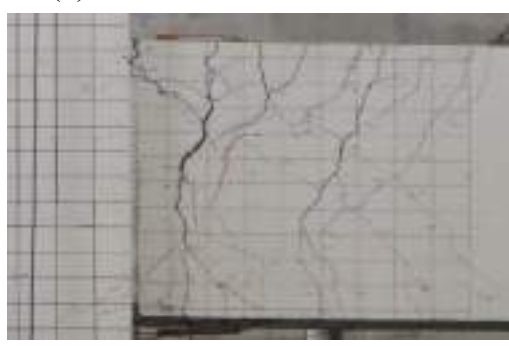
正向加載

柱於東、南、北方向產生裂縫最大寬度為 4 mm。而梁由先前所產生裂縫延伸擴張,最大裂縫寬度分別為 5 mm (南)、5 mm (北)、5 mm (底部),如圖 4.24 (a)所示。

負向加載

柱於東、南、北方向產生裂縫最大寬度為 4 mm, 梁最大裂縫寬度分別為 6 mm (南)、8 mm (北)、8 mm (頂部), 如圖 4.24 (b)。





(a) 正向加載(梁底)

(b) 負向加載(北面)

圖 4.24 試體三層間變位角 0.02rad 試體實驗觀察

8. 控制層間變位角 0.03 rad

此階段於第1個 Cycle 時,觀察對於柱、梁試體裂縫繼續延伸,裂縫數量明顯增加及成長,並開始有梁柱接頭梁端小範圍混凝土產生剝落。裂縫數量有明顯增加且裂縫有成長之趨勢。

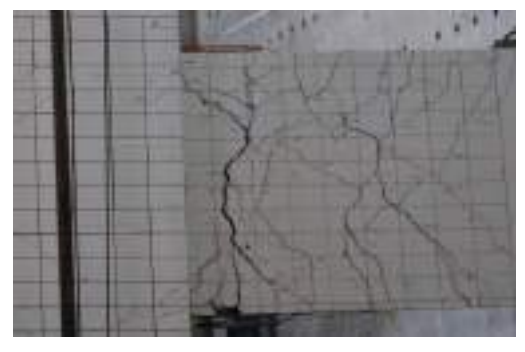
正向加載

柱於東、南、北方向產生裂縫最大寬度為 5 mm,而梁由先前所產生裂縫向外延伸擴張,最大裂縫寬度分別為 7 mm(南)、10 mm(北)、15 mm(底部),梁柱接頭區梁頂部及沿柱面之混凝土產生剝落如圖 4.25 (a)。

負向加載

柱於東、南、北方向產生裂縫最大寬度為 5 mm,梁最大裂縫寬度分別為 10 mm(南)、12 mm(北)、10 mm(底部),梁北面產生 12 mm 剪力裂縫,梁柱接頭界面開裂裂縫達 15mm 混凝土開始產生剝落如圖 4.25 (b)。

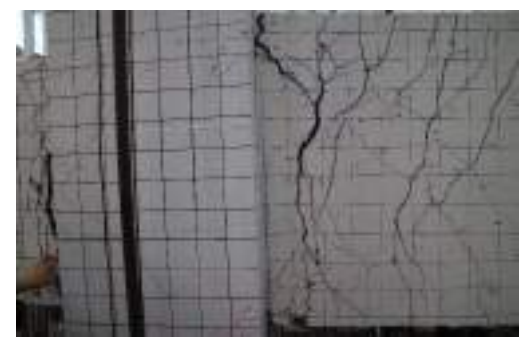
當進入第2個 Cycle 時,梁底混凝土開裂剝落加大,如圖 4.25 (c)及(d)。



(a) 正向加載(北面)



(b) 負向加載(梁頂)



(c) 正向加載(北面)



(d) 負向加載(梁底)

圖 4.25 試體三層間變位角 0.03 rad 試體實驗

9. 控制層間變位角 0.04 rad

此階段於第1個迴圈時,觀察對於柱、梁試體裂縫繼續延伸擴張,裂縫數量明顯增加及成長,並梁柱接頭區梁端上層混凝土剝落面積加大,梁端靠近梁柱交界面之混凝土明顯開裂。裂縫數量明顯地增加且成長加劇,上層混凝土剝擠壓造成主筋彎曲但未挫屈,箍筋仍未斷裂,由於裂縫過大加者混凝土嚴

重剝落,故未量測其裂縫寬度。

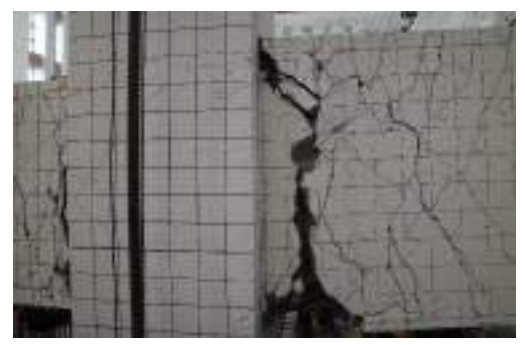
正向加載

柱於東、南、北方向產生裂縫與先前差異不大,梁柱接頭區梁頂部混凝土剝落面積加大,保護層嚴重剝落鋼筋裸露,主筋往混凝土面拱起,梁下層主筋 銲接在柱面上2支主筋有彎曲產生但仍未挫屈,梁箍筋變形不大,而剪力裂縫出現在鋼拱頭末端處,研判該處剪力強度驟減因而發生剪力裂縫,如圖 4.26 (a)。

負向加載

柱於東、南、北方向產生裂縫與先前差異不大,梁上層混凝土擠壓造成混凝 土剝落,梁內鋼拱頭下翼板受壓彎曲造成梁下層 4 支主筋皆挫屈,而箍筋向 外彎擠混凝土,至於續接器看似仍完整。如圖 4.26 (b)。

當進入第2個 Cycle 時,梁底混凝土開裂剝落加大,梁上層主筋產生彎曲但未挫屈,而箍筋仍變形不大,對主筋仍有圍東產生,如圖 4.26 (c)及(d)。





(a) 正向加載 (北面、北面)





(b)負向加載 (北面、底部)

包覆填充型鋼骨鋼筋混凝土柱與梁主筋以續接器接合之接頭耐震試驗





(c) 正向加載(北面、梁頂)





(d) 負向加載(北面、梁底) 圖 4.26 試體三層間變位角 0.04 rad 試體實驗觀察

試體三載重歷時變位及加載圈數,以及上述不同層間變位角對應的梁、柱 最大裂縫寬度整理如表 4-3,明顯可見隨層間變位角增加,梁最大裂縫寬度隨 之增加;而柱最大裂縫寬度仍維持混凝土表面微小裂縫,符合原設計強柱弱 梁

表 4.3 試體三控制加載圈數及梁、柱最大裂縫寬度表

	<u> </u>	.,	1工 小1 ハロ キ	1 - 1 -			<u> </u>				
Drift (rad)	Displace ment(mm)	Cycle	致動器 方向		最大: 度(I	裂縫寬 nm)			· 裂縫寬 (mm)	度	
				東	南	北	南	北	底部	頂部	
0.001	4	2		無明	日居る	-		血明 期	5列从玄	山	
0.002	8	2		無り	7 納 农	縫產生		無奶絲	頁裂縫產!	土	
0.00375	15	6	正向		0.	1	0.15	0.15	0.15		
0.00373	13	U	負向		0.	1	0.5	0.2		0.5	
0.005	20	6	正向		0.	1	0.5	0.5	0.5		
0.003	20	U	負向		0.	1	0.5	0.5		0.5	
0.0075	30	6	正向		0.	1	0.5	0.5	0.5		
0.0073	30	U	負向		0.	1	0.5	0.5		0.6	
0.01	40	2	正向	0.25		0.55	0.5	0.55			
0.01	40	2	負向		0.25		0.5	0.6		0.6	
0.015	60	2	正向	0.55		55	2.5	4.5	2.5		
0.013	00	2	負向		0.55		7	4		2.5	
0.02	80	2	正向		4		5	5	5		
0.02	00	2	負向		4		6	8		8	
0.03	120	1	正向		5		7	10	15		
0.03	120	1	負向		5		10	12		10	
			正向		5		混凝土剝落加大,保護層剝				
0.04	120	1	負向		5		落鋼筋裸露產生,剪力裂縫				
			X 17				出現在鋼拱頭末端處。				
			正向		5				加大,梁		
	0.04 120							•	但未挫屈		
0.04		2							大,對主		
			負向		5				梁下層 4		
									箍筋向外	·彎擠混	
							凝土	0			

試體三為包覆填充型鋼骨鋼筋混凝土柱與鋼筋混凝土(RC)梁,梁上下層各4支#10主筋,柱使用鋼拱頭與鋼骨鋼筋混凝土梁接合,梁主筋一半數量以續接器銲於鋼拱頭翼板上,一半數量以續接器直接銲於鋼柱上。為了解實際破

壞狀態,試驗結束後打除梁端上下層混凝土塊,觀察梁主筋、箍筋、續接器、 銲道及鋼梁,結果如下,梁頂部照片如圖 4.27,梁底部照如圖 4.28。

梁頂部

- 梁上層中間2支主筋產生彎曲,梁上層兩側2支主筋略有彎曲,梁頂蓋 1. 繫筋未變形脫落。
- 2. 梁主筋與續接器結合完整,未見有鬆脫現象。
- 續接器銲接至鋼柱面,其銲接表面仍為完整,未見有銲道有缺陷產生。 3.
- 4. 續接器銲接至鋼拱頭翼板上,其銲接表面仍為完整,未見有銲道有缺陷 產生。



(a)梁頂續接器細部圖



(c)梁上翼板鋼拱頭細部圖

(b)梁頂續接器整體圖



(d) 梁上翼板鋼拱頭整體圖

圖 4.27 試體三梁頂部破壞照片

- 梁底部
- 1. 梁下層 4 支主筋挫屈,梁箍筋、繋筋向上變形
- 2. 梁主筋與續接器結合完整,未見有鬆脫現象
- 續接器銲接至鋼柱面,其銲接表面仍為完整,未見有銲道有缺陷產生 3.
- 續接器銲接至鋼拱頭翼板上,其銲接表面仍為完整,未見有銲道有缺陷 產生。



(a)梁底續接器正視圖



(b)梁底續接器細部圖



(c)梁下翼板鋼拱頭與續接器細部圖



(d)梁下翼板鋼拱頭整體圖

圖 4.28 試體三梁底部破壞照片

由第三章敘述,得知試體一、二、三柱皆為包覆填充型鋼骨鋼筋混凝土柱,試體一梁為鋼骨鋼筋混凝土梁,梁上下層每支主筋則以續接器銲接至鋼柱上。試體二梁為鋼筋混凝土梁,梁上下層每支主筋,則以續接器銲接至鋼柱上,並梁腹以剪力榫連接至鋼柱上。試體三梁為鋼筋混凝土梁,柱使用鋼拱頭與鋼骨鋼筋混凝土梁接合,梁主筋一半以續接器銲於鋼拱頭翼板上,另一半以續接器直接銲於鋼柱上。綜整上述實驗觀察結果,將表 4.1~表 4.3 不同層間變位角時,取梁最大裂縫寬度值作一比對如表 4-4 所示。當層間變位角逐漸增加時,試體一耐震行為最佳,試體三次之,最後為試體二。此結果符合原試體規劃預期,主因試體一參與有鋼骨之貢獻,試體二、三同為 RC 梁,但試體三由於有鋼拱頭之故,故較試體二僅有剪力榫為佳。

試體二(mm) 試體一(mm) 試體三(mm) Drift (rad) 0.005 0.3 0.5 0.5 0.01 0.8 0.6 0.6 0.02 4 10 8 0.03 8 12 12 未量測 0.04 60 未進行

表 4.4 不同層間變位角梁最大裂縫寬度表

此外由試體一、二、三打除梁端上下層混凝土塊,觀察試體破壞行為後整理成表 4-5,可看出當梁主筋以續接器銲接至鋼柱面時,試體一、三分別具有鋼骨梁及鋼拱頭,其主筋與續接器結合完整,未見有鬆脫現象,續接器銲接至鋼柱面或鋼拱頭翼板上,其銲接表面仍為完整,未見有銲道有缺陷產生。

試體一、三試驗結果可看出,梁主筋以續接器銲接至鋼柱或鋼拱頭翼板上上,試體一、三至層間變位角 0.04rad,並無發生續接器銲道破壞或梁主筋與續接器脫離現象,其力量傳遞路徑及結構安全性由實驗結果證明可以接受。

表 4.5 試體破壞行為整理表

	梁頂								
試體			主筋與續	續接器銲接	續接器銲				
BJ (AGE	主筋	箍筋	上加 <u>兴</u> 慎 接器	至鋼柱面	接至鋼拱	備註			
			7女 66	土驯狂山	頭翼板上				
						上翼板			
試體一	中間2支	戀形脫芨	結合完整	結合完整		及扇形			
四月豆	主筋挫屈	ダルル俗	阳日儿正	阳日儿正		銲接開			
						孔斷裂			
試體二	4 支主筋略有	未變形脫	結合完整	4支續接器					
10人为豆—	彎曲	落	WO II /U.E.	有1處鬆脫					
	中間2支主筋								
試體三	產生彎曲	未變形	結合完整	結合完整	結合完整				
四// /	兩側2支主筋	脫落	加口 儿正	10000000000000000000000000000000000000	阳日儿正				
	略有彎曲								
			梁庭	ξ.					
試體			主筋與續	續接器銲接	續接器銲				
DO () DE	主筋	箍筋	接器	至鋼柱面	接至鋼拱	備註			
			72 66	工趴工山	頭翼板上				
試體一	4支主筋挫屈	向上變形	結合完整	結合完整					
試體二	4支主筋略有	未變形脫	結合完整	4支續接器					
	彎曲	落		有 4 處鬆脫					
試體三	4 支主筋挫屈	向上變形	結合完整	結合完整	結合完整				

第二節 數據分析與討論

1. 載重位移反應

● 遲滯迴圈與包絡線

本節將講述本次 SRC 梁柱接頭耐震試驗於反復載重試驗中所蒐集各項之梁測數據資料,加以分析並計算結果,包含:遲滯迴圈、包絡線分析、應變包絡線比較與計算強度比較。藉由以上分析結果探討 SRC 梁柱接頭之力量位移及並觀察在每一層間變位角下所發生之破壞情形。

試體整體配置於試驗過程觀察一小節已詳述,因本次試驗由垂直油壓致動器施以反復載重力,而水平油壓致動器則作為支承以確保柱身不歪斜。故層間變位角之計算由垂直油壓致動器所推動位移除以梁長(4000mm),而試體一實驗配置照片如圖 4.29,試體二、三實驗配置照片如圖 4.30。並依不同加載速率及取樣頻率作為反復載重之位移歷時圖,設計詳見表 4.6。試驗實際位移歷時圖詳見圖 4.31。

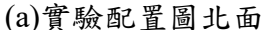


(a)實驗配置圖北面

(b)實驗配置圖東面

圖 4.29 試體一實驗配置照片







(b)實驗配置圖南面

圖 4.30 試體二、三實驗配置照片

Drift	Displacement	Rate	Circle	Step	Total step	Sum of	Frequency of
(rad)	(mm)	(mm/sec)		(0 to peak)	(Each drift)	steps	saving data (Hz)
0.001	4	0.5	2	8	320	320	5
0.002	8	0.5	2	16	640	960	5
0.00375	15	1	6	15	1800	2760	5
0.005	20	1	6	20	2400	5160	5
0.0075	30	1	6	30	3600	8760	5
0.01	40	2	4	20	1600	10360	5
0.015	60	2	2	30	1200	11560	5
0.02	80	2	2	40	1600	13160	5
0.03	120	2	2	60	2400	15560	5
0.04	160	2	2	80	3200	18760	5
0.05	200	2	2	100	4000	22760	5

表 4.6 反復載重位移歷時

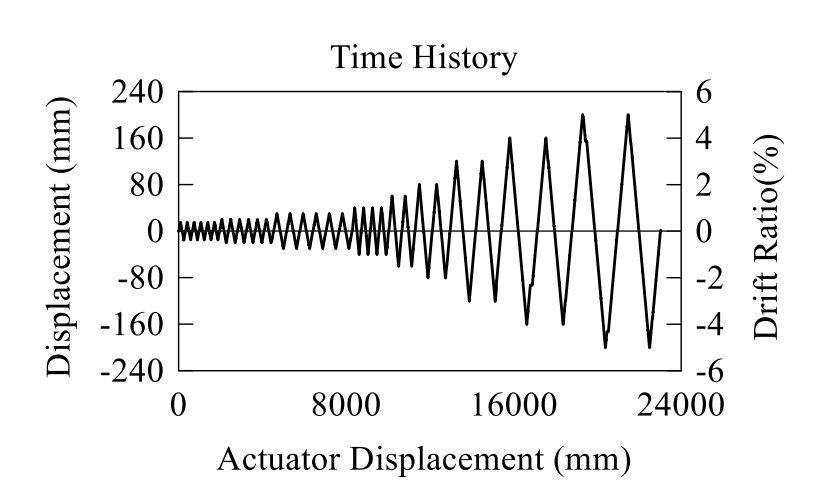


圖 4.31 真實反復載重加載位移歷時

● 試體一

試體一之遲滯迴圈與包絡線結果如圖 4.32 及圖 4.33 所示。從結果可見: 試體於層間位移比 0.01 rad 前皆為彈性階段,在層間位移比 0.015 rad 之後開始進入非線性,並且產生能量消散。力量加載至 0.04 rad 頁迴圈第一圈皆有良好消能現象,但實驗過程中力量加載至 0.04 rad 頁迴圈第一圈時明顯聽到梁柱接頭處有類似鋼材拉斷聲音,於此同時力量也瞬間下降。在進入 0.04 rad 第二圈時力量已由最大力量 860 kN 降至 750 kN,顯示試體已無法承受更大力量,但遲滯迴圈形狀仍然飽滿。加載至 0.05 rad 頁迴圈時,力量已遽減至 400

kN,為最大力量的一半左右且試體伴隨多處混凝土塊剝落,實驗完整跑完 2 圈 0.05 rad 後停止。標示每個層間位移角之最大力量,並以線連接可得到幾乎對稱的包絡線(背骨曲線),惟於 0.04 rad 負迴圈時因試體某處斷裂聲而造成之力量驟降。在實驗結束後打除梁柱接頭處混凝土,發現前述斷裂聲為鋼梁上翼板,主筋發生挫屈但續接器無損傷。

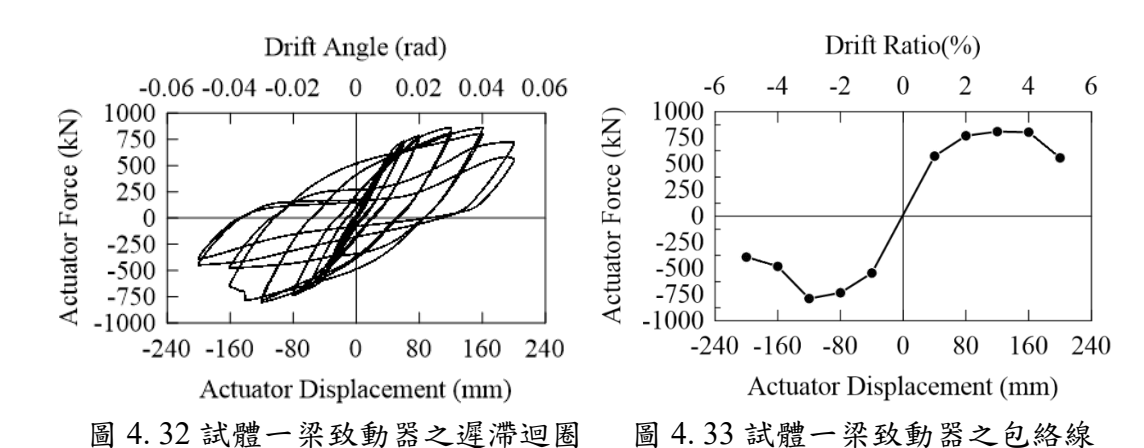
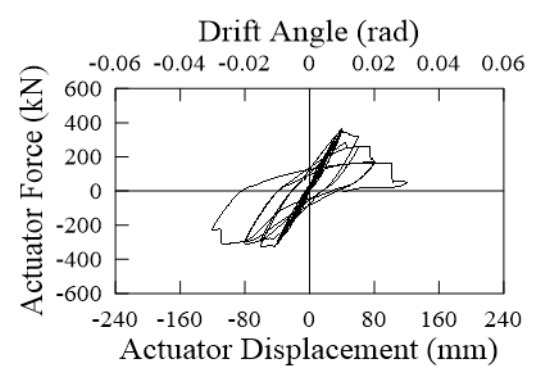


表 4.7 試體一每一層間位移角對應之最大力量 (kN)錯誤! 連結無效。

● 試體二

試體二之遲滯迴圈與包絡線結果如圖 4.34 及圖 4.35 所示。從結果可見: 試體於層間位移比 0.01 rad 前皆為彈性階段,在層間位移比 0.015 rad 之後開始進入非線性。致動器最大力量 369 kN 於 0.015 rad 時正迴圈第一圈發生,在進入 0.02 rad 時正迴圈第一圈聽見鋼材斷裂聲。在進入 0.03 rad 負迴圈第一圈時再次聽見鋼材斷裂聲。試體於 0.03 rad 正迴圈第一圈時因梁底混凝土保護層嚴重剝落,顯示試體已無法繼續受力,實驗在跑完 0.03 rad 一圈後即停止。標示每個層間位移角之最大力量,並以線連接後形成包絡線(背骨曲線),可見此形式之接頭無法符合設計之預期。在實驗結束後打除梁柱接頭處混凝土,發現前述斷裂聲為續接器與柱板脫離,主筋未挫屈且續接器無損傷。



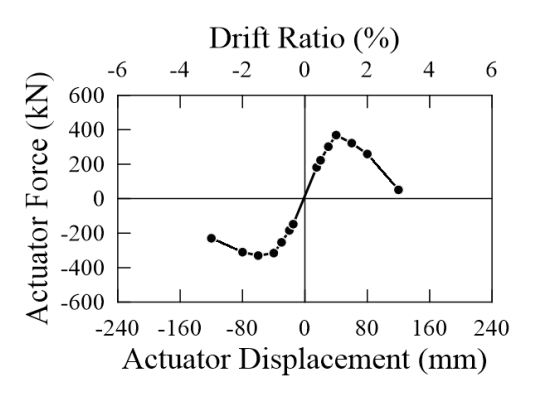


圖 4.34 試體二梁致動器之遲滯迴圈

圖 4.35 試體二梁致動器之包絡線

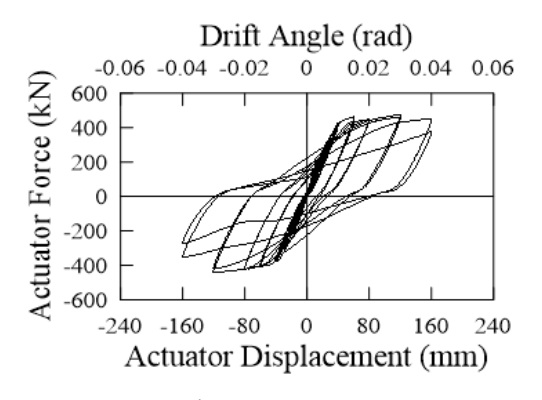
表 4.8	試體二每	一層間信	立移角對應	总之最大	力量 (kN	1)
Drift (rad)	0.00375	0.005	0.0075	0.01	0.015	

	Drift (rad)	0.00375	0.005	0.0075	0.01	0.015	0.02	0.03
S	+	182	223	302	369	322	259	52
Specimen2	-	-148	-184	-253	-315	-330	-310	-229
	+/- ratio	23%	21%	19%	17%	2%	16%	78%

● 試體三

試體二之遲滯迴圈與包絡線結果如圖 4.36 及圖 4.37 所示。從結果可見: 試體於層間位移比 0.01 rad 前皆為彈性階段,在 0.015 rad 之後開始進入非線性且有能量消散之情形。致動器於 0.03 rad 正迴圈第一圈時測得最大力量為 475 kN。在完整跑完 0.03 rad 兩圈後可見遲滯迴圈大致對稱,在進入 0.04 rad 正迴圈第一圈時發現梁上排主筋降伏且彎曲造成力量稍降至 400 kN,於 0.04 rad 負迴圈第一圈時觀察到梁下排主筋彎曲且梁頂拱起等現象使得力量下降至 350 kN。進入 0.04 rad 負迴圈第二圈時,梁底塑鉸區混凝土嚴重剝落使力量已降為 250 kN 將近最大力量之一半,試體在跑完 0.04 rad 完整兩圈後即停止實驗。標示每個層間位移角之最大力量,並以線連接後形成包絡線(背骨曲線),可觀察到整體力量於正負迴圈大致呈對稱,且沒有力量驟降等情形發生,顯示此接頭形式較試體二有更好的力量傳遞。在實驗結束後打除梁柱接頭處混凝土,立式續接器與柱板間無破壞發生、臥式續接器與拱頭翼板銲接處也無拉裂等情形,而主筋有挫屈但拱頭之腹板、翼板無措屈等情形發生。

包覆填充型鋼骨鋼筋混凝土柱與梁主筋以續接器接合之接頭耐震試驗



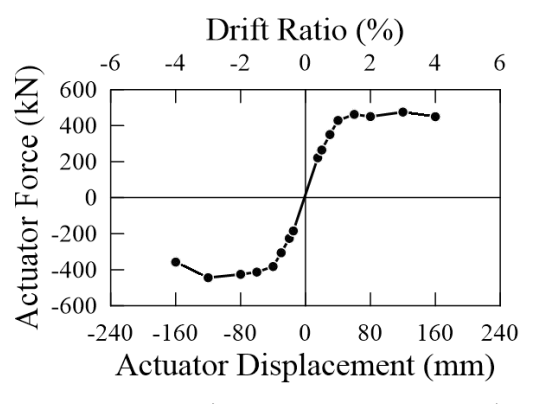


圖 4.36 試體三梁致動器之遲滯迴圈

圖 4.37 試體三梁致動器之包絡線

表 4.9 試體三每一層間位移角對應之最大力量 (kN)

	Drift (rad)	0.00375	0.005	0.0075	0.01	0.015	0.02	0.03	0.04
Smaaiman?	+	221	265	350	429	462	450	475	450
Specimen3	-	-185	-226	-306	-382	-413	-425	-444	-357
	+/- ratio	20%	17%	15%	12%	12%	6%	7%	26%

2. 梁主筋與續接器應變

● 試體一

試體一柱為包覆填充型鋼骨鋼筋混凝土柱,梁為鋼骨鋼筋混凝土,梁鋼骨為 H600×200×11×17 mm,梁上下層各為 4 支#10 主筋,每支主筋以續接器 銲接至鋼柱上。每支梁主筋上設置 4 個應變計分別距離柱表面為 86、286、486、886 mm,其編號為 R1~R32。續接器上亦設置應變計,其編號為 P1~P8。相關配置詳圖 3.16,將梁主筋與續接器應變計編號對應如表 4.10。

梁		應變計編號	距柱表面距離		
赤	續接器	梁主筋	mm		
	P4	R1 · R2 · R3 · R4			
上層主筋	Р3	R5 · R6 · R7 · R8			
上僧 王 肋	P2	R9 · R10 · R11 · R12			
	P1	R13 · R14 · R15 · R16	86、286、486、886		
	P8	R17 · R18 · R19 · R20	(梁主筋應變計由左至右)		
工品+ 签	P7	R21 · R22 · R23 · R24			
下層主筋	P6	R25 · R26 · R27 · R28			
	P5	R29 · R30 · R31 · R32			

表 4.10 試體一梁主筋與續接器應變計編號位置

表 4.11 為梁主筋達降伏應變時所對應之層間變位角,數據顯示降伏時的層間變位角介於 0.01~0.04 rad 之間,梁主筋上應變計隨距柱距離增加,其降伏對應之層間變位角增加,此外梁位於二側主筋相較於中間主筋較晚降伏,於現場觀察符合。此外當層間變位角 5%時,顯示 8 支梁主筋中皆有明顯的挫屈變形。

梁主筋應變計編號	Drift (rad)		
R1 · R9 · R13 · R15 · R16 · R17 · R18 · R23 ·	0.01		
R25 · R29	0.01		
R2 · R4 · R5 · R6 · R10 · R11 · R12 · R22 ·	0.015		
R26 · R27 · R30 · R31 · R32	0.015		
R3 · R7 · R8 · R19 · R20 · R24 · R28	0.02		

表 4.11 試體一梁主筋降伏對應之層間變位角

層間變位角為 0.01~0.02rad 時,梁內上下層 8 支主筋開始陸續降伏。當層間變位角為 0.03rad 時,梁柱接頭區梁端混凝土開始產生剝落。層間變位角為 0.02~0.03rad 時,梁主筋開始挫屈,但仍可完成層間變位角 0.03rad 兩迴圈。當層間變位角為 0.04rad 時,第 1 迴圈其強度達到最高值 862 KN,但第 2 迴圈時其強度開始下降,並於實驗過程中聽到清脆聲音應為鋼筋大幅挫屈造成擠壓箍筋及外圍混凝土塊現象,由梁主筋應變資料,此時已有一半以上應變計已損壞。當層間變位角為 0.05rad 時,混凝土剝落面積加大,其強度明顯下降,主筋受壓側明顯挫屈但並未斷裂,梁端箍筋及繫筋已變形脫離主筋無法提供良好圍束。

如圖 4.38 (a 至 h)所示,應變計圖上的實線為每一層間變位角之正值 (表垂直致動器向上推),反之虛線表示每一層間變位角之負值(表垂直致 動器向下拉)。由圖 4.14 可得知,試體梁上、下主筋應變計在層間變位角 2%以前大多為彈性階段。在層間變位角 2%至 3%時,梁主筋進入挫屈階 段。

圖 4.39 (a 至 h)為應變與位移角之關係曲線,同時為了解應變與梁端彎矩之關係見圖 4.40 (a 至 h),不論是應變與位移角或是應變與梁端彎矩,位移角與梁端彎矩皆隨應變加大而增加。

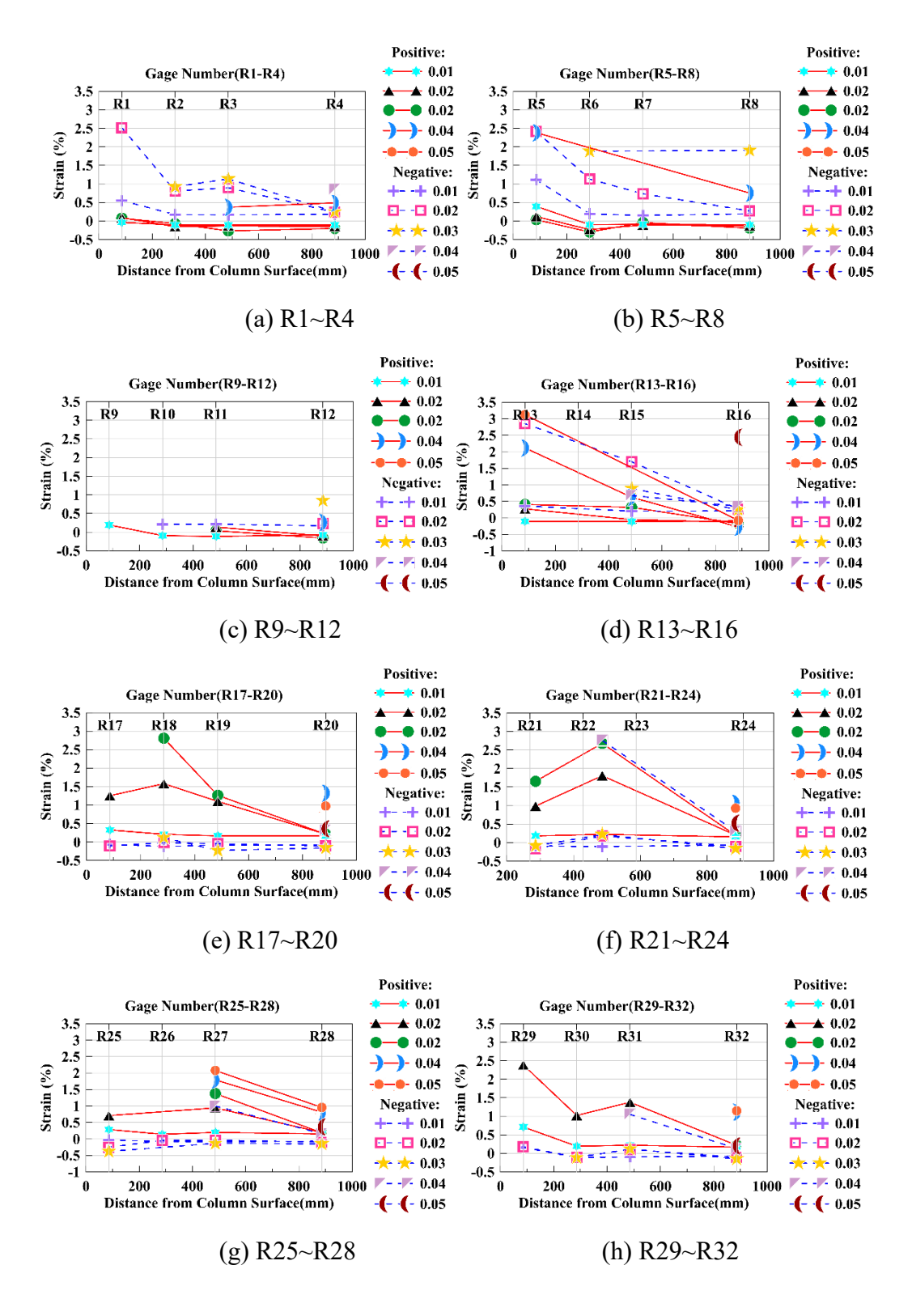


圖 4.38 試體一梁主筋應變數值關係曲線

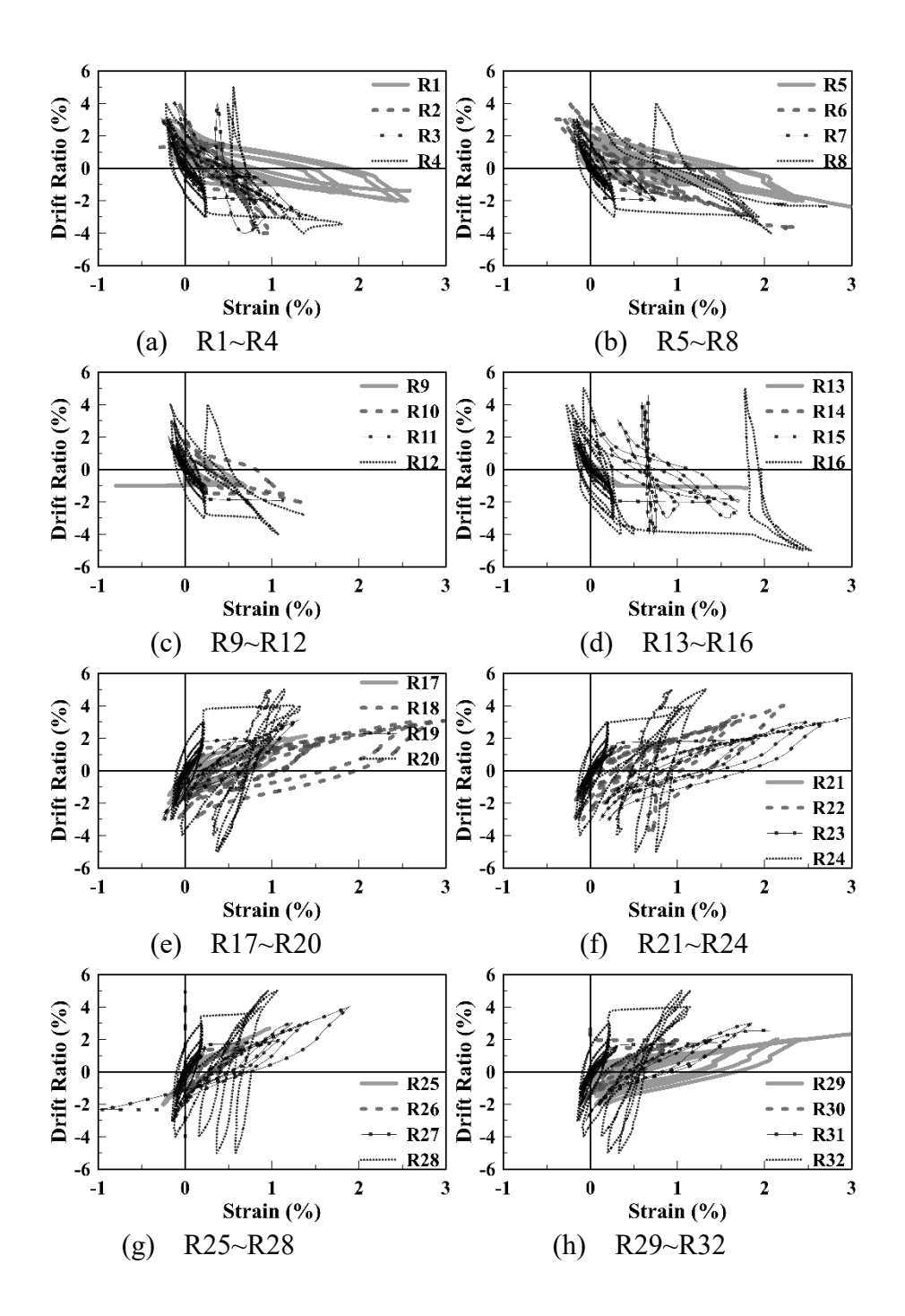


圖 4.39 試體一梁主筋應變與位移角之關係曲線

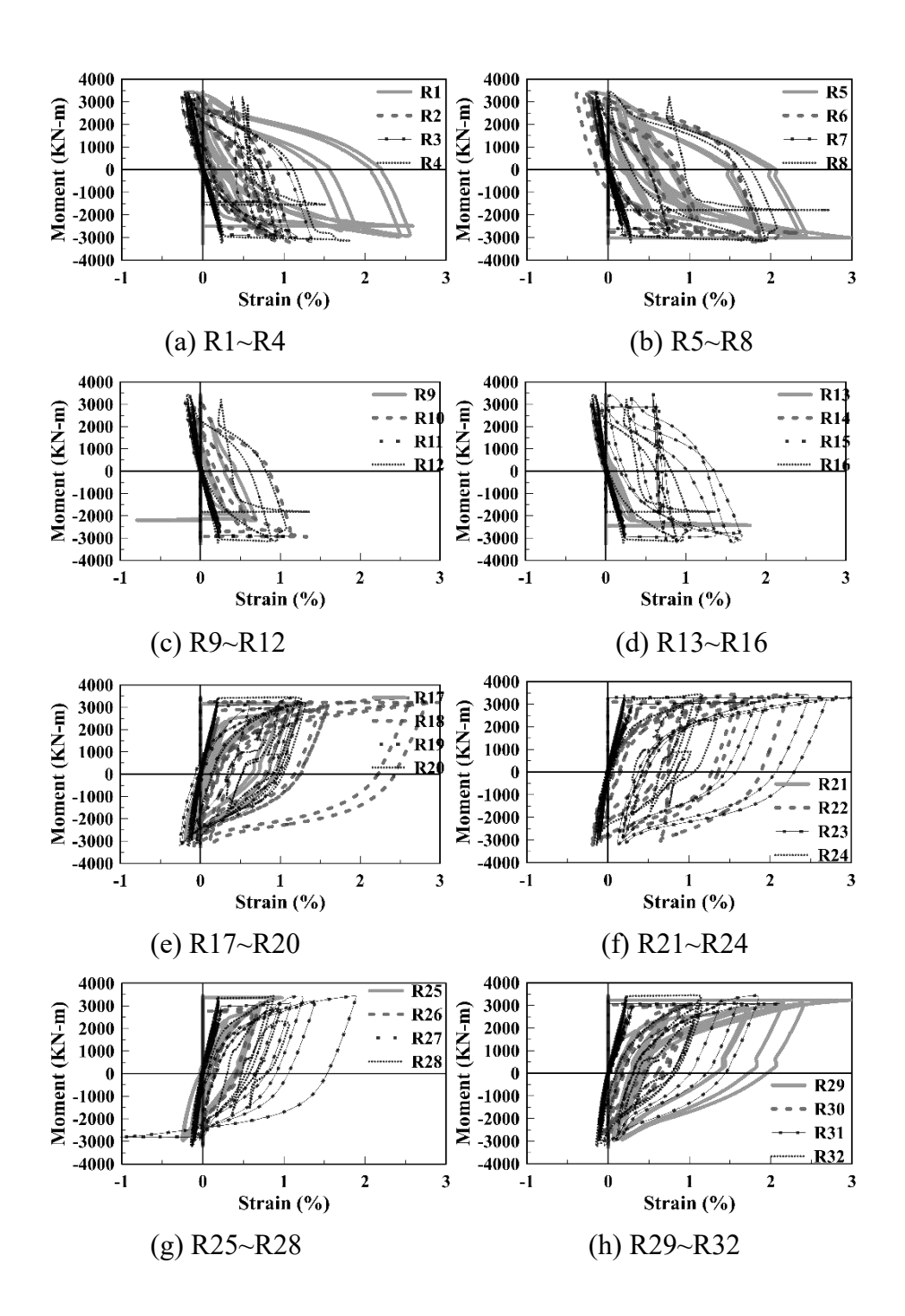


圖 4.40 試體一梁主筋應變與梁端彎矩之關係曲線

試體一梁主筋與續接器連結程度完整,在層間變位角 0.02 rad 以前,梁主筋大多為彈性階段。整理梁上下層主筋於不同層間變位角之最大應變值如表 4.n+2 及表 4.n+3,當層間變位角 0.03 rad 時,梁上層主筋距柱面 286 mm 應變計(R10)發生破壞,表示該根主筋已發生挫屈,至於梁下層主筋則無破壞發生。當層間變位角 0.04 rad 時,主筋應變幅度加大;梁下層主筋距柱面 86mm (R17)、距柱面 286mm (R26)已破壞。層間變位角為 0.05 rad,上下層梁主筋皆有明顯挫屈。

對於梁主筋可得初步結論,在層間變位角 0.02 rad 以前,梁主筋大多為彈性階段,在層間變位角 0.02 rad 至 0.03 rad 時,梁主筋進入塑性階段陸續發生局部挫屈,在層間變位角 0.04 rad 時,梁主筋挫屈幅度加大,在層間變位角 0.05 rad 時,梁主筋明顯挫屈。於施力過程中仍能達到 0.04 rad 兩圈載重歷時,但強度開始下降,至層間變位角 0.05 rad 時試驗中仍能完成兩圈載重歷時,但由混凝土大幅剝落、梁主筋明顯挫屈、箍筋及繫筋產生斷裂或彎曲等現象。

表 4.12 試體一梁上層主筋不同層間變位角最大應變值

						:	最大應	變值 (µ	ιε)								
續接器應變 計編號		P	4			I	23			P	2		P1				
梁主筋位置	梁上	層側邊	主筋靠	北側	梁上層中間主筋靠北側				梁上	層中間	主筋靠	南側	梁上	層側邊	主筋靠	南側	
梁主筋應變 計編號	R1	R2	R3	R4	R5	R6	R7	R8	R9	R10	R11	R12	R13	R14	R15	R16	
Drift=0.375%	1075.1	663.32	654.45	677.34	1345.3	762.12	536.03	711.6	1155.2	821.9	725.17	587.21	1125	*	776.54	785.94	
Drift=0.5%	1303.3	897.04	858.63	922.49	1679.1	1016.8	714.02	953.56	1376.8	1095.5	1006.8	782.56	1352.6	*	1059.9	1046.5	
Drift=0.75%	1850.1	1338.8	1287.4	1402.5	5105.6	1503.9	1099.3	1972.4	3042.8	1632	1601.7	1181.1	1948.1	*	1609.2	1555	
Drift=1%	5663.2	1729.3	1702.6	1849.1	11278	1942.6	1504.1	1970.9	64470	2137	2173.4	1709.1	3638.9	*	2099.4	2110.5	
Drift=1.5%	19024	7729.4	2028.1	2225	18825	8062.8	1734	2419.5	64470	11249	2481.1	2176.8	58650	*	2406.9	2574.2	
Drift=2%	25513	8167	9976.6	2351.4	24375	11469	7441.1	2720.8	64470	13281	30564	2308.7	58650	*	17092	2679.6	
Drift=3%	33909	10863	13474	2466.1	65516	18930	65290	19317	64470	Failure	34563	8812.8	58650	*	16932	2710.6	
Drift=4%	33865	65534	65452	18049	65516	23528	65290	65426	64470	Failure	34376	13670	58650	*	8797.6	4987.4	
Drift=5%	*	*	*	15076	65516	*	*	*	*	*	*	*	58650	*	24285	25376	

^{*} 表示應變計毀損,無資料讀取

包覆填充型鋼骨鋼筋混凝土柱與梁主筋以續接器接合之接頭耐震試驗

表 4.13 試體一梁下層主筋不同層間變位角最大應變值

						Ī	最大應	·變值 (με)									
續接器應變 計編號		P	8			P	7			P	6		P5				
梁主筋位置	梁下	層側邊	主筋靠	北側	梁下層中間主筋靠北側				梁下	層中間	主筋靠	南側	梁下層側邊主筋靠南側				
梁主筋應變 計編號	R17	R18	R19	R20	R21	R22	R23	R24	R25	R26	R27	R28	R29	R30	R31	R32	
Drift=0.375%	1122.1	932.18	721.3	726.17	*	733.57	921.83	593.32	804.12	644.12	809.78	577.07	1121.6	904.73	894.68	685.96	
Drift=0.5%	1327.7	1226.4	921.16	912.7	*	979.56	1202.5	789.79	1039.1	840.36	1059.5	777.6	1458.6	1172.3	1177	896.45	
Drift=0.75%	1910.2	1725.2	1301	1250.6	*	1440.1	1731.8	1176.3	1667 1173.9 1546.1 1151		1151.8	3521.7	1635.2	1699	1293.4		
Drift=1%	3279.6	2115.8	1708.3	1622.6	*	1835.4	2253.1	1555.2	2889.4	1441.9	2008.7	1532.2	7213.7	1982.9	2210.2	1700	
Drift=1.5%	10087	14839	2026.6	2042.9	*	7187.2	2954.5	1952.1	6673.8	6752.7	2258.8	1923.8	17438	8803.7	2914.4	2144.8	
Drift=2%	12634	16077	11008	2111.8	*	9953.8	19467	2012.1	7125.6	64210	10860	1964.9	24081	10294	15965	2207.6	
Drift=3%	65690	28276	12687	2206.3	*	16629	26930	2039.8	64037	4859.7	13861	1984.1	35363	27317	33043	2255.8	
Drift=4%	*	65983	34425	13227	*	22162	65456	11614	64037	*	63496	8722.4	12892	20999	66254	11424	
Drift=5%	*	*	*	11462	*	*	34515	13290	*	*	63492	10650	*	*	29573	11486	

^{*} 表示應變計毀損,無資料讀取

續接器上設置應變計,由於梁上下層共8支主筋接於續接器上,故故於續接器上共有8個應變計其編號為P1~P8,同時為了解應變與梁端彎矩之關係見圖4.41,其中位於梁下層主筋靠近北側之2個續接器應變計毀損,編號為P7與P8故無資料讀取,梁端彎矩隨應變加大而增加。

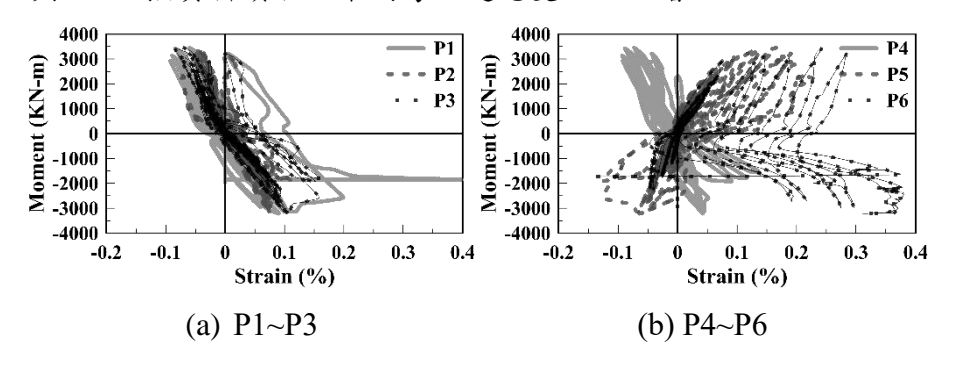


圖 4.41 試體一續接器應變與梁端彎矩之關係曲線

為了解續接器與主筋上應變值之差異,取不同層間變位角時主筋最小應變值,與續接器應變值作一比對,在此以續接器 P1 為例與其主筋上應變計編號 R13、R14、R15、R16,為保守考量取主筋上應變最小值,再將續接器 P1 應變值除以主筋上應變最小值,其結果參見表 4.14,於層間變位角 0.02 rad 之前,續接器應變值與主筋上應變之比值皆小於 1,隨層間變位角增加比值隨之增大。此外由於梁主筋與柱端以續接器連接,試驗過程中梁主筋發揮降伏強度,梁主筋的挫屈變形明顯產生,若是梁主筋與續接器有脫落產生,層間變位角達 0.05 rad 時,仍未見梁主筋斷裂,此外觀察續接器並無明顯損壞。

表 4.14 試體一續接器 P1 與其主筋應變之比值

Drift		ϵ_{\min}	Ep1	
(rad)	應變值 ($\mu \varepsilon$)	(με)	(με)	$\epsilon_{ m Pl}/\epsilon_{ m min}$
0.00275	MAX (拉應變)	776.54	324.54	0.42
0.00375	MIN (壓應變)	432.54	-238.5	0.55
0.005	MAX (拉應變)	1046.5	381.53	0.36
0.005	MIN (壓應變)	525.07	319.08	0.61
0.0075	MAX (拉應變)	1555	478.88	0.31
0.0075	MIN (壓應變)	746.03	518.03	0.69
0.01	MAX (拉應變)	2099.4	527.93	0.25
0.01	MIN (壓應變)	937.06	703.81	0.75
0.015	MAX (拉應變)	2406.9	535.14	0.22
0.015	MIN (壓應變)	-1215	923.11	0.76
0.02	MAX (拉應變)	2679.6	634.83	0.24
0.02	MIN (壓應變)	1354.4	892.78	0.66
0.02	MAX (拉應變)	2710.6	994.17	0.37
0.03	MIN (壓應變)	189	844.01	4.47
0.04	MAX (拉應變)	4987.4	5882.2	1.18
0.04	MIN (壓應變)	5909.7	599.92	0.10
0.05	MAX (拉應變)	24285	8115.2	0.33
0.05	MIN (壓應變)	-1187.6	3291.4	2.77

● 試體二

試體二柱為包覆填充型鋼骨鋼筋混凝土柱,梁為鋼筋混凝土梁,尺寸為450×950 mm 長度為 4m,梁上下層各為 4 支#10 主筋,每支主筋則以#10 續接器銲接至鋼柱上,並梁腹以剪力榫連接至鋼柱上。每支梁主筋上設置 4 個應變計分別距離柱表面為 100、300、500、900 mm,其編號為 R1~R32。續接器上亦設置應變計,其編號為 P1~P8。相關配置詳圖 3.17,將梁主筋與續接器應變計編號對應如表 4.15。

汲		應變計編號	距柱表面距離
梁	續接器	梁主筋	mm
	P4	R1 · R2 · R3 · R4	
上届十年	Р3	R5 · R6 · R7 · R8	
上層主筋	P2	R9 · R10 · R11 · R12	
	P1	R13 · R14 · R15 · R16	100、300、500、900
	P8	R17 · R18 · R19 · R20	(梁主筋應變計由左至右)
一日 十 6	P7	R21 · R22 · R23 · R24	
下層主筋	P6	R25 · R26 · R27 · R28	
	P5	R29 · R30 · R31 · R32	

表 4.15 試體二梁主筋與續接器應變計編號位置

表 4.16 為梁主筋達降伏應變時所對應之層間變位角,數據顯示降伏時的層間變位角介於 0.01~0.03 rad 之間,梁主筋上應變計隨距柱距離增加,其降伏對應之層間變位角增加,此外梁位於二側主筋相較於中間主筋較晚降伏,於現場觀察符合。當層間變位角 0.03 rad 第一迴圈時試驗停止,由於 8 支續接器有 5 支脫離柱表面,8 支梁主筋中僅有些彎曲產生。

梁主筋應變計編號	Drift (rad)
R19、R21、R25	0.01
R3 · R10 · R11 · R13 · R14 · R15 · R20 · R23 · R24 · R26 · R27	0.015
R1 · R8 · R9	0.02
R2 \ R4	0.03
R5 · R6 · R7 · R12 · R16 · R17 · R18 · R22 · R28 · R29 · R31 · R32	未降伏

表 4.16 試體二梁主筋降伏對應之層間變位角

層間變位角為 0.01~0.03 rad 時,梁內上下層 8 支主筋開始陸續降伏。當層間變位角為 0.0015 rad 時,裂縫明顯增加強度開始下降,梁頂開始產生撓曲裂縫。層間變位角為 0.02 rad 時,裂縫明顯增加及成長,續接器斷裂聲強度再度下降,小範圍混凝土剝落,梁頂原裂縫加寬及大,梁東面及南面與底部混凝土擠壓剝落。當層間變位角為 0.03 rad 時,梁柱接頭區梁端混凝土開始產生剝落。層間變位角為 0.02~0.03 rad 時,梁頂部混凝土剝落面積加大,剪力破壞發生於接頭處,梁柱交界面混凝土開裂,主筋受壓側彎曲,箍筋未變形脫落,完成層間變位角 0.03 rad 第 1 迴圈。梁底部混凝土剝落面積加大,保護層嚴重剝落且再次有續接器斷裂聲 強度降至更低鋼筋裸露產生,混凝土面拱起,主筋略有彎曲,箍筋未變形脫落。

如圖 4.42 (a 至 h)所示,應變計圖上的實線為每一層間變位角之正值 (表垂直致動器向下拉),反之虛線表示每一層間變位角之負值 (表垂直致動器向上推)。由圖 4.42 可得知,試體梁上、下主筋應變計在層間變位角 0.02 rad 以前大多為彈性階段。在層間變位角至 0.03 rad 時,梁主筋上 32 個應變計仍有 1/3 仍未降伏。

圖 4.43 (a 至 h)為應變與位移角之關係曲線,同時為了解應變與梁端彎矩之關係見圖 4.44 (a 至 h),不論是應變與位移角或是應變與梁端彎矩,位移角與梁端彎矩皆隨應變加大而增加。

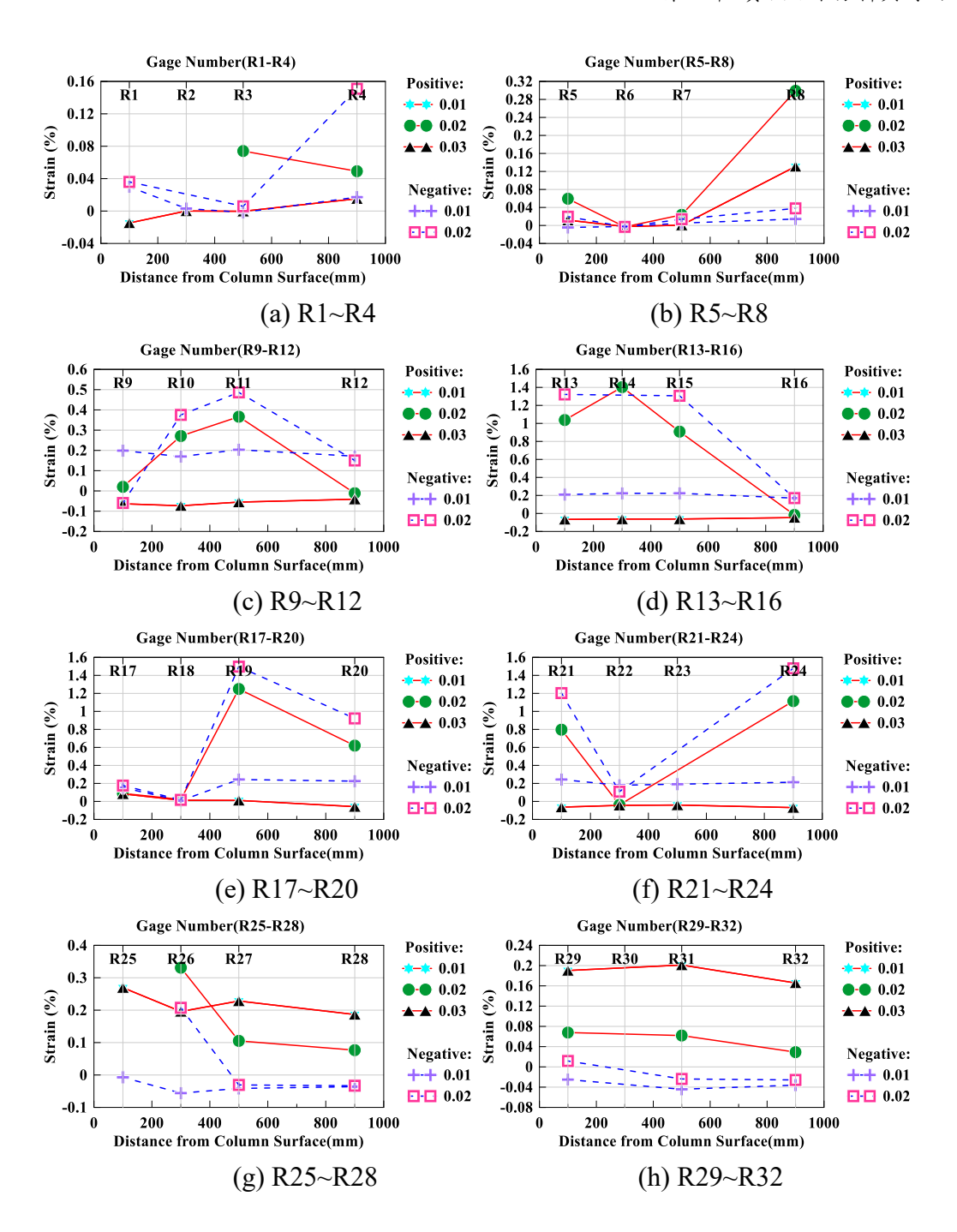


圖 4.42 試體二梁主筋應變數值關係曲線

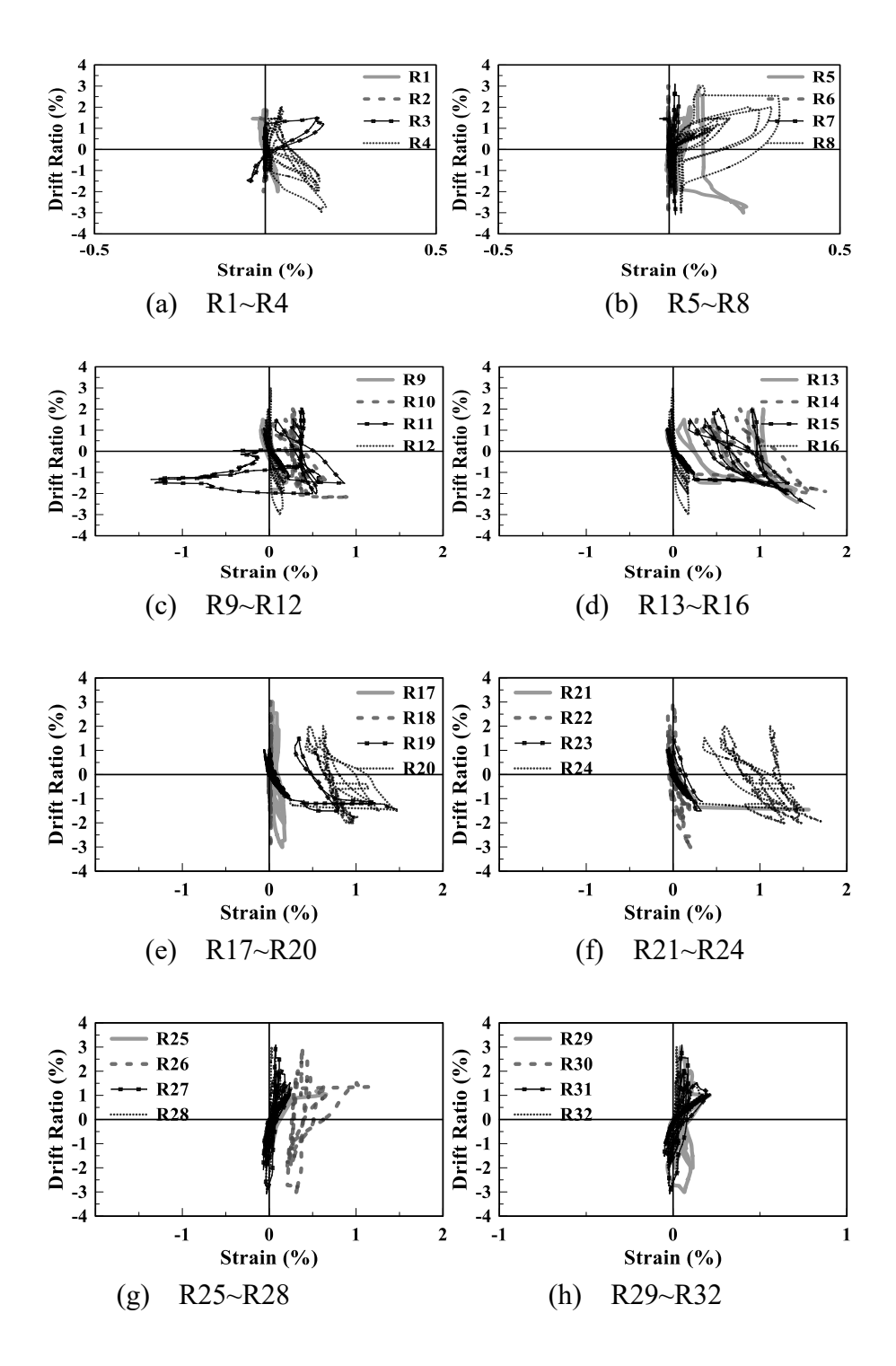


圖 4.43 試體二梁主筋應變與位移角之關係曲線

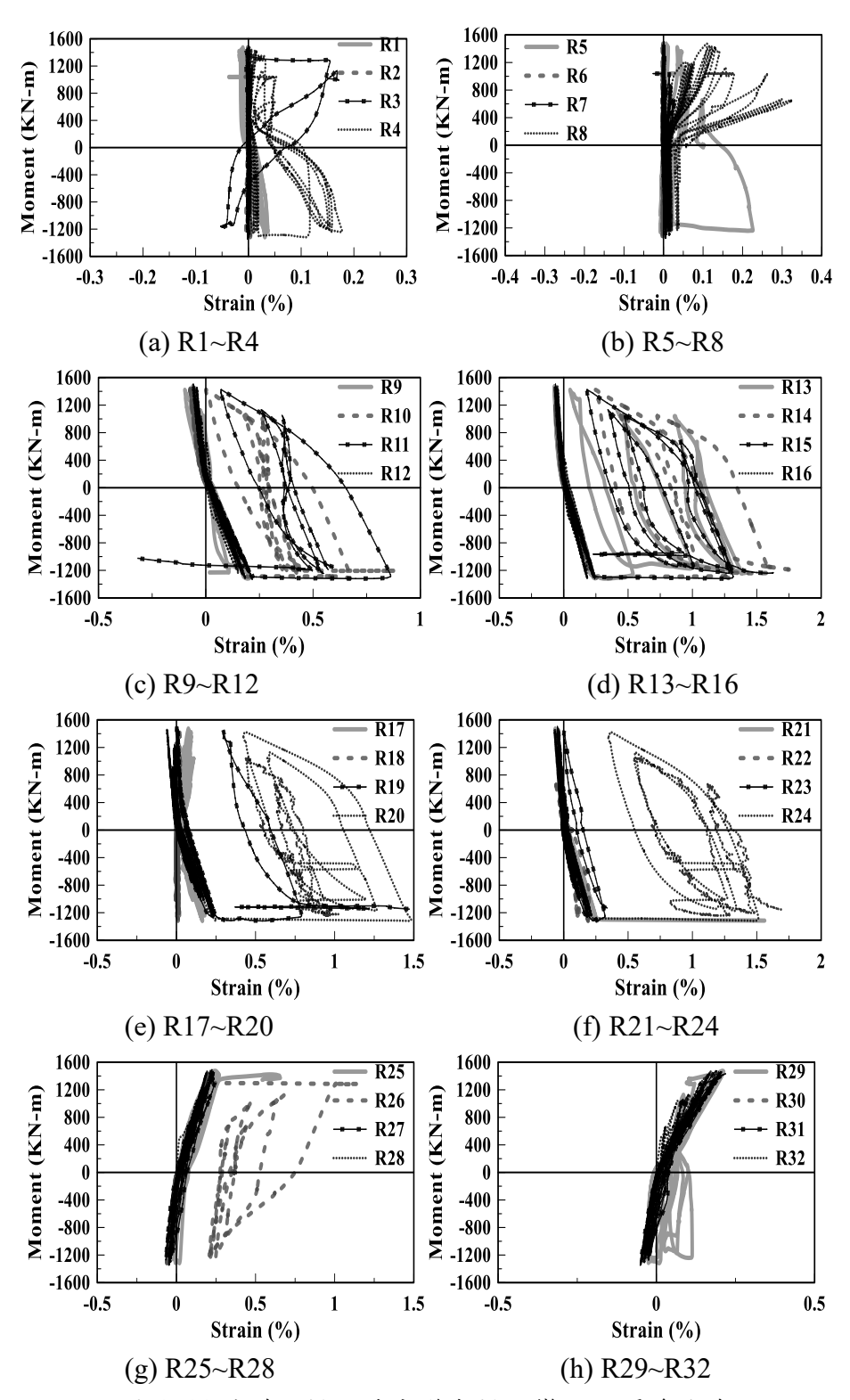


圖 4.44 試體二梁主筋應變與梁端彎矩之關係曲線

試體二梁主筋與續接器連結程度完整,在層間變位角 0.02 rad 以前,梁主筋大多為彈性階段。整理梁上下層主筋於不同層間變位角之最大應變值如表

4.17 及表 4.18,當層間變位角 0.03 rad 時,梁上層主筋距柱面 500 mm 應變計(R3)值為最大,可以看出當層間變位角 0.03 rad 時,該根主筋進入降伏,該根主筋已發生彎曲,至於梁下層主筋則無破壞發生。當層間變位角 0.03 rad 時,主筋應變幅度加大;梁下層主筋距柱面 900 mm (R24)、當層間變位角 0.015 rad 時,該根主筋進入降伏,當層間變位角 0.03 rad 時該根主筋彎曲但仍未降伏。即層間變位角為 0.03 rad,上下層梁主筋皆有彎曲。

對於梁主筋可得初步結論,在層間變位角 0.02 rad 以前,梁主筋大多為彈性階段,在層間變位角 0.02 rad 至 0.03 rad 時,梁主筋由於續接器陸續脫離鋼柱表面有續接器斷裂聲出現,故梁主筋僅有彎曲產生,在層間變位角 0.03 rad 時,梁主筋仍保持有彎曲,梁頂部混凝土剝落面積加大,剪力破壞發生於接頭處,梁柱交界面混凝土開裂,梁主筋受壓側彎曲箍筋未變形脫落,梁底部混凝土剝落面積加大,保護層嚴重剝落且有續接器斷裂聲 強度降至更低鋼筋裸露產生,混凝土面拱起,主筋略有彎曲箍筋未變形脫落。

表 4.17 試體二梁上層主筋不同層間變位角最大應變值

							最大	應變值	ί (με)							
續接器應變 計編號			P4			P	3			P	22		P1			
梁主筋位置	梁上	層側さ	邊主筋 靠	主北側	梁上層	主筋掌	走 北側	梁上	層中間	主筋靠口		梁上	層側邊	主筋靠	有側	
梁主筋應變 計編號	R1	R2	R3	R4	R5	R6	R7	R8	R9	R10	R11	R12	R13	R14	R15	R16
Drift=0.375%	43	16	17	44	17	20	45	40	785	772	984	787	826	880	1130	793
Drift=0.5%	68	15	17	57	27	5	55	211	1004	1004 988 1224 1000			1080	1121	1378	1009
Drift=0.75%	206	25	10	69	41	3	61	773	1441	1364	1657	1379	1692	1553	1826	1385
Drift=1%	321	33	11	187	118	-6	53	1310	2012	1746	2089	1742	2108	2264	2277	1735
Drift=1.5%	366	45	32906	1587	521	8	59	1785	2055	6837	8622	1847	10015	12978	13169	1840
Drift=2%	12230	48	1324	1576	648	0	236	2999	29904	4284	5471	1691	14141	32672	13071	1723
Drift=3%	*	*	32906	32381	2263	-1	285	3230	29904	8910	30516	1540	14316	32672	16820	1803

^{*} 表示應變計毀損,無資料讀取

包覆填充型鋼骨鋼筋混凝土柱與梁主筋以續接器接合之接頭耐震試驗

表 4.18 試體二梁下層主筋不同層間變位角最大應變值

		最大應變值 (με)															
						j											
續接器應變 計編號		P	28			P	7			P	6		P5				
梁主筋位置	梁下	梁下層側邊主筋靠北側				梁下層中間主筋靠北側				層中間	主筋靠	南側	梁下	層側邊.	主筋靠	南側	
梁主筋應變 計編號	R17	R18	R19	R20	R21	R22	R23	R24	R25	R26	R27	R28	R29	R30	R31	R32	
Drift=0.375%	663	25	722	939	1144	906	532	938	817	992	965	841	966	*	807	680	
Drift=0.5%	801	-7	969	1227	1391	1124	693	1209	1026	1213	1248	1123	1177	*	1020	970	
Drift=0.75%	1118	20	1532	1711	1886	1499	1200	1694	1639	1638	1762	1596	1590	*	1456	1390	
Drift=1%	1540	125	2433	2275	2434	1825	1914	2174	2694	1992	2284	1944	2126	*	2032	1728	
Drift=1.5%	1650	221	15151	14846	16892	1894	3382	15132	6566	11472	2405	1863	1899	*	2133	1654	
Drift=2%	1773	254	30883	11994	15218	1641	*	14908	*	6314	1855	1289	1132	*	824	863	
Drift=3%	1796	235	15213	8372	16523	2005	*	33171	*	4387	1164	763	1007	*	879	290	

^{*} 表示應變計毀損,無資料讀取

續接器上設置應變計,由於梁上下層共8支主筋接於續接器上,故故於續接器上共有8個應變計其編號為P1~P8,同時為了解應變與梁端彎矩之關係見圖4.45,其中位於梁下層主筋靠近北側續接器應變計毀損,編號為P8故無資料讀取,梁端彎矩隨應變加大而增加。

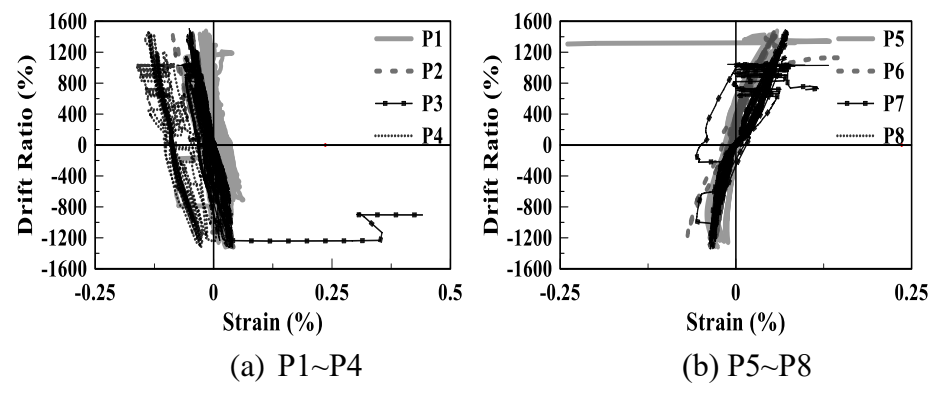


圖 4.45 試體二續接器應變與梁端彎矩之關係曲線

為了解續接器與主筋上應變值之差異,取不同層間變位角時主筋最小應變值,與續接器應變值作一比對,在此以續接器 P5 為例與其主筋上應變計編號 R29、R30、R31、R32,為保守考量取主筋上應變最小值,再將續接器 P5 應變值除以主筋上應變最小值,其結果參見表 4.19,於層間變位角 0.0075 rad 之前,續接器應變值與主筋上應變之比值皆小於 1,隨層間變位角增加比值隨之增大。此外由於梁主筋與柱端以續接器連接,試驗過程中梁主筋發揮降伏強度,梁主筋產生彎曲,但梁主筋與續接器並無脫落產生。於層間變位角 0.015 rad 時續接器 P5 與鋼柱表面發生脫離,續接器 P5 應變值除以主筋上應變最小值達 18.79,當層間變位角達 0.02 rad 時上昇至 37.7,至層間變位角 0.03 rad 時,續接器 P5 應變值則過大造成毀損。

表 4.19 試體二續接器 P5 與其主筋應變之比值

		1	1	
Drift	應變值 (με)	€ _{min}	E _{P1}	$\epsilon_{\rm Pl}/\epsilon_{\rm min}$
(rad)		(με)	(με)	
0.00375	MAX (拉應變)	680.0796	198.7778	0.29
0.00373	MIN (壓應變)	-121.659	-106.472	0.88
0.005	MAX (拉應變)	969.8892	316.6231	0.33
0.003	MIN (壓應變)	-142.409	-111.48	0.78
0.0075	MAX (拉應變)	1389.604	506.1192	0.36
0.0075	MIN (壓應變)	-267.714	-148.722	0.56
0.01	MAX (拉應變)	1727.747	588.5795	0.34
0.01	MIN (壓應變)	-279.016	-378.829	1.36
0.015	MAX (拉應變)	1653.862	31074.57	18.79
0.013	MIN (壓應變)	-252.722	*	*
0.02	MAX (拉應變)	824.2264	31072.54	37.70
0.02	MIN (壓應變)	11.28969	*	*
0.02	MAX (拉應變)	289.7104	*	*
0.03	MIN (壓應變)	-239.508	*	*

● 試體三

試體三柱為包覆填充型鋼骨鋼筋混凝土柱,梁為鋼筋混凝土梁,尺寸為450×1100 mm 長度為 4m。梁上下層各為 4 支#10 主筋,柱使用鋼拱頭與鋼骨鋼筋混凝土梁接合,梁主筋一半數量以續接器銲於鋼拱頭翼板上,一半數量以續接器直接銲於鋼柱上設置 5 個應變計分別距離柱表面為 100、300、500、700、1100 mm,梁主筋以續接器銲於鋼拱頭翼板上設置 4 個應變計分別距離柱表面為 300、500、700、1100 mm,其編號為 R33~R68。續接器上亦設置應變計,其編號為 P9~P16。相關配置詳圖 3.17,將梁主筋與續接器應變計編號對應如表 4.20。

梁		應變計編號	距柱表面距離
赤	續接器	梁主筋	mm
	P9	R46 · R47 · R48 · R49 · R50	
上層主筋	P10	R42 · R43 · R44 · R45	
上僧 王 肋	P11	R38 · R39 · R40 · R41	100、300、500、
	P12	R33 · R34 · R35 · R36 · R37	700 \ 1100
	P13	R64 · R65 · R66 · R67 · R68	(梁主筋應變計由左至
工品+ 签	P14	R60 · R61 · R62 · R63	右)
下層主筋	P15	R56 · R57 · R58 · R59	
	P16	R51 \ R52 \ R53 \ R54 \ R55	

表 4.20 試體三梁主筋與續接器應變計編號位置

表 4.21 為梁主筋達降伏應變時所對應之層間變位角,數據顯示降伏時的層間變位角介於 0.01~0.03 rad 之間,梁主筋上應變計隨距柱距離增加,其降伏對應之層間變位角增加,此外梁位於二側主筋相較於中間主筋較晚降伏,於現場觀察符合。此外梁位於二側主筋相較於中間主筋較晚降伏,於現場觀察符合。此外當層間變位角 0.04 rad 時,顯示上層 4 支梁主筋中皆有彎曲產生,下層 4 支梁主筋中皆有明顯的挫屈變形。

梁主筋應變計編號	Drift (rad)
R46	0.005
R52 \ R56	0.0075
R42 · R51 · R57 · R60	0.01
R34 \ R35 \ R39 \ R44 \ R47 \ R48 \ R49 \ R53 \ R58 \ R61 \ R65	0.015
R36 · R40 · R54 · R66 · R67	0.02
R37 · R41 · R45 · R50 · R59 · R63	0.03
R55、R68	未降伏
R33 · R38 · R43 · R62 · R64	應變計毀損

表 4.21 試體三梁主筋降伏對應之層間變位角

層間變位角為 0.01~0.03 rad 時,梁內上下層 8 支主筋開始陸續降伏。當層間變位角為 0.0015 rad 時,裂縫明顯增加梁北面有 4.5 mm 剪力裂縫產生。層間變位角為 0.02 rad 時,裂縫明顯增加及成長,裂縫由接頭處延伸。當層間變位角為 0.03 rad 時,梁柱接頭區梁端混凝土開始產生剝落,梁底混凝土剝落,梁柱交界面混凝土開裂。梁柱接頭界面開裂裂縫達 15 mm,梁頂拱起混凝土開始剝落加大。當層間變位角為 0.04 rad 時,梁柱接頭區梁頂部混凝土剝落面積加大,保護層嚴重剝落鋼筋裸露強度下降,上層 4 支主筋彎曲向上變形而剪力裂縫出現在鋼拱頭末端處,下層混凝土擠壓造成大範圍剝落,強度下降,下層 4 支主筋挫屈 ,箍筋未變形脫落。

如圖 4.46 (a 至 h)所示,應變計圖上的實線為每一層間變位角之正值(表垂直致動器向上推),反之虛線表示每一層間變位角之負值(表垂直致動器向下拉)。由圖 4.46 可得知,試體梁上、下主筋應變計在層間變位角 0.03 rad 以前大多為彈性階段。在層間變位角 0.03 rad 至 0.04 rad 時,梁主筋進入挫屈階段。

圖 4.47(a 至 h)為應變與位移角之關係曲線,同時為了解應變與梁端彎矩之關係見圖 4..48(a 至 h),不論是應變與位移角或是應變與梁端彎矩,位移角與梁端彎矩皆隨應變加大而增加。

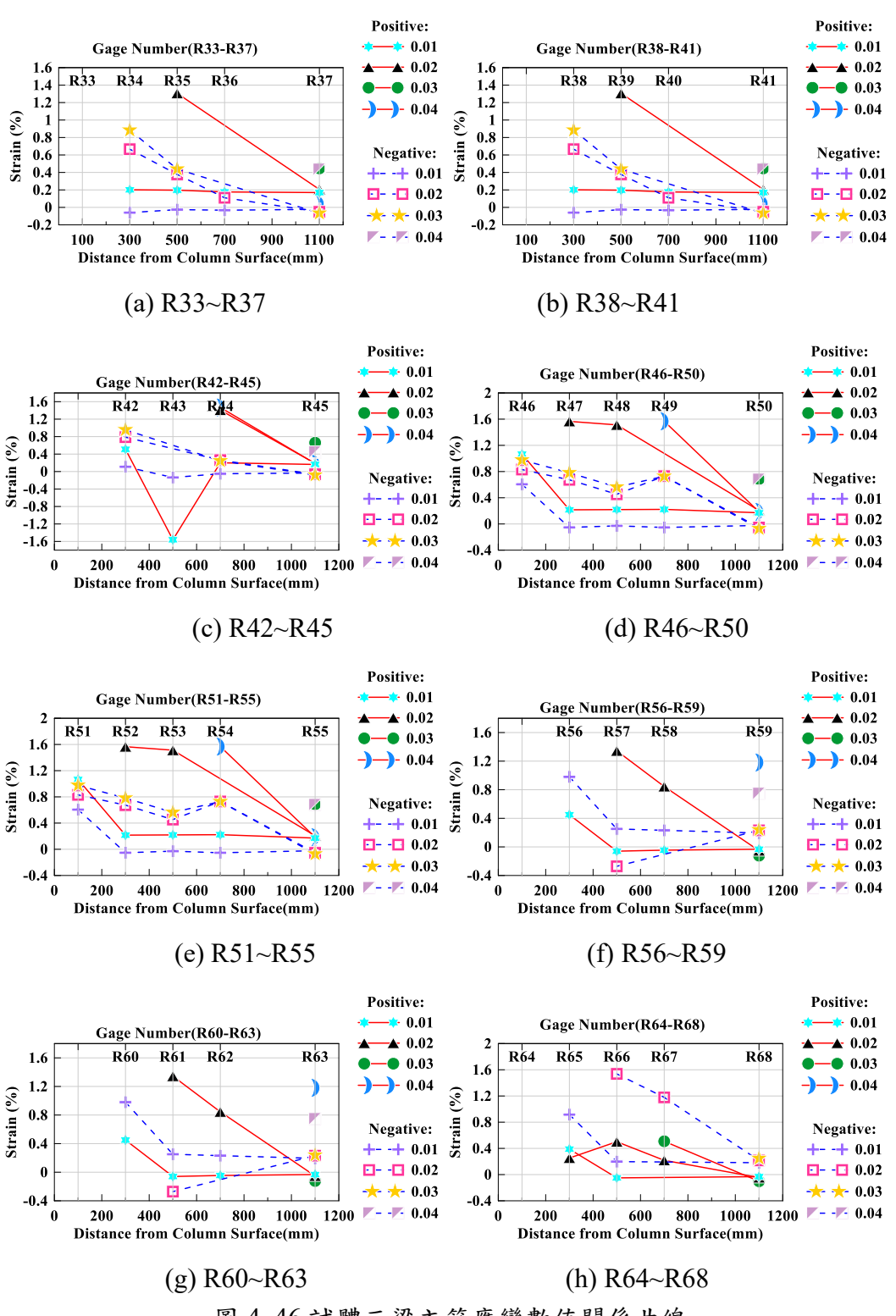
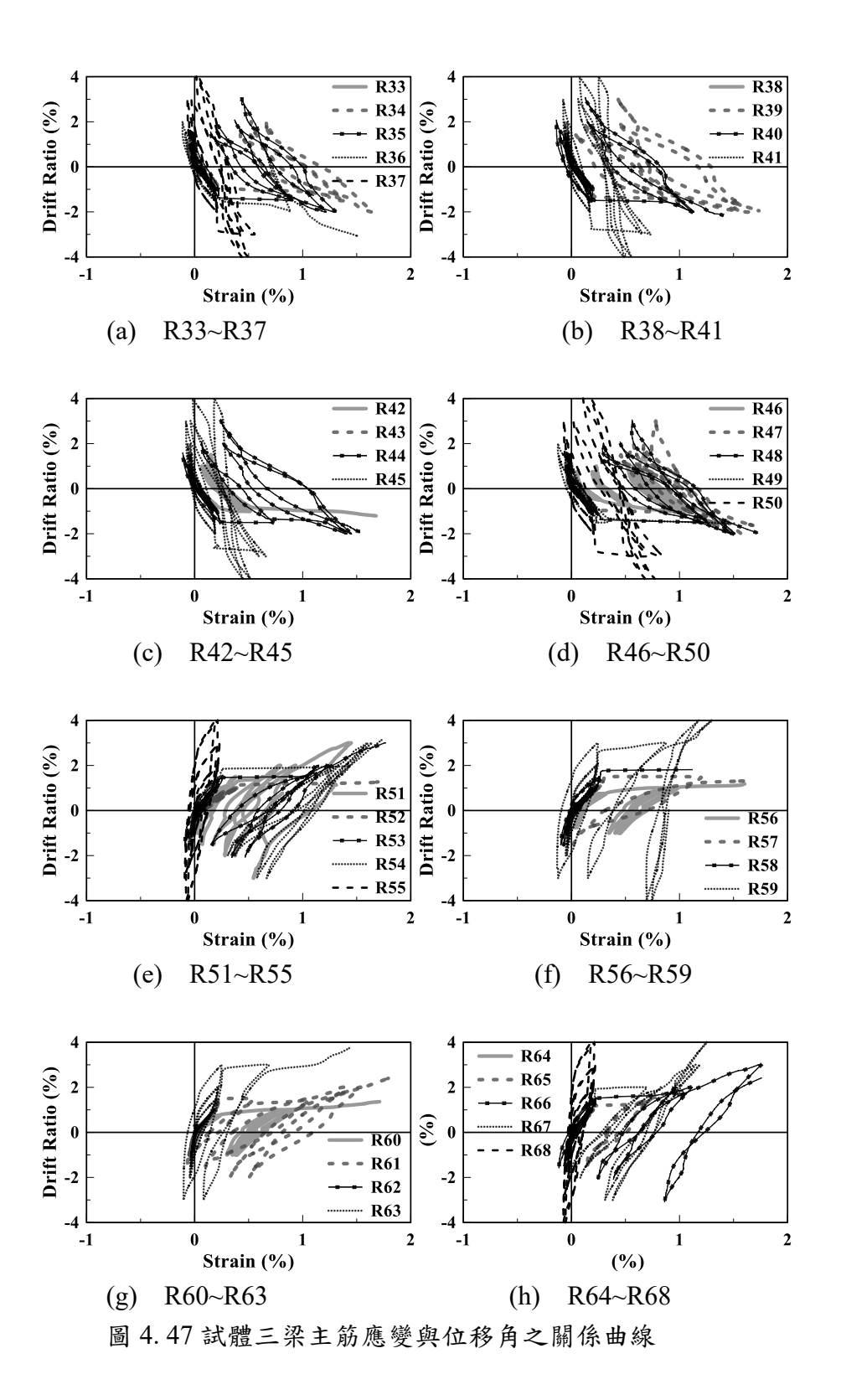


圖 4.46 試體三梁主筋應變數值關係曲線



110

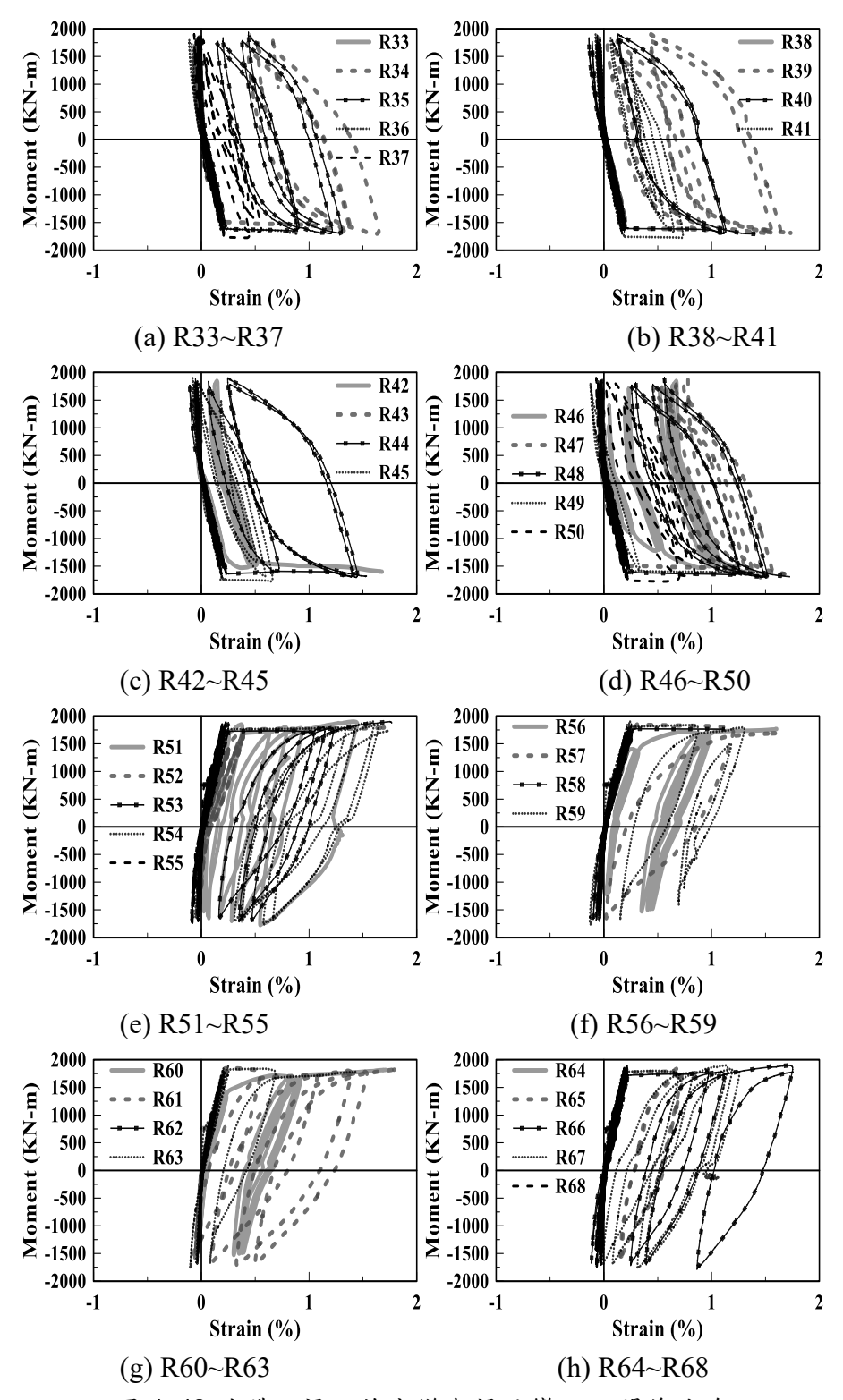


圖 4.48 試體三梁主筋應變與梁端彎矩之關係曲線

試體三梁主筋與續接器連結程度完整,在層間變位角 0.02 rad 以前,梁主筋大多為彈性階段。整理梁上下層主筋於不同層間變位角之最大應變值如表4.22 及表 4.23,當層間變位角 0.03 rad 時,梁上層主筋則無破壞發生,至於梁下層主筋距柱面 300 mm 應變計(R56)發生破壞,表示該根主筋已發生挫屈。當層間變位角 0.04 rad 時,主筋應變幅度加大;梁下層主筋距柱面100mm (R51)、距柱面 300mm (R52)已破壞。層間變位角為 0.05 rad,下層梁主筋皆有明顯挫屈。

對於梁主筋可得初步結論,在層間變位角 0.03 rad 以前,梁主筋大多為彈性階段,在層間變位角 0.02 rad 至 0.03 rad 時,梁主筋進入塑性階段陸續發生局部挫屈,在層間變位角 0.04 rad 時,梁主筋挫屈幅度加大,梁下層主筋明顯挫屈。於施力過程中仍能達到 0.04 rad 兩圈載重歷時,強度開始下降,梁柱接頭區梁頂部混凝土剝落面積加大,保護層嚴重剝落鋼筋裸露,上層 4 支主筋彎曲向上變形,而剪力裂縫出現在鋼拱頭末端處,下層混凝土擠壓造成大範圍剝落,下層 4 支主筋彎曲箍筋未變形脫落。

表 4.22 試體三梁上層主筋不同層間變位角最大應變值

								最大應	變值 (με)								
續接器應變 計編號			P12				P	11				Р9						
梁主筋位置	羿	兴上 層係	则邊主筋	5靠北值	[i]	梁上層中間主筋靠北側				梁上	梁	上層側	邊主筋	5靠南便	ų.			
梁主筋應變 計編號	R33	R34	R35	R36	R37	R38	R39	R40	R41	R42	R43	R44	R45	R46	R47	R48	R49	R50
Drift=0.375 %	*	610	938	924	728	*	958	901	575	939	-8268	926	716	1679	707	885	1079	705
Drift=0.5%	*	1161	1194	1105	954	*	1218	1139	742	1301	-6346	1186	918	2680	1118	1136	1330	927
Drift=0.75%	*	1665	1582	1447	1333	*	1615	1535	1060	2010	-6354	1586	1278	5420	1610	1562	1760	1331
Drift=1%	*	2076	2004	1809	1712	*	2005	1903	1419	5094	7575	2026	1638	10653	2198	2194	2231	1710
Drift=1.5%	*	13827	9063	1869	1986	*	9849	1947	1632	17335	14412	6911	1846	32598	13752	12596	2975	1941
Drift=2%	*	16975	13052	15300	2070	*	16364	11307	1696	33081	17928	14499	1913	32598	15660	15124	32623	2069
Drift=3%	*	17733	13062	*	5488	*	17352	18350	7343	33079	17315	18135	6611	32598	32798	33243	32623	8376
Drift=4%	*	*	*	*	5562	*	*	18552	6491	*	*	18198	5933	32598	*	33243	16707	8414

^{*} 表示應變計毀損,無資料讀取

包覆填充型鋼骨鋼筋混凝土柱與梁主筋以續接器接合之接頭耐震試驗

表 4.23 試體三梁下層主筋不同層間變位角最大應變值

	· · · · · · · · · · · · · · · · · · ·																	
						最大應變值 (με)												
續接器應變 計編號			P16				15			P	14		P13					
梁主筋位置	梁	下層俱]邊主角	 5 章 北	側	梁下	層中間	主筋靠	主北側	梁下層中間主筋靠南側				梁-	下層側	邊主角	 第	側
梁主筋應變 計編號	R51	R52	R53	R54	R55	R56	R57	R58	R59	R60	R61	R62	R63	R64	R65	R66	R67	R68
Drift=0.375 %	848	1270	829	787	663	976	1039	979	763	881	844	*	700	*	885	777	695	663
Drift=0.5%	1113	1832	1066	1048	894	1374	1370	1308	1039	1246	1121	*	958	*	1209	994	929	868
Drift=0.75%	1676	2517	1492	1497	1406	3202	1941	1857	1570	2345	1565	*	1444	*	1600	1395	1314	1336
Drift=1%	2564	3897	1971	1910	1797	9833	2516	2334	2007	9188	1985	*	1856	*	2031	1825	1682	1735
Drift=1.5%	6327	33050	10438	2306	1945	32806	17427	2608	2179	17661	10729	*	2044	*	7332	2271	1944	1894
Drift=2%	9360	33050	12268	14294	2146	32806	17750	17386	2346	17702	15375	*	2180	*	8488	11179	8266	2008
Drift=3%	14499	33052	17714	16410	2299	*	17356	17180	8760	17426	17924	15848	6876	*	*	17736	11898	2207
Drift=4%	*	*	17639	17475	2138	*	*	*	13035	*	*	*	16864	*	*	17694	33053	2139

^{*} 表示應變計毀損,無資料讀取

續接器上設置應變計,由於梁上下層共8支主筋接於續接器上,故故於續接器上共有8個應變計其編號為P9~P16,同時為了解應變與梁端彎矩之關係見圖4.49,梁端彎矩隨應變加大而增加。

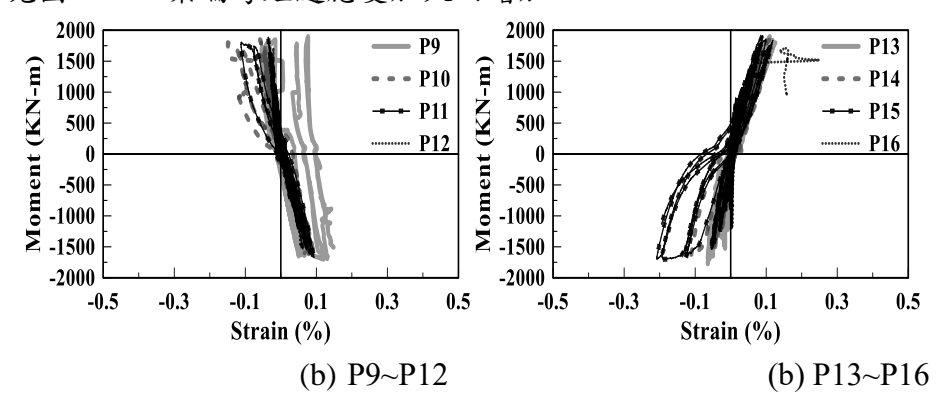


圖 4.49 試體三續接器應變與梁端彎矩之關係曲線

為了解續接器與主筋上應變值之差異,取不同層間變位角時主筋最小應變值,與續接器應變值作一比對,在此以續接器 P13 為例與其主筋上應變計編號 R64、R65、R66、R67、R68,為保守考量取主筋上應變最小值,再將續接器 P13 應變值除以主筋上應變最小值,其結果參見表 4.24,於層間變位角0.04 rad 之前,續接器應變值與主筋上應變之比值皆小於 1,隨層間變位角增加比值隨之增大。此外由於梁主筋與柱端以續接器連接,試驗過程中梁主筋發揮降伏強度,梁主筋的挫屈變形明顯產生,若是梁主筋與續接器有脫落產生,層間變位角達 0.04 rad 時,仍未見梁主筋斷裂,此外觀察續接器並無明顯損壞,其功效得以完成。

表 4.24 試體三續接器 P13 與其主筋應變之比值

Drift		$\epsilon_{ m min}$	E _{P1}	
	應變值 (με)			$\epsilon_{\rm P1}/\epsilon_{\rm min}$
(rad)		(με)	(με)	
0.00375	MAX (拉應變)	663.19	420.33	0.63
	MIN (壓應變)	-117.98	-109.71	0.93
0.005	MAX (拉應變)	867.64	501.25	0.58
0.003	MIN (壓應變)	-152.15	-86.10	0.57
0.0075	MAX (拉應變)	1313.60	652.33	0.50
0.0073	MIN (壓應變)	-226.92	-105.98	0.47
0.01	MAX (拉應變)	1681.90	819.06	0.49
0.01	MIN (壓應變)	-351.02	-186.94	0.53
0.015	MAX (拉應變)	1894.16	886.72	0.47
0.013	MIN (壓應變)	-1146.19	-563.47	0.49
0.02	MAX (拉應變)	2008.46	965.48	0.48
0.02	MIN (壓應變)	-1136.26	-621.35	0.55
0.03	MAX (拉應變)	2206.86	1181.13	0.54
0.03	MIN (壓應變)	-719.72	-650.80	0.90
0.04	MAX (拉應變)	2139.31	1260.77	0.59
0.04	MIN (壓應變)	-752.99	-650.80	0.86

3. 梁箍筋應變

本試體箍筋為開口式箍筋搭配上蓋繫筋,箍筋應變計黏貼位置為梁箍筋兩側,高度為梁高度的中心,除第一箍距柱面 50mm 外,其餘為箍筋間距為100mm,圖 4.50 為試體一梁箍筋應變計量測位置及編號,梁南側箍筋應變計編號為 S1~S10,北側箍筋應變計編號為 S11~S20。圖 4.52 為試體二及試體三梁箍筋應變計量測位置及編號,梁南側箍筋應變計編號為 S11~S20 及 S32~S42,北側箍筋應變計編號為 S1~S10 及 S21~S31。以量測值之每層間變位角最後迴圈正負之頂點值繪圖,如圖 4.51 所示,應變計圖上的實線為層間變位角之正值(垂直致動器向上推),虛線表示層間變位角之負值(垂直致動器向下拉)。本實驗梁試體箍筋皆為#4 高拉鋼筋 Fy=4200 kgf/cm²,箍筋拉伸試驗平均降伏強度約為 1.11 Fy=4677 kgf/cm²。

試體一可由表 4.25 得知梁箍筋在層間變位角 2%以前為彈性,顯示箍筋 有足夠之圍束能力,層間變位角2%-5%對應變計有較大之影響,下列以試體 於層間變位角 2%、3%、4%、5%作描述。從表 4.25 中可得試體一在層間變 裂縫集中在接近梁柱接頭梁頂處;在層間變位角 0.03 rad 時,平均有效應力 為 839 kgf/cm²,梁兩側裂縫寬度達 5-8mm,梁圍束區頂部更多斜向裂縫產生 且有混凝土剝落,由圖 4.51 及表 4.25 可知已有 5 個梁應變計脫落損壞(S1、 S11、S13、S15、S16); 層間變位角 4%時, 箍筋平均應力為 1129 kgf/cm², 上 蓋繫筋有明顯的彎曲及脫離,本試體箍筋為開口式箍筋搭配上蓋繫筋,故多 數箍筋為頂蓋繫筋先行拱起拉開,同時也對主筋失去圍束效果。加載至4%第 二圈時,千斤頂力量下降至 480 kN,約為最大力量之 56% (圖 4.32);在層間 變位角 5%時,更多應變計脫落損壞,剩餘應變計平均應力為 845 kgf/cm²(表 4.25), 加載至第二圈時, 千斤頂力量下降至 391 kN, 約為最大力量之 45% (圖 4.32),梁圍束區箍筋頂蓋明顯脫離下部箍筋,大量混凝土剝落,上層主筋全 數挫屈。圖 4.55 及圖 4.56 為箍筋應變計與千斤頂施力之關係圖,從圖中可看 出距離梁柱接頭較近的 S1 及 S11 在達到 2%層間變位,此時千斤頂施力約為 770 kN,鋼筋尚未降伏,在層間變位達到 3%時,千斤頂施力約為 857 kN, 應變計已損壞,鋼筋已降伏破壞。在較遠離梁柱接頭區(S8-S10及 S17-S20), 因鋼筋變形小,破壞不明顯,皆可達到 0.05 rad 層間變位保持彈性。

試體二可由表 4.26 得知部分梁箍筋在層間變位角 0.01 rad 即達到降伏,下列以試體於層間變位角 0.01、0.015、0.02 rad 作描述。從表 4.26 中可得試體二在層間變位角 1%平均有效應力為 1658 kgf/cm²,梁側裂縫寬度達 0.55-0.8 mm,裂縫集中在接近梁柱接頭處;在層間變位角 0.015 rad 時,平均有效

應力為 1243 kgf/cm²,梁兩側裂縫寬度達 4-5mm,梁頂部更多撓曲裂縫產生且裂縫明顯增加,由圖 4.53 及表 4.26 可知已有 7 個梁圍東區之應變計脫落損壞(S10、S11、S13-S15、S17-S18);層間變位角 0.02 rad 時,箍筋平均應力為 1082 kgf/cm²,千斤頂力量下降至 200 kN,約為最大力量之 54%;梁主筋續接器與柱連結處 8 支有 5 處斷裂,因試體二剪力榫傳遞剪力能力達不到設計值,故造成試體二撓曲及剪力破壞,造成梁主筋續接器拉出脫離柱面。圖 4.57 及圖 4.58 為箍筋應變計與千斤頂施力之關係圖,從圖中可看出達到 0.02 rad 層間變位,因梁破裂嚴重,故多數應變計已跳脫損壞。

試體三可由表 4.27 得知梁箍筋在層間變位角 0.015 rad 以前為彈性,下列以試體於層間變位角 0.015、0.02、0.03、0.04 rad 作描述。從表 4.27 中可得試體一在層間變位角 0.015 rad 箍筋沒有降伏,平均有效應力為 897 kgf/cm²,梁側裂縫寬度達 4.5-7mm,撓曲裂縫集中在接近梁柱接頭處;在層間變位角 0.02 rad 時,平均有效應力為 1571 kgf/cm²,梁兩側裂縫寬度達 5-8mm,梁頂部更多裂縫產生;層間變位角 0.03 rad 時,箍筋平均應力為 1667 kgf/cm²,測得千斤頂最大力量為 475 kN;在層間變位角 0.04 rad 時,平均有效應力為 1387 kgf/cm²,但因混凝土大量開裂,多數應變計已損壞脫落,加載至層間變位角 -0.04 rad 第二圈時,千斤頂力量下降至 350kN,約為最大力量之 74% (圖 4.36),因混凝土剝落嚴重,故結束試驗。

試體一的鋼梁腹板、試體二的剪力榫及試體三的鋼拱頭腹板皆有三軸應變計,應變計位置及編號詳圖 4.61。由表 4.28 三組試體設計剪力可知,試體一的設計剪力為鋼梁腹板加上箍筋強度,試體二的設計剪力為鋼筋混凝土梁剪力由剪力釘傳遞至剪力榫,試體三的設計剪力為鋼筋混凝土梁剪力由剪力釘傳遞至鋼拱頭腹板。由圖 4.62 可知試體一鋼梁腹板傳遞剪力比可達到 70%,但試體二剪力榫傳遞剪力比只達到 20%,試體三鋼拱頭可傳遞約 50%之剪力。試體二千斤頂只施力至 370 kN,雖剪力釘及剪力榫強度到達 1000 kN,但剪力榫也只傳遞 370 kN的 20%,剪力榫傳遞剪力並不如設計預期,故剪力榫不適合做為傳遞剪力構件;試體三鋼拱頭雖可傳遞 50%之剪力,但由千斤頂力量及層間變位圖(圖 4.36)中可看到於層間變位 0.04 rad 第二圈時,強度衰減至最大強度的 74%,故鋼拱頭雖比剪力榫為較佳的剪力傳遞構件,但仍不適用在需韌性的耐震接頭,耐震接頭仍須配置完整鋼梁。

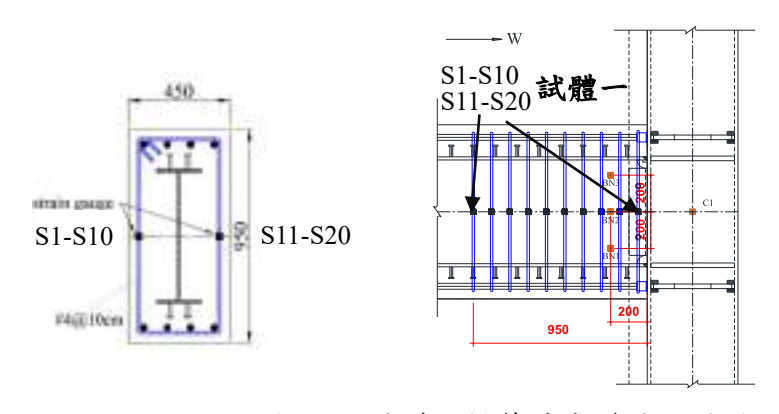
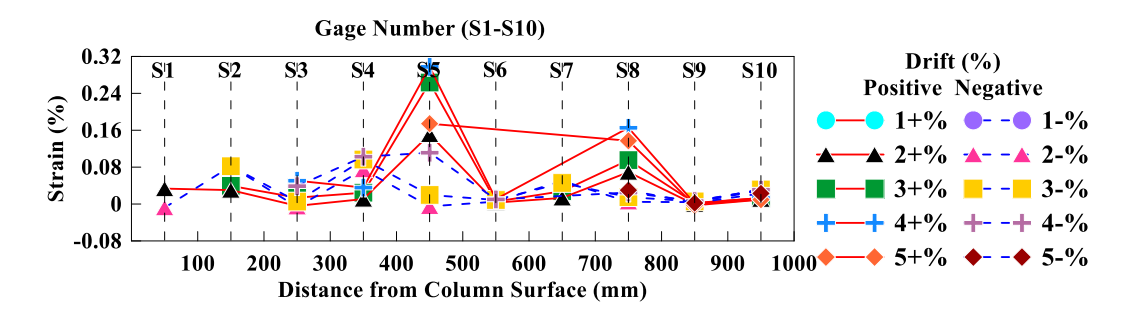
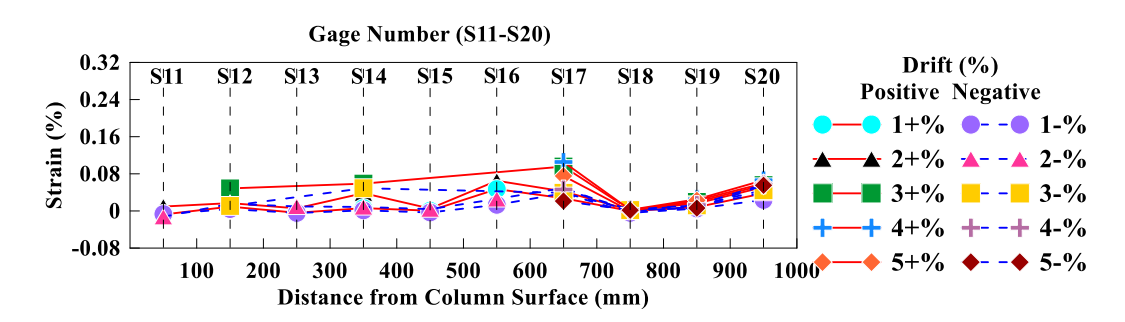


圖 4.50 試體一梁箍筋應變計位置圖



(a) S1~S10



(b) S11~S20

圖 4.51 試體一梁箍筋應變計 S1 至 S20 數值

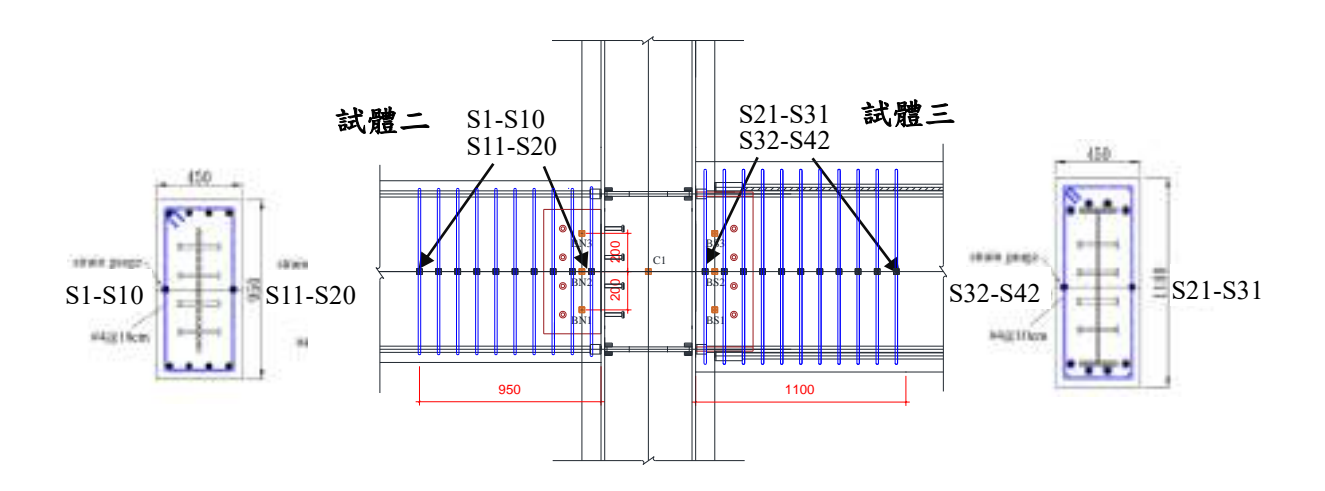
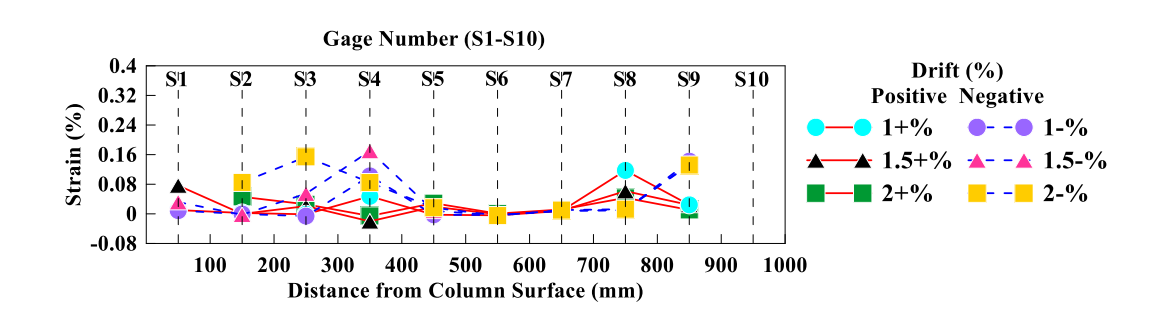
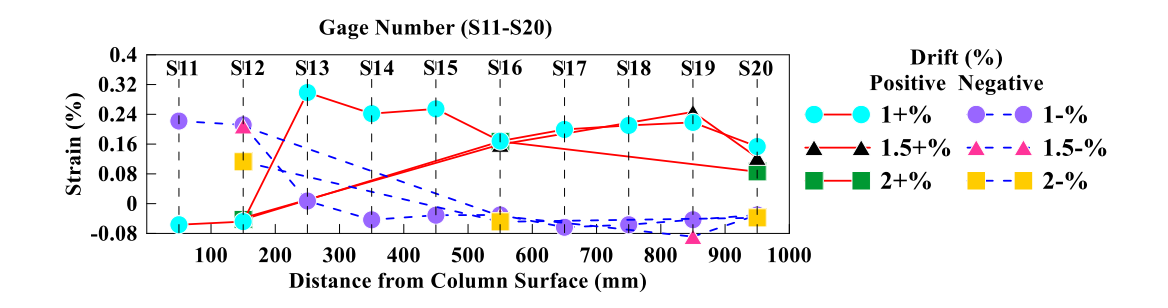


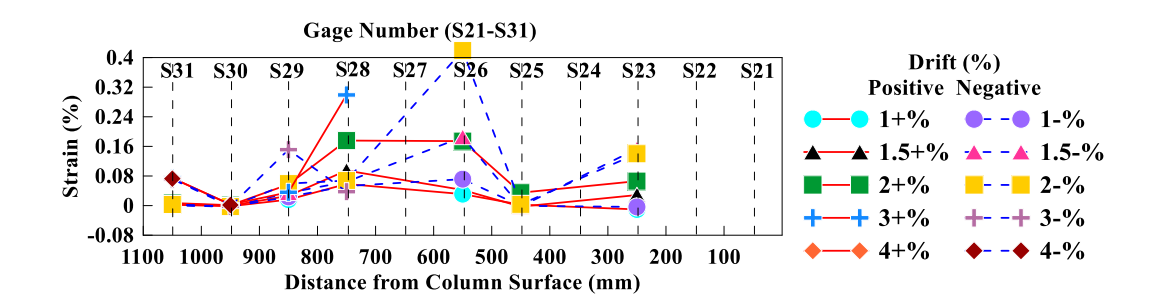
圖 4.52 試體二、三梁箍筋應變計位置圖



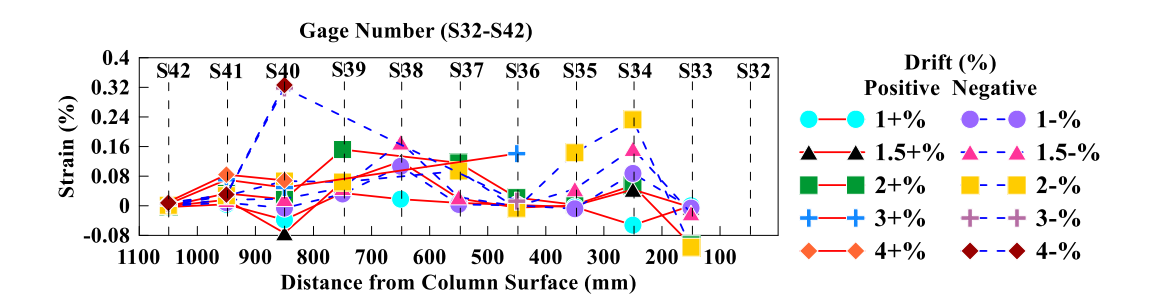
(a)S1~S10



(b)S11~S20 圖 4.53 試體二梁箍筋應變計 S1 至 S20 數值



(a)S21~S31



(b)S32~S42 圖 4.54 試體三梁箍筋應變計 S21 至 S42 數值

表 4.25 試體一層間變位角 0.02、0.03、0.04 及 0.05 rad 箍筋應力

	-	• / •		, , ,	•			-	•		. •
Drift (red)	S1	S2	S3	S4	S5	S6	S7	S8	S9	S10	平均 kgf/cm²
(rad)											Kg1/CIII
0.02	682	615	-83	220	3080	63	271	1411	-21	211	666
-0.02	-161	1669	-125	1521	-105	107	1028	96	85	600	550
0.03	*	804	282	501	5375	111	568	1944	47	266	1100
-0.03	*	1674	110	1969	402	179	932	305	116	644	703
0.04	*	*	1032	728	6067	216	*	3373	23	270	1673
-0.04	*	*	791	2096	2270	204	*	510	131	635	948
0.05	*	*	*	*	3554	*	*	2798	-58	194	1651
-0.05	*	*	*	*	*	*	*	613	43	469	375
Drift											平均
(rad)	S11	S12	S13	S14	S15	S16	S17	S18	S19	S20	kgf/cm ²
0.02	193	345	115	782	106	1327	860	37	330	1049	514
-0.02	-255	312	198	175	80	529	1009	-26	190	806	358
0.03	*	991	*	1200	*	*	1951	45	397	1137	954
-0.03	*	220	*	999	*	*	797	41	249	911	536
0.04	*	*	*	*	*	*	2152	50	513	1350	1016
-0.04	*	*	*	*	*	*	944	53	260	1167	606
0.05	*	*	*	*	*	*	1538	-4	467	1208	804
-0.05	*	*	*	*	*	*	434	34	127	1127	430

"*":代表應變計已受震損壞

表 4.26 試體二層間變位角 0.01、0.015 及 0.02 rad 箍筋應力

Drift	S1	S2	S3	S4	S5	S6	S7	S8	S9	S10	平均
(rad)	51	52	33	34	33	30	57	30	37	510	kgf/cm ²
-0.01	178	-9	-124	2091	-51	-67	163	201	2902	*	643
0.01	207	48	-25	968	-50	-79	157	2394	496	*	492
-0.015	648	-48	1113	3464	164	-79	180	203	2751	*	961
0.015	1562	-3	426	-413	390	-21	173	1253	489	*	526
-0.02	*	1733	3144	1726	337	-95	208	257	2692	*	1274
0.02	*	939	526	-115	587	14	241	882	218	*	440
Drift	S11	S12	S13	S14	S15	S16	S17	S18	S19	620	平均
(rad)	511	512	513	514	515	510	517	510	519	S20	kgf/cm ²
-0.01	4528	4318	144	-886	-633	-620	-1294	-1156	-882	-620	1508
0.01	-1155	-984	6088	4933	5194	3430	4066	4286	4453	3129	3772
-0.015	*	4246	*	*	*	-678	*	*	-1810	-620	1838
0.015	*	-789	*	*	*	3241	*	*	5027	2526	2896
-0.02	*	2297	*	*	*	-996	*	*	*	-776	1356
0.02	*	-869	*	*	*	3411	*	*	*	1747	2009

"*":代表應變計已受震損壞

表 4.27 試體三層間變位角 0.01、0.015、0.02、0.03 及 0.04 rad 箍筋應力

Drift	S21	S22	S23	S24	925	526	S25	620	S29	S30	S31	平均
(rad)	521	522	523	524	S25	S26	525	S28	329	530		kgf/cm ²
0.01	*	*	-211	*	49	633	*	1192	331	-36	46	357
-0.01	*	*	-73	*	-12	1459	*	1079	484	-63	23	456
0.015	*	*	583	*	-56	862	*	1934	541	-6	104	584
-0.015	*	*	3132	*	-50	3786	*	1314	706	-63	37	1298
0.02	*	*	1349	*	712	3554	*	3585	1166	24	143	1505
-0.02	*	*	2861	*	70	8547	*	1380	1213	-51	63	2027
0.03	*	*	*	*	*	*	*	6100	734	57	1521	2103
-0.03	*	*	*	*	*	*	*	768	3085	-43	1460	1339
0.04	*	*	*	*	*	*	*	*	*	68	1512	790
-0.04	*	*	*	*	*	*	*	*	*	33	1485	759
Drift	633	C22	C31	C35	S36	\$37	C30	S30	\$40	Ç/1	\$42	平均
Drift (rad)	S32	S33	S34	S35	S36	S37	S38	S39	S40	S41	S42	平均 kgf/cm²
	S32 *	S33	S34 -1067		S36	S37	S38	S39 706	S40 -777	S41	S42 -67	, -
(rad)												kgf/cm ²
(rad) 0.01	*	1	-1067	-69	43	158	364	706	-777	80 174	-67	kgf/cm ² 333
(rad) 0.01 -0.01	*	1 -125	-1067 1782	-69 -165	43 17	158 75	364 2175	706 651	-777 -129	80 174	-67 -6	kgf/cm ² 333 530
(rad) 0.01 -0.01 0.015	* *	1 -125 -85	-1067 1782 896 3147	-69 -165 16	43 17 -102	158 75 403	364 2175 2439	706 651 1330	-777 -129 -1506	80 174 330	-67 -6 -30	kgf/cm ² 333 530 714
0.01 -0.01 0.015 -0.015	* * * *	1 -125 -85 -402 -2149	-1067 1782 896 3147	-69 -165 16 923	43 17 -102 -29	158 75 403 477	364 2175 2439 3498	706 651 1330 990	-777 -129 -1506 386	80 174 330 330	-67 -6 -30 19	kgf/cm ² 333 530 714 1020
0.01 -0.01 0.015 -0.015 -0.02	* * * * *	1 -125 -85 -402 -2149	-1067 1782 896 3147 1121	-69 -165 16 923 57	43 17 -102 -29 450	158 75 403 477 2364	364 2175 2439 3498 *	706 651 1330 990 3101	-777 -129 -1506 386 360	80 174 330 330 680	-67 -6 -30 19 -18	kgf/cm ² 333 530 714 1020 1144
0.01 -0.01 0.015 -0.015 -0.02 -0.02	* * * * * * *	1 -125 -85 -402 -2149 -2284	-1067 1782 896 3147 1121 4741	-69 -165 16 923 57 2925	43 17 -102 -29 450 -136	158 75 403 477 2364 1919	364 2175 2439 3498 *	706 651 1330 990 3101 1309	-777 -129 -1506 386 360 1364	80 174 330 330 680 554	-67 -6 -30 19 -18 28	kgf/cm ² 333 530 714 1020 1144 1695
0.01 -0.01 0.015 -0.015 0.02 -0.02 0.03	* * * * * * * *	1 -125 -85 -402 -2149 -2284 *	-1067 1782 896 3147 1121 4741	-69 -165 16 923 57 2925 *	43 17 -102 -29 450 -136 2873	158 75 403 477 2364 1919 *	364 2175 2439 3498 * *	706 651 1330 990 3101 1309 *	-777 -129 -1506 386 360 1364 1007	80 174 330 330 680 554 1437	-67 -6 -30 19 -18 28 94	kgf/cm ² 333 530 714 1020 1144 1695 1353

"*":代表應變計已受震損壞

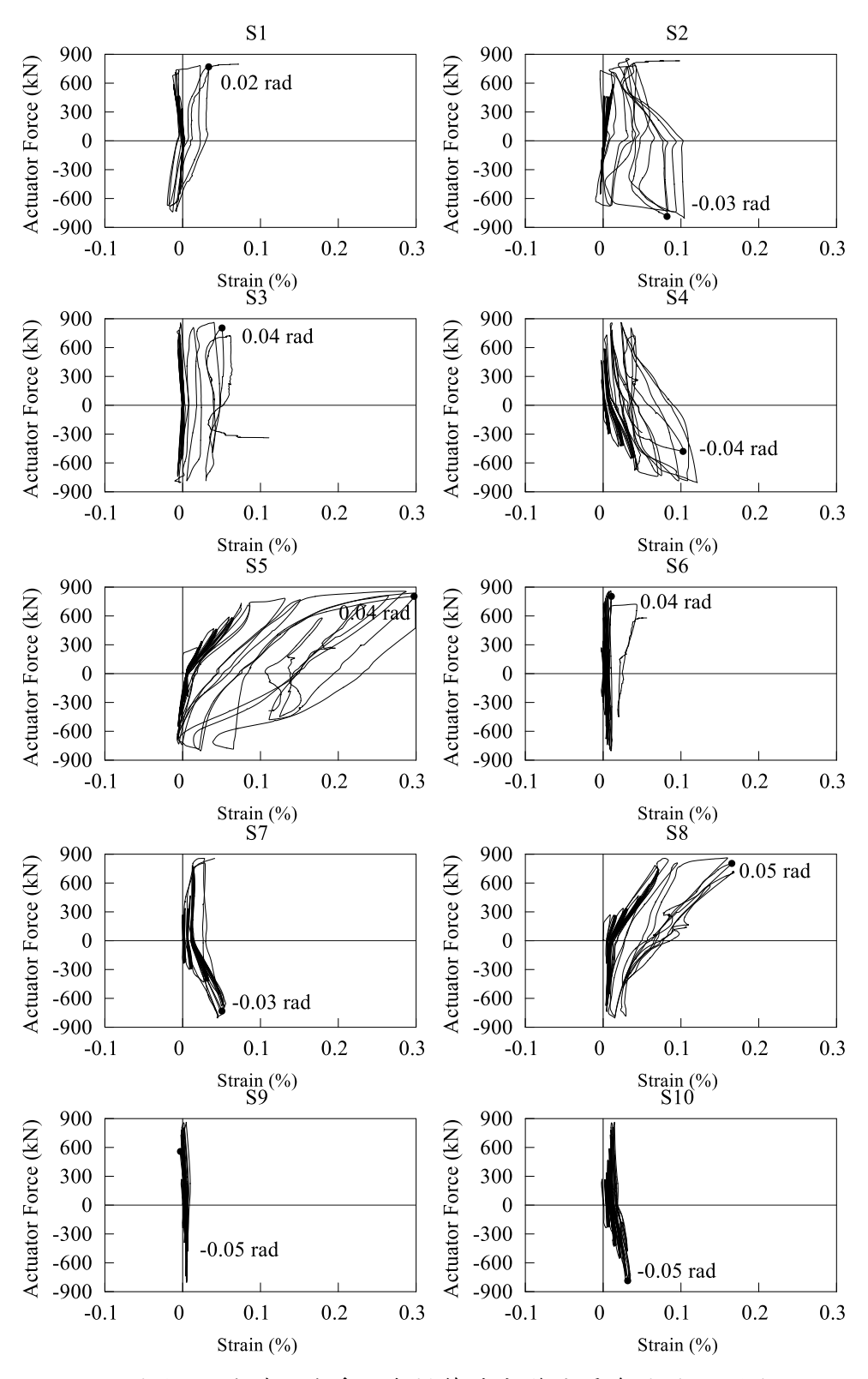


圖 4.55 試體一千斤頂與梁箍筋應變計關係圖 (S1-S10)

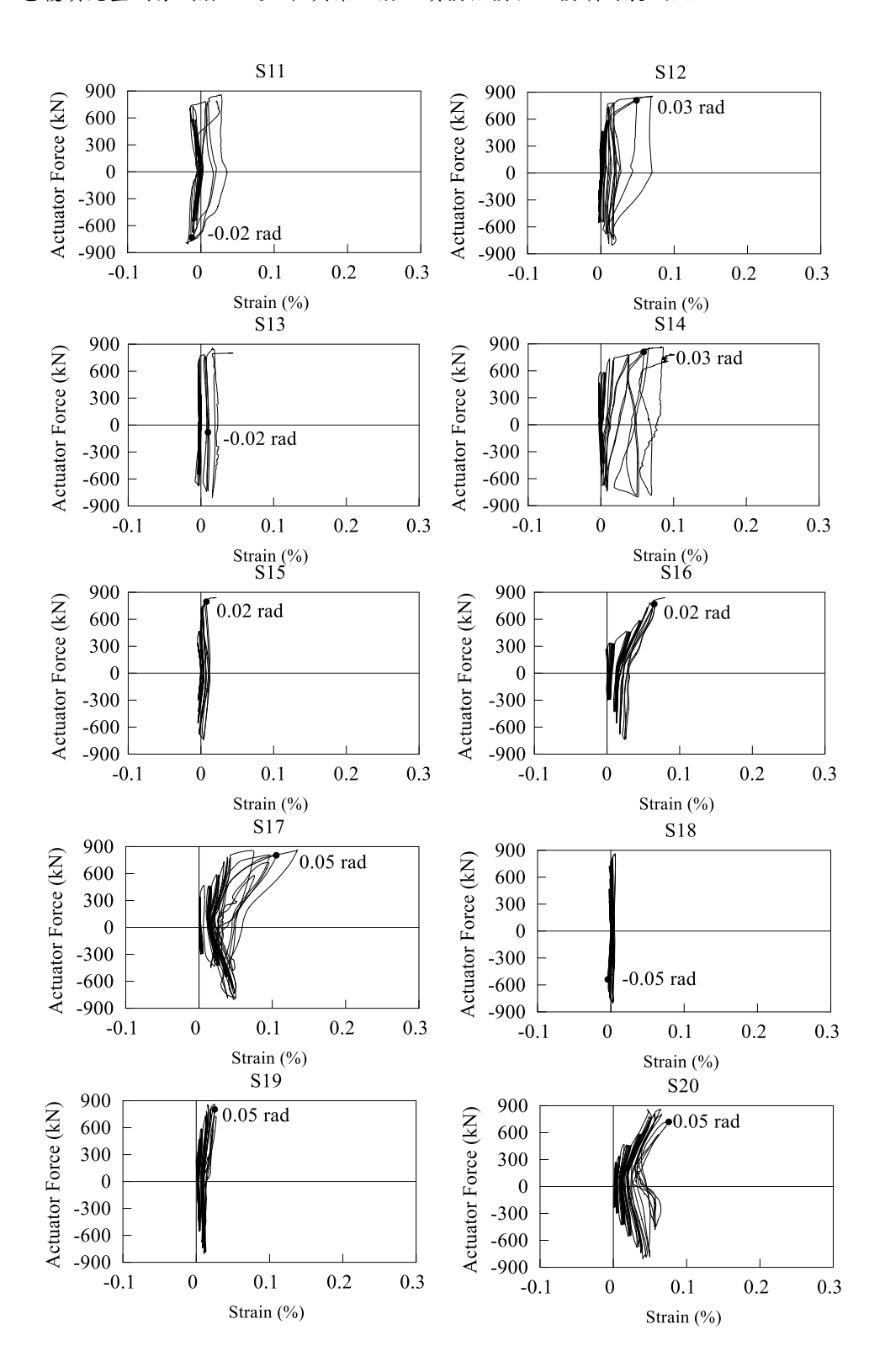


圖 4.56 試體一千斤頂與梁箍筋應變計關係圖 (S11-S20)

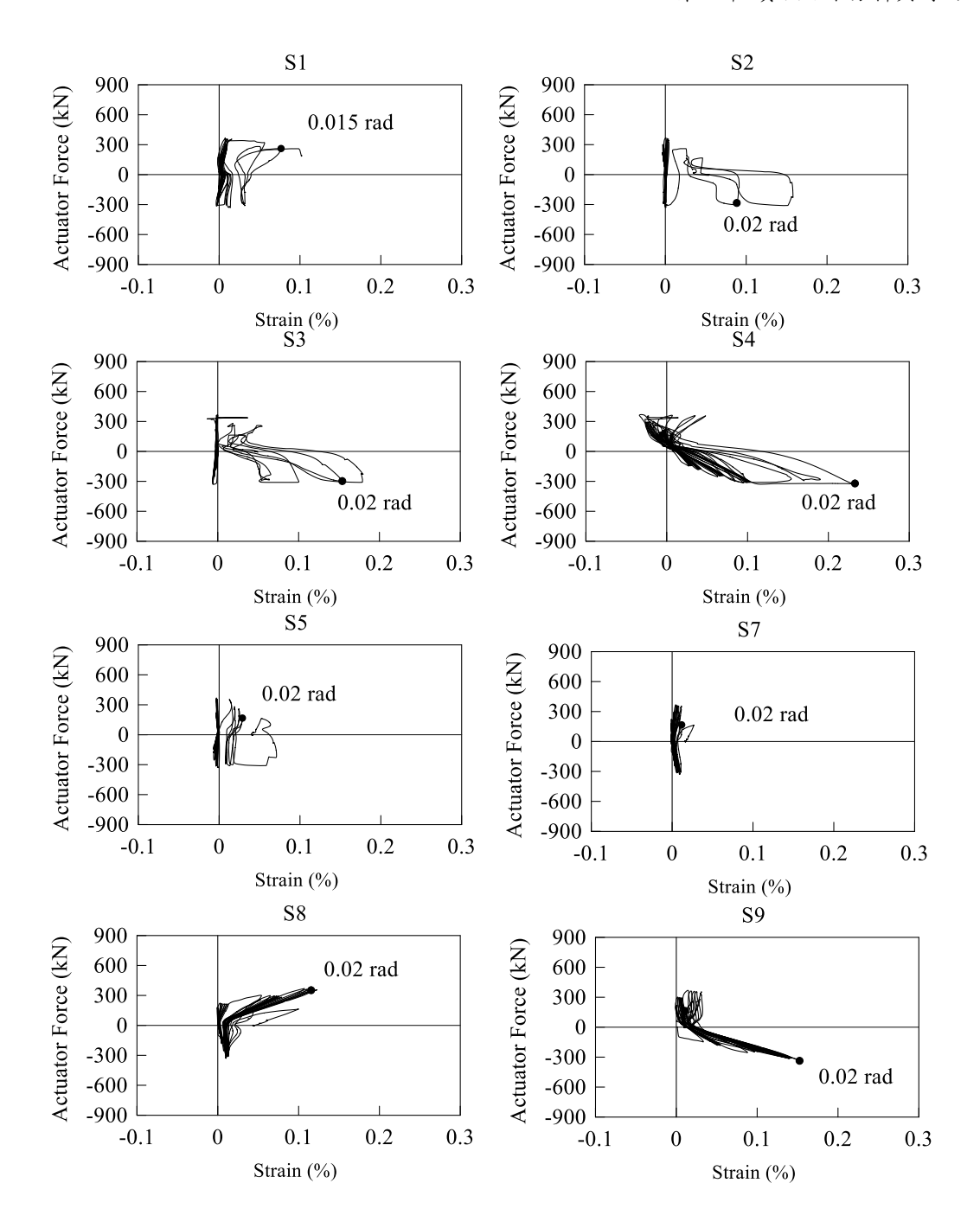


圖 4.57 試體二千斤頂與梁箍筋應變計關係圖 (S1-S9)

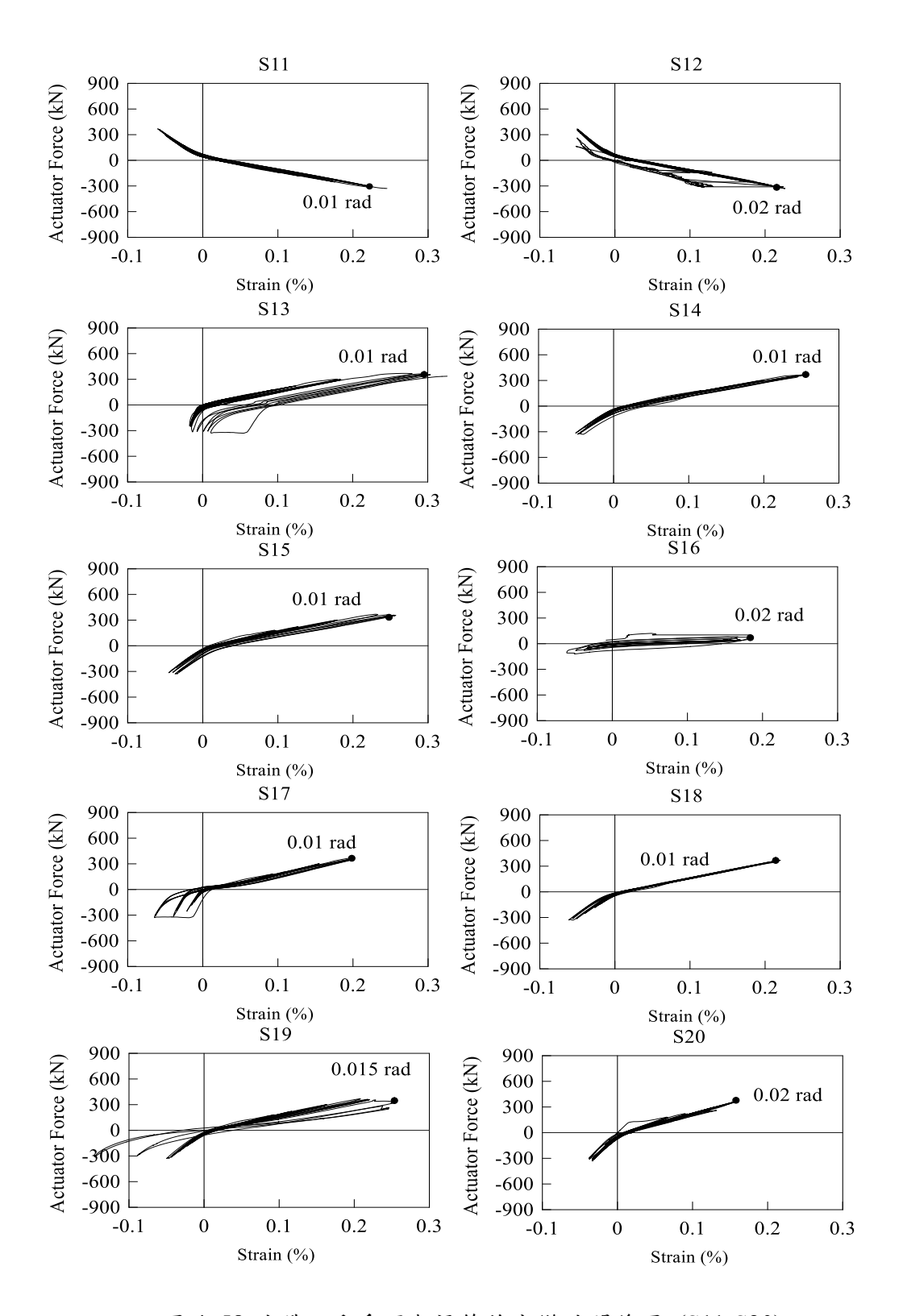


圖 4.58 試體二千斤頂與梁箍筋應變計關係圖 (S11-S20)

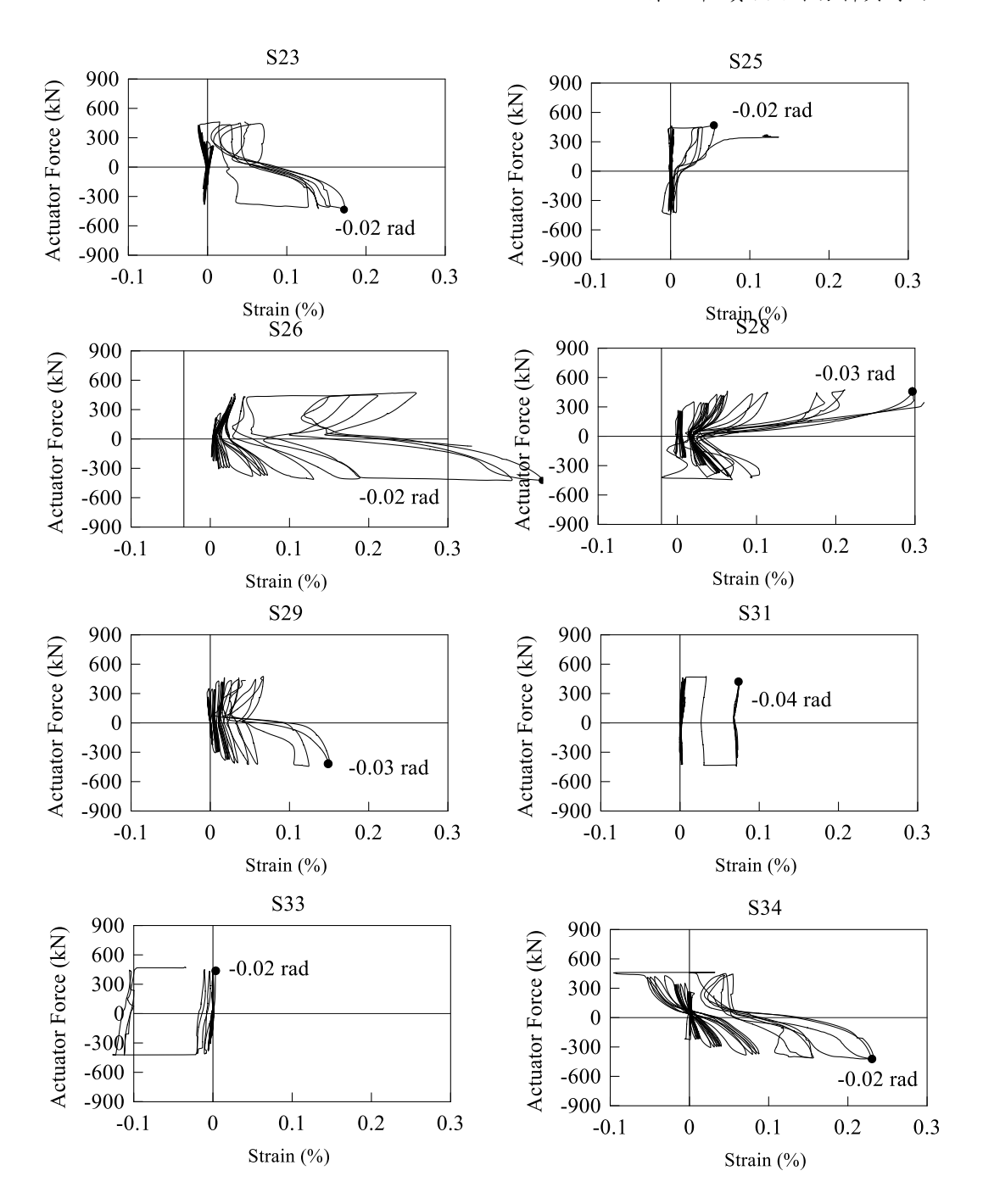


圖 4.59 試體三千斤頂與梁箍筋應變計關係圖 (S23-S34)

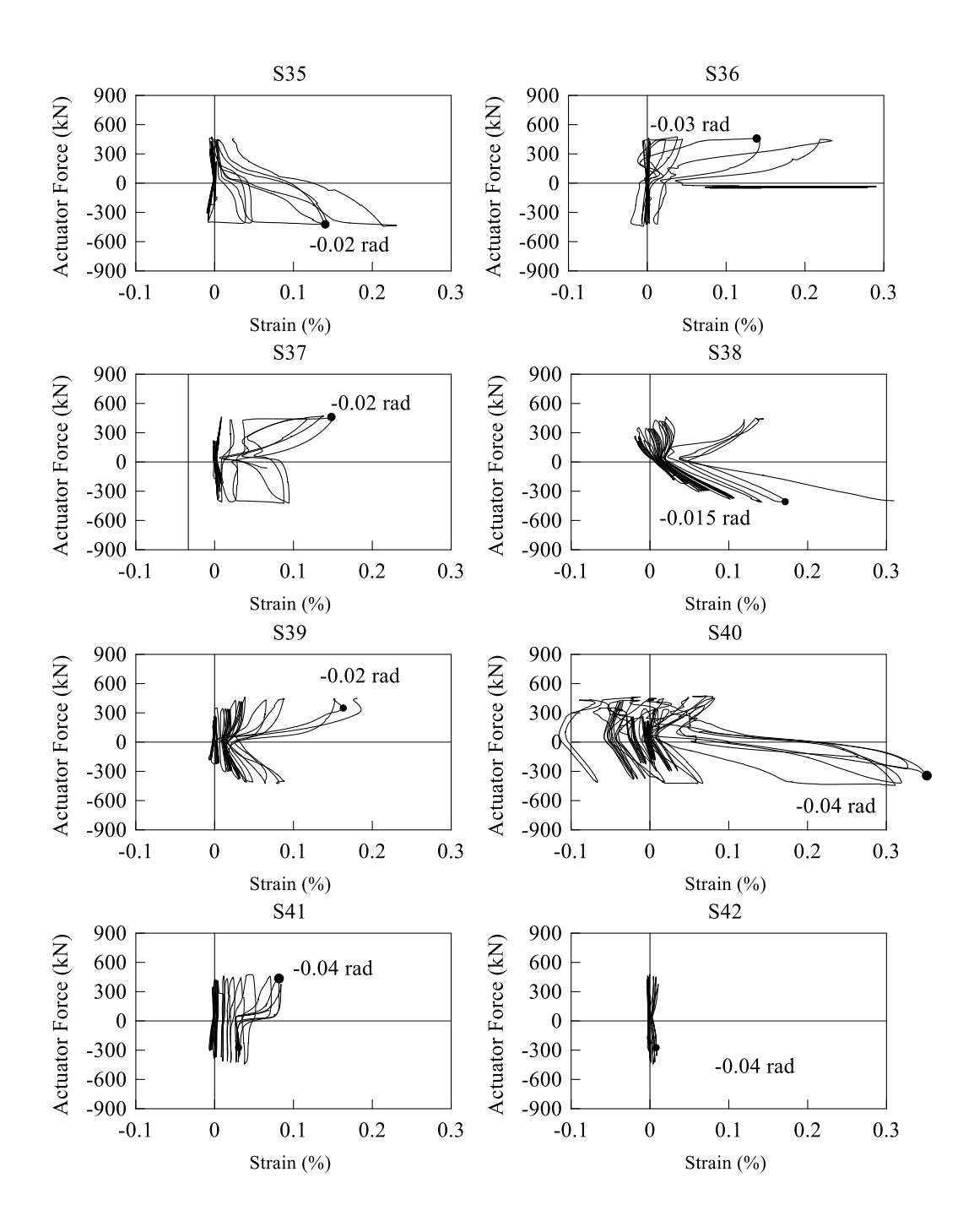


圖 4.60 試體三千斤頂與梁箍筋應變計關係圖 (S35-S42)

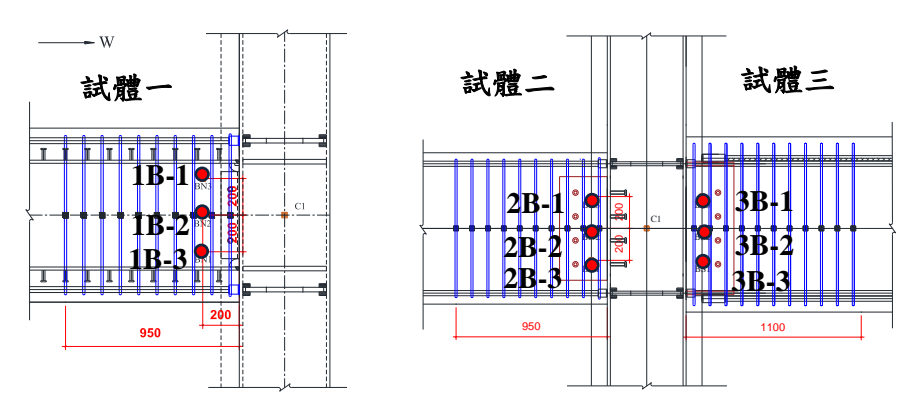


圖 4.61 試體一鋼梁腹板、試體二剪力榫及試體三鋼拱頭應變計位置圖

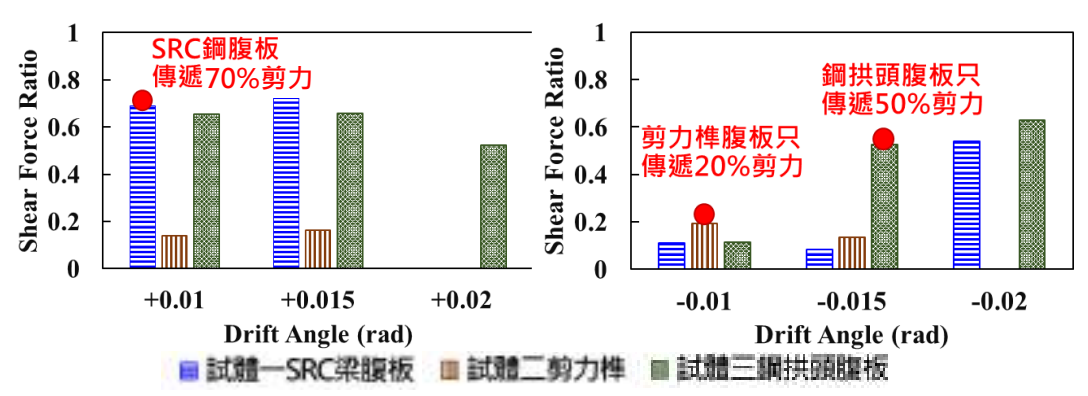


圖 4.62 試體一鋼梁腹板、試體二剪力榫、及試體三鋼拱頭傳遞剪力比

表 4.28 試體一、試體二及試體三設計剪力強度

ω Vn (kN) 試體— SRC 梁 試體二 RC 梁 試質

$\varphi \text{ Vn (kN)}$	試體一 SRC 梁	試體二 RC 梁	試體三 RC 梁	
φ VII (KIN)	(鋼梁)	(剪力榫)	(鋼拱頭)	
鋼梁腹板	1157 kN			
到 示 及 仪	(H600 X 200X 11 X 17)	-	-	
箍筋	761 kN (#4@ 100)	761 kN (#4@ 100)	761 kN (#4@ 100)	
剪力榫	-	1040 kN (PL11 X 650)	-	
鋼拱頭			1334 kN	
到沃琐	-	- (H832 1	(H832 X 200 X 11 X 22)	
 剪力釘		1000 kN	1000 kN	
分刀到	-	(8 X 19 φ) 控制	(8 X 19 φ)控制	
總和	1918 kN (鋼梁+箍筋)	1000 kN (剪力釘)	1000 kN (剪力釘)	
最大剪力	863 kN	370 kN	475 kN	

4. 裂縫發展與試體破壞情形

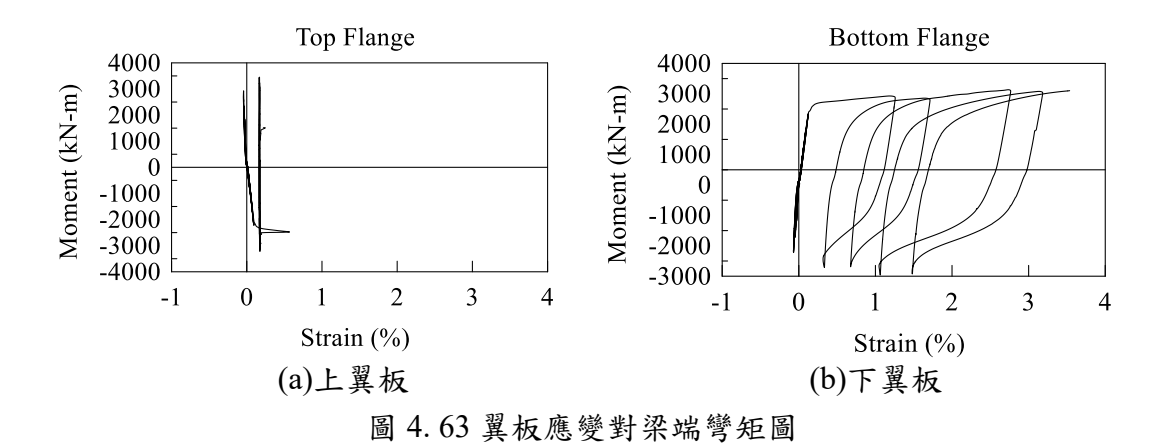
本節將說明 SRC 梁柱接頭耐震試驗於反復載重試驗過程中,於各層間位移比下之顯著破壞現象,而裂縫寬度之發展是直接影響結構物力量傳遞之指標。故本節將進一步探討裂縫寬度過大時會對整體試體造成哪些問題,柱、梁每一層間位移比的最大裂縫寬度已記錄於本章第一節之表 4.1、4.2、4.3。

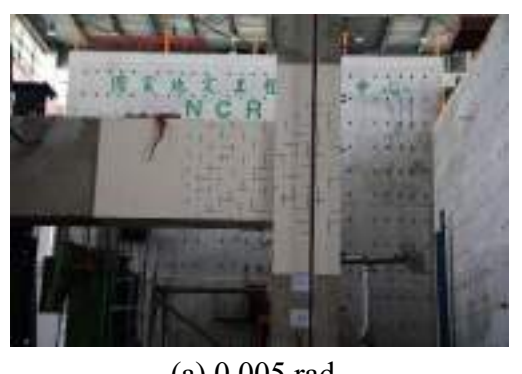
● 試體一

試體一於層間位移比 0.001rad、0.002rad、0.00375rad 時皆無明顯破壞發 生。於 0.005rad 開始,柱面及梁產生微小撓曲裂縫,以裂縫量測卡量測裂縫 寬度約為 0.2mm。加載至 0.0075rad 及 0.01rad 時柱面及梁柱接頭區並無新增 明顯之裂縫。於 0.015 開始可以明顯觀察到梁北面下緣裂縫增多(正迴圈時), 裂縫也逐漸由撓曲裂縫發展成撓剪裂縫,此時最大裂縫寬度約 0.4-0.6mm。在 0.02rad 時則可觀察到梁北面上緣裂縫也逐漸增多(負迴圈時),最大裂縫寬度 來到 4mm。柱則無新增裂縫,惟裂縫寬度發展為 1mm。加載來到 0.03rad 第 二圈時,梁柱接頭處上下緣處皆有許多撓剪裂縫,且梁柱連接處表面有約 7mm 之裂縫由梁頂延伸至梁底,柱保有原有裂縫且寬度無再擴增。力量加載 至 0.04rad 時,梁混凝土在北面、南面、梁底皆有明顯剝落,裂縫寬度發展至 60mm,且於負迴圈時塑鉸區之梁頂隆起,觀察為上排中間兩支主筋有挫屈現 象且有斷裂聲,此時柱面皆無再有新裂縫產生。力量加載至 0.05rad 時,大量 混凝土剝落已無從計算裂縫寬度,上下兩排中間主筋挫屈,且梁頂塑鉸區之 締筋90度蓋子處因主筋挫屈及混凝土擠壓造成鬆脫掉落,另於梁頂僅可略窺 見剪力釘。柱東面則有明顯裂痕,寬度約8mm,每一層間位移角之照片詳見 圖 4.64,試體詳細破壞情形詳見圖 4.65,試體打除後照片詳見圖 4.66。

本次 SRC 梁柱接頭耐震試驗,在設計上強柱弱梁接近 2.0,梁柱接頭剪力檢核之設計強度與需求強度之比值也接近 1.5;故在本次試驗可以預期柱體將不會有太大程度破壞,且柱板應維持於彈性階段。梁試體也符合預期結果,力量加載直到 0.04rad 才產生一定程度破壞,本試驗重點之一為探討續接器連接柱與梁之耐震行為研究,此次試驗於 0.05rad 完整加 2 圈後停止,且於 0.04rad 前力量傳遞行為良好。經試體打除後發現,梁柱接頭上下共 8 顆續接器與柱銲接處及與鋼筋續接處皆無受損,補足了業界多使用此接頭形式卻無實驗能佐證其力量傳遞之完整性。但如本章第一節所述,在打除過程中發現梁之上翼板於梁柱接頭處全斷,詳圖 4.7。下翼板則無受損,上下翼板應變對梁端彎矩的比較詳圖 4.63。上翼板約在 0.015rad 時應變計已受損,後續已無讀值,下翼板應變計讀值則可完整地走完 0.04rad。在 0.03rad 負迴圈時垂直

致動器力量達 780 kN(換算接頭處彎矩為 2926kN-m), 已超過 SRC 梁設計之 標稱彎矩強度 2050 kN-m。初步研判鋼材品質應有符合所需強度,因鋼梁上 翼板應變計靠近塑鉸區,在反覆載重過程中容易受損,故無法由應變計準確 推斷其值與實際斷裂時之彎矩關係。則針對上翼板斷裂而下翼板無斷裂之情 形還需進一步討論,或待其他實驗加以研究。









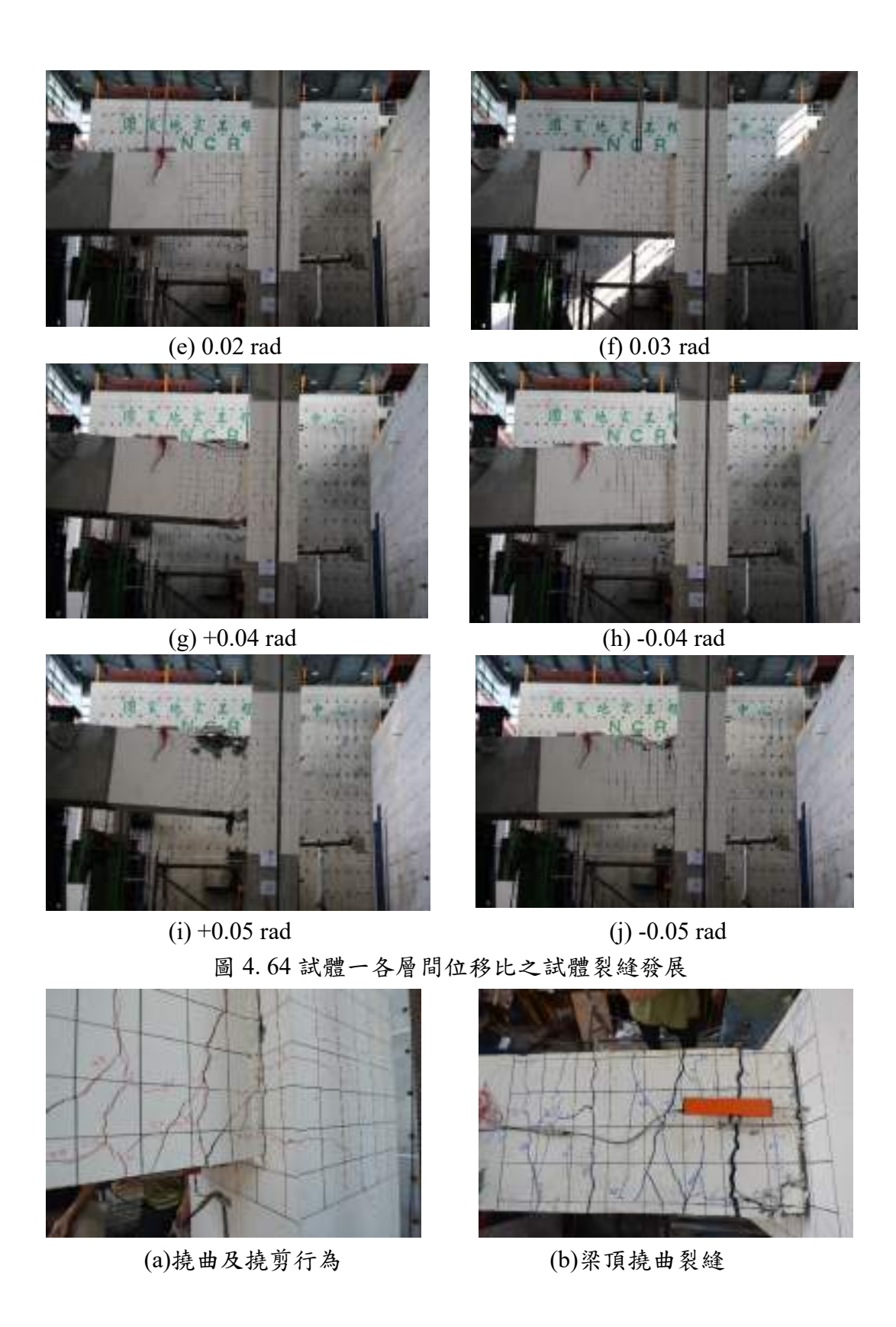
(b) 0.0075 rad



(c) 0.001 rad



(d) 0.015 rad





(c)上排主筋挫屈及箍筋蓋子掀起



(d)上排主筋挫屈方向不一致



(e)梁底撓曲裂縫



(f)梁底混凝土剝落



(g) 0.04rad 箍筋破壞情形



(h) 0.05rad 箍筋破壞情形

圖 4.65 試體一詳細破壞情況圖



(a)梁頂續接器無受損



(b)梁上翼板斷裂



(c)梁上翼板斷裂細節



(d)梁腹板由扇形銲接開孔開裂



(e)梁底續接器無受損



(f)梁下翼板無受損

圖 4.66 試體一梁柱接頭打除情況圖

● 試體二

試體二於層間位移比 0.00375 rad 時無明顯破壞發生。於 0.005rad 開始,柱面及梁產生微小撓曲裂縫。加載至 0.01 rad 時柱面及梁柱接頭區裂縫延伸。於 0.015 開始可以明顯觀察到梁北面下緣裂縫增多(正迴圈時),此時裂縫同時有撓曲裂縫及撓剪裂縫,此時最大裂縫寬度約 5mm。在 0.02 rad 正迴圈第一圈時有聽見斷裂聲音且觀察到裂縫明顯增加而強度再次下降,小範圍的混凝土剝落,於 0.02 rad 負迴圈第二圈時梁東面及南面與底部混凝土擠壓剝落,此時最大裂縫寬度來到 10mm,柱則無新增裂縫。加載來到 0.03 rad 正迴圈第一圈時,梁頂部混凝土剝落面積加大,且接頭處由撓剪裂縫發展為剪力裂縫,梁柱交界面之混凝土開裂,同時主筋受壓側彎曲,最大裂縫寬度為 12mm。進入 0.03 rad 負迴圈第一圈,梁底混凝土保護層嚴重剝落且再次有斷裂聲造成強度降至更低,同時觀察到鋼筋裸露且混凝土面拱起,主筋略有彎曲但箍筋未變形脫落,此時已無從計算裂縫寬度。每一層間位移角之照片詳見圖 4.67,試體詳細破壞情形詳見圖 4.68,試體打除後照片詳見圖 4.69。

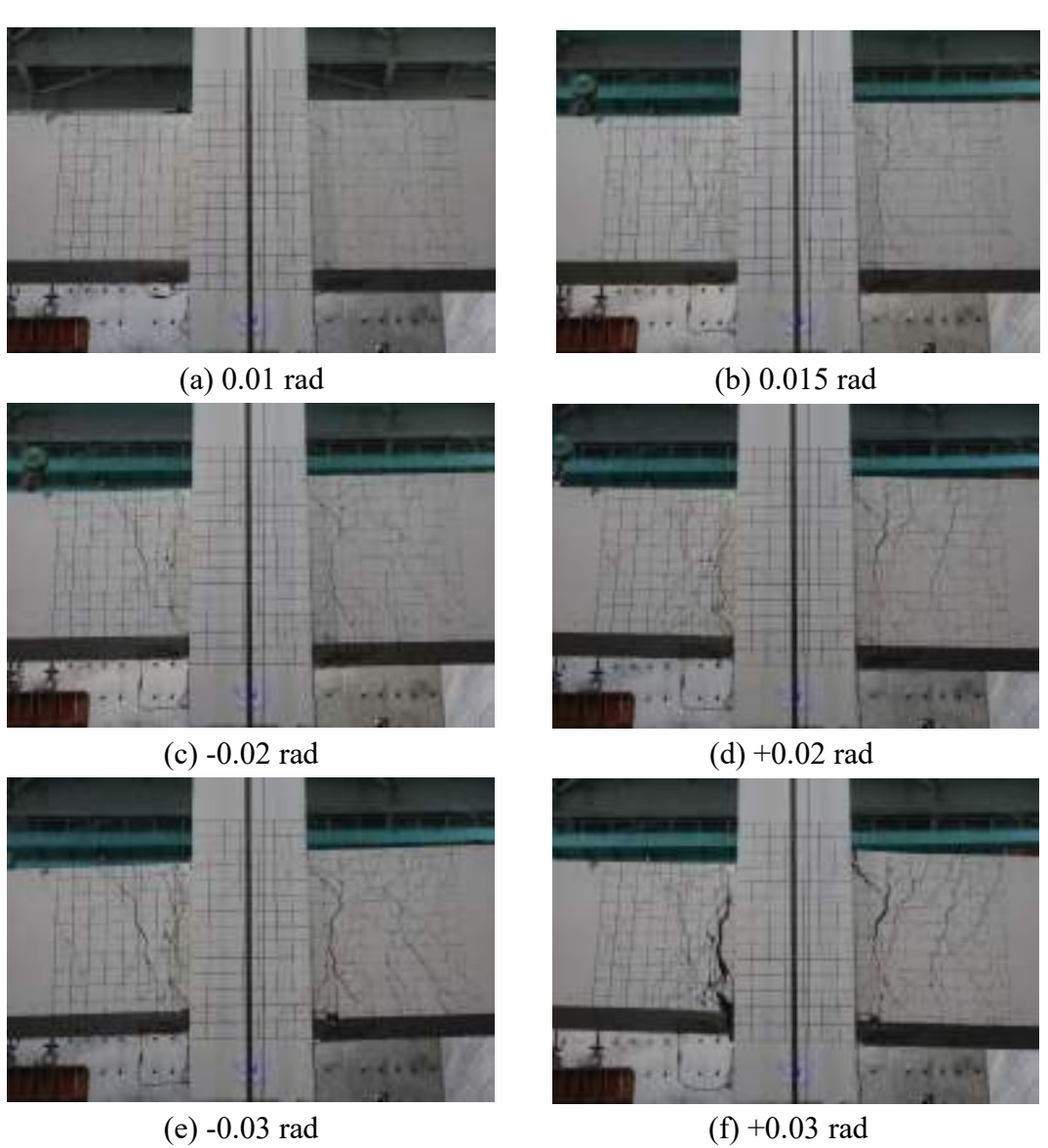
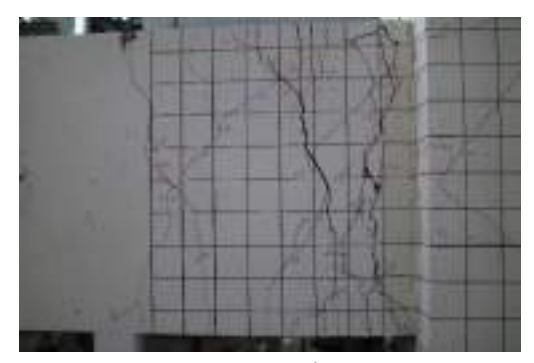


圖 4.67 試體二(左側)各層間位移比之試體裂縫發展

包覆填充型鋼骨鋼筋混凝土柱與梁主筋以續接器接合之接頭耐震試驗



(a)接頭區之剪力裂縫



(b)梁底東面混凝土剝落



(c) -0.02 rad 梁頂破壞情形



(d) +0.03 rad 梁底保護層剝落

圖 4.68 試體二詳細破壞情況圖



(a)梁頂左邊第二顆續接器與柱板分離



(b)梁頂續接器銲道細節



(c)梁底續接器皆與柱板分離



(d)梁底續接器銲道細節



(e)剪力榫無受損



● 試體三

試體三於層間位移比 0.00375 rad、0.005 rad 時無明顯破壞發生。於 0.01 rad 開始柱面及梁產生微小撓曲裂縫,最大裂縫寬度為 0.6mm。加載至 0.015 rad 正迴圈時梁裂縫明顯增加,由撓曲裂縫發展為撓剪裂縫,於 0.015 rad 負迴圈時最大裂縫寬度已增加至 7mm。進入到 0.02 rad 正迴圈時可觀察到剪力 裂縫發生於由柱面延伸出 30cm 之拱頭交界面,於 0.02 rad 負迴圈時可觀察

到最大裂縫寬度發展為 8mm,此時柱面裂縫無明顯增加。加載來到 0.03 rad 正迴圈第一圈時,梁底部混凝土剝落,且梁柱交界面混凝土開裂,進入 0.03 rad 負迴圈時,梁柱接頭界面開裂裂縫達到 15mm,同時觀察到梁頂有拱起現象,且混凝土剝落範圍加大。進入到 0.04 rad 正迴圈時可觀察到保護層之混凝土嚴重剝落且鋼筋裸露伴隨強度下降,上層四支主筋有彎曲及向上變形等情況,剪力裂縫於鋼拱頭末端處明顯增大,於 0.04 rad 負迴圈時觀察到下層混凝土擠壓造成大範圍剝落,強度在再次下降,且下層主筋有彎曲情形,而箍筋未變形脫落,此時已無從計算裂縫寬度。每一層間位移角之照片詳見圖 4.70,試體詳細破壞情形詳見圖 4.71,試體打除後照片詳見圖 4.72。

試體二、三(雙側梁)之 SRC 梁柱接頭耐震試驗,在設計上如試體一強柱弱梁比接近 2.0,梁柱接頭剪力檢核之設計強度與需求強度之比值也接近 1.5;故在本次試驗可以預期柱體將不會有太大程度破壞,且柱板應維持於彈性階段,由試驗觀察也證實此情形。由試體二、三的試驗觀察及遲滯迴圈行為可觀察試體三之鋼拱頭接合形式其力量傳遞行為是優於試體二之剪力榫接合形式。

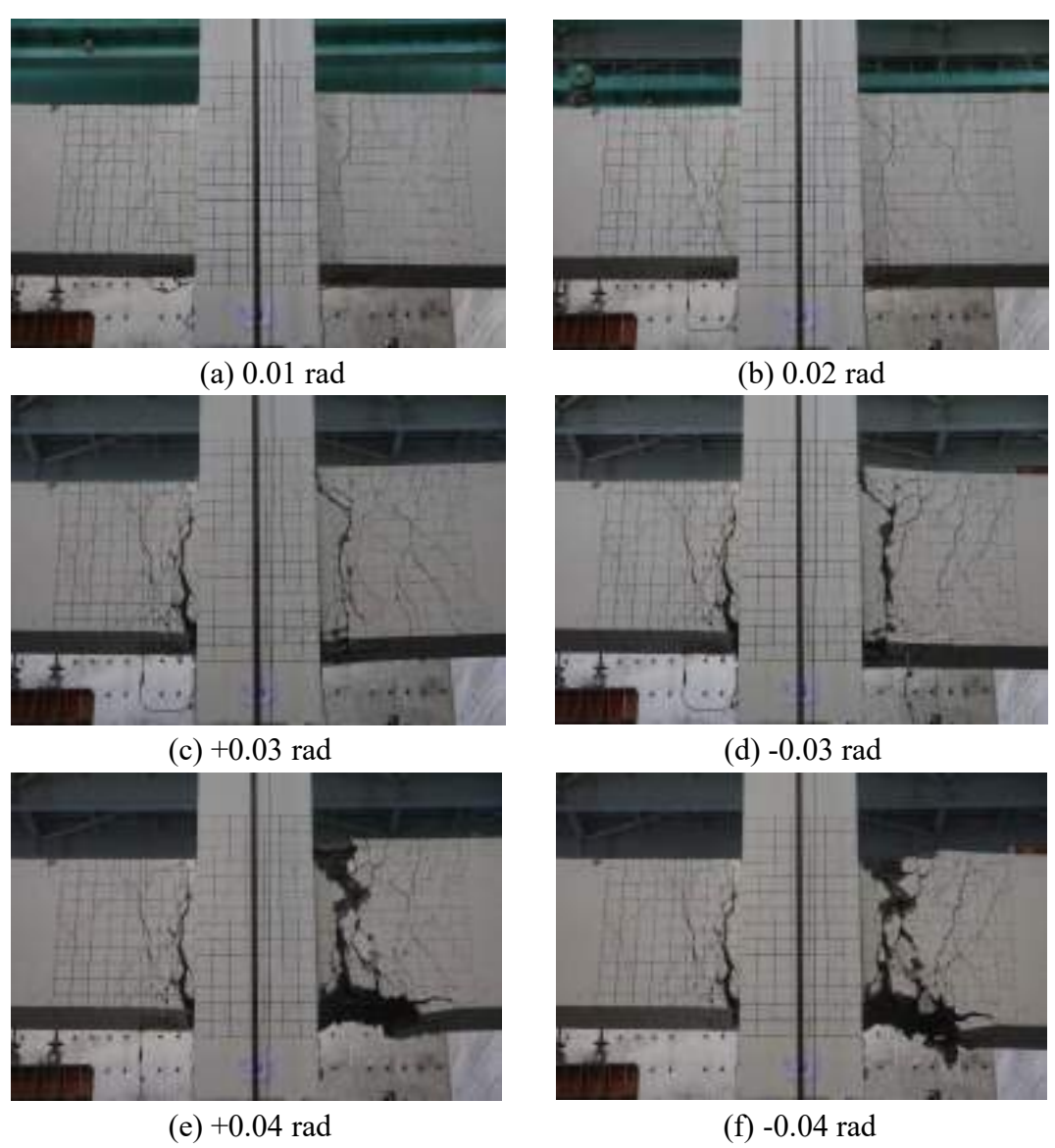


圖 4.70 試體三(右側)各層間位移比之試體裂縫發展

包覆填充型鋼骨鋼筋混凝土柱與梁主筋以續接器接合之接頭耐震試驗



(a)接頭區之剪力裂縫



(b) -0.03 rad 梁頂混凝土拱起



(c) +0.04 rad 梁頂破壞情形



(d) -0.04 rad 梁底主筋彎曲



(e) +0.04 rad 梁頂箍筋圍束完整



(f) -0.04 rad 梁底箍筋圍東完整

圖 4.71 試體三詳細破壞情況圖



(a)梁拱頭之梁頂續接器完整無損



(b)梁拱頭與上翼板續接器銲道細節



(c)梁拱頭之梁底續接器完整無損



(d)梁拱頭與下翼板續接器銲道細節



(e)梁底與柱連接之續接器無受損



C續接器無受損 (f)梁拱頭剪力釘及腹板完整無損圖 4.72 試體三梁柱接頭打除情況圖

5. 續接器實驗

由第三章試體設計與實驗規劃第十二節續接器實驗,其中表 3.11 所示有 6 組規劃分別為續接器搭接、立式、臥式續接器各 2 組,但試驗結果由表 4.5 得知,除試體二為具剪力榫之續接器脫離鋼柱,試體一為鋼骨梁及試體 三為鋼拱頭,其續接器皆未脫離鋼柱,銲道保持完整,再者三組試體梁主筋 與續接器結合保持完整。基於上述考量與時間限制,故取原規劃之立式、臥 式續接器各 1 組,進行續接器實驗。而對於該實驗要取其應變值、反覆負載 試驗加載程序,以下將分別敘述。

● 應變取值

由混凝土結構設計規範 (401-110) 表 26.6.5.2 中規定,SA 等級續接器進行高塑性反覆載重實驗,其中施加反覆載重主要參數為 Py、 δ y,本案中所有鋼筋皆為 SD420W #10 其標稱強度 fy=4200kgf/cm²、fu=5600kgf/cm²,由鋼筋拉伸試驗表 3.9 得知 fy=4814kgf/cm²,故其 Py=39.2tf、拉力最大值 0.95Py=37.24 tf、壓力最大值 0.5Py=19.6tf。至於 δ y 則需取決於應變值,降伏應變 ϵ_y =fy/Es=0.00236,而 δ y= ϵ y×Lg 見圖 3.25,其中 Lg 為量測軸向變形及滑動量之標定長度,所以如何決定續接器實驗之應變值,為本研究之主要重點。

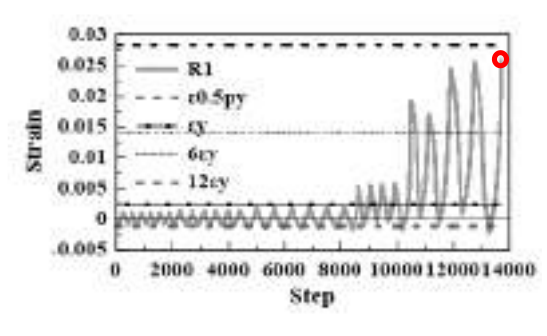
三組試體其中試體一試體二為梁主筋由續接器銲接至鋼柱表面,由於在鋼柱內與主筋同一水平面處加銲適當之水平加勁板,故為立式續接器,試體三則為梁主筋一半數量以續接器直接銲於鋼柱上,為立式續接器,一半數量以續接器銲於鋼拱頭翼板上,則為臥式續接器。梁主筋試驗結果由表 4.5 綜整後如表 4.29,分別取立式、臥式續接器上梁主筋未挫屈之最大應變值,為續接器實驗取值之依據。由表 4.12、4.13、4.17、4.18、4.22、4.23,經整理研判去除其應變計不合理值後,再對未挫屈之梁主筋上之應變計取值如表 4.30,可看出於未挫屈之梁主筋上立式、臥式續接器之最大應變 ε 與其降伏應變 ε y 比值分別為 10.964、7.115,由於本案梁主筋為#10,其塑性倍率 n=6 最大拉伸塑性倍率 2n=12,皆小於混凝土結構設計規範 (401-110) 表 26.6.5.2 中所規定之 2n=12。故於應變取值中仍依據混凝土結構設計規範 (401-110) 表 26.6.5.2 中規定,取其 6δy、12δy,立式、臥式續接器主筋最大應變與降伏應變 ε y 之比對圖見圖 4.73 及圖 4.74。

試體	主筋				
試體一	上層中間2支主筋挫屈、下層4支主筋挫屈				
試體二(東側梁)	上層 4 支主筋彎曲、下層 4 支主筋彎曲				
試體三(西側梁)	上層 4 支主筋彎曲、下層 4 支主筋挫屈				

表 4.29 梁主筋試驗結果

表 4.30 未挫屈之梁主筋上之應變計取值

	試體		應變值 (%)				應變比值		
			立式	臥式	εy	6εу	12εy	ε/εy 立式	ε/εy 臥式
	試體一]	R1	2.587					10.964	
	試體二 R	R21	1.561		0.236	1.416	2.832	6.616	
	試體三 R	R42		1.679					7.115



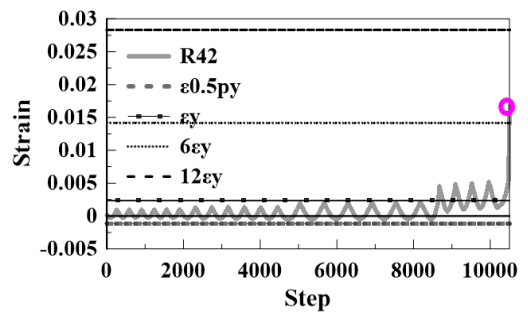


圖 4.73 立式續接器最大應變圖

圖 4.74 臥式續接器最大應變圖

● 反覆負載試驗加載程序

由混凝土結構設計規範 (401-110) 表 26.6.5.2 中規定, SA 等級續接器進行高塑性反覆載重實驗如表 4.31 所示,取 6δy、12δy 後則直接拉至破壞,其高塑性反覆載重加載程序可敘述如下:

- 1. 第0回,由零開始
- 2. 第 1~16 回,每回拉伸至 0.95 Py,再壓縮至 0.5 Py,共 16 回
- 3. 第17~24回,取 n=6 每回拉伸至 6δy 後,再壓縮至 0.5 Py, 共 8回
- 4. 第 25~32 回,取 n=6 每回拉伸至 12δy 後,再壓縮至 0.5 Py,共8回
- 5. 再拉至破壞

根據前述,仍依據混凝土結構設計規範 (401-110) 表 26.6.5.2 中規定,

取其 $6\delta y$ 、 $12\delta y$ 。而 $\delta y=\epsilon y\times Lg$ 降伏應變 $\epsilon_y=fy/Es=0.00236$, $\delta y=0.00236\times Lg$,對於 Lg 為量測軸向變形及滑動量之標定長度,於立式、臥式續接器分別為 252×273 mm 見圖 4.75 及圖 4.76。混凝土結構設計規範 (401-110)取 $6\delta y$ 、 $12\delta y$ 後則直接拉至破壞,但考慮其不確定性,再增加至 $18\delta y$ 、 $24\delta y$ 各 8 回,之後再直接拉至破壞,其高塑性反覆載重加載程序可敘述如下:

- 1. 第0回,由零開始
- 2. 第 1~16 回,每回拉伸至 0.95 Py=37.24 tf,再壓縮至 0.5 Py=-19.6tf,共 16 回
- 第 17~24 回,立式、臥式續接器分別取 6δy=3.568、2.292 mm 後,再壓縮至 0.5 Py=-19.6tf,共 8 回
- 4. 第 25~32 回,立式、臥式續接器分別取 12δy=7.136、4.584 mm 後,再壓縮至 0.5 Py=-19.6tf, 共 8 回
- 第 33~40 回,立式、臥式續接器分別取 18δy=10.704、11.596 mm 後,再 壓縮至 0.5 Py=-19.6tf, 共 8 回
- 第 41~48 回,立式、臥式續接器分別取 24δy=14.272、15.461 mm 後,再 壓縮至 0.5 Py=-19.6tf,共 8 回
- 7. 再拉至破壞

經由此高塑性反覆載重加載程序,測試續接器模擬實際梁柱接頭情況是 否符合混凝土結構設計規範 (401-110) 26.6.5.2 節中規定第三類(SA 級)的 抗拉強度、滑動量之規定。

表 4.31 高塑性反覆載重試驗性能合格標準

抗酸項	か戦程序		合格標準			
11		治棒	第三類 (SA机)	第二個 (A級)	第一類 (B順)	
		抗拉強度	≥ 1.25 fi ± ≥ fi	≥ 1.25 fs #L ≥ fk	≥ 1.25 //	
單向拉 仲及清 動試驗	0→095月→0.02月; → 拉星喷喷	段智等數量 (δ _t)t _t	≤ 0.3 mm	≤0.3 mm	≤ 0.3 mm	
		磺胺威炸驯荡之	≥9%。網茲尺度 D32以下	()((1)))	709280	
		神長率 [1]	(SA級)	≥ 4%	≥ 2%	
2023	放 统 的 0 → (0.95 P ₂ → 0.02 P ₃)×30回	抗粒強度	不透用	不適用	≥ 1.25,6	
查提升 截及音		用動量 (å ₁)ste	不適用	不適用	≤ 0.3 mm	
粉試驗	→ 教至破壞	續接處片鋼筋之 伸長率[1]	不過用	不適用	≥ 2%	
		抗热強度	900000000	≥ 1.25,6 1L ≥,6	不適用	
あ塑性 を終る 日	$0 \rightarrow (0.95 P_p \leftrightarrow -0.5 P_p) \times 16$ $\Theta \rightarrow (105 \leftrightarrow -0.5 P_p) \times 8\Theta \rightarrow$ $(205 \leftrightarrow -0.5 P_p) \times 8\Theta \rightarrow 4z$ $\underline{E} \approx 4g$	潜動量 (81)ssc- (81)te	≤03 mm	≤ 0.3 mm	不通用	
		消動量 (de)str	≤0.9 mm	≤ 0.9 mm	不 適用	
		滑動量 (&) ∞	≤1.8 mm	不进片	不適用	
		维接底外钢筋之 种長库 [1]	29%。網務尺度 D32以下		不適用	
			26%。網務尺度 D36以上	≥ 4%		

四 增接處外兩個網筋伸長率之較大值。

[□] 第二級(A級)定成24m後可担互破壞: 方≤4,200 kgfcm² [420 MPa]之納益・變性標準=6: 方=5,000 kgfcm² [550 MPa]之補益・整性標準=5:方=7,000 kgfcm² [690 MPa]之納益・整性標準=4。

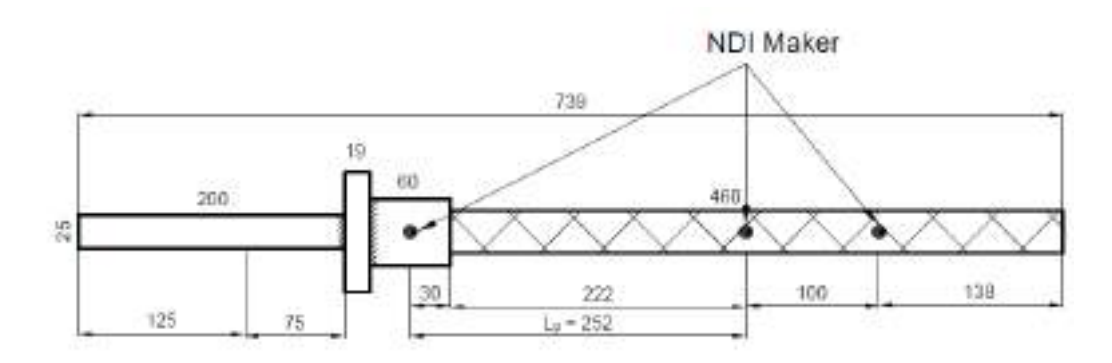


圖 4.75 立式續接器試體

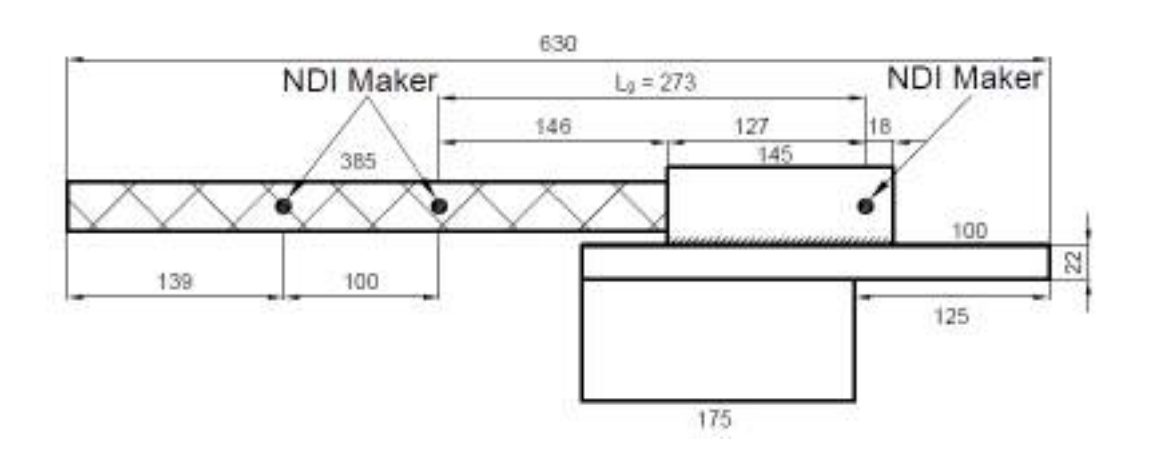


圖 4.76 臥式續接器試體

對於高塑性反復負載試驗加載程序,由原本加載 24、32、40、48 週次後上限取 6、12、18、24 倍母材標稱降伏伸長量,另外在滑動量計算部分取負載在拉力 0.50Py 至-0.25Py 壓力之間,由拉至壓和由壓至拉之間相對軸向變形量,分別扣除續接組件之彈性變形量後,取兩者平均之值為當次滑動量,其中彈性變形段以該試體加載至 0.70Py 之割線度Ej計算。相關加載程序及滑動量量測如圖 4.77~圖 4.78 所示。

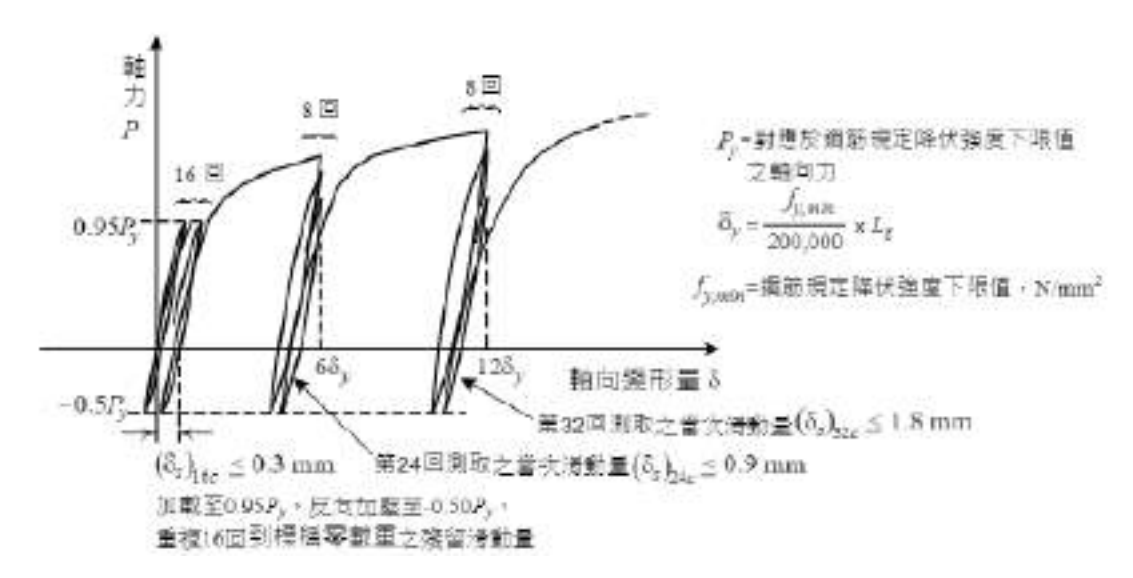
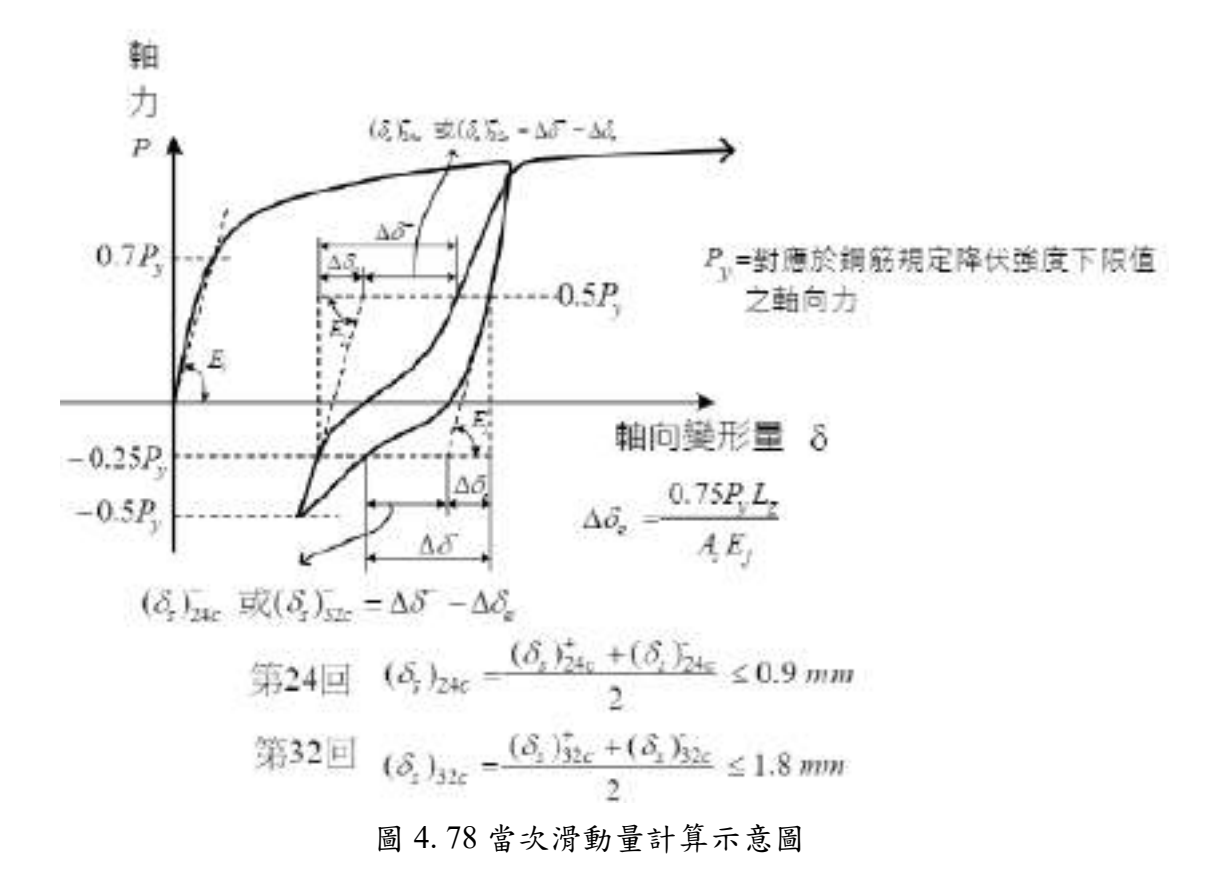


圖 4.77 續接器高塑性反復負載試驗加載程序示意圖



取原規劃之立式、臥式續接器各1組,進行續接器實驗,以下分別進行敘述。

● 立式續接器

本案進行立式續接器 1 組,其試體破壞模式為鋼筋斷裂,其相關試驗前後照片見圖 4.79、圖 4.80 所示,除鋼筋斷裂外,鋼筋與續接器、續接器與連續板仍保持完整,並無脫離或銲道受損現象,雖然混凝土結構設計規範 (401-110) 表 26.6.5.2 對兩端連結鋼筋之續接器所規定,但應用於兩端分別 銲接鋼板及連結鋼筋之立式續接器,於外觀上仍是符合只有鋼筋斷裂現象產生。



(a)立式續接器試驗整體



(b)立式續接器試驗局部

圖 4.79 立式續接器試驗前圖



(a)立式續接器試驗整體



(b)立式續接器試驗局

圖 4.80 立式續接器試驗後圖

試體完整之反復負載試驗,其軸力位移及其應力應變關係圖如圖 4.81 所示,可得知當鋼筋拉斷時其軸力為 557.92 KN、位移位移量為 51.21 mm,相對應

之應力為 685.15 Mpa、應變為 0.2。試體續接性能數值檢核詳表 4.32。試驗結 果顯示,對於兩端分別銲接鋼板及連結鋼筋之立式續接器的續接性能,均符 合混凝土結構設計規範 (401-110) 表 26.6.5.2 中,所規定之第三類(SA級)鋼 筋機械式續接的強度、殘留滑動量、當次滑動量及續接處外鋼筋之伸長率規 定。

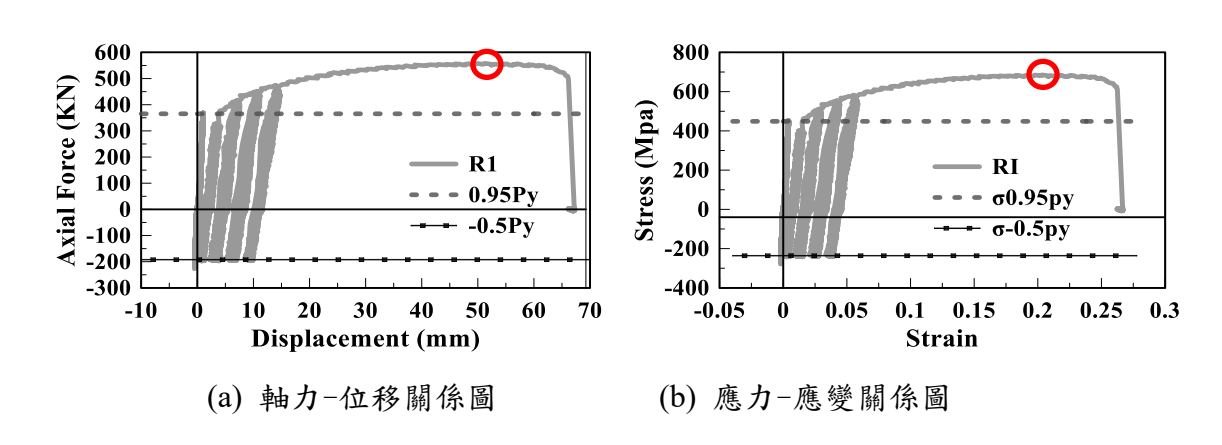


圖 4.81 立式續接器軸力位移、應力應變關係圖

指標 合格標準 檢核結果 相關參數 $\geq 1.25 \text{fy}$ σu (Mpa) 1.25fy (Mpa) fu (Mpa) 抗拉強度 OK 且≧fu 685.15 514.86 549.18 滑動量 $(\delta s)_{16c}$ (mm) $(\delta s)_{1c}$ (mm) $(\delta s)_{16c}$ - $(\delta s)_{1c}$ (mm) $\leq 0.3 \text{ mm}$ OK $(\delta s)_{16c}$ - $(\delta s)_{1c}$ 0.099976 0.35022 0.250244 滑動量 Ej (Gpa) $\triangle \delta e \text{ (mm)}$ $(\delta s)_{24c}$ (mm) $\leq 0.9 \text{ mm}$ OK $(\delta s)_{24c}$ 359.79 0.248077711 0.463170753 滑動量 $\triangle \delta e \text{ (mm)}$ $(\delta s)_{32c}$ (mm) Ej (Gpa) $\leq 1.8 \text{ mm}$ OK $(\delta s)_{32c}$ 359.79 0.253562262 1.458469364 ≧9%,鋼筋尺 Elongation (%) 續接處外鋼 度 D32 以下 OK 筋之伸長率 ≥6%,鋼筋尺 26.71

表 4.32 續接器接合試體高塑性反復負載試驗數值檢核表

臥式續接器

度 D36 以上

本案進行臥式續接器1組,當開始進行第1回,拉力上限為0.95 Py=37.24 tf=365.32 KN 時,發現試體由於非對稱力偶,有偏心彎矩產生造成 T型鋼板上厚 22mm 板彎曲拱起變形挫屈,故為考量安全因而停止試驗。其試體破壞模式於第1回僅加載至拉力時可見鋼筋挫屈,其相關試驗前後照片見圖 4.82、圖 4.83 所示,除鋼筋挫屈外,鋼筋與續接器、續接器與連續板仍保持完整,並無脫離或銲道受損現象。



(a)立式續接器試驗整體



(b)立式續接器試驗局部

圖 4.82 臥式續接器試驗前圖



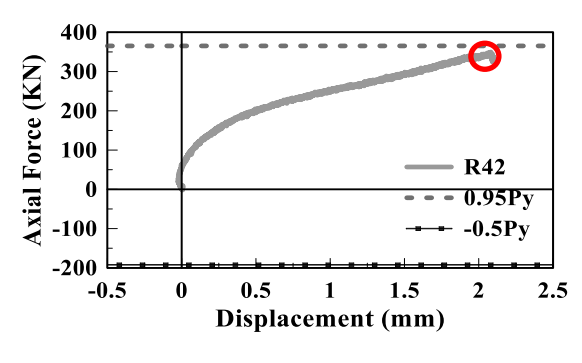
(a)立式續接器試驗整體

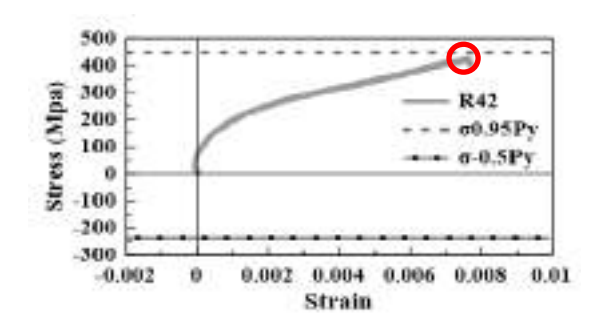


(b)立式續接器試驗局部

圖 4.83 臥式續接器試驗後圖

將試體施加第一回之反復負載試驗,其軸力位移及其應力應變關係圖如圖 4.84 所示,可得知當停止試驗時,其軸力為 349.91 KN、位移位移量為 2.11 mm,相對應之應力為 429.71 Mpa、應變為 0.00771。由於僅施作至第一回之反復負載即停止,故對於試體續接性能數值檢核則無法提供。試驗結果顯示,對於銲接鋼板及連結鋼筋之臥式續接器的續接性能,無法採用混凝土結構設計規範 (401-110) 表 26.6.5.2 中所規定進行。





- (a) 軸力-位移關係圖
- (b) 應力-應變關係圖

圖 4.84 臥式續接器軸力位移、應力應變關係圖

小結

立式與臥式續接器進行模擬局部試驗,由前述可得知對於立式續接器的續接性能,均符合混凝土結構設計規範 (401-110) 表 26.6.5.2 中所規定,完成除規範 (401-110)所規定之 68y、128y 外,並完成額外的 188y、248y 各 8回,之後再直接拉至破壞。而對於臥式續接器的續接性能,則無法採用混凝土結構設計規範 (401-110) 表 26.6.5.2 中所規定進行,當開始進行第 1回,尚未達第 1 回拉力上限為 0.95 Py 時而停止試驗。相關立、臥式續接器試驗後破壞圖如圖 4.85 所示。



立式續接器試驗後破壞



臥式續接器試驗後破壞

圖 4.85 立、臥式續接器試驗後破壞圖

包覆填充型鋼骨鋼筋混凝土柱與梁主筋以續接器接合之接頭耐震試驗

第五章 結論與建議

第一節 結論

- 1. 試體一 SRC 梁及試體三 RC 梁(鋼拱頭),實驗至層間變位角 0.04 rad, 主筋與續接器接合完整,續接器不論銲接至鋼柱或鋼拱頭翼板上,未有 銲道破壞發生。
- 2. 試體二 RC 梁(剪力榫),實驗至層間變位角 0.02 rad,主筋與續接器接合 完整,但 8 支續接器共有 5 處因銲道破壞而脫離鋼柱,剪力榫最多只傳遞 20%RC 梁剪力,因無法有效傳遞梁剪力至柱。
- 3. 試體三 RC 梁(鋼拱頭),雖續接器仍保持完整,當反覆載重施力達到 0.04 rad 第一圈時,剪力裂縫出現在鋼拱頭末端處,造成強度下降,未能達到 0.04 rad 梁柱接頭不產生破壞的要求。層間變位角 0.04 rad 時試驗中仍能完成兩圈加載,但混凝土大幅剝落、梁底主筋明顯挫屈、箍筋及繫筋未有較大變形脫落等現象,未能達到 0.04 rad 梁柱接頭不產生破壞的耐震要求。
- 4. 本實驗試體箍筋為開口式箍筋搭配上蓋繫筋,多數箍筋的頂蓋繫筋在 0.04 rad 拱起彎曲,同時也對主筋失去圍東效果,因此未來應進一步研究 如何降低頂蓋繫筋在 0.04 rad 梁層間側位移角前的破壞。
- 5. 試體一 SRC 鋼梁由於未採用韌性削切或加勁的方式,因此上翼板於層間變位角 0.04 rad 斷裂,未滿足耐震規範要求,故建議未來需在規範中加入 SRC 鋼梁需採韌性切削或加勁規定,並於後續實驗研究驗證其耐震性能,降低 SRC 梁柱界面的銲道及鋼梁腹板扇形銲接開口的應力需求。
- 6. 關於續接器銲接施工及檢驗查核,是確保梁主筋以續接器銲於鋼柱翼板上以續接主筋之必要條件。參考美國銲接學會(AWS)或鋼構造建築物鋼結構施工規範之規定。續接器接頭型式(立式或臥式)均為普及的銲接工法,本研究提供本案廠商銲接程序供參考(附錄9)。檢驗上除續接器的相關檢測、試驗外,鋼構廠施工後的銲道檢驗,可參照 CNS 相關非破壞檢測規定,如 CNS13341 鋼結構銲道磁粒檢測法。
- 7. 對包覆填充型鋼管混凝土柱與梁主筋以續接器連接接頭進行試驗,觀察分析其接頭力學傳遞行為及破壞行為。建議增加後續實驗研究驗證其耐震性能,並於111年11月21日舉辦1場工程研討講習會,提供產業技術交流,以落實研究成果,其活動議程及講員可參見附錄10。

第二節 建議

本研究以國內業界習用的包覆填充型鋼骨混凝土柱與鋼筋混凝土梁 2 種接合方式(剪力榫及鋼拱頭)及與鋼骨鋼筋混凝土梁之接合形式(翼板現場銲接及腹板現場螺栓接合)製作 3 支試體進行實驗,經實驗發現,尚未能滿足耐震規範要求,建議後續繼續進行相關研究及實驗,以釐清並改善實務應用之耐震安全性能。

建議一

包覆填充型鋼骨混凝土柱與鋼筋混凝土梁接頭耐震性能之精進研究:立即 可行建議

主辦機關:內政部建築研究所

協辦機關:中華民國地震工程學會

- 梁柱接頭剪力傳遞機制研究:本研究發現剪力榫及鋼拱頭配置的剪力 釘提供之剪力強度遠大於試驗剪力之需求,但剪力釘並未如預期發揮 傳遞剪力的功能,建議未來可針對梁柱接頭剪力傳遞機制進行研究, 包括:本研究所進行剪力榫及鋼拱頭長度、寬度及位置等參數之改良、 鋼骨鋼筋混凝土構造設計規範與解說第8.7節建議接合方式或創新梁 柱接合方式等進行實驗研究,以提升梁柱接頭耐震性能。
- 剪力釘銲於鋼柱之接合方式耐震性能實驗研究:剪力釘直接銲於鋼柱 之接合方式,亦為國內業界常用的包覆填充型鋼骨混凝土柱與鋼筋混 凝土梁接合方式,惟尚未經過實驗研究驗證其耐震性能,建議納入未 來後續研究課題。

建議二

包覆填充型鋼骨混凝土柱與鋼骨鋼筋混凝土梁之接合形式(翼板現場 銲接及腹板現場螺栓接合)之精進研究:立即可行建議 主辦機關:內政部建築研究所

協辦機關:中華民國地震工程學會

SRC柱保護層厚度與鋼梁翼板切削研究:本研究顯示,SRC鋼梁上翼板產生斷裂,建議SRC鋼梁翼板應做切削。另SRC梁鋼骨的扇形銲接開孔需要埋入SRC柱混凝土之保護層厚度,建議列為後續研究。

- 鋼筋續接器銲接柱內連續板厚度比例關係:建議後續可進行鋼筋續接 器與箱型柱或鋼管柱,柱內連續板厚度比例關係的研究,另目前國內 業界很需要續接器與連續板存在偏心時之試驗成果,以作為實務上設 計施工依據準則,建議納入未來後續研究。
- 不同間距之鋼筋續接器試驗研究:建議模擬探討不同間距下鋼筋續接器的施工性,並進行配置不同間距之鋼筋續接器試驗,提供量化結果 做為國內業界設計參考。

參考文獻

- 日本建築學會 (1994),「鐵骨鐵筋混凝土構造配筋指針(案)同解說」, Architecture Institute of Japan (AIJ),東京。
- 內政部建研所 (1996),「鋼骨鋼筋混凝土構材與接合之耐震細部設計準則」。
- 內政部營建署 (2010),「鋼結構極限設計法規範及解說」。
- 內政部營建署(2011),「鋼骨鋼筋混凝土構造設計規範與解說」。
- 內政部營建署(2020),「建築技術規則」。
- 內政部營建署(2021),「混凝土結構設計規範」。
- 李台光 (2020),「鋼筋混凝土梁主筋與鋼柱續接設計之探討」,內政部建築研究所。
- 周中哲、劉郁芳、周德光、黃司睿、陳蓮安 (2021),「鋼骨鋼筋混凝土構造 設計規範柱及接合設計之修正研擬」,內政部建築研究所期末報告。
- 陳正誠 (2004),「鋼筋續接器續接設計規範與施工規範及解說研修」,內政部 建築研究所。
- 陳純森 (2011),「鋼筋續接器連接鋼骨之正當性探討」, 技師報第 782 期, 台灣省土木技師公會。
- 陳正平 (2017),「SRC 結構對於 RC 梁主筋與鋼柱間之續接設計與施工」, 技師報第 1064 期,台灣省土木技師公會。
- 陳正平 (2017) 「鋼筋混凝土梁與鋼箱柱間之接頭採鋼托梁轉接模式之探討」, 技師報第 1082 期,台灣省土木技師公會。
- 陳正平 (2018),「鋼筋續接器銲於鋼柱上,作為鋼筋與鋼柱間之續接是否不符合設計規範之規定?」,技師報第 1117 期,台灣省土木技師公會。
- 劉郁芳、周德光、周中哲、黃司睿、陳蓮安、陳冠儒 (2021),「臺灣鋼骨鋼筋混凝土構造設計規範柱及梁柱抗彎接頭條文修訂計畫」,國家地震工程研究中心技術報告,NCREE-21-015。
- 劉郁芳、周德光、周中哲、黃司睿、陳蓮安(2022),「臺灣鋼骨鋼筋混凝土構造規範之柱及梁柱接頭設計條文修訂發展」,結構工程,第三十七卷第三期 第5-25頁 (2022)。
- ANSI/AISC 360-10 An American National Standard- Specification for Structural Steel Buildings(2010)
- ANSI/AISC 341-16 Seismic provisions for structural steel buildings (2016)
- Adibi, M., Marefat, M.S., Esmaeily, A., Arani, K.K., and Esmaeily, A. (2017). "Seismic Retrofit of External Concrete Beam-Column Joints Reinforced by

- Plain Bars Using Steel Angles Prestressed by Cross Ties." Engineering Structures, 148, 813-828.
- Albright, A., Argentoni, A., Calvi, P.M. (2022). "Experimental Behavior of Interior and Exterior Steel-Concrete Composite NPS® Beam-Column Joints." Engineering Structures, 251, 113589.
- Chou, C. C., and Uang, C. M. (2002). "Cyclic performance of a type of steel beam to steel-encased reinforced concrete column moment connection", Journal of constructional steel research, Vol 58, pp. 637-663.
- Feng, S., Guan, D., Ni, L., Lin, Y., Liu, Z., Guo, Z., and Li, G. (2022). "Experimental Study on Seismic Behavior of Joints Connecting Precast H-Steel Reinforced Concrete Beams and Concrete-Filled Steel Tube Columns." Journal of Building Engineering, 45 (2022) 103444
- Gautham, A. and Sahoo, D. R. (2022). "Performance of SRC Column-RC Beam Joints Under Combined Axial and Cyclic Lateral Loading." Engineering Structures, 260, 114218.
- Pan, P., Lin, X., Lam, A., Chen, H., and Ye, L. (2014). "Monotonic Loading Tests of Ring-Beam Connections for Steel Reinforced Concrete Columns and RC Beams." American Society of Civil Engineers
- Shin, K.-J. Kim, Y.-J., and Oh, Y.-S. (2008). "Seismic Behaviour of Composite Concrete-Filled Tube Column-to-Beam Moment Connections." Journal of Constructional Steel Research, 64, 118-127.

附錄一 第一次專家學者會議與紀錄

一、 **會議時間**:111 年 5 月 6 日(星期五)下午 3 時 00 分~5 時 00 分

二、 會議地點:國家地震工程研究中心 413 會議室

三、 出席人員:

會議主席:周中哲

委員(依姓名筆劃排序):尤信評、栗正暐、張敬昌、陳誠直、

陳正平、陳煥煒、陳俊翰、劉俊秀

內政部建築研究所:蔡綽芳、陶其駿、李台光

中華民國地震工程學會:周中哲、劉郁芳、周德光、趙品鈞

會議紀錄:周德光

四、 會議內容:

- 後續研究建議加入續接器與柱連續板厚度比例的關係及考慮偏心 變數,可用局部構件試體進行試驗,業界非常需要了解此種接頭試 驗成果。
- 2. 續接器傳遞力量經過柱板擴散到連續板,銲道的有效寬度應大於續接器,如此才能順利傳遞力量,一般業界常以柱板厚度5倍+柱連續板厚度,如試體一目前設計型式:5*19mm+25mm=120mm大於續接器直徑56mm,建議後續研究可採降低柱板厚度為變數,以訂定柱板厚度倍數最小值。
- 續接器以施工性考量最小間距至少為 100mm,目前試體續接器間 距皆有 100mm,此等設計尚屬合理。
- 4. 合約為「包覆填充型鋼骨鋼筋混凝土柱與梁主筋以續接器接合之接 頭耐震試驗」,目前規劃試體柱為填充型鋼管混凝土柱,將在填充 型鋼管混凝土柱外包覆 10cm 混凝土,並混凝土內綁紮點銲鋼絲網 以符合合約精神。
- 5. 試體一為 SRC 梁,試體二、三為 RC 梁,除強度檢核外,RC 梁形 成塑鉸應有其韌性要求,拉力鋼筋比應小於 2.5%,壓力鋼筋與拉

力鋼筋比值應大於 0.5,檢核試體二、三是否滿足 RC 梁耐震設計規範,即對其箍筋間距配置是否滿足進行檢核。

- 6. 試體三為 RC 梁傳力至鋼骨拱頭再傳力至 CFT 柱上,鋼骨拱頭是 否會有剪力摩擦破壞產生,建議檢核是否需要設置剪力釘。
- 7. 當水平千斤頂施力加載時,試體二、三其跨距相同受力亦相同,若 有一試體先破壞,則是否會影響到另一側試體。於本試驗中水平千 斤頂作為反力相當於鉸接端,實際施力由二端垂直千斤頂作為施力 端,故有任一試體先破壞則該側垂直千斤頂就停止施力加載,如此 就不會影響到另一側試體之施力加載。
- 8. 建議試體二將剪力榫移除,直接將剪力釘打在與梁相接的柱面上, 梁端上下以保麗龍切開類似伸縮縫,使剪力傳遞不受柱外包 10cm 混凝土的影響,
- 9. 試體三鋼骨拱頭埋設長度 500mm,建議長度可降低,經由計算決定最小鋼骨拱頭尺寸。
- 五、 會議結論:將依會議結論調整試體設計,不在本案合約規定之建議事項,待未來再爭取機會進行研究或試驗。

附錄一 第二次專家學者會議與紀錄

一、**會議時間:**111 年 11 月 14 日(星期一)下午 3 時 30 分~5 時 30 分

二、會議地點:國家地震工程研究中心 804 會議室

三、出席人員:

會議主席:周中哲

委員(依姓名筆劃排序):尤信評、粱宇宸、栗正暐、陳俊翰、劉俊秀 內政部建築研究所:蔡綽芳、黃國倫、李台光

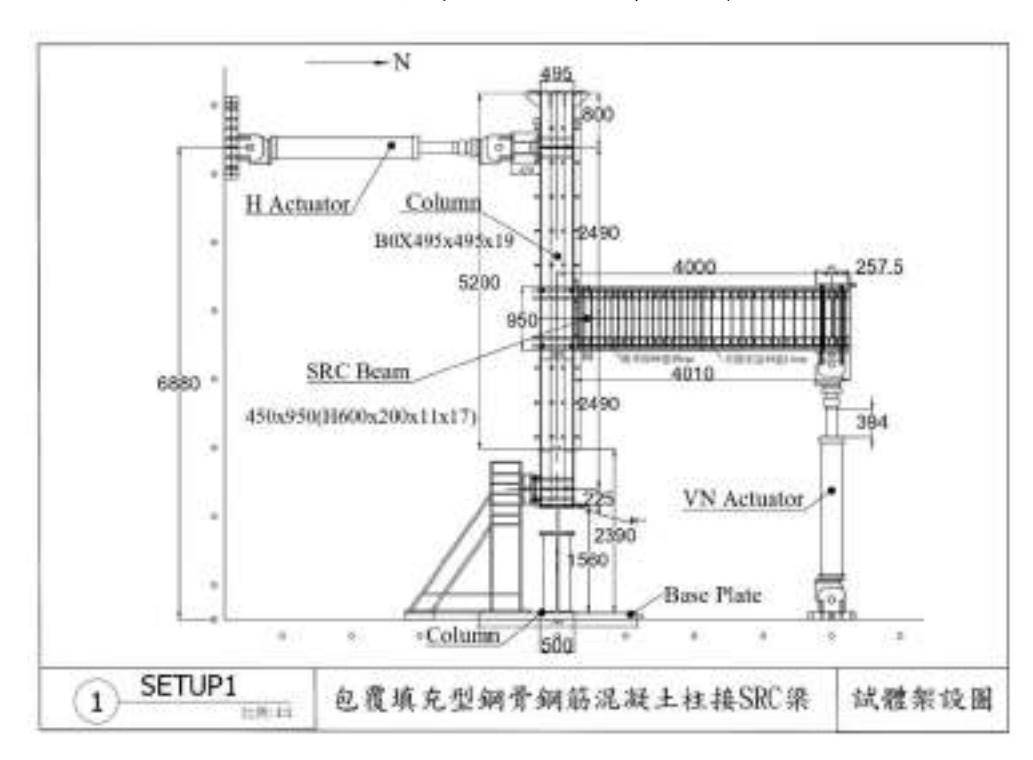
中華民國地震工程學會:周中哲、劉郁芳、周德光、林瑞綿、趙品鈞 會議紀錄:趙品鈞

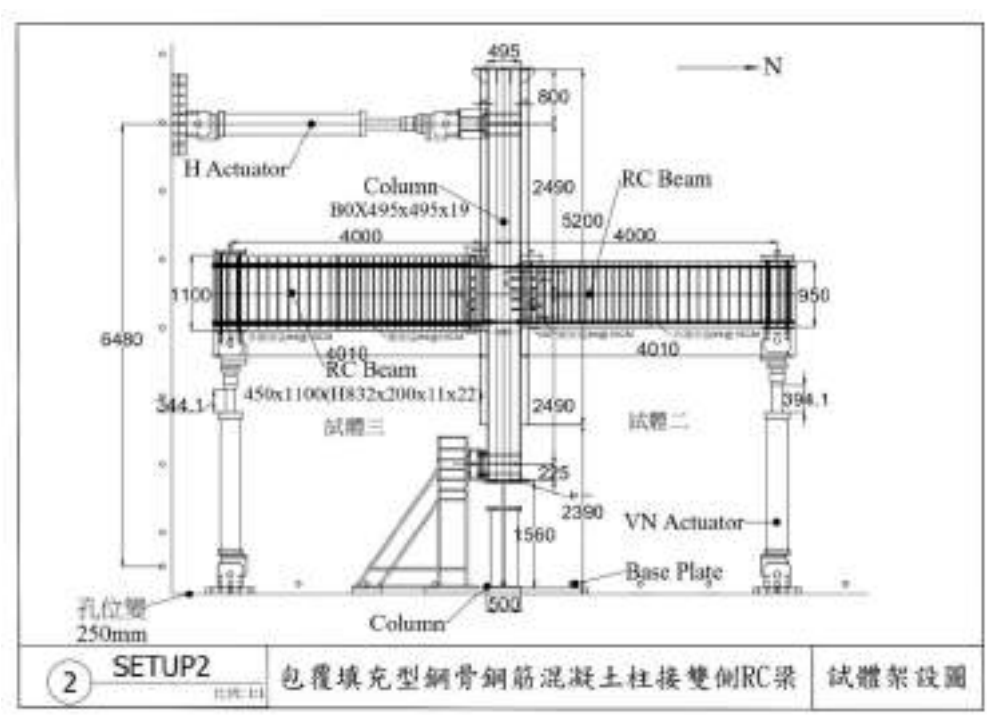
四、會議內容:

- 試體二剪力榫因剪力傳遞能力不足造成銲於柱面上之續接器因同時 承受撓曲與剪力造成破壞。
- 立式續接器開槽深度8mm、角長12mm,計算續接器銲道強度=
 0.75*PI*5cm*(1.2+0.8)cm*0.707*4.5tf/cm²=75tf,D32主筋降伏強度=4.8tf/cm²*8.14cm²=39tf。續接器銲道強度75tf>主筋降伏強度39tf,經檢查續接器設計並無問題。
- 3. 以台灣規範「強度疊加法」計算SRC梁標稱彎矩強度為2211 kN-m, 建議也可以AISC合成斷面計算強度。
- 4. 對於鋼拱頭與剪力榫之長度為多少可以傳遞足夠剪力建議未來規劃 實驗證實。
- 5. SRC梁的計算是鋼筋混凝土+鋼骨兩種材質直接疊加,但實際上合成 斷面中性軸會下移,造成其中一側的應變應力較大,造成SRC梁受 力將大於疊加計算,此為試體一於上翼板處斷裂之原因,所以SRC 梁更應該保守設計施做韌性切削。
- 6. 柱的外包覆混凝土須達到多厚才能完整保護扇形銲接口,並使得鋼梁塑鉸離開梁柱接頭不需施作切削,未來須另行規畫試驗才能得到 結論。

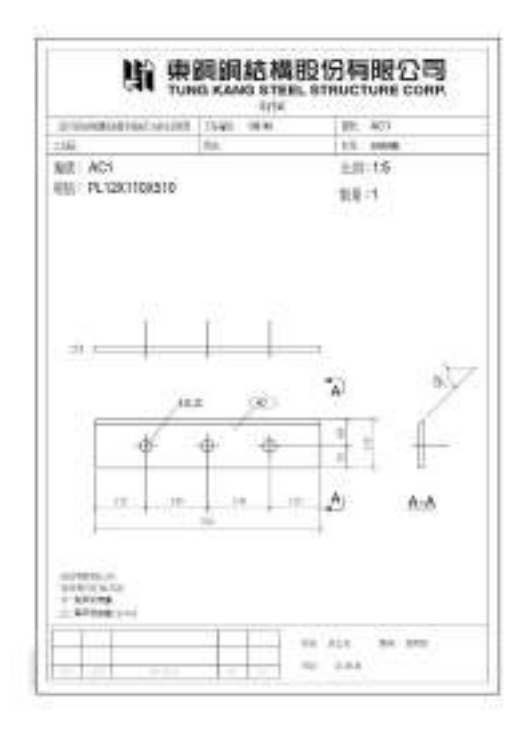
- 7. 條文修訂中,使用文字建議更精確,例如將梁明確改成SRC梁,以確保不會跟RC梁造成混淆。
- 五、會議結論:將依會議結論以及委員意見作為期末成果報告之檢討,不在 本案合約規定之建議事項,待未來再爭取機會進行研究或試驗。

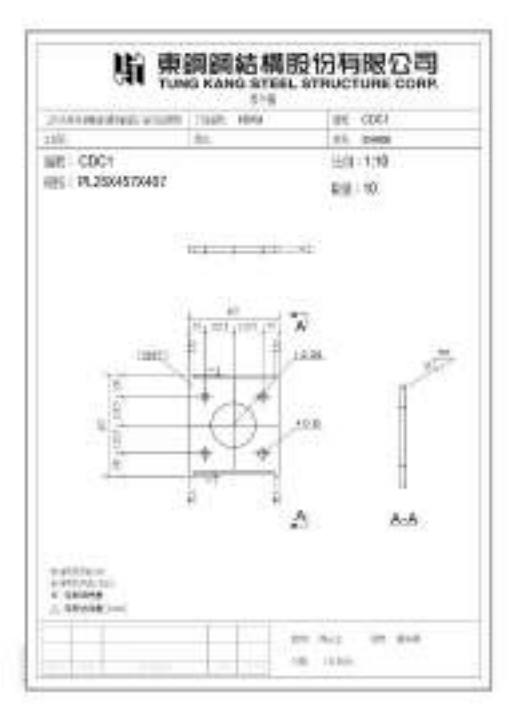
附錄二 試體佈置圖

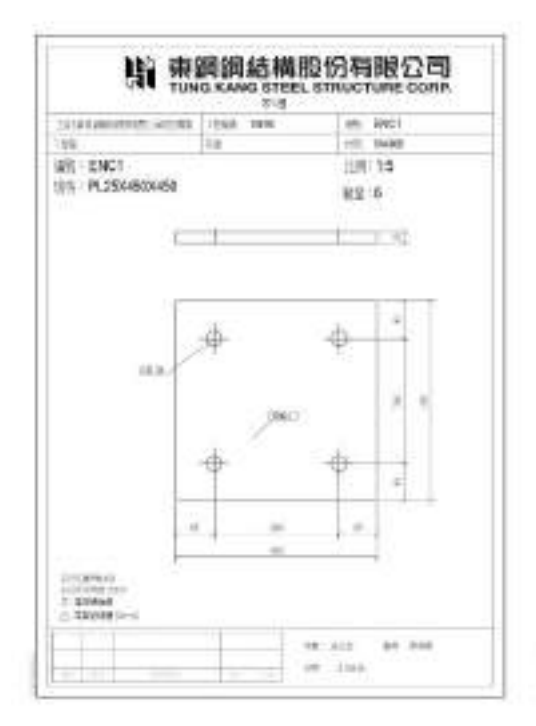


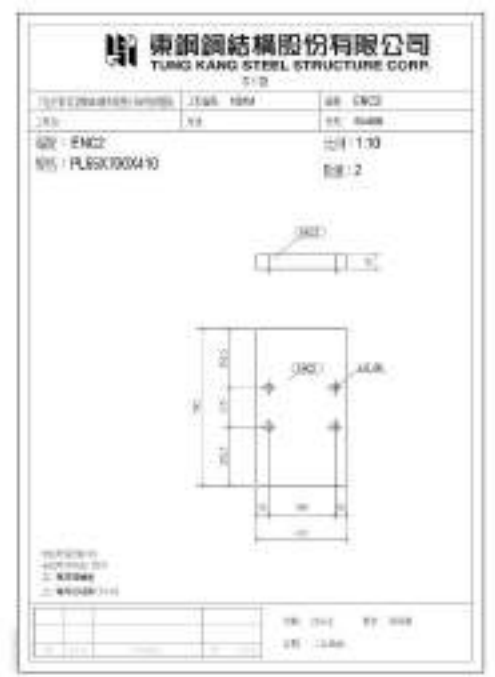


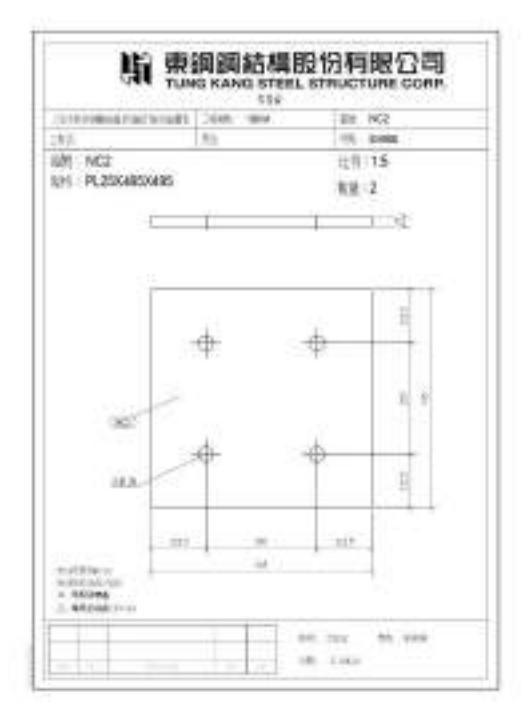
附錄三 夾具設計圖

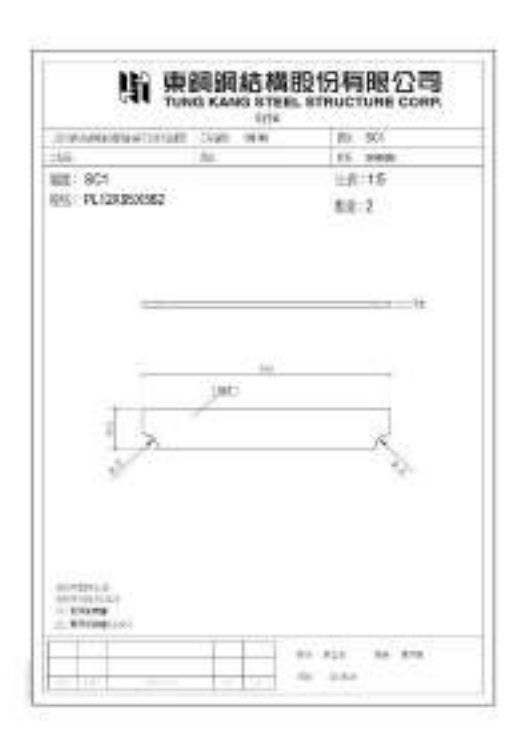




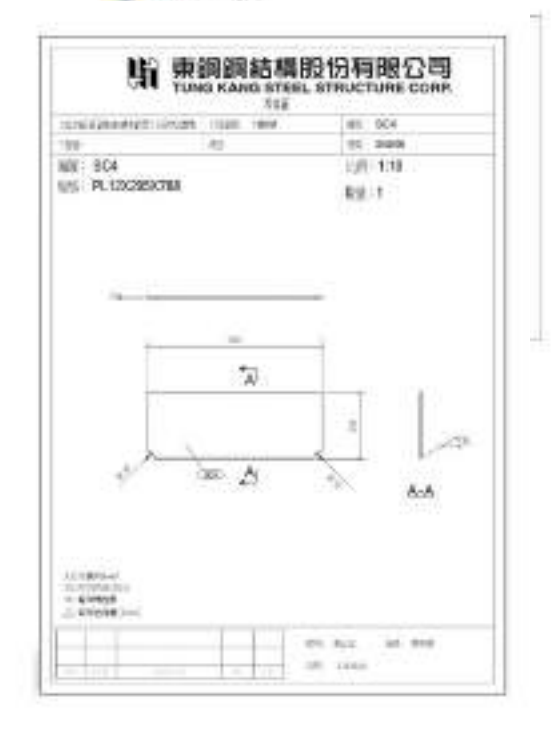


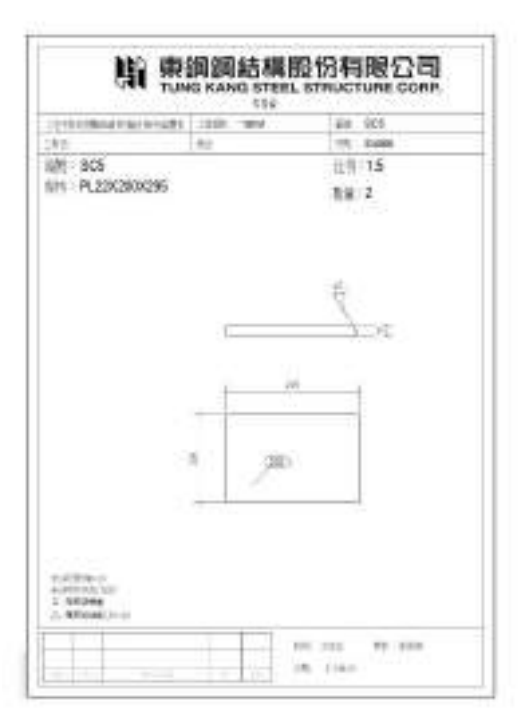


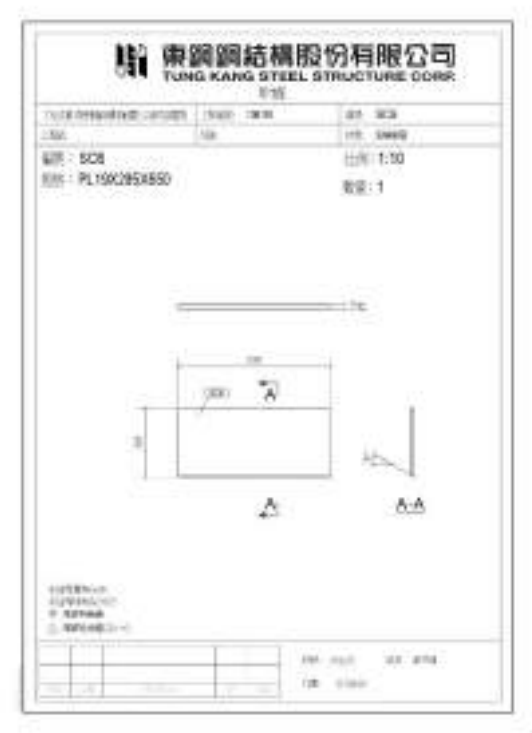


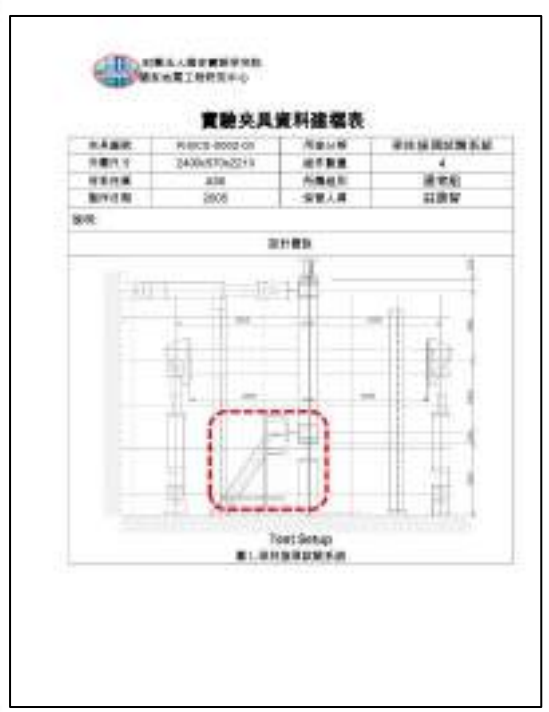


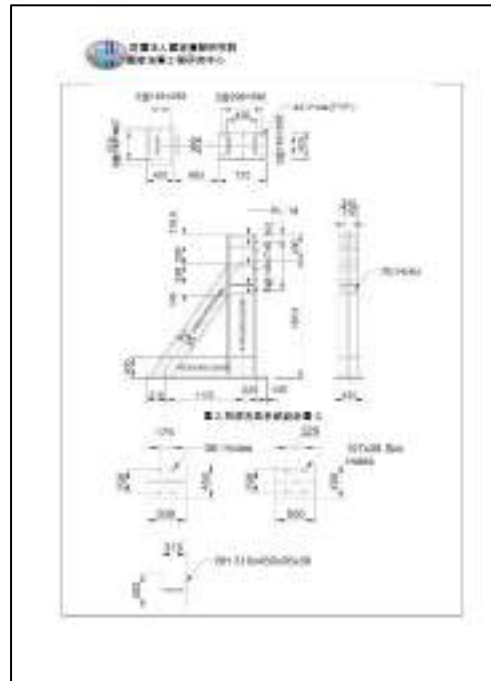


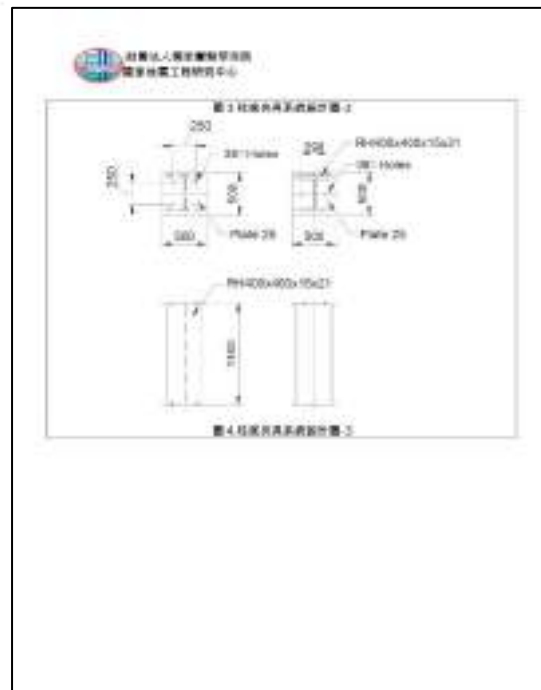


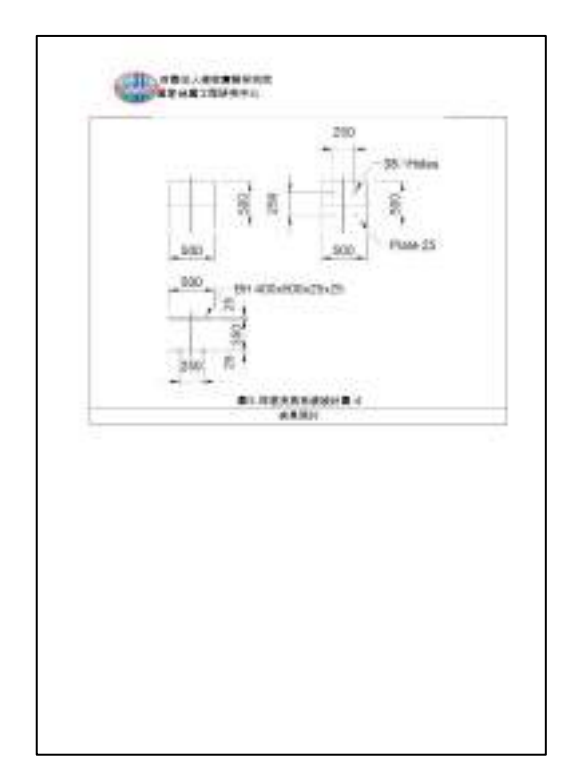




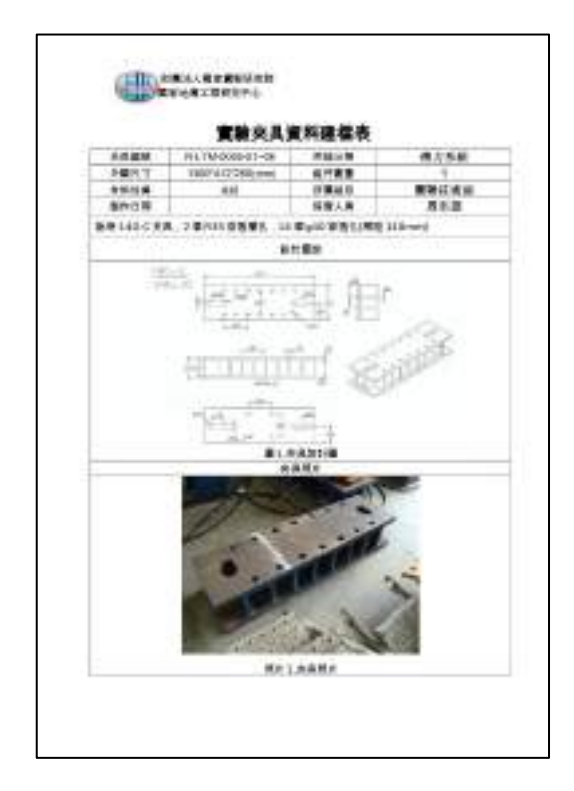






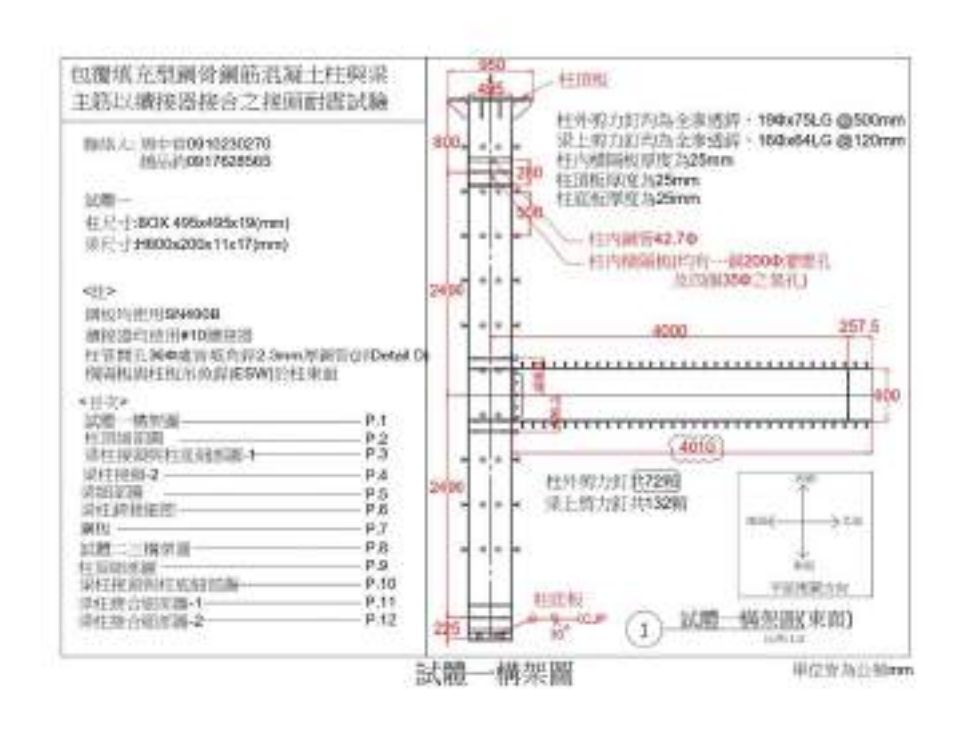




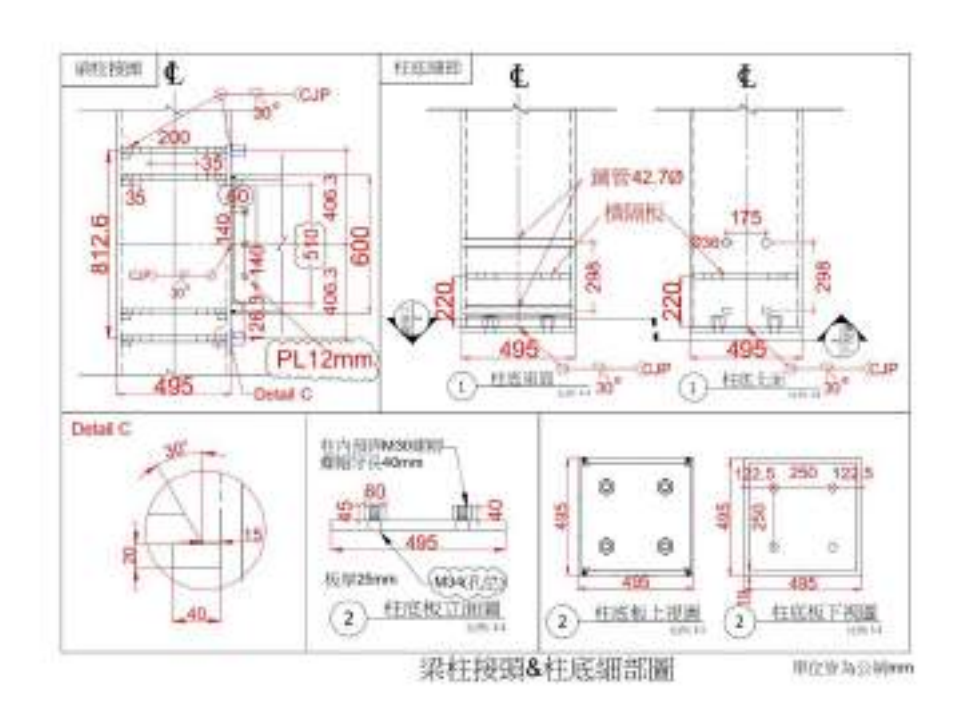


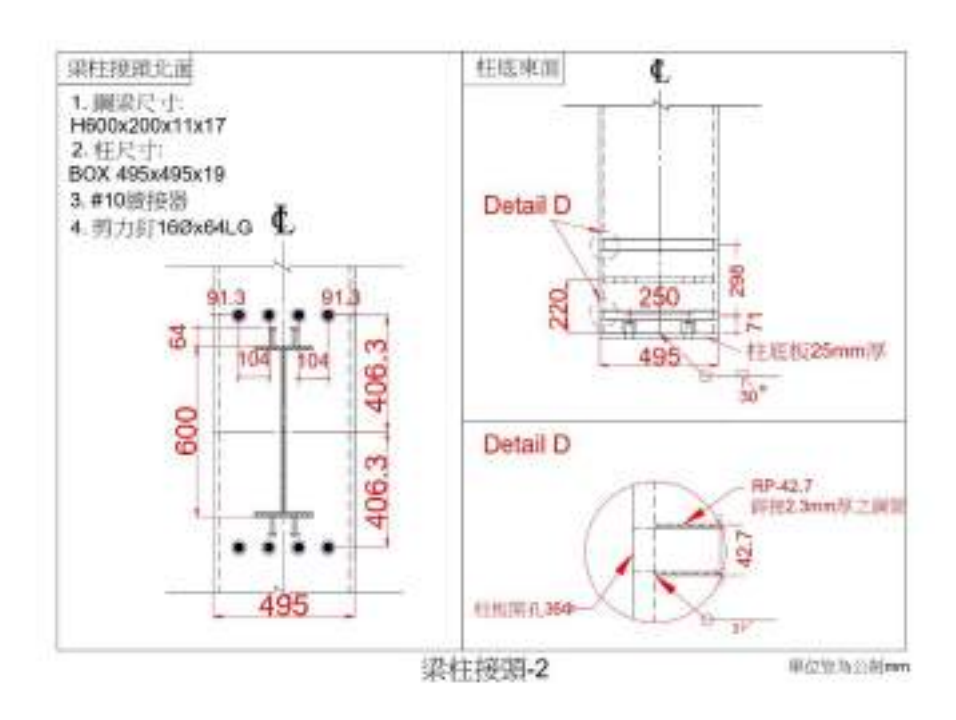
2

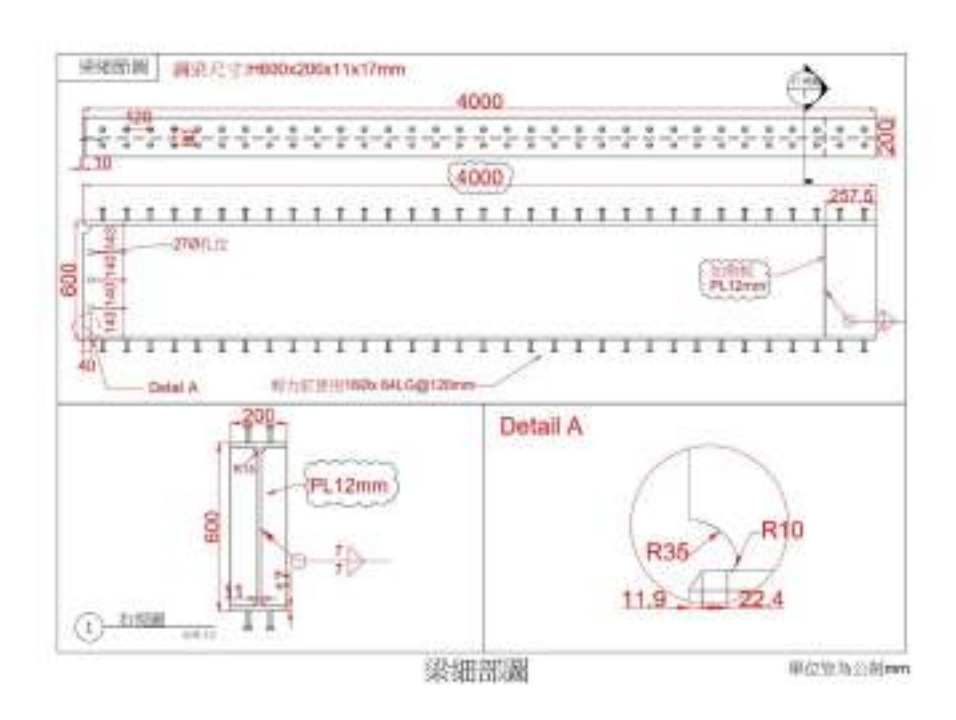
附錄四 鋼構試體發包圖

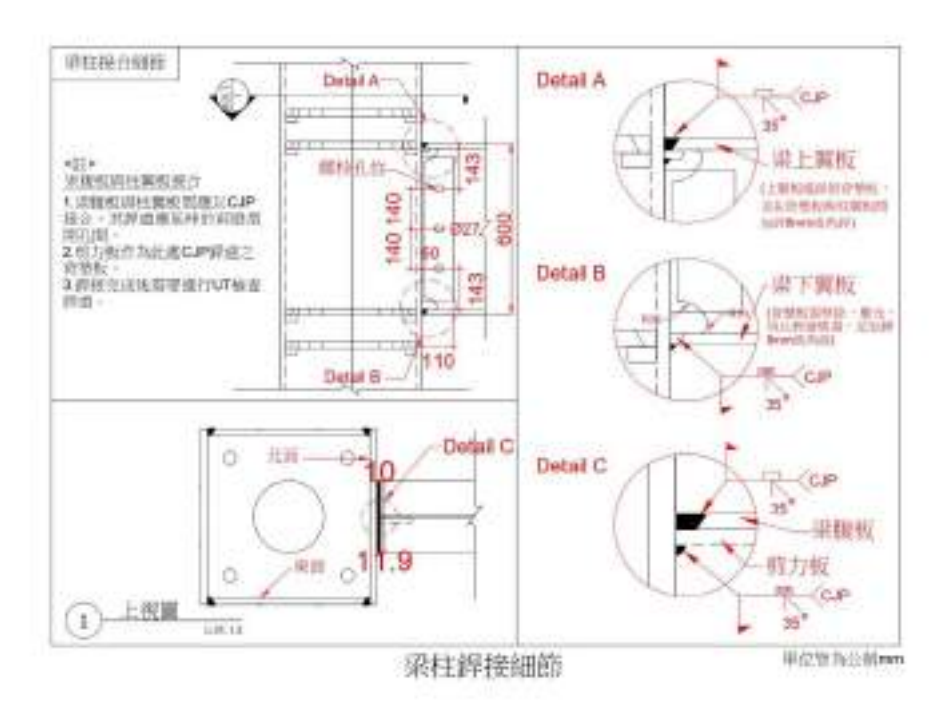


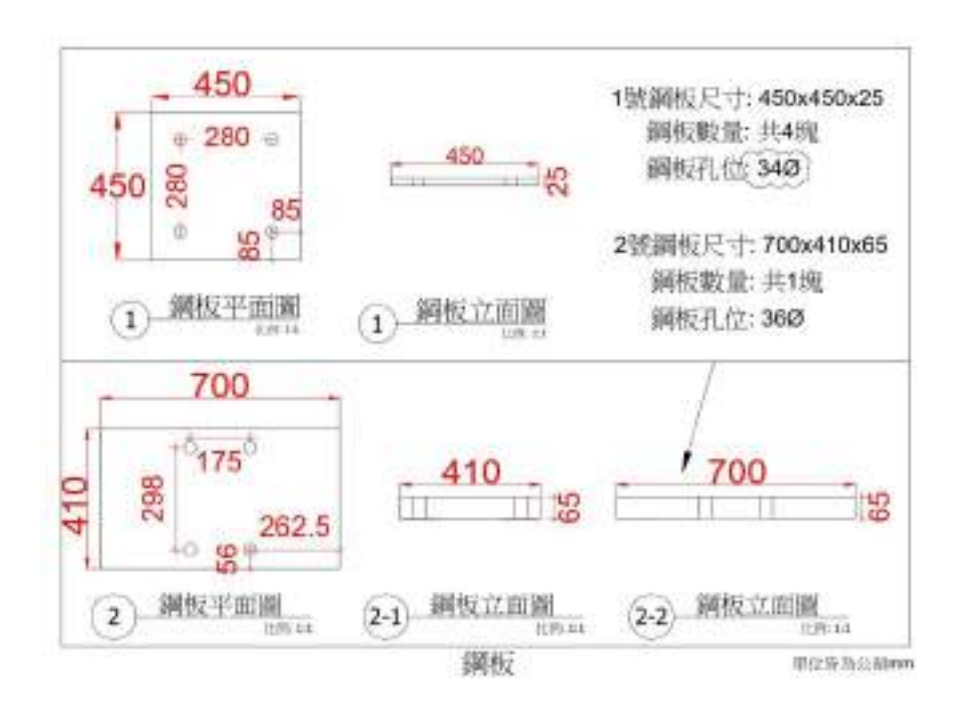
T 30 T 前力訂使用19/2×75LG 銀行42.70 模划形質孔原孔等孔350 =1) 280 - 備為仮准禁則元2000 825 Detail B 825 Detail A 495 495 8 495 (2) ELASEM 柱頂東面 (3) Detail A 清明月2000 柱顶视期孔450 495 227.5 50 PL15mm Detail B 200 R30 氣孔開孔35Φ Pt-25mm-Detail B 1 下表別 上把周 (1) 柱頂細部圖 甲位亚斯公别nm





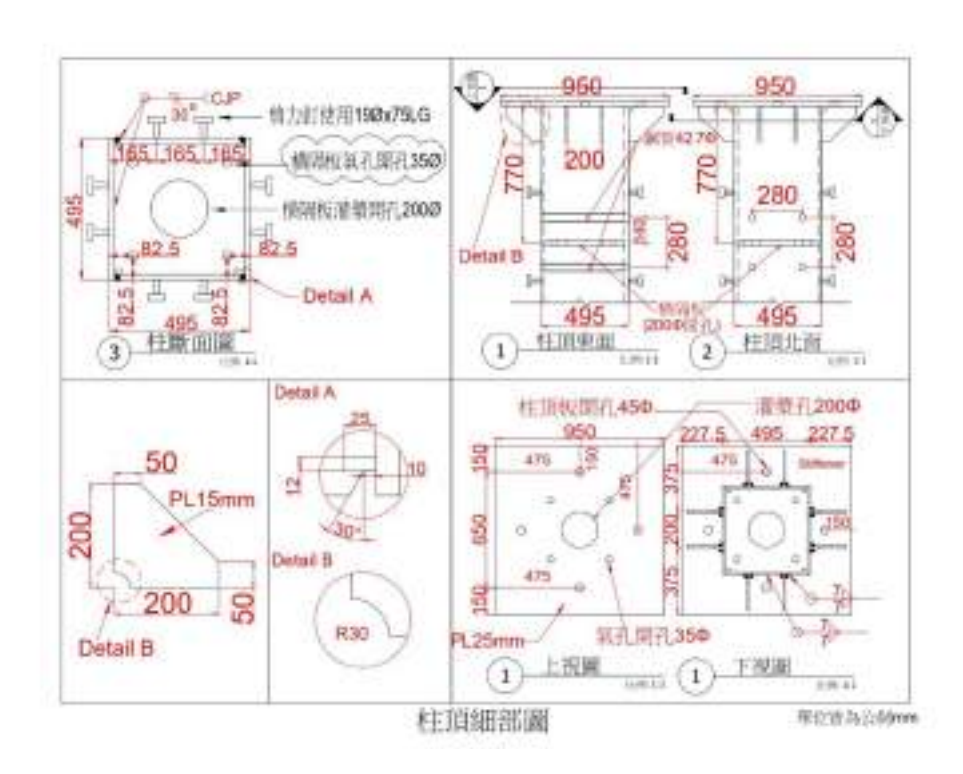


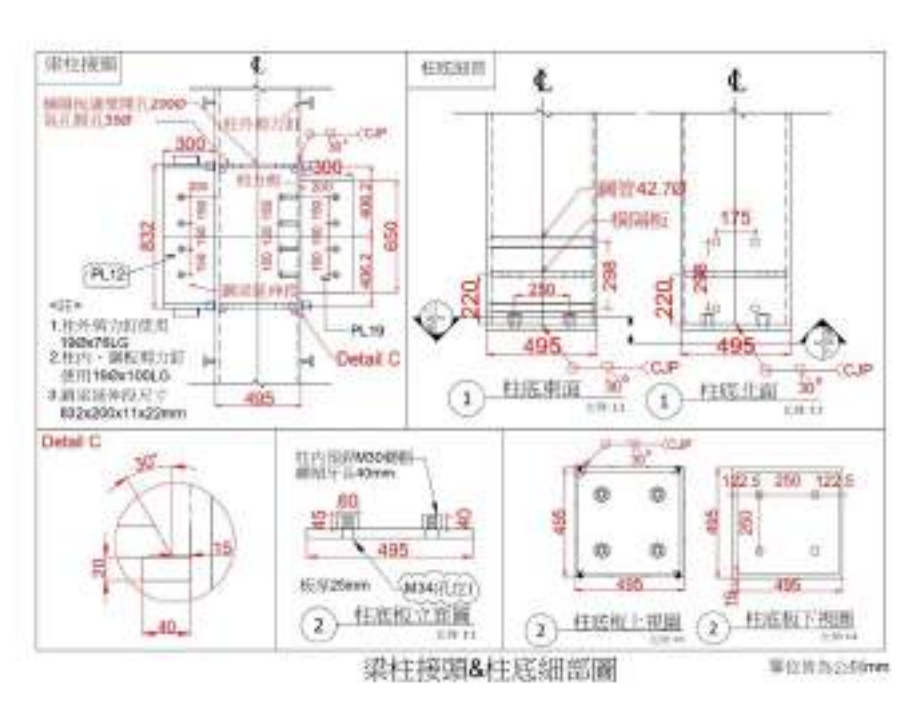


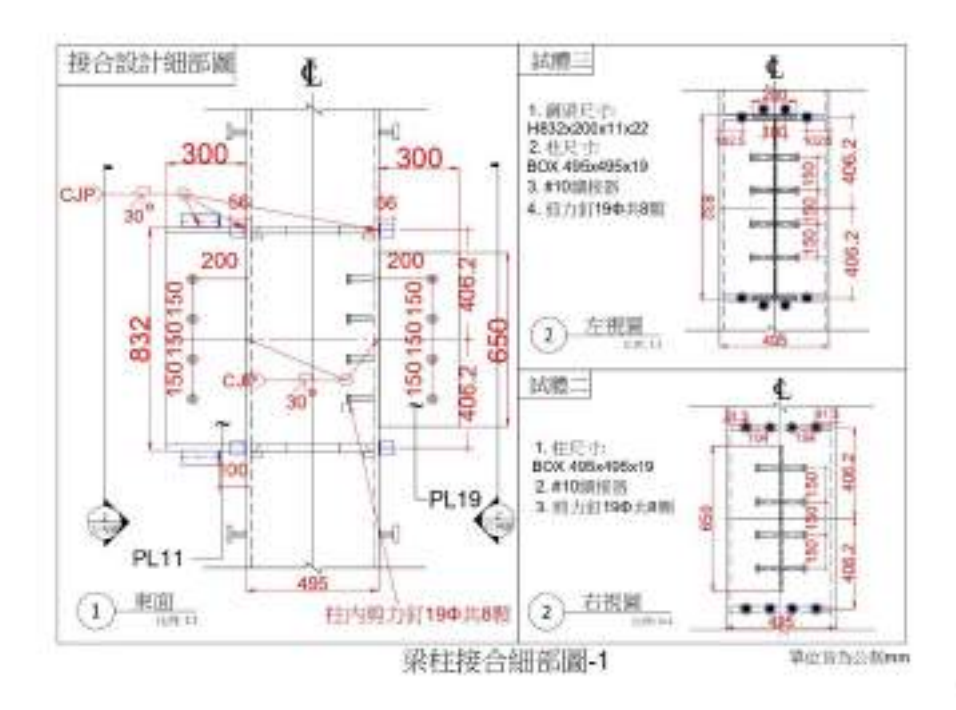


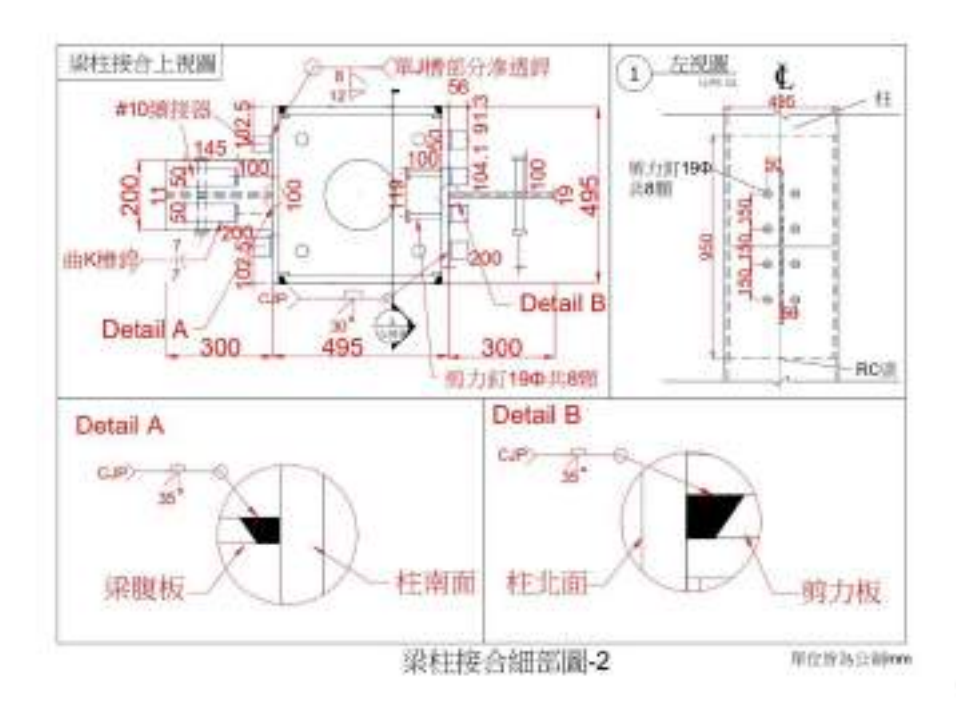
B

HEIRING Züremild 闸板均规用8N4908 性尺寸BOX 495a196x19mn 網項尺寸H832x200a11x22mm 照力特尺寸高650mm:层度19mm 相片開始較为中 托并带力到均为全来通货+194x75LG @500mm 柱内部力即均均全涨增卸+194x100LG 性的關潛板環度為25mm 試前三(無前)-20.第二(有力件) 在原制序放为25mm 紅弦影影度为25mm 栏环剪力到达72和 柱内剪力扩张器 缩隔控剪件据基的即使SAMIE 柱来面 3 B FIREWAY. CLASSIC STREET, 三樗架圖(東面) 1 田郎加 試體二三橋架圖 東京省為公司(mm



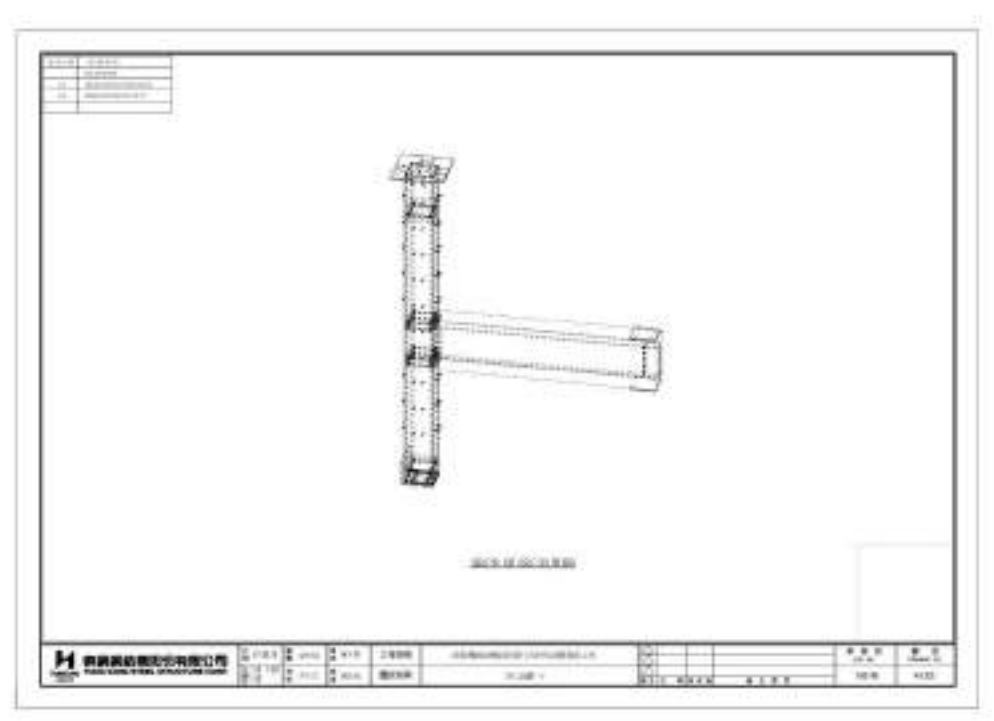


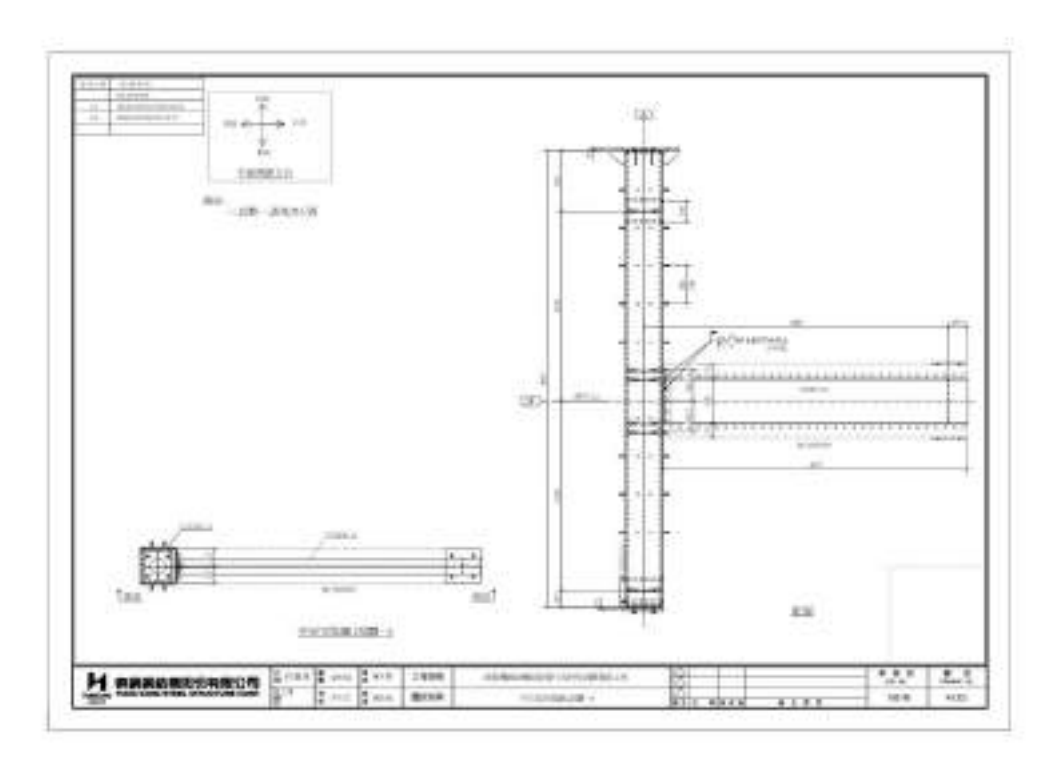


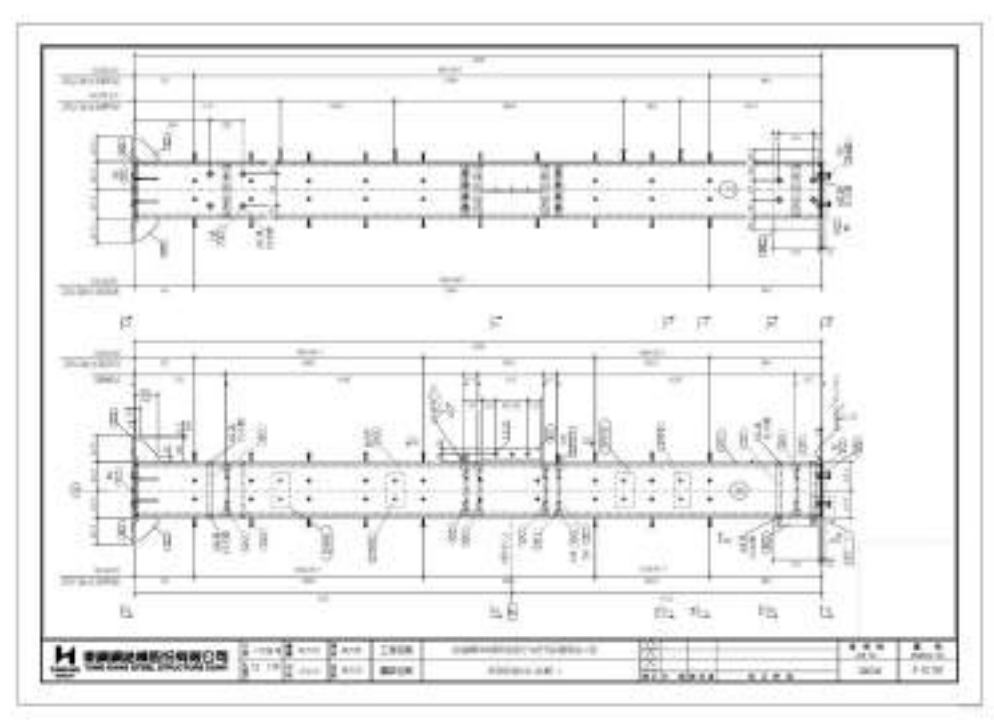


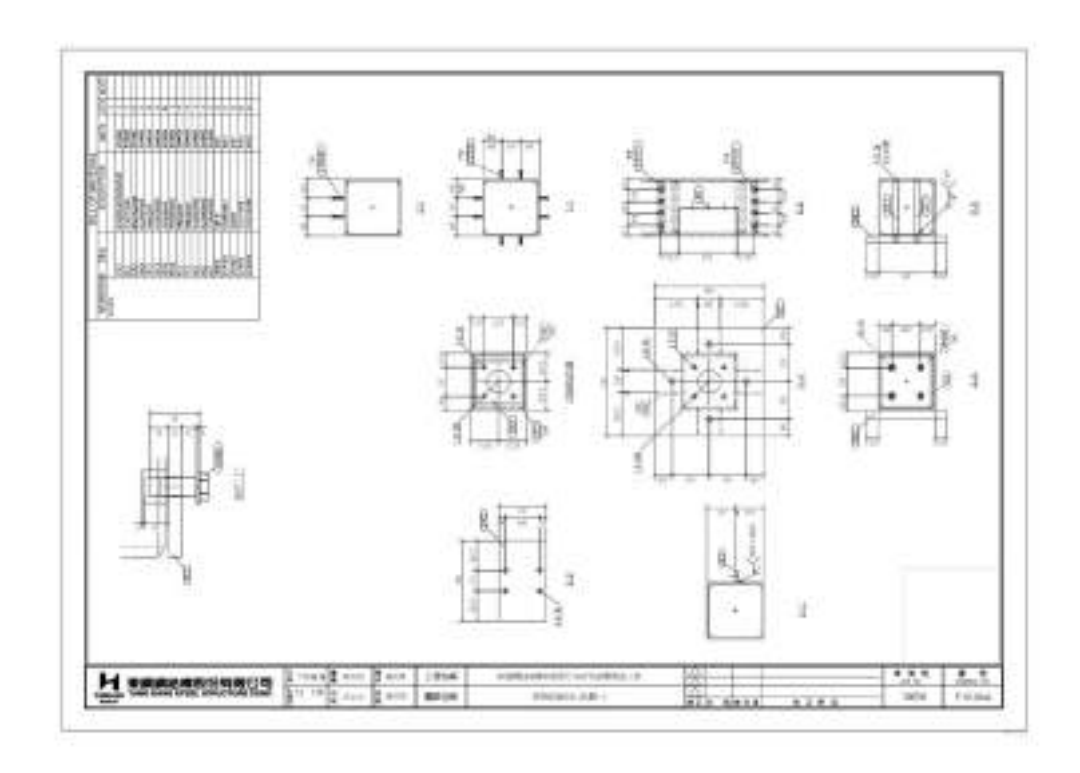
附錄五 鋼構製造施工圖

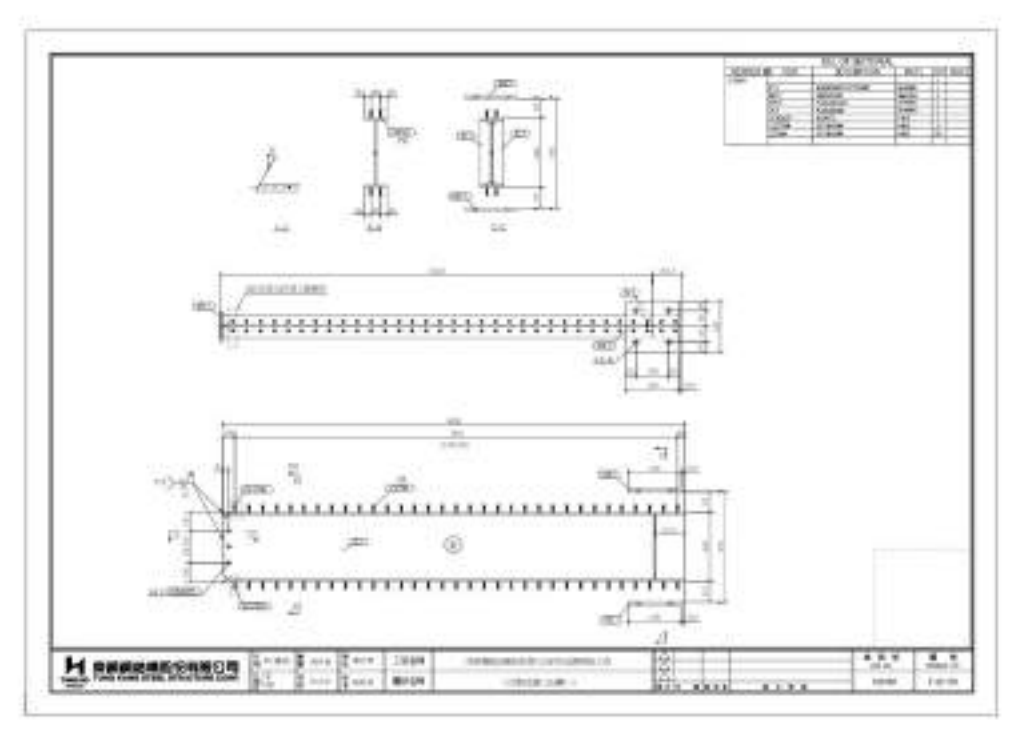




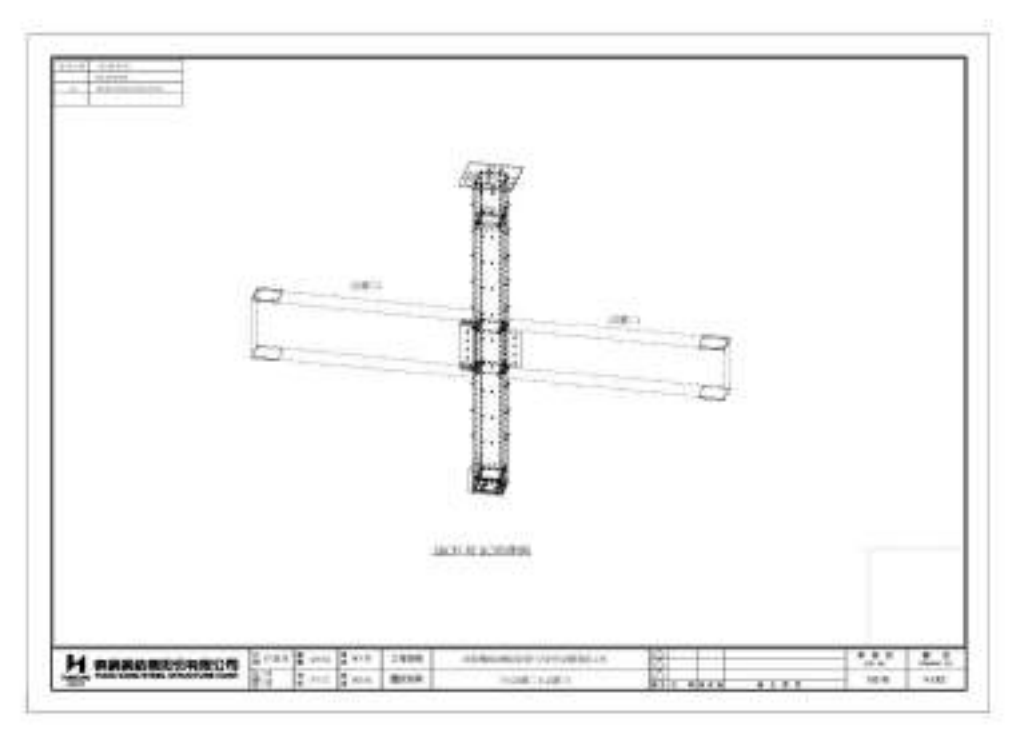


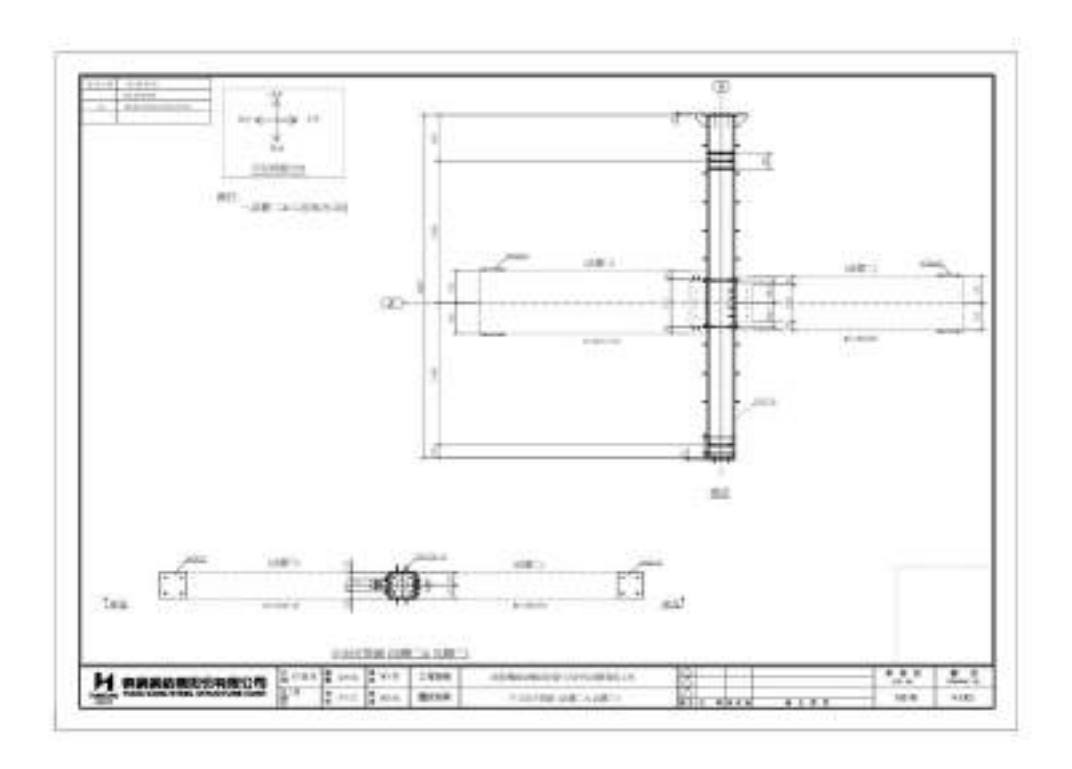


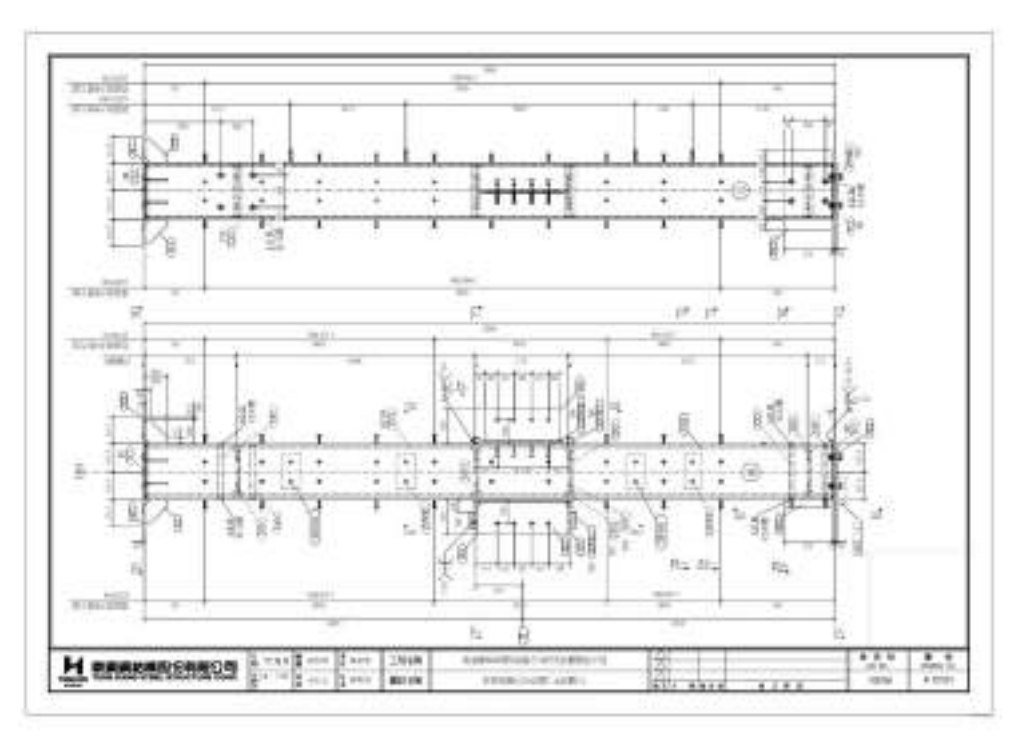


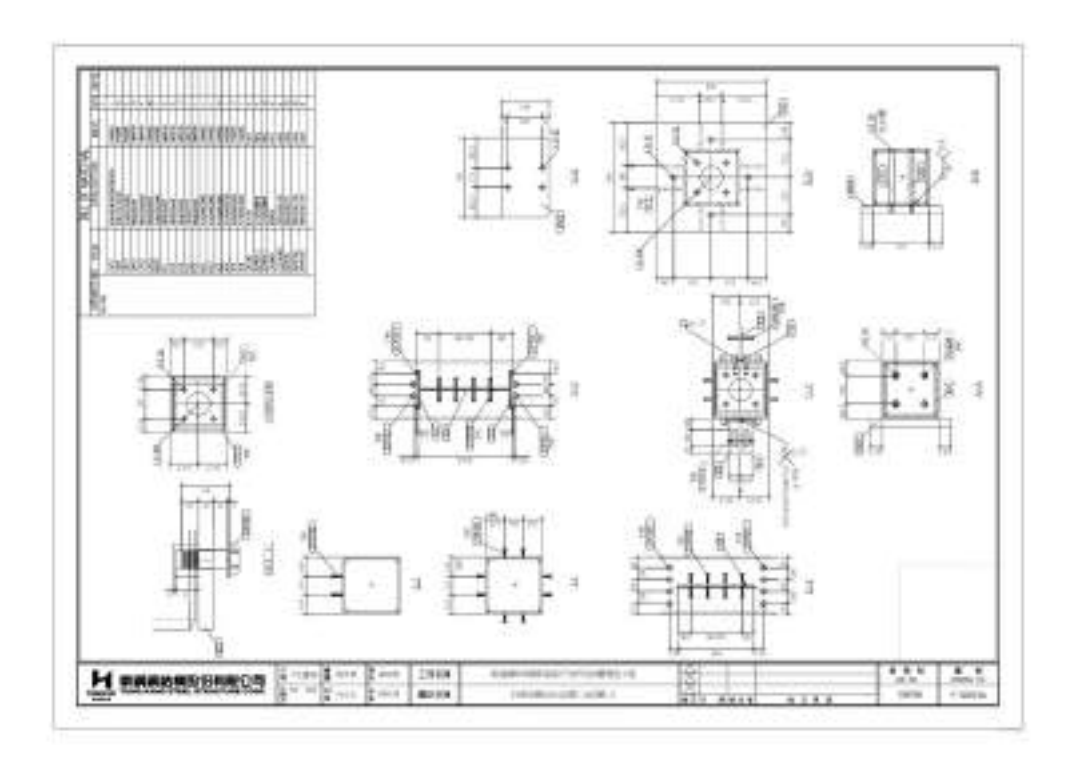


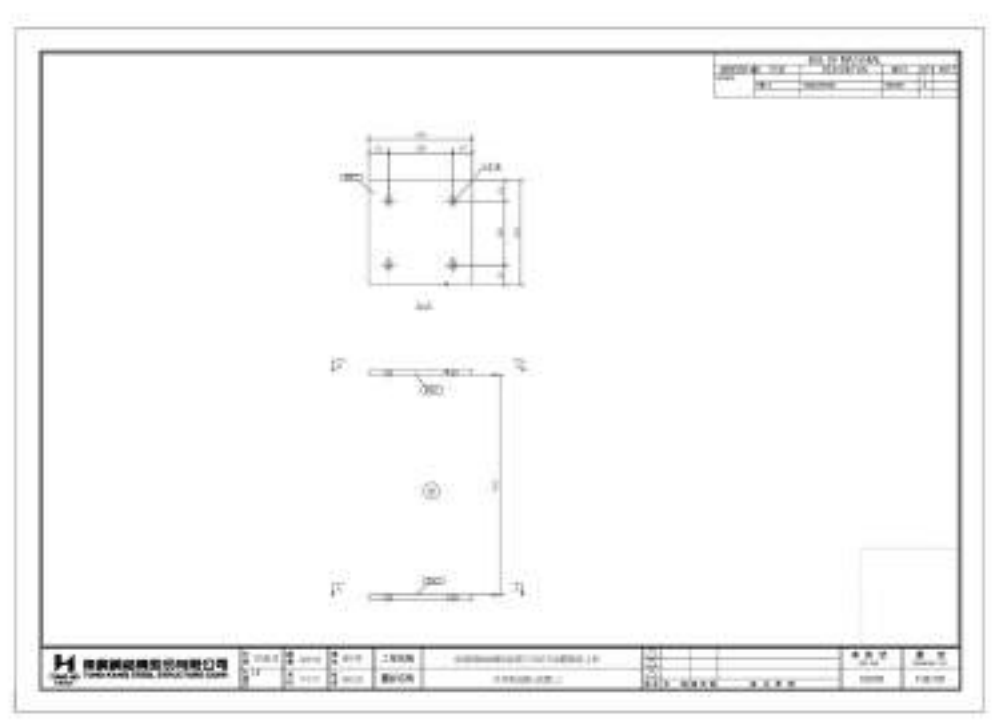


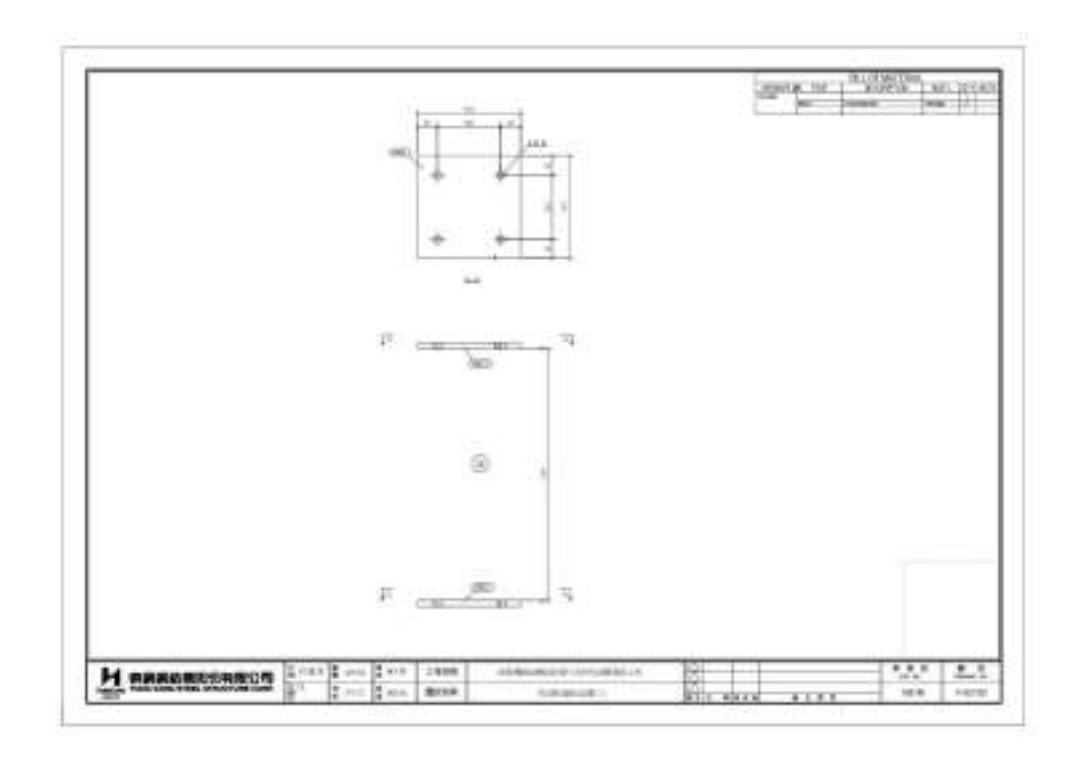




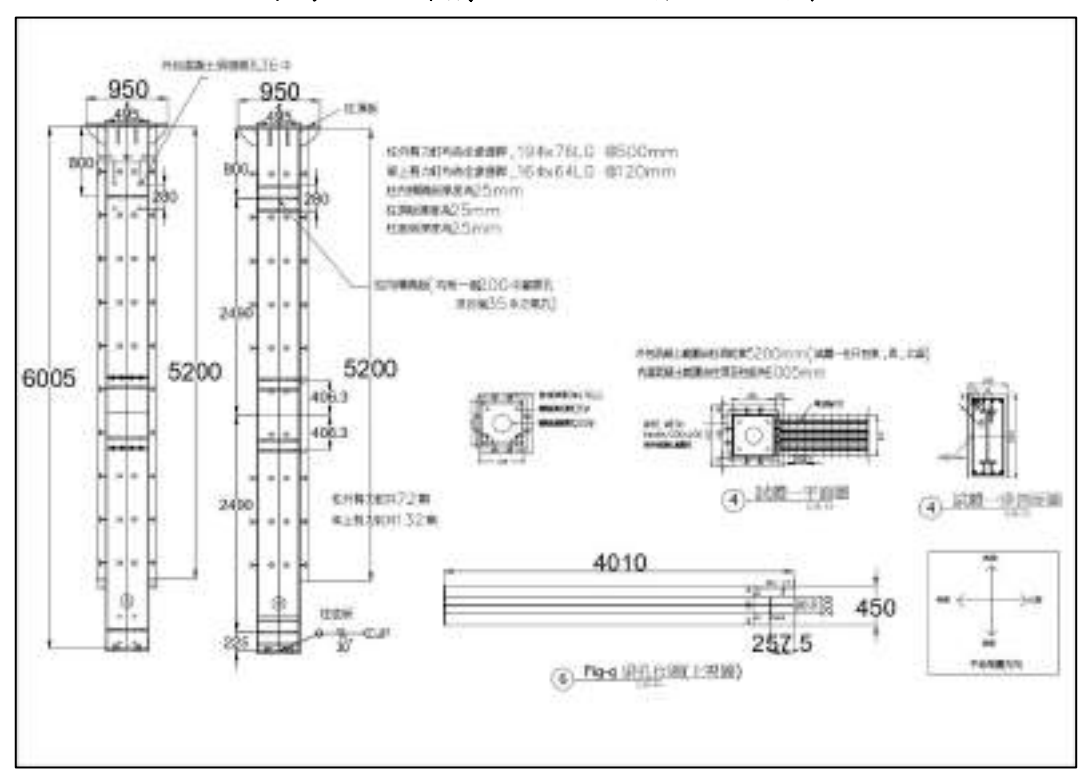


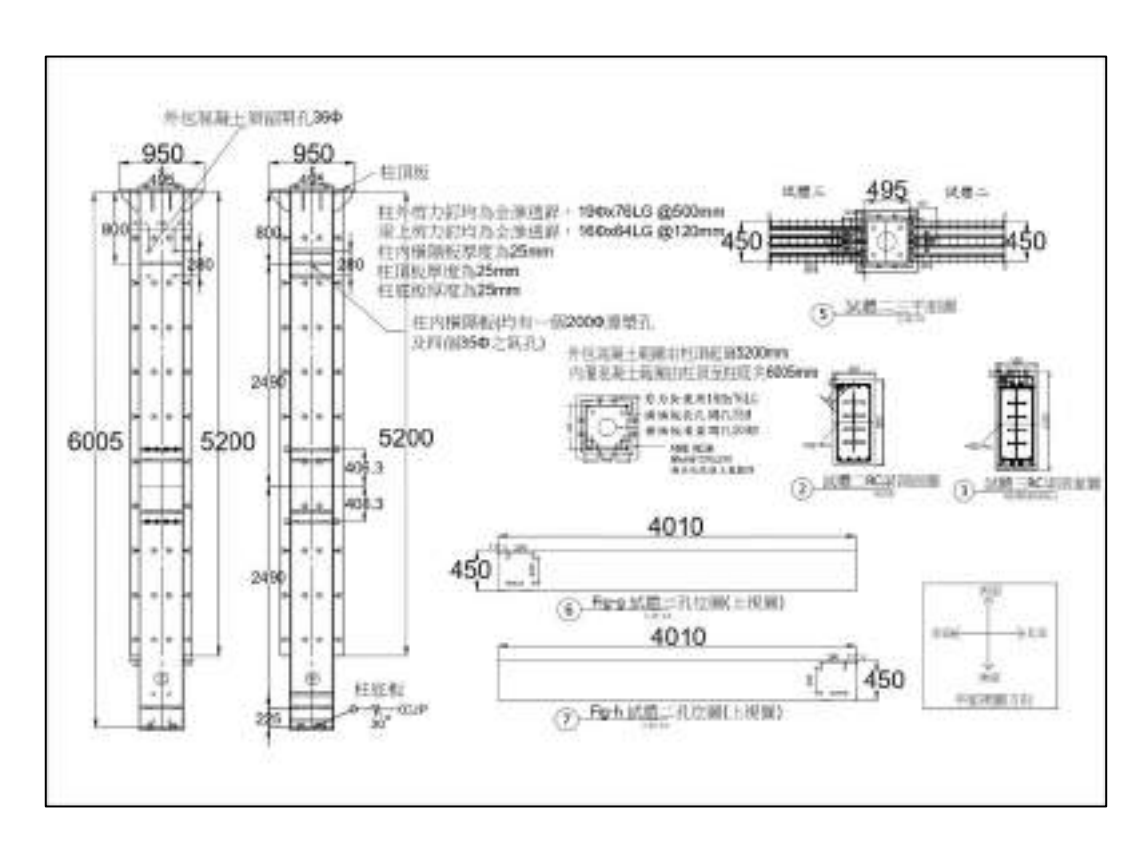






附錄六 鋼構混凝土試體施工圖





附錄七 銲接之超音波檢測(UT)報告



檢驗報告 INSPECTION REPORT

業 主:中華民國地震工程學會

CUSTOMER

工程名稱:包覆填充型鋼骨鋼筋混凝土柱與標主筋以

續接器接合試體製造工程

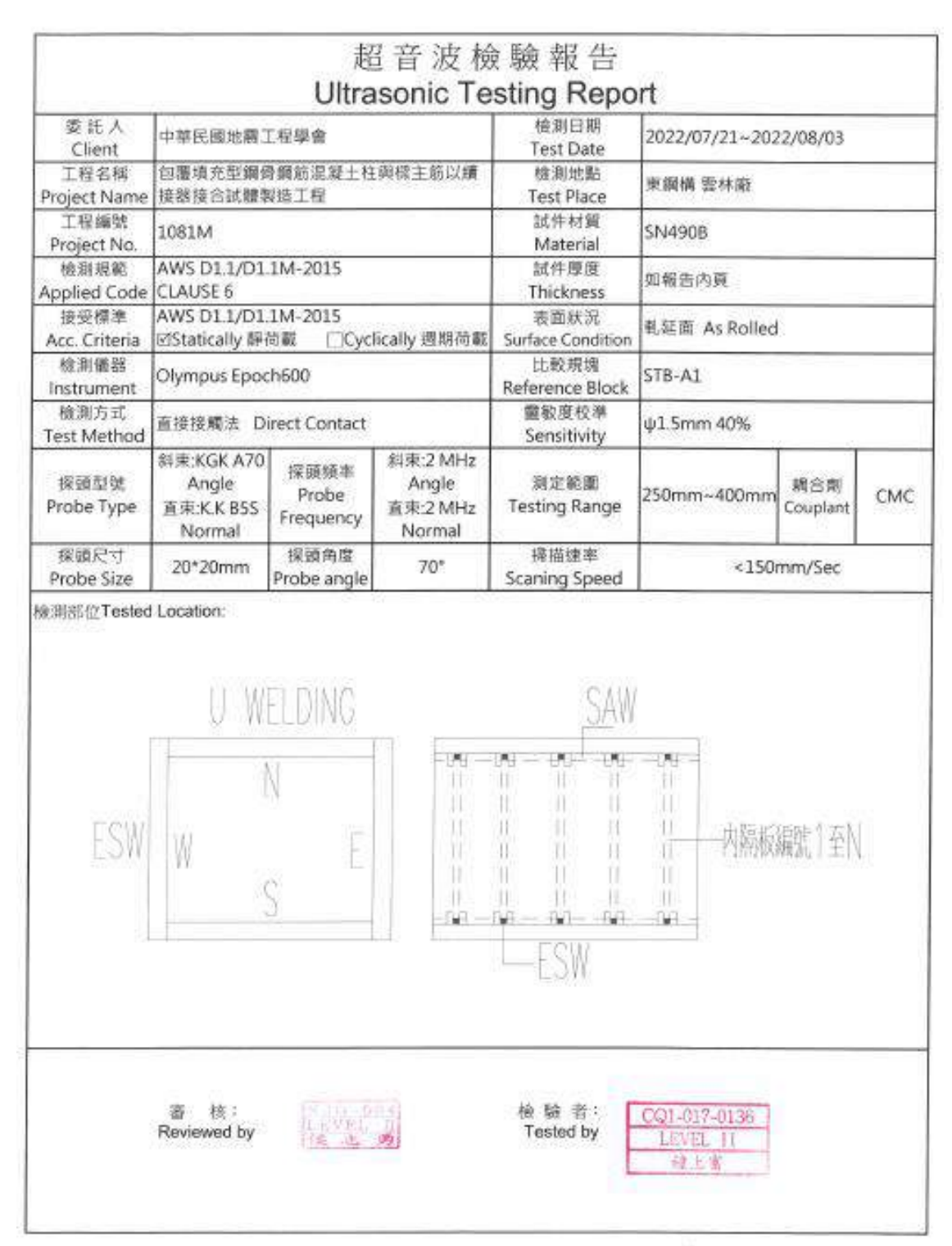
PROJECT

項 目:UT檢測

EXAM. ITEM

區 域:BOX柱

EXAM AREA



Rev. 1.1 Form No. - TKSS-W-Q000-10-03

附錄七 銲接之超音波檢測(UT)報告

				超			融 Testin			(U)						
Т		gar.	1	172	T	principal and the	分貝(D	-	enain-	1	間斷(Discon	tinu	ity)		
填次	構件編號	材料厚度	探頭角度	檢測長度	静距	顯示位準	比較位準	衰減係數	顯示評分	長度	音束距離	距A 面深 度	ń	2置 tance	同數評價	判定
Vo.	Member No.	MT	TA	IL:	Skip	a	b	с	d	DL	SP	DFAS	Х	Y	DE	Resul
	C01C01 S-	1 25	70*	357	IΠ	-	42	-	-	-	-	_	_	-	-	ACC.
	C01C01 N-	1 25	70*	357	IΠ	-	42	-	-	-	-		-	-	-	ACC.
[]	C01C01 S-	2 25	70°	357	IΠ	-	42	-	-	-	-	-	-	-	-	ACC.
	C01C01 N-	2 25	70"	357	IΠ	-	42	-	-	-	_	-	-	-	-	ACC.
	C01C01 S-	3 25	70°	357	III	-	42	-	-	-	-	-	-		-	ACC.
	C01C01 N-	3 25	70*	357	IΠ	-	42		-	-	-	-	-	-	-	ACC.
	C01C01 S-	4 25	70*	357	IΠ	+	42	-	-	-	_		-	-	-	ACC.
	C01C01 N-	4 25	70°	357	IΠ	-	42	-	-	-	-	-	-	-	-	ACC.
	C01C01 S-	5 25	70"	357	IΠ	-	42	-	-	-	-	$-1 = \frac{1}{2}$	-	-	-	ACC.
	C01C01 N-	5 25	70"	357	111	-	42	-	_	-	_	-	-	-	-	ACC.
	C01C01 S-	25	70°	357	IΠ	=	42	-	-	-	-	-1	-	-	-	ACC.
1	C01C01 N-	25	70"	357	IΠ	-	42	-	-	-	-	-	_	-	-	ACC.
	D01C01 S-	25	704	357	111	-	42	-	-	-	-	-	_	\rightarrow	-	ACC.
	D01C01 N-	25	70*	357	IΠ	-	42	-	-	-	-		-		-	ACC.
	D01C01 S-2	25	70*	357	III	-	42	-	1	200	_	\leftarrow	-	-	-	ACC.
	D01C01 N-	25	70°	357	IΠ	-	42	_	_	-	_	-	-	_	$- \frac{1}{2}$	ACC.
	D01C01 S-	25	70"	357	IΠ	-	42	1	\simeq	-	_	_	-	_	-	ACC.
	D01C01 N-3	25	70*	357	IΠ	_	42		-	-	-	-	-	-	-	ACC.
	D01C01 S-4	25	70"	357	IΠ	-	42	1	===	-	-	_	-	-	-	ACC.
	D01C01 N-4	25	70*	357	IΠ	-	42	$-10^{-10}\mathrm{M}_\odot$	-	-	-	===	-		-	ACC.
1			7			TH	E END				_				-	
$^{+}$															-	
+																
+												-	-		-	
t			- 9				- 0								-	
											- 5					
-																
+				-					_		-	-	\rightarrow	-	-	
+			-		-	-	-	-	-		-	-	-	-	-	

Rev.1.1 Form No. : TKSS-W-Q000-10-04

包覆填充型鋼骨鋼筋混凝土柱與梁主筋以續接器接合之接頭耐震試驗

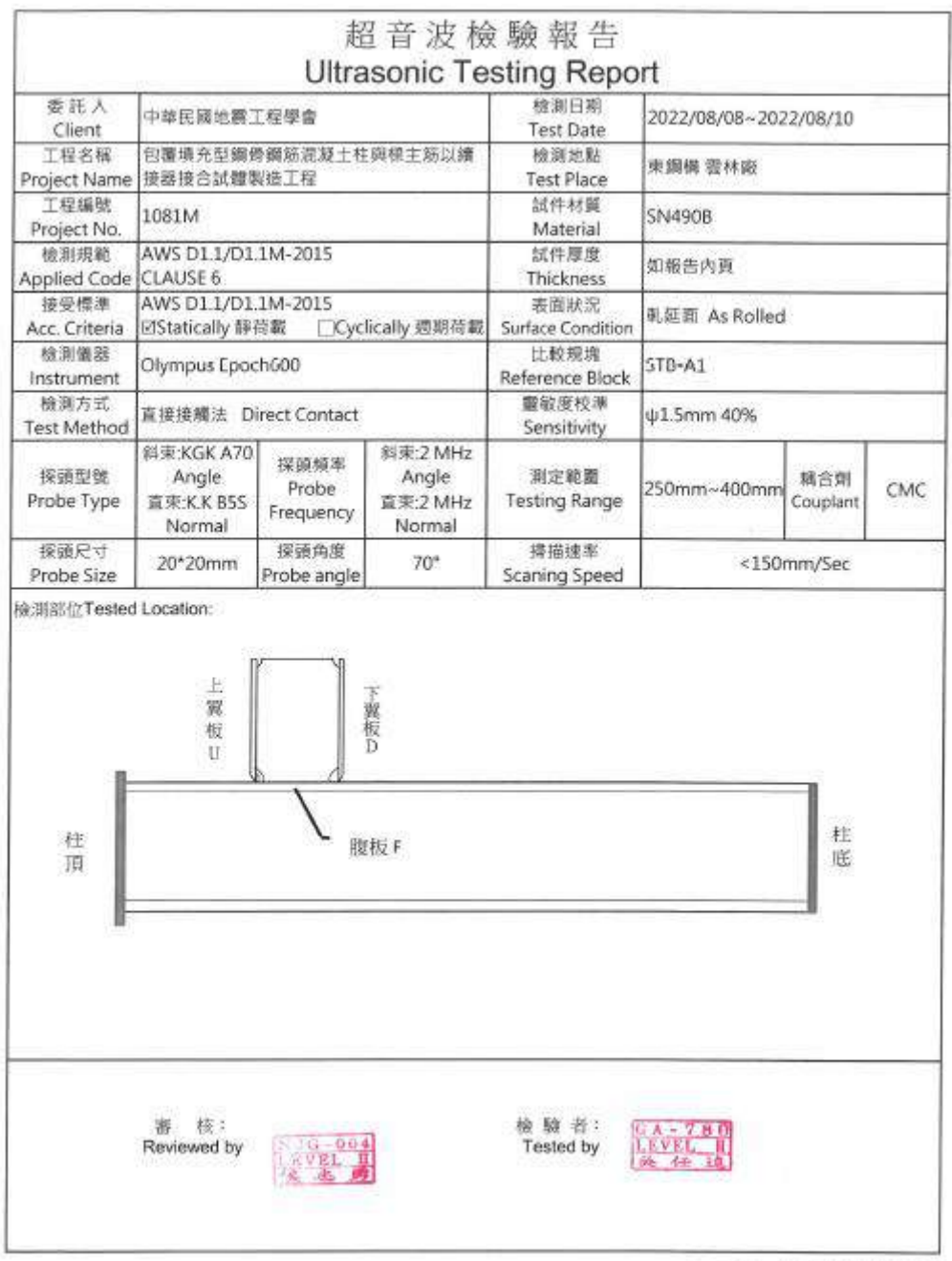
Т			IN.	aria.	120			ic Test 分貝(D			1	間斷(Discor	tinu	ity)	-	
項次	構件編號		材料厚度	頭角	利長	跨距	顯示位準	比較位準	衰減條數	顯示諄分	長度	音束距離	距A 面深 度	ń	2置 tance	間新評價	判定
Vo.	Member N	D.	MT	TA	IL.	Skip	a	b	c	ď	DL	SP	DFAS	Х	Υ	DE	Resul
1	C01C01	SL	19	70°	5995	ΙП	-	42	-	_	-	-	-	_	-	-	ACC.
	C01C01	SR	19	70°	5995	ΙП	-	42	-	-	-	-	-	_	-		ACC.
	C01C01	NL	19	70*	5995	ΙП	-	42	-	-	-	-	-	-	-	-	ACC.
	C01C01	NR	19	70°	5995	ΙП	$\overline{}$	42	-	-	-	-	-	-	-	-	ACC.
7	D01C01	SL	19	70°	5995	ΙП	-	42	-	-	-	-	-	-	_	-	ACC.
	D01C01	SR	19	70°	5995	ΙП	-	42	-	-	-	-	-	-	2	-	ACC.
	D01C01	NL	19	70"	5995	ΙП	_	42	1	-	-	_	-	-	_	-	ACC.
	D01C01	NR	19	70"	5995	ΙП	_	42	_	_	_	-	-	-	-	-	ACC.
		0															

Rev.1.1 Form No.: TKSS-W-Q000-10-04

附錄七 銲接之超音波檢測(UT)報告

項次	構件編製	ŧ		厚 kness	根部 間隔 Rootint erval	辞遊 長度 Weld Length		isco	位置 ntinu ation	ity	瑕疵 區分 Defect	瑕疵 評估 長度 Defect Length	瑕疵 總和 Sum Length	判定
Vo.	Member N	lo.	t1	t2			Х	W	d	L		-000000		Result
	C01C01	E-1	19	25	25	495	-	-	_	-	-	-	====	ACC.
	C01C01	W-1	19	25	25	495	-	-	-	-	_	1722	_==	ACC.
	C01C01	E-2	19	25	25	495	-	_	-	-	_	722	_	ACC.
	C01C01	W-2	19	25	25	495	-	-	-	-	_	_	-	ACC.
	C01C01	E-3	19	25	25	495	_	-	-	_	2-3	-	-	ACC.
	C01C01	W-3	19	25	25	495	-	_	_	-	-	-		ACC.
	C01C01	E-4	19	25	25	495	-	-	_		-	-	-	ACC.
	C01C01	W-4	19	25	25	495	-	-	-	-	-	-	-	ACC.
	C01C01	E-5	19	25	25	495	-	-	-	-	واريكي و	_	-	ACC.
	C01C01	W-5	19	25	25	495	-	-	-	-	-	-	-	ACC.
	C01C01	E-6	19	25	25	495	-	_	-	-		-	-	ACC.
	C01C01	W-6	19	25	25	495	-	-	-	-	-	-	-	ACC.
	D01C01	E-1	19	25	25	495	-	-	-	-	-	-	-	ACC.
19	D01C01	W-1	19	25	25	495	-	-	-	-	-	-	-	ACC.
	D01C01	E-2	19	25	25	495	-	-	-	-	_		-	ACC.
	D01C01	W-2	19	25	25	495	-	-	=	-	-		-	ACC.
	D01C01	E-3	19	25	25	495	-	-	=	-	_		-	ACC.
	D01C01	W-3	19	25	25	495		-	-	-	-	-	y:	ACC.
	D01C01	E-4	19	25	25	495	-	-		-	-	-		ACC.
	D01C01	W-4	19	25	25	495	-	-	-	-	-	-		ACC.
			- 12			THE	END							
+														

Rev.1.1 Form No. : TKSS-W-Q000-10-05



Rev. 1.1 Form No. : TKSS-W-Q000-10-03

附錄七 銲接之超音波檢測(UT)報告

П					T	-		ng Red ecibe		T t	問題(()	Discon	tinuit	tv1		
項次	構件編號	材料厚度	採頭角度	檢測長度	跨距	顯示位準	比較位準	衰減條數	顯示評分	長度	音束距離	距A 面深 度	位	置 ance	間斯評價	判定
Vo.	Member No.	MT	TA	11.	Skip	а	b	c	d	DL	SP	DFAS	Х	Y	DE	Result
	C01C01 柱頂-E	19	70°	495	IΠ	_	42	_		-	_	-	_	-	-	ACC.
	C01C01 柱頂-W	19	70"	495	IΠ	_	42	-	_	-	-	-	_	-	-	ACC.
	C01C01 柱頂-S	19	70°	495	ΙII	-	42	_	-	-	_	-	-	-	_	ACC.
	C01C01 柱頂-N	19	70"	495	ΙП	_	42	-	_	-	-	-	_	-	-	ACC.
	C01C01 柱底-E	19	70"	495	ΙП	-	42	-	-	-	-	-	_	-	_	ACC.
	C01C01 柱底-W	19	70*	495	IΠ	-	42	-	-	-	-	_	-	-	_	ACC.
	C01C01 性能-S	19	70*	495	IΠ	_	42	-	_	-	-		-	-	-	ACC.
	C01C01 柱底-N	19	70°	495	IΠ	-	42	-	-	-	-		_	-	-	ACC.
	C02B01 上翼板	17	70°	200	IΠ	_	42	-	-	-	-	- S	-	-	-	ACC.
	C02B01 下興板	17	70°	200	IΠ	-	42	-	_	-	-		_	-	-	ACC.
	C02B01 腹板	11	70*	510	ΙШ	-	42	-	_	-	-	$\tilde{z} = \tilde{z}$	_	_	-	ACC.
	D01C01 柱顶-E	19	70"	495	ΙП	-	42	-	_	-	-	-	-	-	-	ACC.
	D01C01 性腫-W	19	70"	495	ΙП	-	42	-	_	-	-	-	-	-	-	ACC.
	D01C01 柱頂-S	19	70*	495	ΙП	-	42	=	-	-	-	-	-	-	-	ACC.
	D01C01 柱頂-N	19	70*	495	ΙП	-	42	-	_	-	-	-	_	-	-	ACC.
	D01C01 柱底-E	19	70°	495	ΙП	-	42	-	-	-	-	-	-	_	-	ACC.
	D01C01 柱底-W	19	70"	495	IΠ	-	42	-	-	-	-	- -	=	-	-	ACC.
	D01C01 柱底-S	19	70"	495	IΠ	$- \frac{1}{2}$	42	-	-	-	-	-	-	-	\rightarrow	ACC.
	D01C01 柱底-N	19	70°	495	ΙП	$\frac{1}{2} \left(\frac{1}{2}\right)$	42	-	·—;	-	-	-	-	-	-	ACC.
	D01C01 托樑-WU	22	70"	200	ΙП	\rightarrow	42	-	-	-	-	-	-	-	-	ACC.
	D01C01 托標-WD	22	70"	200	ΙП	-	42	-	\sim	-	-	-	-	-	-	ACC.
	D01C01 托標-WF	12	70*	718	ΙП	-	42	-	-	-	-	; -	-	-	-	ACC.
	D01C01 SC6板	11	70*	650	IΠ	-	42	-	-	_	-	-	-	-	-	ACC.
						TH	IE EN	D								
1																
1																
1																
1																
1																

Rev.1.1 Form No. : TKSS-W-Q000-10-04

附錄八 包覆填充型鋼骨鋼筋混凝土柱與梁主筋以續接 器接合之接頭耐震試驗 期中審查 Q&A

	クタナ 田* -	- `
委員	審查委員意見(依發言順序)	廠商回應
	1. 續接器單一試體建議模擬橫	委員建議將續接器模擬實際狀況,將續接
	隔板狀況。	器銲接至柱板再與橫隔板銲接,依委員建
		議修改立式續接器型式。續接器試驗為輔
		助梁柱接頭試驗,相關成果於期末報告亦
		會提供。
陳正平	2. 鋼筋混凝土梁之剪力連接板	試體二當剪力榫有偏心彎矩產生時之拉力
	背後之剪力釘較短,恐會產生	由剪力釘承受,經檢討後剪力釘長度為
	混凝土拉破,建議改用於外側	120mm,符合規範中至少要大於剪力釘直
	植銲剪力釘。	徑 4 倍(19x4=76mm)之要求,並埋置在各
		方向皆大於 3cm 之混凝土之保護層中,以
		發揮其強度。
	臥式續接器小試體試驗具有偏	臥式續接器試驗因偏心效應,委員建議該
	心的效應,建議可以採用T型	試驗將鋼板改為T型加勁型式,將會參考
	加勁。	相關資料後規劃續接器試驗,續接器試驗
梁宇宸	Ω	雖非屬本案內容,相關成果也會放入成果
市丁 板		報告中。
	H.	
	[]	
	Ц	
	1. 本研究對於 RC 梁與箱型鋼柱	感謝委員支持。
	之接頭撓曲與剪力傳遞設計有	
	實務上之需求。	
	2. P.27 試體一為 SRC 梁,設計	感謝委員意見,遵照辦理並修改報告。
	RC 箍筋時之需求剪力是否僅需	
張敬昌	考慮 RC 分擔彎矩對應之剪力	
	37.8t 而非全斷面剪力 70.6t。	
	3. 試體接頭提供之剪力強度甚	感謝委員建議,本案因是著重在梁鋼筋使
	大於預期試驗載重試體如預期	用續接器連接於鋼柱上之行為探討,目的
	撓曲破壞控制,建議未來研究	是梁產生撓曲塑鉸主筋降伏,研究主筋與
	成果也能提供相關設計準則。	續接器的行為。SRC 梁剪力設計相關研究

		議題,將會納入未來研究中。
	4. 簡報 P.26 續接器試驗中,建	由於經費限制,對於試體中去配置不同間
	議銲接時模擬不同間距下的施	田水經貞限刊,對水試題十去配直不同間 距下續接器試驗,會納入未來研究議題。
		此下領接命武士 ,曾州八禾宋町九硪越。
	工性,以利提供設計建議。	"
	5. 期中報告 P.9 彎曲應"力"	遵照委員意見修正報告。
	P.11 強柱"接頭"弱梁	
	P.23 3.2.2 梁柱接頭"區"剪力	
	P.25 表格中 Fys=3.3	
	P.34 (ii) 剪力釘標稱"拉力"強	
	度應非 Qn	P.VI & P. L. L.
	1. 本研究案針對業界使用包覆	感謝委員支持。
	填充型鋼管混凝土柱與SRC或	
	RC 梁三種接合方式進行試驗驗	
	證,對於釐清工程界之疑慮有	
	所助益,值得肯定。	*
	2. 請試體設計過程中有不少假	遵照辦理,將於期末報告補充。
	設,如接頭圍束效應、拱頭及	
	剪力榫所承受的剪力與RC梁的	
	力量分擔方式,請補充說明試	
楊國珍	體設計中之假設及 V _T 之計算過	
	程。	
	3. 量測儀器的配置對試驗結果	遵照辦理,將於期末報告補充。
	的呈現、呼應 P.26~P.31 試體設	
	計過程之假設及結論之撰寫相	
	當重要,亦影響後續工程界之	
	使用,為避免誤導試驗結果,	
	請說明加載模式,施加速率,	
	並補充簡報中圖示應變計、位	
	移計等量測儀器的位置及相對	
	的尺寸距離。	
江支川	1. 三組試體的設計背景條件為	感謝委員意見,梁柱接頭應力分布,續接

	何?(例如試體一 SRC 梁 H-	器拉力之更詳盡細節將補充於期末報告之
	600×200×11×17,上下各 4-D32	中。 中。
	主筋時,梁端可承受多大的彎	T *
	矩?P.27 所示,施加外力 70.6 tf	
	時,梁柱接頭的應力分布,續	
	接器將承受多大的拉力?)	
	2. 鋼筋續接器埋設在 RC 內,實	本實驗設計 SRC 梁、RC 梁會達到塑鉸產
	驗時如何判讀續接器的降伏變	生破壞,故這些鋼筋應皆達降伏從而拉斷
	形?	甚至從續接器被拉出。每支鋼筋上貼上4
		個應變計,續接器上貼有1個應變計,以
		確保有足夠數據資料,供確認破壞發生位
		置,此外試驗結束後會將混凝土打開確認
		試驗結果。
	3. 共有三件試體,各組的實驗	試體一與試體二之差別在於梁為 SRC 梁與
	目標為何?三組的續接器會有	RC 梁,目標在比較有無鋼梁對梁筋以續接
	不同的應力反應嗎?	器連接柱之影響;試體二與試體三之差別
		為 RC 梁以不同接頭形式與柱連接,目標
		希望能從實驗中得出不同接頭形式傳遞力
		量的比較;實驗使用兩種續接器,一為立
		式續接器,一為臥式續接器。這兩種形式
		之續接器之長度以及銲接位置皆不同,傳
		力機制也不同,勢必會造成不同的應力反
		應。正也是此次實驗希望能觀察到的結
		果。
	1. 國內業界常設計以梁主筋以	感謝委員支持。
	續接器與箱型柱或鋼管柱翼板	
	相接合,本計畫將可驗證此種	
	接合方式之耐震強度與安全	
	性,藉此試驗成果釐清現行	
陳煥煒	SRC 規範梁主筋與鋼柱接合規	
1/15/95/74	定的疑義。	
	2. 建議後續研究可增加續接器	
	2. 建戰後續端元寸增加續接語 與箱型柱或鋼管柱,柱內隔板	採納委員意見。
	與相望性以綱官性,任內隔极	14~10女只总儿。 ————————————————————————————————————
	, ,, , .	
	接器與內隔板有偏心時的研	

	究,這部份的研究可以用局部	
	的構件不需要整個梁柱接頭,	
	國內業界應該很需要這方面的	
	試驗成果。	
	1. 報告書 P8 第 1 段第 9 行「計	遵照委員意見修正報告。
	劃」建議改為「計畫」	
黄國倫	2. 報告書 P13 倒數第 2 段第 1	遵照委員意見修正報告。
東図冊	行「台灣」建議改為「我國」,	
	「建築構造篇」建議修正為	
	「建築構造編」。	

期末審查 Q&A

委員	審查委員意見(依發言順序)	廠商回應
	1. P3 第一行:「SRC 梁主筋以	感謝委員意見,遵照辦理並修改報告。
	續接器直接銲接於柱上,相	
	對應的柱內使用加勁板傳遞	
	梁鋼筋力量,鋼梁則直接接	
	合於鋼柱上」。建議調整為	
	「SRC 梁主筋之續接器直接	
	銲接於柱上, SRC 梁主筋則	
	接合於鋼柱上,相對應梁主	
	筋的柱內使用加勁板傳遞梁	
	鋼筋力量」。	
	2. P14: 試體二及試體三,對	感謝委員意見,在後續規劃會將「剪力釘
	應 RC 梁剪力榫或拱頭位置	直接銲於鋼柱上傳遞RC梁剪力」相關議
	之鋼柱內未設置加勁板傳遞	題納入未來研究主題中。
陳正平	梁剪力榫或拱頭之偏心彎矩	
17122	力量,且試體未加軸力,恐	
	無法顯現梁剪力榫或拱頭之	
	偏心彎矩的影響。雖體二及	
	試體三之柱內對應於剪力榫	
	位置有植銲剪力釘,但剪力	
	釘適合承受剪力 ,不適合承	
	受拉力。後續研究建議改以	
	剪力釘直接銲於鋼柱上傳遞	
	RC 梁剪力。	
	3. P18:試體一之鋼梁上、下	感謝委員意見,可於未來研究再以合成梁
	翼板外側有植銲剪力釘,可	取代強度疊加計算進行比較。
	達到合成梁效果,建議梁標	
	稱彎矩強度宜以合成梁取代	
	強度疊加。	

4. 本研究案之主角為鋼筋續接 感謝委員意見,於成果報告結論中加入鋼 器,但P85「結論」中卻未提及 筋續接器銲於鋼柱之研究成果。 「鋼筋續接器銲於鋼柱」之研 究成果。 5. P86 末段:建議改為「SRC 梁 感謝委員意見,有關以鋼筋續接器銲於鋼 柱翼板上續接主筋,經此次試驗證明有 柱接頭處之主筋應以鋼筋續接 器銲接於鋼柱翼板來接續梁主 效,將於成果報告中提出 SRC 規範第八章 筋為原則,惟應符合本節歸範 修改建議。至於主筋直接通過接頭,由於 條文中有關鋼筋續接器之種 無相關實驗資料支持,可列為後續研究建 類、材料、品質與施工之規 議,未來有實驗研究成果後,再進行規範 定,且必需於鋼柱內與主筋同 提案修正。 一水平面處加銲連續板」。理 由:續接器銲於鋼柱可將大量 RC梁主筋拉力經由鋼柱內隔板 明確傳遞直接進入梁柱接頭 區;而鋼筋直通接頭區無法將 大量RC梁主筋拉力經由鋼柱光 滑表面傳遞進入鋼柱梁柱接頭 區,存有結構安全疑慮。故不 但不應將 SRC 梁柱接頭處之主 筋以直接通過接頭,更不應將 有結構安全疑慮的工法設為施 作原則。 感謝委員意見,關於 SRC 構造,SRC 梁鋼 1. 有關 SRC 梁鋼梁上翼板斷裂 原因是否僅因為鋼梁未削翼? 骨的扇形銲接開孔需要埋入 SRC 柱混凝土 還是因為 SRC 柱的保護層只有 深度,這些需要更多實驗結果,但規範建 10cm,厚度不足以讓鋼梁與鋼 議需採較保守的觀點,但切削位置於塑鉸 柱面接合處梁翼板的應力降 產生處即可。本案主要目的為釐清續接器 低。 銲接於鋼柱上是否可行,至於「SRC 柱保 陳焕煒 護層厚度與梁切削關係」將列為後續研究 建議。 2. 規範條文建議: SRC 梁柱接頭 感謝委員意見,經此試驗後將提出 SRC 規 處之主筋應以鋼筋續接器銲接 範第八章修改草案於成果報告中。

於鋼柱翼板或直接通過接頭為

原則,若採用…..。

	3. 梁箍筋是否因為試體沒有樓	感謝委員意見,因本案主要目的為釐清續
	板所以比較容易開掉。	接器銲接於鋼柱上是否可行,建議梁箍筋
		變形脫落與樓板相接關係列入未來研究議
		題。
	4. 依 SRC 規範 4.5 節,當 SRC	感謝委員意見,關於 SRC 構造, SRC 梁鋼
	構材之主筋為 D22(#7)以上時,	骨的扇形銲接開孔需要埋入 SRC 柱混凝土
	鋼骨之混凝土保護層須為 125mm	深度,這些需要更多實驗結果,但規範建
	以上,目前工程業界 BOX 柱通	議需採較保守的觀點,但切削位置於塑鉸
	常用 15~20 cm。	產生處即可。本案主要目的為釐清續接器
		銲接於鋼柱上是否可行,至於「SRC 柱保
		護層厚度與梁切削關係」將列為後續研究
		建議。
	1. 母法「最新建築技述規則」	感謝委員意見,會將「建築技述規則」建
	建築構造篇—鋼骨鋼筋混凝土	 築構造篇—鋼骨鋼筋混凝土構造相關條文
	構造第 509 條及 513 條建議一	一起修改。
	起修改。否則會被母法所限	
梁宇宸	制。	
	2. 有關 SRC 梁是否切削的問	感謝委員意見,將參考相關文獻及研究加
	題,建議可以多加入一些文獻	入報告中。
	結果。	
	於規範與工程界使用,報告中部仍	
	1. Page 21 表 3. 3 中之 Aj 誤植	感謝委員意見,遵照辦理並修改報告。
	為全斷面積,應為混凝土之面	
	積 2088, Page 26 表 3.3 中之	
	Ai 應為 2088, Fys 應為 3.3,	
張敬昌	對應之 Vnc 需調整。	
	2. Page 29 試體二剪力榫高度	 感謝委員意見,遵照辦理並修改報告。
	為 65 cm,計算剪力強度之高度	
	誤植為試體三之83.2 cm,另該	
	剪力榫厚度有可能受柱面偏心	
	等	
	5 2 2 3 2 4 2 4 2 4 2 4 2 4 2 4 2 4 2 4 2	

	9 Dama 90 4 首前 4 ~ 4 ~	式 执 禾 吕 产 日 .
	3. Page 30 計算剪力釘拉力	感謝委員意見,遵照辦理並修改報告。
	時,剪力榫之「值應為25173。	
	另剪力釘之拉力強度可能受混	
	凝土拉破強度控制。	
	4. Page 53 建議修改立式與臥	感謝委員意見,遵照辦理並修改報告。
	式續接器之銲接符號。因試體	
	續接器之強度性能為本研究討	
	論之重點,建議說明試體續接	
	器之銲道幾何形狀及銲長之設	
	計值,並計錄實際施工尺寸,	
	以利工程應用。	
	5. Page 82 試驗載重 780KN 之	感謝委員意見,遵照辦理並修改報告。
	接頭彎矩應為 2926KN-	
	m(L=3.7525)	
	1. 本研究成果豐碩,內容充	感謝委員支持。
	實,與研究主軸及預期成果相	
	符。	
	2. 本案結論中依據試驗結果提	遵照辦理,將於成果報告補充鋼筋續接器
	出放寬現行鋼骨鋼筋混凝土構	銲接於鋼柱翼板對應之銲接程序。
	造設計規範(2011)第8.5.1.1	
	節條文,可採用鋼筋續接器	
	(Couple)銲接於鋼柱翼板來接	
	續主筋之方式,請補充鋼筋續	
	接器(Couple)銲接於鋼柱翼板	
	對應之銲接程序 ,以作為後續	
	工程界施工之依據,確保施工	
	品質。	
	1. 本研究完成 3 組實驗試體之	感謝委員支持。
	包覆型鋼管混凝土柱與梁主筋	
葉祥海	以續接器連接接頭之力學行為	
朱仟 <i>海</i>	的試驗研究,誠屬不易,值得	
	肯定。	
	2. 於第9頁文獻回顧中,雖提	感謝委員指導,將於成果報告內補齊「國

	及國內工程實務概況與法規之	內鋼骨鋼筋混凝土柱與梁接合現況調查分
	探討,但目前研究報告,未見	析及案例彙整」。
	審查表所列預期成果「1.國內	
	鋼骨鋼筋混凝土柱與梁接合現	
	況調查分析及案例彙整。」	
	3. 在第四章之後,建議能夠針	感謝委員意見,將提出修改草案於成果報
	對國內既有的「鋼骨鋼筋混凝	告中。
	土構造設計規範」鋼骨鋼筋混	
	凝土梁柱接頭處相關規定及其	
	解說,先予提出相關修訂建議	
	草案與解說。	
	4. 在第五章第一節的結論,建	感謝委員指導,將於第五章結論與建議
	議有一段前言,概述研究的心	中,加入前言包含研究的心得及試驗的總
	得,描述試驗的總結。在第二	結,第二節加入修訂 SRC 規範推廣應用,
	節建議方面,期望對修訂 SRC	以及未來可進一步探討的事宜。
	規範與推廣應用,以及可進一	
	步探討的事宜,亦能列明,以	
	利後續研究精進,使此一構造	
	產業的正向發展。	
	5. 本研究多能標明參考的文獻	感謝委員意見,遵照辦理參考文獻會加上
	資料,惟宜請依後附的參考文	編號並修改報告。
	獻,將序號於內文中註記。	
	1. 本案完成3組實驗,但結論	感謝委員指導,試體二、三將於成果報告內
	似乎只針對第一組實驗。	補齊結論。
	0 海崎四十崎畑はは1、羽1-	产加去日下海 小咖—— 邓上然 中山日
藍朝卿	2. 續接器直接銲接於柱翼板	感謝委員指導,試體三梁主筋一半數量以
	上,實驗顯示可行,另一種臥	續接器銲於鋼拱頭上,一半數量以續接器
	式續接器效果如何?	直接銲於鋼柱上。根據實驗結果顯示不論
		立式或臥式續接器都沒有脫落,銲道也都
		沒有問題,將會再加入成果報告中。

附錄九 WPS 續接器銲接程序

東鋼鋼結構股份有限公司 TUNG HO TUNG KANG STEEL STRUCTURE CORP.

				GROUP										
焊接程	序書			WE	LD	ING P	ROCE	EDURE SP	EC	IFICAT	ION	(WPS)		
公司名稱石		_	UNG KA			RUCTURE		解液方式 WEL	_		J	FCAW		
MIT IT Form	ulated by	,	1000	HEY	u	[] III Date	2005.86,20	SVISSES: Swing	Type	1978 For Weld	ling	√ IS IE For Aspairing		
#255 W Authorized by			0.0.0	HEN	HIII Day	2005.87.10			f. Manual.		#-(18) Seni-Autome			
MILITY POR 12 Mr. Supporting POR No.			Off No.	Precus	Med	FORT Rev.	0	⊞at Type	-	Z. Machine	-	主自動 Automatic		
HEREN STATE	INT DE	SIGN I	SED		1117	-		即模位置 POS	Horizon		2000	2.1107.000100	_	
The state of the s								同語に置 Position of Greece 2G 地方形 Fillet -						
報題件 Sing	le Weld		-	diff.				立即前维方式			-	and his on the		
triffit: Back		E V	_	-	7	€ No	4	由下面上功	1	O CONTRACTOR OF THE PARTY OF TH	_	T Down		
佐州坂民川 1		Minera	i i					The contract of the contract o	演性質 ELECTRICAL CHARACTERISTI		The state of the s			
SINNSTER R	T		10	metals:	Rit !	f ·		機能型式 Tran	特殊型式 Transfer Mode(GMAW) 担張 Short-Circuiting					
Root Opening		0,00	BU BARRY		: Direction		min 3 mm	RSE Globular V NEST Spray					1	
unemic a			20				180	1	2	III AC	1	TURE ENGINEER	13	
Groove Angle		-		Rufus (3-1)			10 mm	推洲 Current	粉布			充炭白色 DCEN	1	
dr#∏ Back Ge	_	15 Yes	_			Method		1	10	ft Other		Designation of the last	-	
型材 BASE N		_	11	1.5	1/7/7			群機技能 TECH	INDO					
HITTERS Ma				CNS	1381	2 SN 490B		京即宏規的 Stri	_	And the second second		Stringer / Weave Boar	4	
社交或等級 1				-	1000	2 011 4792				t mayo mean		surriger / weave been		
Thicks	-	0.000						年時資政多層的 Multi-puss or Single Pass (per mile)				Multiple		
IIIM Groove	-			III PA	ed I			電話數 Number of Electrodes				Block		
Nove William	-	27	-113	000100	-					fft Longitudinal		Single		
WAS PILLER	_							电经规则	-	Fi Loteral				
Eth AWS Sp	-	and the same			A5.5	NA.		Eleanode Specie	E Angle -		-			
SEE AWS CL					ETIT			MARKET CANADA	tir High Jan Compact Tube to Work Distrator				_	
KORATES SHI	_				E-111	-		Control of the same						
	DEALERS.				_				****		860	None		
牌粉 Flux 跨線-課粉(影響) Electrode-Flux (C		Land Pilling	Maria I				提出进建 Interpres Cleaning			AF	Air Chipping / Grind / Wire Brush			
	III) ENG	trode-f	no, (Cine		444	_		評機模類 WELE	MNG	MACHINE		Lincoln DC-666 - LN-	J	
UE Gas			10.00		02	20-25 1	441	-			+	STREET, ST		
(22) Composi		-		09: 95300		77.5	-	評技程序编数 ke	les III	cation No.	T	KSS-WPS- T-P8-F-	20	
現職出口口位	Cinci	-	_	-	+	#23 t	10				-		_	
Preheat/Internate		-	3-20 mm 9°C					野技術成形		Tamp		NA		
		>20 ~ 31 mm		10°C	-			POSTWELD HI	EAT	100.00	+-	20024		
emp.(Min.)		>38 ~ 65 mm						TREATMENT	Time		N/A			
	_	>65 m	111	119%	den	ide for					_		_	
		ui I			群	接程	F WE	DING PROCEI	DURE	\$				
夏 夫 Pass or Weld Layer(s)		III 85 Filler Metals		Curren			1 6	行政地域区				提升是式 Joint Details		
							Note:	Travel	-		7140	The state of the s	_	
	Diameter (ntm)		Type & Polarity		Arrans or West		(V)	200000						
						d Speed	1	30000 70003			T-P	\$-GF		
									7					
										T.	50	N. C.		
										M	1	could be by by		
1-0 14		4 DOEP		p	230~280		27~3	8 315~485				開始結構器		
		25	2 163			NA 1125		20 (D)(1/2) [1/2]		7	'D	रस्स्यस्य		
												- 網筋		
										1.3		-77164		
										128		轉性		

東鋼鋼結構股份有限公司 TUNG HO TUNG KANG STEEL STRUCTURE CORP.

				980U≠			_								
銲接程	序書			WE	LDI	NG P	ROC	ED	URE SP	EC	IFICAT	ION	(WPS)		
公司名稱C	-	UNG KA	NG STEE	EL STE	RUCTURE	10	即报为式 WELDING PROCESS FCAW								
The state of the s						2005.06.2	9 9	STATE IS 1) Using Type SV For Weldin		ing .	E √ 1318 For Repairing				
ROLL TE AUTO	orized by			0.0.0	EH.	N HIEDERAN 2005.0				于数	C Manual	-	FEED Soni-Automa	tic	
MAIN POR 1:16 Supporting POR No. Pre			Preguat	fled	FEST Rev.			Er. Type		Mathire	-	全自動 Automatic			
RESTRUCTION T DESIGN USED									界接位號 POSITION						
STATE OF THE PROPERTY AND ADDRESS OF THE PROPERTY ADDRESS OF THE PROPERTY AND ADDRESS OF THE PROPERTY ADDRESS OF THE PROPERTY AND ADDRESS OF THE PROPERTY ADDRESS OF THE PROPERTY ADDRESS OF THE PROPERTY AND ADDRESS OF THE PROPERTY ADDRESS OF THE PROPE								17	開始区間 Position of Groove 2G 度角型 Fillet -						
用度件 5ing	de Weld		- 1	速焊 Di	ouble \	Weld	4	. 2	STREET, Vertical Progression						
District Back	king	10.3	fee -	- 12	If No ◀			18				di Fil	DESTE Down -		
存職技材料	Backing	Moteri	al.						電流性質 ELECTRICAL CHARACT			TERR	TERRISTICS		
WHOLK R			14	情极度	e+f			85	轉換型式 Transfer Mode(GMAW)				ES, Short-Circuiting		
Rost Openin			R.	ort Free!	Dimes	eion .		19	EEEE Chidralar √		19,02	SDFF Spray			
開榜内皮 (4			28 F			,,,,,,,,,,,,,,,,,,,,,,,,,,,,,,,,,,,,,,,		Т		文	JE AC	-	WINDER DEEP	N	
Greove Angl			Rutius		40		100		ESC Current	N: 8	JT Pelsod	-	直流趋例 DCEN	1-	
STEL Back G	ongreg	E'Ve	- 4	No V	万波	Method	-			10	II. E. Oher				
柱村 BASE 1	METAL	8	-		-			47	後接着 TECE	INIQE	E				
HIP KES M	iterial Sp	ec.		CNS	13812	5N49HB	3	B	排成服約 Sei	nger ur	Weave Binul		Stringer / Weave Sead		
型式皮等温	Type or I	inde						Υp	用印成多磁体				Multiple		
厚度 Thicke	NO.							M	alti-pass or Sig	gle Pa	n (per vide)				
Tiff Green	e U	rimited		this rite	t.			TE:	信歌 Number	of Elec	trodes		Single		
直回音)Obe	neter(Pip	101			+			L	Landouge 1	HER	fit Longitudinal		-		
牌材 FILLE	RMETA	1.5							電視視期 Electrode Spacing	1015	Lateral	T			
网络 AWS Sp	pecificati	on:			A5.2	6		1	Collinate spacing		III Angle		-		
WIE AWS C	lessificati	ion			ETER			101	MINIST Contact	Tube	be to Work Distance -				
花敷材料 SB	HELDIN	G						31	\$1 Peerle	ığ.			None		
即級 Flux								100	原見活理 Interpass Cleaning			AFC	Air Chipping Grind / Wire Brust		
四位-四位	(h) Hec	triide-F	Tux (Clas	85		_			資機機能 WELDING MACHINE				And the second second		
乳酸 Geo	100			C	02			90	ORDERS WILLIAM	NING.	MACHINE		Lincoln DC-600 - LN-	J:	
RG Compos	\$6) Composition 99.8% ILE		流星 打	E Flow Rate 20-25 L/Min					群模程序编號 Identification No.				TKSS-WPS- T -P10 F-2G		
医静田口口医	Cin Cu	p Dian	reter			#23+	101	100	DESCRIMING H	Resilled.	attini Na.	18	792-M.L2- 1 -1,10 d.	1284	
	Table 1	1-	20.mm	970			25		A CONTRACTOR OF THE PARTY OF TH		4170		2000		
医斯曼阿盖克曼小 Preheet/Interpass		>20~	20~35 mm 10°C						得後熟慮環 POSTWELD REA TREATMENT		Temp.		NA		
lemp.(Min.)	quess.	>36~45 mm		65°C							Time	T	N/A		
and sound		≥65 mm		1100				1"			r.ms		No.		
					群	接程	序 WE	LDI	NG PROCE	DURE					
証 大 Pass er		i# ±± iller Metals		Current (A)				16			格音ないた Joint Details				
Widd Loyer(s)	Fi 10 Duratur (ren)		Type			Parific 海通性 Amps or Wire Feed Speed		i	Speed (stat / stin)		T-P10-FG				
f~n 1.4			DCEP		230	230~280 27~		38	315~485		網筋線接器 1000000000000000000000000000000000000				

附錄十 鋼骨鋼筋混凝土構造規範修正研擬及耐震技術講習會議程及講員

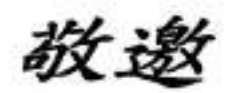
鋼管鋼筋混凝土構造規範修正研擬及耐震技術講習會

鋼管鋼筋混凝土構造規範修正研擬及耐震技術講習會

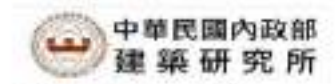


◎主持人剪主購入◎ (按出場序)

黄国命: 内政部建築研究所材料實驗中心 五任 炸協發 国立中央大學王本工程學系 教授 周池光 图案地震工程研究中心: 副裁術師 劉學芳 国家地震工程研究中心 辦研究真 周中枢 中華民國地震工程學會 理事長 58. J. 54. 国立臺灣科技大學景建工程系 教授



内政部建築研究所



中華民國地震工程學会



中華民國地震工程學會

財團法人國家實驗研究院國家地震工程研究中心



鋼骨鋼筋混凝土構造規範修正研擬及耐震技術講習會

主辦單位:內政保建與研究所、中華民國地震工程學會。

也 點:內政部建築研究所15樓國際會議廳 (新北市新店區土新路三段200號)

費 用二亚黄

若 報:賴清為止。

报者方式:即日起至111年11月16日完成报名。

概名制是 - https://conf.ncree.org.tw/index.aspx?n=A11111210

聯絡電話:02-66300924 林塔路 小姐

(数 25)

- (一) 本講習會已向行政院公共工程委員會申請我師擁證積點,及公務人員將身學習積點。
- (二) 國應新班斯及疫情蔓延、與會人員請屬實自疫健康狀況監測,有發施(早溫 高於38度C或輔溫高於37.5度C)。呼吸通症狀或擬瀉等,應避免參加本次活 動,建議參與活動期間,自備口罩及飲用杯具,以維護自身與他人安全。

面主旨面

目前我國「鋼賣鋼筋混凝土構造設計規範與解說」係於民國100年公告,至今 近10年,也該股規範是以美國混凝土學會ACI 318-05(2005)規範及美國網結構學會 AISC 341-05(2005)為依據、其後ACI及AISC也多之進行修訂。期間我國網賣鋼筋 混凝土工程之研究結果、施工方法、施工技術與檢驗方式均有相當程度的改變。 與個外最新規範出較。國內現行規範已有近15年的時間未進行檢討修訂。放規範 內容穩需再次檢視,以符合學序及工程界之需求。

國內現行SRC規定,個骨鋼筋混凝土等在接頭處之樣之前應以直接通過接頭 為原則,避免以網絡構構器彈於鋼柱翼板上以積積原生筋。國內目前實務界大多 使用包覆填充型鋼管認設上柱。站款為足規範之規定,原主結案機遇鋼柱,使得 累林接級巡講力略役的完整性有疑應。因此國內實界在使用包覆線充型鋼管認級 上核時,多以積接路速接於義型鋼板上,以解決前巡旋應。地震工程學會進行大 尺寸鋼骨網筋忍凝上原與包覆填充型鋼骨網筋認凝上柱之實驗研究,驗證其耐震 強度及安全性。本購買會邀請國內SRC專家學者對於鋼骨網筋混凝土構造規範修 正研擬及耐震技術进行講題分享。

鋼骨鋼筋混凝土構造規範修正研擬及耐震技術講習會

活動議程

		活動議	- I						
		操程法							
	時間	排機	主婦人	主持人					
	13:10~13:30	#ú ±1							
	13:30~13:40	简单处词	内政部建築研究所 長官 中華民國地震工程學會 简中哲理事長						
	13:40~14:10	矩形填充混凝土箱型網社 新而長寬比對機動行為之 影響	內政部建築研究所材料 實研中心 普爾倫主任						
	14:10~14:40	劈矩及扣力 組合數重下之 銅骨鋼筋混凝土轉材水數 行商及效施提昇設計	國立中央大學上來工程 學者 許協強教授	局中哲理事長					
022 年	14:40~15:10	鋼骨鋼筋混凝土構造規範 柱設計檢支增發							
11 /1	15:10~15:20	中場休息							
21 H ()	15.20~15:50	例常辦部港湖上 構造規範 著在摄職係文增修	國家地震工程研究中心 劉都芳 副研究員						
	15.50~16:20	包覆填充型鋼骨鋼高洗疑 土柱與景主筋以積接器接 含之接頭可度試驗	中華民國地震工程學會 附中哲理事長						
	16:20~16:50	包覆型及包覆填充型 SRC 标相關研究或果	國立臺灣科技大學營建 工程系 陳正調教授						
	16:50~17:00		Li						
	17:00		IVI ¥						

▲議程內容若有更動以 c-mail 通知為主。

出版機關:內政部建築研究所

電話:(02)89127890

地址:新北市新店區北新路3段200號13樓

網址:http://www.abri.gov.tw

編者: 周中哲、劉郁芳、周德光、趙品鈞

出版年月:111年12月

版次:第1版

ISBN: 978-626-7138-35-9